



الفيزياء المثلية (3)

قسم الفيزياء
السنة الثانية



منشورات جامعة دمشق
كلية العلوم

الفيزياء العملية (3)

| | | |
|-------------|--------------------|-----------------------|
| الدكتور | الدكتور | الدكتور |
| أحمد اليحيى | فتح الشوفى | محمد سعيد محاسنة |
| مدرس في قسم | أستاذ مساعد في قسم | أستاذ في قسم الفيزياء |
| الفيزياء | الفيزياء | |

صالحة الطباع
مشرفة على الجوانب
التطبيقية في قسم الفيزياء
منى العسكري
مشرفة على الجوانب
التطبيقية في قسم الفيزياء

جامعة دمشق



الفهرس

| رقم الصفحة | الموضوع |
|---------------|-----------------------------------------------------------------------|
| 7 | المقدمة |
| 9 | ١- أجهزة القياس |
| 29 | الحقول المقطبية للتيار الكهربائي |
| 41 | التحريض المقطبي |
| 47 | دراسة الممانعة $R-C-L$ على التسلسل في دارة تيار متناوب |
| 63 | دراسة الممانعة $R-C-L$ على التفرع في دارة تيار متناوب |
| 71 | دورة البطاء المقطبي |
| 81 | تأثير درجة الحرارة على كل من خصائص الوصلات الثنائية P-N والمقاومات |
| 87 | قياس الشحنة النوعية للإلكترون e/m باستخدام صمام توسمون |
| 99 | المفعول الكهربائي الداخلي (الخلايا الشمسية) |
| 105 | مقدمة في القياسات الحرارية |
| 109 | الحرارة النوعية |
| 115 | السعنة الحرارية |
| 127 | دورة المحرك الحراري العكسية (المبرد) |
| 147 | المجمع الشمسي |
| 157 | النطاقية الحرارية للمواد الصلبة |
| 165 | درجة الحرارة الحرجة لمادة سائلة |

| | |
|-----|--------------------------------------------------------------|
| 175 | قياس درجة حرارة منبع ساخن اعتماداً على قانون ستيفان بولتزمان |
| 187 | التسخين بالإشعاع |
| 195 | محرك الهواء الحار |
| 213 | الظواهر المرافقة في الدارات RCL - RL - RC |
| 238 | بعض المقادير الفيزيائية |
| 259 | قائمة المصطلحات |
| 393 | المراجع |

مقدمة

يعتبر كتاب الفيزياء العملية (3) لطلاب السنة الثانية، فيزياء ، ثمرة من ثمرات الخطة الدراسية الجديدة التي أقرت في العام الدراسي 2007 / 2008 والتي فصلت الجزء العملي الملحق للمقررات النظرية في الخطة الدراسية القديمة و اعتبرته مقرراً منفصلاً لوحده كأي مقرر من مقررات الخطة الدراسية. و كان الهدف من هذا الفصل إعطاء أهمية خاصة للجزء العملي ليكتسب الطالب مهارات تجريبية تتعمق من خلالها مفاهيم الأسس الفيزيائية النظرية.

يتناول هذا الكتاب تجاربًا في الكهرباء و المغناطيسية و الترموديناميك بالإضافة إلى مقدمة تستعرض أهم أجهزة القياس المستخدمة في تلك التجارب . و قد اتبع في عرض التجارب أسلوب عام و موحد تضمن عرض الغاية من التجربة بليه تمهد نظري يوجز المبادئ التي تعتمد عليها التجربة مع أهم العلاقات و القوانين المستخدمة فيها. و بعدها تم عرض و تعداد للأجهزة المستخدمة مع الصور التوضيحية لها و مبدأ القياس فيها. بعدئذ كتبت مراحل العمل للتجربة التي ينبغي على الطالب إتباعها بدقة للحصول على النتائج المطلوبة . و قد أضيفت في نهاية الكتاب بعض الملحق الذي تحتوي على الثوابت الفيزيائية الهامة مع قائمة بالمصطلحات العلمية باللغتين العربية و الانكليزية .

أخيراً يسرنا أن نتقدم بهذا الجهد المتواضع إلى أعزانا الطالب راجين من الله أن يعود عليهم بالفائدة و المعرفة. و لا يسعنا بالختام إلا أن نتقدم بالشكر و الامتنان لجميع من ساهم في إعداد التجارب و إخراج هذا الكتاب.

المؤلفون

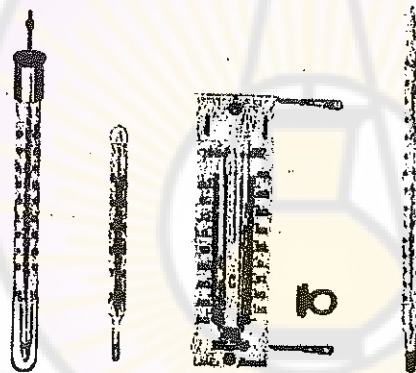
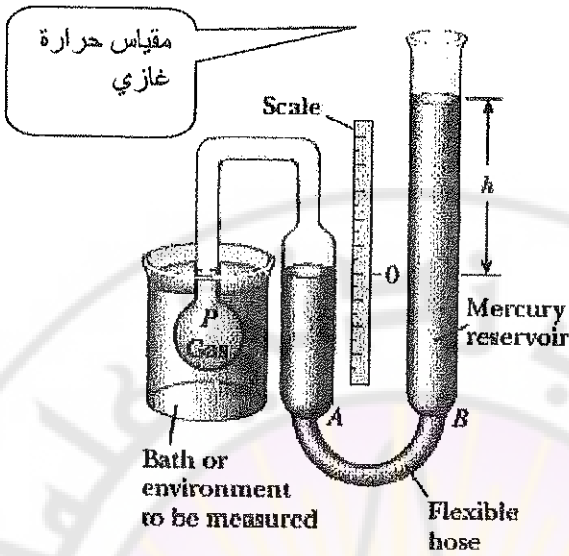


أ - أجهزة القياس

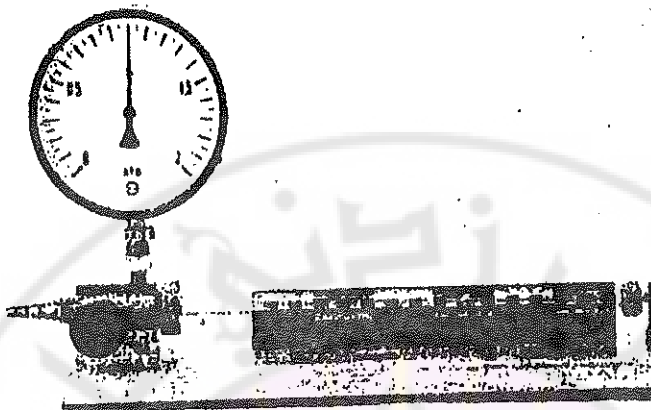
بما أن المقادير في الترموديناميك الكلاسيكي إحصائية، وتهتم بحالة الجملة عموماً (الحالتان الابتدائية والنهائية)، فإن أجهزة القياس يمكن أن تكون بسيطة وغير معقدة، وهي :

- 1 - مقياس درجة الحرارة T : أجهزة القياس التقليدية تقيس مستوى الحرارة في المادة بمقارنة ذلك مع معاملات التمدد للسوائل (زئبق - كحول ..) أو معاملات التمدد للمواد الصلبة (المعادن ...) فتكون زيادة الطول في مادة مقياس درجة الحرارة وحدة القياس المكافئة.
- 2 - مقياس الضغط P : و يعتمد على قيمة القوة المؤثرة في سطح محدد. وهي مستعملة في حالة السائل (الدراسات الهيدروليکية) والغازات .
- 3 - مقياس الحجم V : يتم عادة بقياس أبعاد الجسم، ويمكن استعمال مقاييس الكثافة أيضاً، ولكن في النهاية ما هي إلا قياس للأبعاد .
- 4 - كمية المادة n : نقاس كمية المادة في الجملة إما بالوزن m أو بالكثافة ρ أو بالحجم V وتحوّل ضمن علاقات بسيطة إلى عدد المولات.

إن الأجهزة التقليدية لقياس درجة الحرارة هي مقياس درجة الحرارة الزئبي الذي يتم معايرته نسبة لدرجة تجمد الماء ودرجة غليانه، وترجع دقة التدريج إلى دقة الصنع من حيث مستودع المادة والأنبوب الشعري الذي يتمدد فيه السائل. ومن أجهزة قياس درجة الحرارة المزدوجة الكهربائية، و مبدأ القياس في المزدوجة يقوم على قياس فرق الكمون بين طرفي المزدوجة، و نتم معايرة هذا المقاييس ضمن منحني معايرة غير خطى في الحالة العامة. ومعظم الأجهزة الحديثة تعتمد مبدأ المزدوجة الحرارية لقياس درجة الحرارة.



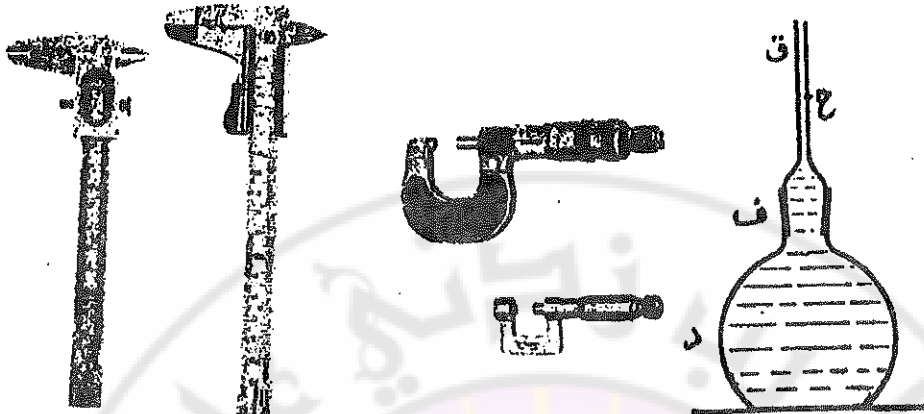
الشكل (1) : صورة لمقاييس درجة حرارة .



الشكل (2) : صورة مقياس ضغط .

مقاييس الضغط لم تتغير كثيراً ، وما زالت بصورتها الرئيسية مستعملة في معظم التجهيزات لقياس ضغط الهواء أو السائل (هيدروليكي) غير أن الإلكترونيات أيضاً غزت هذا المجال ، حيث تعتمد أجهزة الضغط الرقمية على بلورات يتغير الجهد بين طرفيها بتغير الضغط . وهي دقيقة في مجالات محددة ، وفي الأسواق أيضاً الآن مقاييس ضغط تعتمد حساسات ضغط مطاطية تعمل على نفس المبدأ الإلكتروني .

مقاييس الحجم تعتمد على المساطر والأجهزة المشتقة منها (الورنية، والقدم الفنوية ...) ، وتقاس الحجوم غير المنتظمة بوزنها إذا كانت كثافتها معروفة ، أو يوزن الماء المزاح عند غمر المادة الصلبة في الماء مثلاً ، ثم يضرب وزن الماء بالكثافة الحجمية للماء . يبين الشكل (3) بعض أدوات القياس المستخدمة .



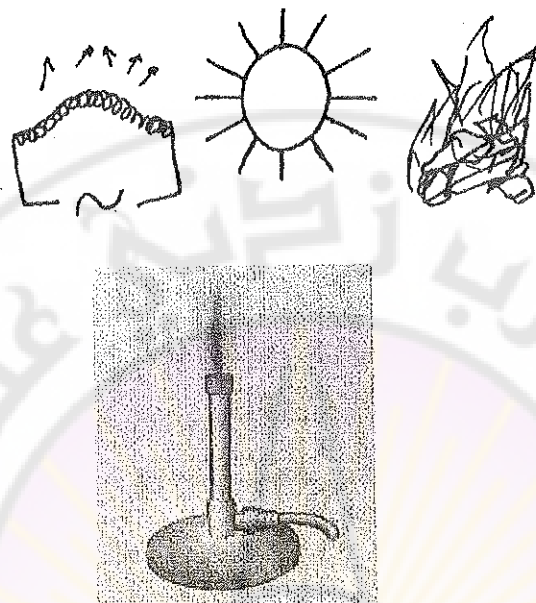
الشكل (3)

ب - المنابع الحرارية

تُقدم المنابع الحرارية من عدّة مصادر :

1 - الاحتراق

كاحتراق الغاز والفحم والسوائل النفطية والكحول وما شابه، ولكن مثل هذه المنابع يصعب تقدير الكثافة الطافية المقدمة، ويصعب تنظيم تدفقها، ولذلك فهي تستعمل لتسخين حمام مائي أو زبيوت أو شموع، حيث تساعد هذه الطريقة في تنظيم التدفق الحراري من جهة، وفي مراقبة كمية الحرارة المنتفحة اعتماداً على قيمة السعة الحرارية للسائل .



الشكل (4) : بعض أنواع المنابع الحرارية.

2 - التسخين الكهربائي

يعتمد التسخين الكهربائي على أثر جول للتيار الكهربائي، حيث يمر التيار I في سلك مقاومته R والجهد بين طرفيه V لمدة زمنية مقدارها t ، فينشر السلك طاقة حرارية قيمتها:

$$E = V \cdot I \cdot t$$

ومن ميزات هذه الطريقة إمكانية برمجة عملية التسخين والتحكم بها، وإمكانية وضع أدوات التسخين في أماكن صغيرة، أو داخل المادة وتصميماً بما يناسب . لأن المسخن مادة معدنية مقاومة يمكن تشكيلها حسب الطلب .

3 - التسخين بالإشعاع

يحمل الإشعاع الكهرمغنتيسي طاقة تتناسب عكساً مع طول الموجة وبالتالي هناك مجال محدد من الأطوال الموجية تحمل الطاقة الحرارية ويمكنها القيام

بالتسخين . وهي تبدأ من الأطوال الموجية تحت الحمراء إلى الأمواج المكروية، والقانون الأساسي الذي يصف درجة حرارة وكمية الطاقة الإشعاعية هو قانون ستيفان بولتزمان:

$$E = \epsilon \sigma T^4$$

حيث σ ثابت بولتزمان ، و ϵ الاصدارية أو درجة الاسوداد، حيث أن $1 = \epsilon$ من أجل الجسم الأسود المثالي (تم الامتصاص)، و $0 = \epsilon$ من أجل الجسم العاكس المثالي (تم العكس).

من ميزات طريقة التسخين هذه التسخين عن بعد وإمكانية مراقبة العملية ضوئياً وباستخدام كواشف كهرومغناطيسية للتحكم والقيادة ، وللقانون يسمح بمعرفة درجة حرارة الأجسام الساخنة من قياس الطيف الضوئي لها، أو معرفة كمية الطاقة التي يمتصها الجسم (دون تلامس) ، أو التي يصدرها خلال مدة من الزمن.

ج - عطالة القياس الحراري

أخذ مصطلح العطالة الحرارية من ميكانيك نيوتن ، وهو يعبر عن استجابة الجسم الذي يؤثر عليه بقوة ما لفعل تلك القوة، فالتأثير لا يظهر لحظياً، ولا بد من صرف جزء من القوة لبدء الحركة، وكذلك إيقاف الحركة لا يقطع آثارها لحظياً، وإنما بعد فترة الاستجابة التي يتم خلالها صرف جزء من الطاقة الحركية إلى شكل آخر. كذلك لا تستجيب المادة لحظياً لكمية الحرارة التي تتدفق إليها أو تخرج منها، وبالتالي لا يظهر تغير درجة حرارتها مباشرة فلا بد من مرور وقت لتتوقف العملية أو تقلع . لذلك فلا تتوقع من أجهزة قياس درجة الحرارة والضغط أن تقيس درجة الحرارة أو كمية الضغط مباشرة، بل بعد فترة من الزمن، وأن مادة وشكل محسسات القياس هي المسؤولة عن ذلك، فنعرف معامل عطالة الموصلية الحرارية وهو يتعلق بالزمن بالمعادلة التالية:

$$\alpha = \frac{\lambda}{C_p} t_0$$

حيث α زمن الاستجابة، λ الموصلية الحرارية، و C_p السعة الحرارية بثبات الضغط.

وعند استعمال أجهزة قياس (T أو P) يحاول المُجرب استعمال أجهزة ذات استجابة عالية وسريعة.

يتمثل المعنى الفيزيائي لهذه الظاهرة بأن مادة مقياس الحرارة تأخذ جزءاً من الحرارة التي تقيس مستواها إلى أن ترتفع درجة حرارتها، وتتمدد لتشير إلى مستوى درجة الحرارة، ف تكون قد صرفت جزء من الطاقة الوالصة على سعتها الحرارية الكلية (جملة + ميزان الحرارة) ثم على التمدد وبعد ذلك تشير إلى مستوى درجة الحرارة المناسبة. فالزئبق في مستودعه له سعة حرارية معروفة لابد له من أخذها أولاً ثم يبدأ التمدد في الأنبوب الشعري فلربط ما بين طول التمدد ودرجة الحرارة لمواد عيارية اصطلاحية، والتمدد أيضاً لا يتم دفعه واحدة وإنما بسرعة تمدد تتعلق بالمادة ولزوجتها وما شابه من معينات. ويحدث شيء من هذا في المزدوجات الكهروحرارية التي تكون محمية بمواد عازلة كهربائياً وحولها غلاف ، وتحتاج بسعات حرارية ومعاملات نقل وموصلية خاصة تؤثر على زمن الاستجابة.

و ما يقال عن زمن الاستجابة نجده في أجهزة قياس الضغط أيضاً التي تعتمد على خواص المواد التي تنقل الضغط إلى المؤشر أولاً وعلى زمن استجابة المؤشر لذك الإشارة، وسرعة انتقال الضغط في الماء في أحسن الأحوال لا تكون أكبر من سرعة الصوت. وهذا في كل أجهزة القياس.

بالمقابل هناك إجراءات سهلة يمكن اتخاذها للتقليل من هذا الأمر، وطرائق يمكن اتباعها لتحديد دقة القياس، مثلًا في مقاييس درجة الحرارة يستعمل زئبق نقي مستودعه صغير وجدار الزجاج حوله رقيق قدر الإمكان ، ومن نوع

(خليطة) مختارة لهذا الغرض. فإذا احتاجت التجربة مستودعاً أكبر من الزئبق أو أن الحرارة عالية جداً أو منخفضة يحاول المجرب بدء القياس بعد استقرار مقياس درجة الحرارة، وأن لا ينقل المقياس بسرعة من مكان إلى آخر، وإنما بالتدريج قدر الإمكان ، وهكذا.

د - رصد الظاهرة تجريبياً

أثناء رصد الظاهرة لا بد من تسجيل المكان والزمان، وماذا يحدث في هذه الظاهرة. وتكون الظاهرة هي التابع مثل (التوتر السطحي للسوائل) Y ، والمتغيرات هي العوامل المؤثرة على ذلك التوتر، مثل نوع السائل P ، وسطح السائل A ، ودرجة الحرارة T ، والضغط P ، فن assum the التجربة دائمًا بحيث يتم ثبيت كل المتغيرات والإبقاء على متتحول واحد فقط، مثلاً ثبت P و A و T ، ونبقي على P . فنقياس التوتر السطحي للسائل بدون تغيير P ولا A و T ونغير P فقط ونشئ جدولًا يحوي قيم Y بتغيير P وبقيمة القيم ثابتة، أي ($Y \sim P$) ونبحث عن العلاقة بينهما بمعالجة الأرقام أو بالرسم البياني . ثم ثبت P ونغير P بتغيير نوع السائل ونرسم ($P \sim Y$) ثم ($Y \sim A$) ثم ($Y \sim T$) . وبالنتيجة نحصل على التابع الذي يشرح الظاهرة كلها :

$$Y = Y(P, T, A, P)$$

ونسمي هذه الطريقة بطريقة فصل المتغيرات.

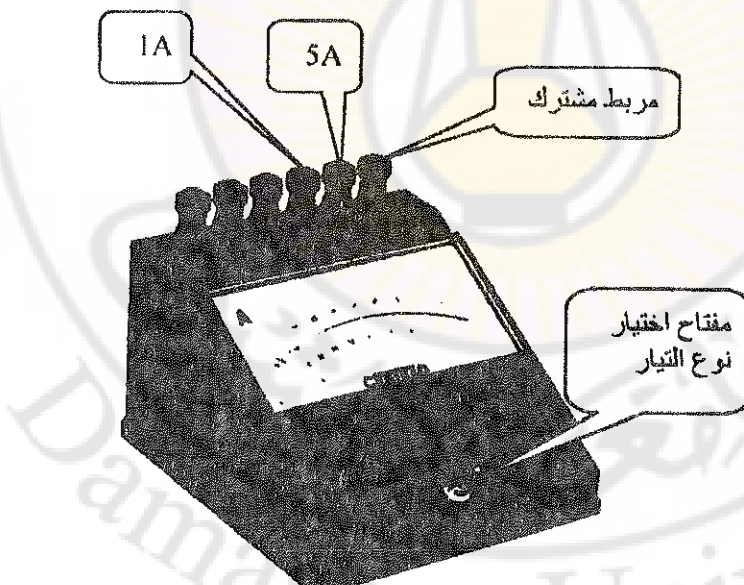
ولثبيت بعض المتغيرات أو تغيير بعضها نضطر لإجراءات تجريبية خاصة فثبيت درجة الحرارة يتطلب العزل، وثبيت السطح يكون بثبات أبعاد الجملة ولكن تغير السطح يتطلب أن يتحرك أحد الجدران مثلاً وهكذا. وبعد تصميم التجربة وخطواتها على المجرب استخدام قواعد عامة في القياس لتحسين دقة التجربة، وهي قواعد تتعلق بالمجرب من جهة وبأجهزة القياس ومعالجة الأرقام من جهة أخرى.

ولأن هدف كل ذلك هو إجراء قياسات دقيقة، وتجنب الأخطاء الممكنة، فإن القواعد يمكن أن تشرح ضمن فقرة الأخطاء التجريبية.

مقياس الأمبير

التيار الكهربائي هو بالتعريف عبارة عن جريان للشحنات الكهربائية في الناقل. و بالتالي فإن مقياس الأمبير هو الجهاز الذي يقوم بقياس معدل جريان الشحنات. لذا يجب أن يمر التيار الكهربائي في هذا المقياس، و بالتالي يجب وصله على التسلسل في الدارة الكهربائية بين مكونات هذه الدارة.

نظراً لوجود نوعين من التيار الكهربائي: التيار المستمر DC و التيار المتناوب AC ، لذا يجب معرفة نوع التيار المار في الدارة، و من ثم وضع مقياس الأمبير على الوضعية المناسبة لنوع التيار عن طريق المفتاح المخصص لهذا الغرض، الشكل (6) .

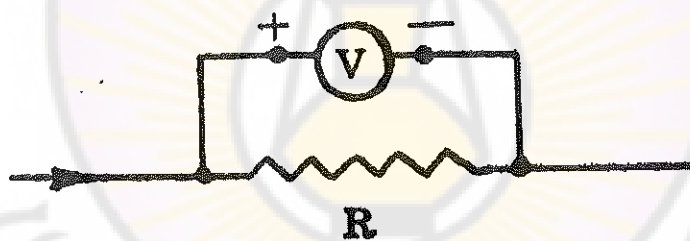


الشكل (6)

يمكن استخدام مقياس الأمبير لقياس مجالات متعددة من التيارات الكهربائية عن طريق مأخذ متعددة بحيث يسمح كل مأخذ قياس شدة تيار محددة الشكل (6) . يوجد بشكل دائم مأخذ مشترك يرمز له عادة بالرقم (0) و المأخذ الباقي يرمز لها بأرقام يشير كل منها إلى القيمة العظمى التي يمكن قياسها من هذا المأخذ.

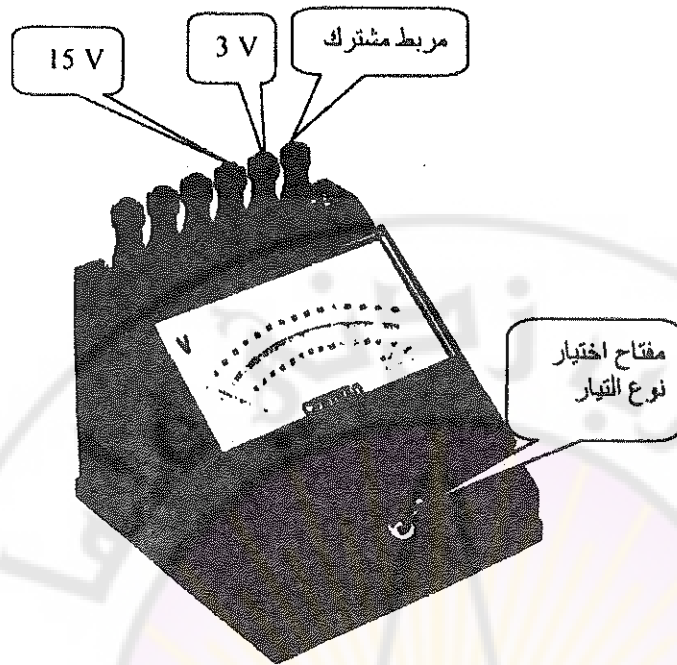
مقياس الفولط

يستعمل مقياس الفولط لقياس فرق الكمون (التوتر) بين نقطتين من دارة كهربائية تحتويان على أداة كهربائية ما مثل المقاومة أو الوسعة أو المكثفة ... الخ. ولقياس فرق الكمون بين طرفي عنصر من عناصر الدارة يجب وصل مربعي مقياس الفولط بين طرفي ذلك العنصر كما في الشكل (7) . أى أن هذا المقياس يجب وصله على التفرع (التوازي) بين طرفي العنصر المطلوب.



الشكل (7)

يمكن استخدام مقياس الفولط لقياس مجالات متعددة من فروق الكمون الكهربائية عن طريق مأخذ متعددة بحيث يسمح كل مأخذ قياس قيمة محددة الشكل (8) . يوجد بشكل دائم مأخذ مشترك يرمز له عادة بالرقم (0) و المأخذ الباقي يرمز لها بأرقام يشير كل منها إلى القيمة العظمى التي يمكن قياسها من هذا المأخذ.

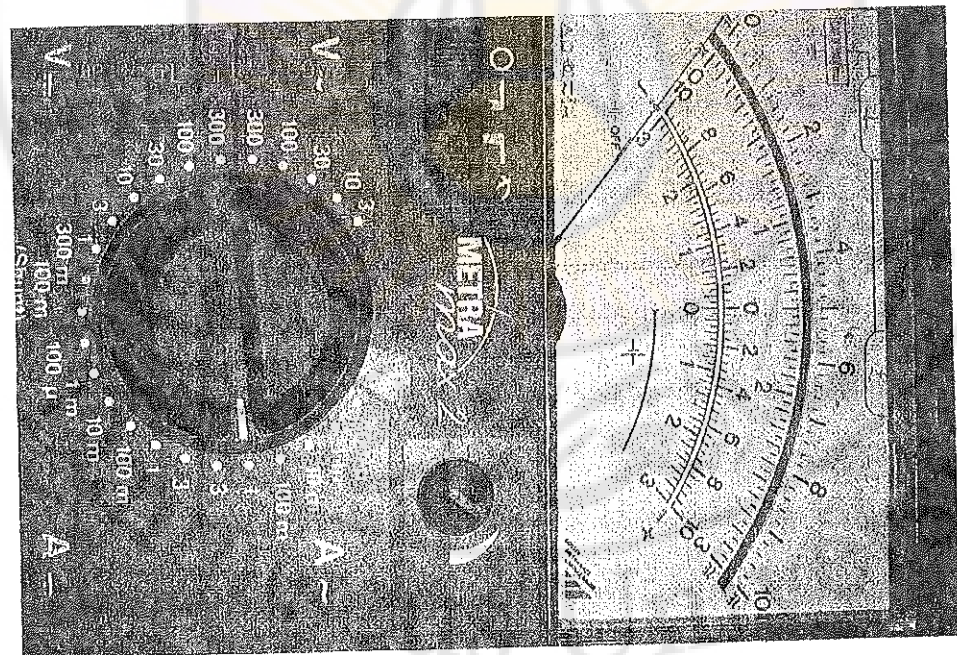
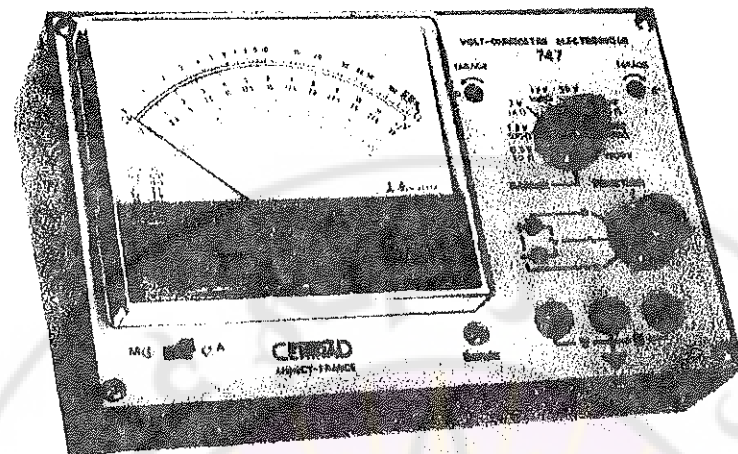


الشكل (8)

كما يجب معرفة التيار الكهربائي هل هو مستمر DC أو متناوب AC ، و وضع مقياس الفولط على الوضعية المناسبة عن طريق المفتاح المخصص لهذا الغرض، الشكل (8) .

مقاييس متعددة الأغراض

في الوقت الحاضر أصبحت توجد هناك مقاييس حديثة تقوم بقياس عدة مقايير وبجهاز واحد و لكن بتحويله من مقدار الى آخر عن طريق استخدام مفتاح يقوم بهذا التحويل. مثلاً يمكن قياس كل من شدة التيار و التوتر (فرق الكهون) و المقاومة و السعة الخ، و ذلك بالجهاز بنفسه و الذي يدعى باسم "آفو-متر". و يمكن أن يكون لهذا المقياس أشكال مختلفة كما في الشكل (9) .



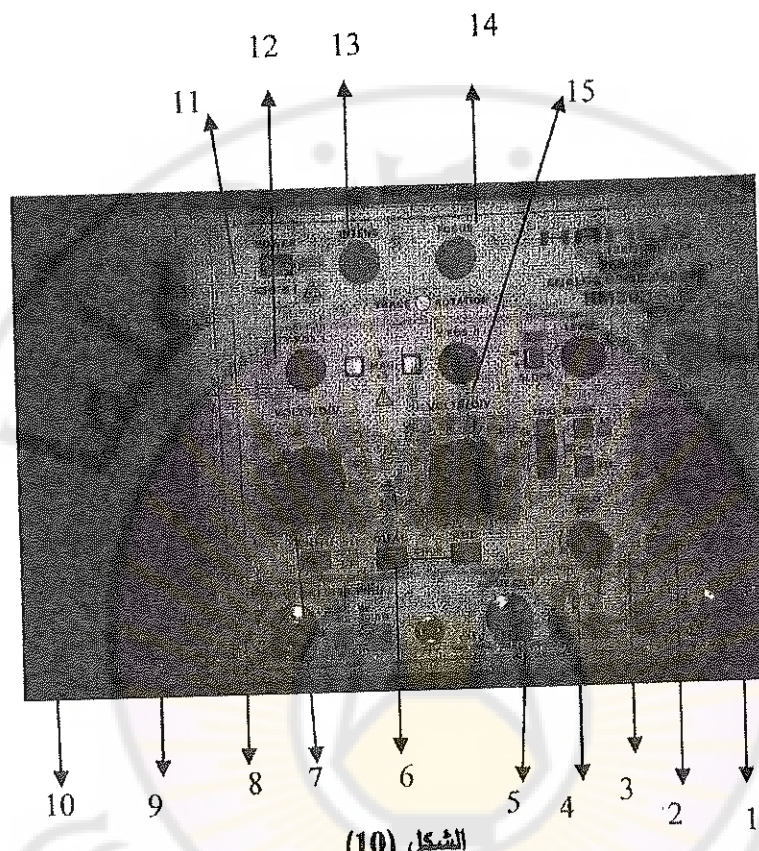


الشكل (٩)

راسم الاهتزاز المهبطي (Cathode Ray Oscilloscope) CRO

إن مقاييس الفولط والأمبير العادية و الرقمية توضع في الدارة لقياس قيمة رقمية فقط للتواتر أو التيار في الدارة. غير أنه في بعض الحالات يلزم معرفة شكل المنحني البياني لتغير المقدار المدروس اضافة الى القيمة العددية للمقدار المدروس . لذلك فإن راسم الاهتزاز المهبطي يقدم لنا البديل لمقاييس الأمبير و الفولط العادية الذي يظهر الصورة للمتحول المدروس على شكل مخطط بياني تابعا للزمن . بعد راسم الاهتزاز المهبطي من أهم الأجهزة المستخدمة في التجارب الكهربائية والالكترونية، و في صيانة الأجهزة الالكترونية. يبين الشكل

(10) شكل هذا الجهاز و الذي يتم استخدامه في جميع التجارب في هذا الكتاب.



من الشكل (10) نجد أن هذا الجهاز يتكون من الأجزاء التالية:

- 1 مفتاح التحكم بقاعدة الزمن Time/Div. و هو مقسم الى مجموعة من القيم توافق مقدار وحدة القياس على محور الزمن الأفقي، و تقدر القيم بالعيلي ثانية ms أو المкроوثانية μs. كما يمكن للمفتاح المحوري الموجود بداخله تغيير هذه القاعدة بصورة مستمرة بين المجموعة الواحدة.

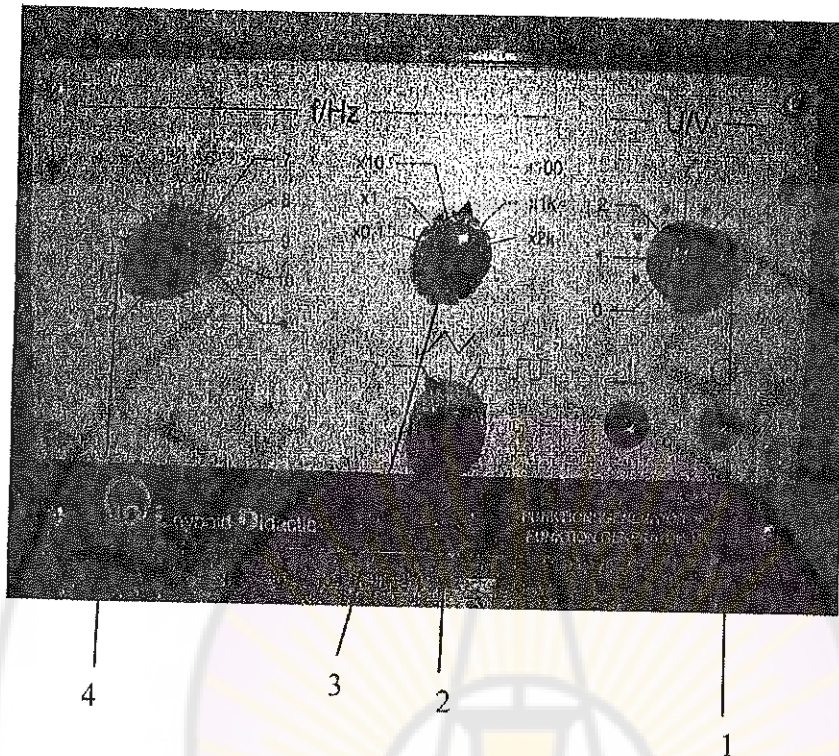
- 2 مفتاح الانزياح الأفقي X Pos. و هو يحرك الأثر المرسم على الشاشة بأكمله وفق المحور الأفقي للزمن.
- 3 مربط دخل من أجل إشارة ما مختلفة عن قاعدة الزمن على محور السينات.
- 4 مفتاح تركيب حركتين اهتزازيتين متعامدين Y-X. مع حذف الزمن.
- 5 مربط دخل من أجل إشارة ما على محور العينات الثاني (القناة الثانية) . Input ch II
- 6 مفتاح التحكم بقيم الانحراف الشاقولي Volts/Div. للقناة الثانية. كما يمكن للمفتاح المحوري الموجود بداخله تغيير هذه القاعدة بصورة مستمرة بين المجموعة الواحدة.
- 7 مفتاح التحكم بقيم الانحراف الشاقولي Volts/Div. للقناة الأولى. كما يمكن للمفتاح المحوري الموجود بداخله تغيير هذه القاعدة بصورة مستمرة بين المجموعة الواحدة.
- 8 مربط دخل من أجل إشارة ما على محور العينات الأول (القناة الأولى) . Input ch I
- 9 زر اختبار نوع الإشارة و إظهارها كاملة أو إظهار جزئها المتداوب .Ac/Dc
- 10 الشاشة التي يظهر الأثر المدروس عليها.
- 11 زر التشغيل Power.
- 12 مفتاح الانزياح الشاقولي I Pos. Y و هو يحرك الأثر المرسم على الشاشة بأكمله وفق المحور الشاقولي للقناة الأولى.
- 13 زر التحكم في شدة إضاءة البقعة الضوئية على الشاشة.
- 14 زر تحكيم (تبديل) البقعة الضوئية على الشاشة.

- 15 - مفتاح الانزياح الشاقولي II Pos. Y و هو يحرك الأثر المرتسم على الشاشة بأكمله وفق المحور الشاقولي للقناة الثانية.

مولد الاشارة

يعد مولد الاشارة من العناصر الأساسية في الدارات الكهربائية والالكترونية . فهو يغذي الدارة بموجة ذات تواتر وشكل و سعة محددة يمكن التحكم بها وفق ما هو مطلوب في الدارة. و من ثم القيام بدراسة ما يطرأ على هذه الإشارة في عناصر الدارة المختلفة و ذلك باستخدام راسم الاهتزاز المهيطي. يبين الشكل (11) أحد أشكال مولدات الإشارة المستخدمة. و هو يتالف من الأجزاء التالية:

- 1 - مفتاح التحكم في سعة الإشارة المستخدمة.
- 2 - مفتاح اختيار شكل الإشارة المطلوبة. جيبية أو مستطيلة.. الخ.
- 3 - مفتاح اختيار مجال التواترات المطلوبة.
- 4 - مفتاح ضبط التواتر المستمر ضمن المجال المختار.



(11) الشكل

هـ - الأخطاء التجريبية

تُقسم الأخطاء التجريبية عادة إلى (أخطاء نظامية ، وأخطاء غير نظامية).

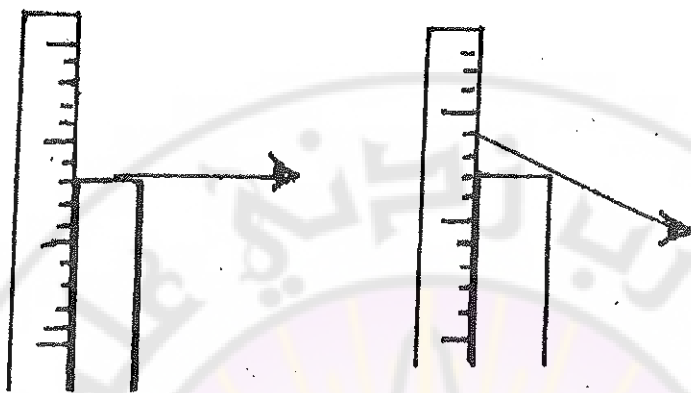
والأخطاء النظامية : تتعلق بالجهاز والحيود عن الشروط النظامية، مثلاً حيود الصفر عن قيمته، استجابة الجهاز للتغيرات بسبب العطلة الميكانيكية أو اللزوجة وما شابه، وهي أخطاء يمكن تجاوزها بطرقين إما بمعايرة الجهاز، وإعادة تأشيرة الصفر إلى الصفر في حالة انعدام المؤثر (وكثير من أجهزة القياس تحوي أداة إعادة الصفر). أو بإضافة هذا الانزياح في الصفر أو المعايرة لليقاس باستمرار أو طرحه من النتائج النهائية وغير ذلك.

والأخطاء غير النظامية تتعلق بالأشخاص (المجرب) أو تغير درجة الحرارة في الجو والضغط، أو تغير حركة الهواء في الغرفة ، أو حركة الأشخاص من اهتزاز للأرضية أو تغير توزع الكهرباء الساكنة في الغرفة وما شابه، وكثير من هذه الأخطاء يصعب تجنبها، ولكن تذكر أهميتها بالخبرة وبأخذ إجراءات مناسبة، وحماية أجهزة التجربة من المؤثرات الخارجية. فإذا كان تغير درجة حرارة الجو مؤثراً في التجربة وأجهزة القياس تجري التجربة بأسرع ما يمكن، وإذا تذرّ ذلك تُحمي التجهيزات وتثبت درجة الحرارة ضمن غرفة الحماية.

وعموماً يمكن تقديم بعض النصائح المفيدة لتجنب الأخطاء النظامية وغير النظامية :

- 1 - الانتهاء إلى وضع صفر الجهاز .
- 2 - بعد تهيئه التجربة ووضع جهاز القياس استشر المشرف على الجلسة في صحة التهيئة وجاهزية أجهزة القياس للعمل.
- 3 - الانتهاء إلى سرعة استجابة الجهاز للقياس، فلا يتم القياس حتى يستقر مؤشر القياس على الوضع الجديد.
- 4 - تؤخذ التغيرات في التجربة متناسبة مع قدرة ومجال عمل الجهاز.
- 5 - تسجّل أي ملاحظات أو شذوذات ملفنة للنظر تظهر على جهاز القياس أمام القيمة المسجلة ليسهل العودة إليها أثناء تحليل النتائج.
- 6 - إذا كانت التجربة مؤلفة من عدّة مراحل، فتحلل نتائج كل مرحلة ونستخلص منها المطلوب قبل الانتقال للمرحلة التالية، لأن ذلك يسمح بتقدير جودة أداء أجهزة القياس قبل إجراء كل التجارب.

7 - النظر إلى مؤشر جهاز القياس بصورة عمودية على الجهاز وليس بطريقة مائلة ، ويبين الشكل (5) الخطأ الذي يرتكبه المُجرب عند النظر بصورة مائلة على مؤشر جهاز القياس.



الشكل (5) : أخطاء المُجرب أثناء النظر غير الصادي .

و - الأرقام المعنوية

يتطلب تسجيل أرقام القياس الأمانة الكاملة ، فلا يمكن تسجيل $0,1\text{mm}$ بمسطرة أصغر تدريجة فيها تساوي 1mm ، ولذلك يجب أن نكتب المرتبة الأكبر فالأصغر حتى الوصول إلى أصغر تدريجة فقط. وكل ما يكتب عن مرتبة أصغر من ذلك أرقام غير صحيحة ولا معنى لها. إذن تتحكم تدرجات المؤشر بعدد الأرقام التي نقرأها.

إذا كانت المسطرة المدرجة مقسمة إلى 100 تدريجة، وهي بطول 1m ، فهذا يعني أن كل تدريجة بطول 1cm . فإذا قسمنا الأطوال نقول 86cm وقد يسمح برقم تقديرى، لأن 1cm كبير ويمكن تقديره بالعين المجردة فنقول مثلاً $86,5$ أو $86,2$ ، فالقيمة $0,5$ أو $0,2$ تقديرية مشكوك في صحتها.

اما إذا كانت المسطورة نفسها مدرّجة إلى 1000 تدريجة ، أي كل تدريجة 1mm، فنقرأ مباشرة، ومن الخطأ قراءة (0,3) ، و ذلك لأن 1mm صغيرة فلا يُسمح بتقدير أجزائها، ويكون الشك الأعظمي في قراءة قيمة 1mm هو نصف التدريجة، ولأن الشك يعني زيادة أو نقصاناً نقول إن الشك في القياس هو $\pm 0,5 \text{ mm}$

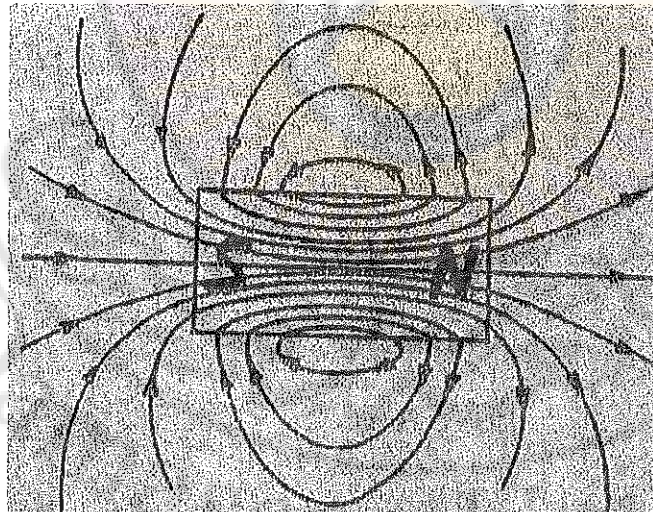
الحقول المغناطيسية للتيار الكهربائي

الغاية من التجربة :

- 1- قياس الحقل المغناطيسي الناتج من مرور تيار كهربائي في ناقل مستقيم .
- 2- قياس الحقل المغناطيسي الناتج من مرور تيار كهربائي في ناقل دائري.
- 3- قياس الحقل المغناطيسي الناتج من مرور تيار كهربائي في ملف ناقل حلزوني. (تطبيقات على قانون بيو-سافار).

تمهيد نظري :

تعد المنطقة التي تحيط بالمagnetics منطقه حقل مغناطيسي magnetic field ، ويمكن تخطيط الحقل المغناطيسي بوساطة خطوط التأثير المغناطيسي (الشكل 1) وهي تشبه خطوط القوى الكهربائية وبدل اتجاه المماس لخط التأثير المغناطيسي على اتجاه الحقل عند نقطة التماس ، كما تتناسب كثافة خطوط التأثير المغناطيسي دلالة على شدة المجال المغناطيسي أو كثافة التدفق المغناطيسي (التحريض المغناطيسي) .



الشكل (1)

والعلاقة بينهما في الخلاء تحدده العلاقة التالية :

$$B = \mu_0 H \quad (1)$$

حيث: μ_0 نفاذية الفراغ Permeability

H شدة الحقل المغناطيسي

B شدة التحريرض المغناطيسي

ويسمى عدد خطوط التدفق التي تتدفق عمودياً من خلال سطح ما بالتدفق المغناطيسي Φ وهو يمثل العدد الكلي لخطوط القوى التي تخترق سطحاً ما ، فإذا كان التحريرض المغناطيسي B منتظمًا وناظمياً على سطح مساحته S فإن

$$\phi = B.S \quad (2)$$

وفي حال كان الناظم على السطح يصنع زاوية مقدارها θ مع اتجاه خطوط القوى فإن المعادلة (2) تصبح

$$\Phi = B.S \cos \theta \quad (3)$$

أما إذا كان السطح غير منتظم الشكل فيمكن تقسيمه إلى عناصر متناهية في الصغر dS بحيث يكون الشكل التقاضي للعلاقة (3) هو :

$$d\phi = B dS \cos \theta \quad (4)$$

يبين الجدول التالي وحدات المقاييس S, B, ϕ, μ_0

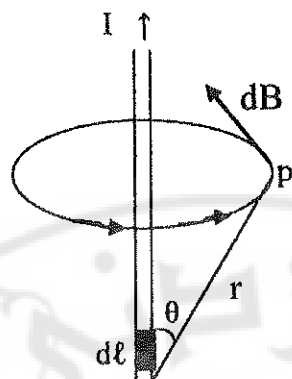
| المقدار | النظام العالمي SI |
|---------|----------------------------|
| B | فيبر/م ² = نسلا |
| H | آمبير/متر |
| ϕ | فيبر |
| μ_0 | فيبر / آمبير - متر |
| S | متر ² |

ثُرست كل من الظاهرة المغناطيسية والظاهرة الكهربائية بصورة منفصلة لسنوات عديدة دون ملاحظة أي علاقة بينهما، حتى لاحظ العالم اورستد عام 1820 انحراف الإبرة المغناطيسية نتيجة لمرور تيار كهربائي في سلك قريب منها، وبعد هذا الاكتشاف تبين أن المجالات المغناطيسية تتولد نتيجة لمرور التيار الكهربائي حتى بالنسبة للمغناطيس الدائم، فتعزى مغناطيسيته لوجود تيارات كهربية صغيرة سببها حركة الشحنات داخل ذرات المادة .

فألون بيتو - سافار :

تمكن العالمان بيتو وسافار عام 1820 من استنتاج معادلة رياضية يمكن بوساطتها حساب المجال المغناطيسي لأي دارة كهربائية :

$$dB = \frac{\mu_0}{4\pi} \frac{Idl \sin \theta}{r^2} \quad (5)$$



(الشكل 2)

dB التحريض المغناطيسي الناتج من عنصر طولي dl من سلك يمر فيه تيار شدته I و ذلك في نقطة P تبعد عن عنصر الطول مسافة r ، θ هي الزاوية بين dl و r (الشكل 2) و $\mu_0 = 4\pi \times 10^{-7} \text{ wb/Am}$ نفاذية الخلاء.

تطبيقات قانون بيو وسافار :

يمكن تطبيق العلاقة (5) على كل من الحالات التالية :

1. حالة مرور تيار شدته I في سلك مستقيم في نقطة تبعد عنه مسافة b :

$$B = \frac{\mu_0 I}{2\pi b} \quad (6)$$

2. حالة مرور تيار شدته I في سلك دائري نصف قطره R فالحقل المترسخ في نقطة تبعد x عن مركز السلك الدائري :

$$B = \frac{\mu_0 I R^2}{2 (R^2 + x^2)^{1/2}} \quad (7)$$

وفي حالة $X=0$ نحصل على الحقل المترولد في مركز السلك (الحقل) :

$$B = \frac{\mu_0}{2} \frac{I}{R} \quad (8)$$

3. حالة مرور تيار شدته I في ملف حلزوني :

أ - في مركز الملف (في منتصفه) :

$$B = \mu_0 \frac{NI}{l} = \mu_0 n I \quad (9)$$

حيث N عدد لفات الملف، l طول الملف n عدد اللفات في وحدة الطول

ب - في نهاية الملف يكون:

$$B = \frac{\mu_0}{2} \frac{NI}{l} \quad (10)$$

ملاحظة :

يمكن الحصول على العلاقات (6) و (7) و (9) و (10) من تطبيق قانون آمبير للربط بين الحقل المترلس و مصدره . وينص هذا القانون على :

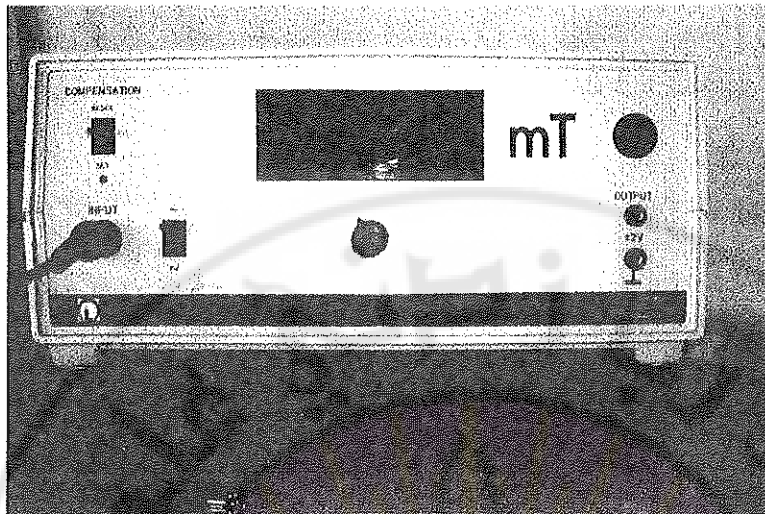
التكامل الخطى للتحريض المقطبى B حول مسار مغلق يساوى مجموع التيارات داخل هذا المسار مضروبا في معامل نفوذية الخلاء أي ان :

$$\oint B \cos \theta d\ell = \mu_0 \sum i = \mu_0 I$$

حيث $d\ell$ عنصر الطول من المسار المغلق و $B \cos \theta$ مركبة التحريض المقطبى في اتجاه العنصر .

الأدوات والأجهزة المستخدمة :

- جهاز سلامتر (قياس شدة الحقل المغناطيسي) الشكل (3)



الشكل (3)

- مجسات مغناطيسية
- وحدة تغذية
- قاعدة
- قاعدة مدرجة
- ناقل مستقيم ، مجموعة نواقل حلقة ، وشيعة (ملف)
- حامل ، ملقط ، أسلاك توصيل

مراحل العمل :

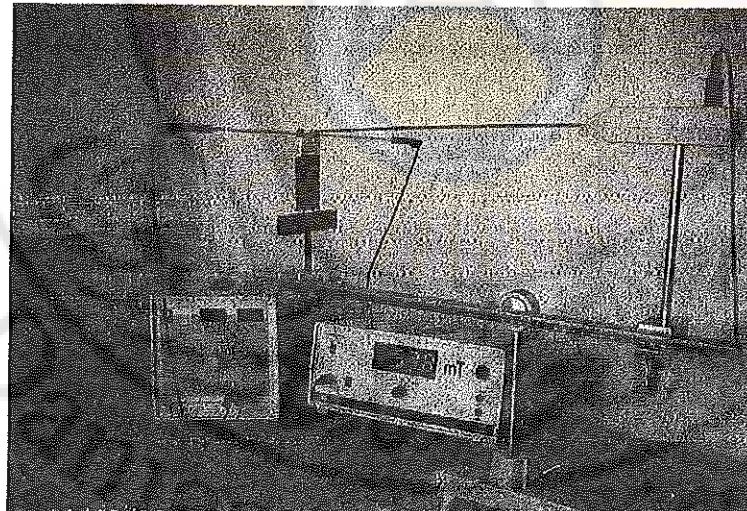
أولاً : دراسة شدة الحقل المغناطيسي المتولد من سلك خطى:

(1) دراسة تغير شدة الحقل المغناطيسي B بتغير شدة التيار I المار في سلك

- ضع السلك على قاعدته .
- صل طرفي السلك بأخذ التيار المستمر من المغذية.
- ضع المجرس المناسب بحيث يتلامس مع منتصف السلك وبشكل عامودي عليه عندئذ يكون البعد الفعلي عن منتصف السلك $d = 3mm$ بسبب سماكة السلك والرأس المدبب في نهاية المجرس.

- صل المحس بجهاز التسلا mT مع وضع المؤشر على المجال 200
 (انظر الشكل 4)
- ينبغي ألا يتتجاوز التيار المار في السلك عن $20A$.
- قم بتغيير شدة التيار بدءاً من الصفر ويزاده $2A$ في كل مرة ثم اقرأ
 شدة الحقل الناتج .
- ثبت النتائج في جدول كالتالي:

| $I(A)$ | $B(mT)$ |
|--------|---------|
| | |



الشكل (4)

- ارسم بيانياً تحولات B بدلالة I واحسب ميل المنحنى
- احسب μ_0 من الميل وقارنها مع القيمة النظرية ثم احسب الارتباط فيها.

٢) دراسة تغير شدة الحقل المغناطيسي بتغير البعد عن منتصف السلك عند تيار ثابت :

- ثبت التيار المار في السلك عند $I = 20A$
- حرك المجرس خطوة خطوة وأقرا المسافة على مسطرة المجرس

$$b = S + 3mm$$

- نظم جدولًا كالتالي :

| $S(mm)$ | $B(mT)$ | $b = S + 3mm$ |
|---------|---------|---------------|
| 0 | | |
| 1 | | |
| 40 | | |

- ارسم تحولات B بدلالة b ما هو شكل المنحنى؟
- ارسم تحولات B^{-1} بدلالة b ما هو شكل المنحنى؟

ثانياً : دراسة الحقل المغناطيسي المتولد من حلقة دائريّة :

أ. تغيير شدة الحقل المغناطيسي B بتغيير شدة التيار I مع ثبيت نصف قطر الملف الدائري R

- استبدل الحلقة بالناقل المستقيم
- صل أطراف الحلقة بالأسلاك إلى وحدة التغذية
- صل المجرس إلى الجهاز mT مع وضع رأسه في مركز الحلقة وبنفس مستواها .

- غير شدة التيار I بدءاً من 0 ولغاية $20A$ بخطوة $2A$ ثم اقرأ شدة الحقل المغناطيسي عن طريق جهاز mT
- ثبت النتائج في جدول كالتالي :

| $I (A)$ | $B (mT)$ |
|---------|----------|
| | |
| | |
| | |

- ارسم بيانياً تحولات B بدلالة I
 - عين بيانياً μ_0 وقارنها مع القيمة النظرية وعين الارتباط في حسابها.
- ب . اعد الدراسة السابقة مع ثبيت شدة التيار $I = 20A$ من أجل ملفات مختلفة الأقطار ذات لفة واحدة.
- ثبت النتائج في جدول كالتالي:

| R | $B(mT)$ |
|-----|---------|
| | |
| | |
| | |

ارسم بيانياً تحولات B مع R^{-1} ماذا تستنتج؟

جـ . دراسة الحقول المترسبة من ملفات متساوية القطر مختلفة في عدد

اللفات مع ثبوت التيار $I = 20A$

ثبت النتائج في جدول كالتالي :

| N عدد اللفات | $B(mT)$ |
|----------------|---------|
| | |

ارسم بيانيا تحولات B بدلالة X ، ماذا تستنتج ؟

د - دراسة شدة الحقل المغناطيسي B من أجل أبعاد مختلفة عن مركز حلقة معينة ذات لفة واحدة

ترتيب جدول كال التالي بحيث تأخذ عشر قراءات مختلفة على الأقل مع تغيير X فيها كل مرة

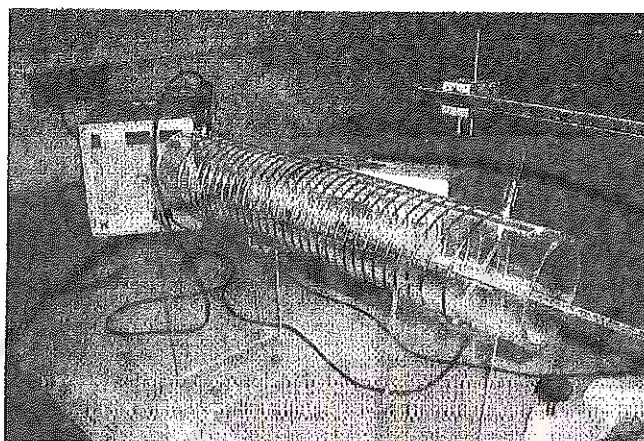
| X | B |
|-----|-----|
| | |

ارسم بيانيا تحولات B بدلالة X انظر العلاقة (7)

ثالثاً: دراسة شدة الحقل المغناطيسي المتولد عن ملف حلزوني (انظر العلاقاتين (9) و (10))

1- ضع رأس المجرس في منتصف الملف الحلزوني محمول على قاعدة حسب الشكل (5)

2-قس شدات الحقل المترعرض B من أجل تيارات مختلفة



الشكل(5)

3-ضع النتائج في جدول كالتالي:

| $I \ A$ | B_{ex} | B_{th} |
|---------|----------|----------|
| 3 | | |
| 6 | | |
| | | |
| | | |
| | | |
| 15 | | |

4-ارسم منحني تغير B التجريبية بدلالة I واحسب ميل المنحني. ماذا تستنتج؟

5-احسب B_{th} نظرياً من العلاقة (9)

6-أعد العمل عندما يكون رأس المجرس في نهاية الملف الحلزوني (انظر العلاقة (10))

7-ناقش النتائج وحدد الارتكاب في حساب μ



التحريض المغناطيسي

الغاية من التجربة:

1. دراسة تأثير كل من شدة التيار و التردد في الملف المحرض في القوة المحركة الكهربائية المتولدة في الملف المتحرض
2. دراسة العلاقة بين عدد اللفات في الملف المتحرض و القوة المحركة الكهربائية المتولدة فيه

تمهيد نظري:

اكتشف فارادي بتجاربه إمكانية توليد قوة محركة كهربائية من خلال تغير التدفق المغناطيسي عبر الملف.

فإذا مرّ تيار كهربائي في ملف C فإنه يتولد في ملف آخر A موجود في الحقل المغناطيسي الذي ينتجه الملف C قوة محركة كهربائية بتحريك الملفين بالنسبة لبعضهما أو بتغيير مقدار التيار في الملف C و يمكن تحقيق ذلك من خلال إحدى العمليات التالية:

- (a) استخدام مقاومة متغيرة لتغيير التيار المار في الملف C
- (b) فتح التيار و إغلاقه
- (c) استخدام منبع تغذية تيار متناوب في الملف C

سنقوم في هذه التجربة بتحقيق الفقرة الأخيرة (c)

من المهم الإشارة إلى أن القوة المحركة الكهربائية المتحركة في ملف تتعلق بسرعة تغير التدفق $d\Phi/dt$ و بعد اللفات على الملف و بمساحة المقطع العرضي للملف.

إن الحقل المغناطيسي المحرض الناتج من ملف عدد لفاته n و طوله l تعطى بالعلاقة (1) :

$$B = \mu_0 n \frac{I}{l} \quad (1)$$

حيث : I - شدة التيار المار فيه

μ_0 - الثابت المغناطيسي. و يعطى التدفق المغناطيسي بالعلاقة (2) :

$$\phi = \oint_A \vec{B} \cdot d\vec{s} \quad (2)$$

وفي الحالة الخاصة عندما يكون B عمودياً على عنصر السطح $d\vec{s}$ و $\vec{B} \perp d\vec{s}$ ثابت تؤول العلاقة (2) إلى الشكل:

$$\phi = A \cdot B \quad (3)$$

A سطح المقطع العرضي للملف المترعرض . ولما كانت القوة المحركة الكهربائية المترعرضة تعطى بالعلاقة:

$$U = -n' \frac{d\phi}{dt} \quad (4)$$

حيث n' عدد لفات الملف المترعرض . وإذا كانت شدة التيار المتناوب المار في الملف المحرض هي من الشكل:

$$I = I_o \sin \omega t \quad (5)$$

حيث :

$$\omega = 2\pi f \quad (6)$$

f التواتر . باستخدام العلاقات (1) و (3) و (5) نجد بسهولة التدفق Φ :

$$\phi = A \mu_0 \frac{n}{l} I_o \sin \omega t \quad (7)$$

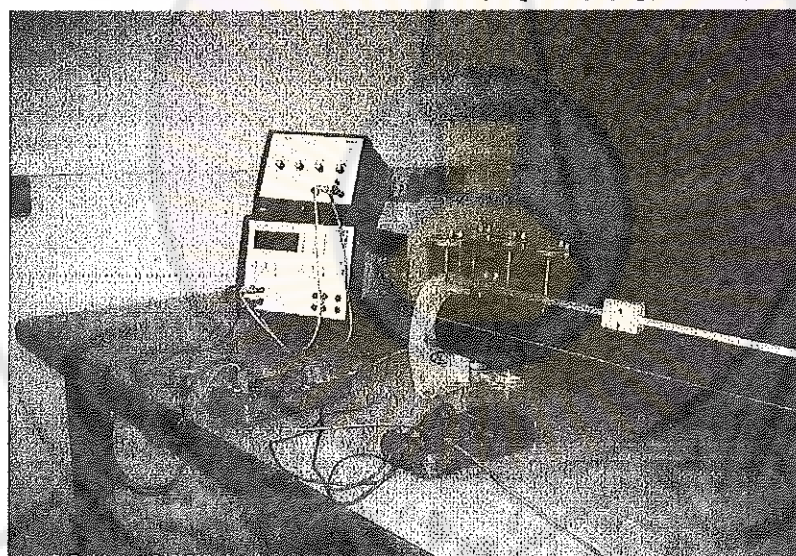
بتعويض (7) في (4) نجد:

$$U = -A \mu_0 \frac{n' \cdot n}{l} \omega I_o \cos \omega t \quad (8)$$

حيث U القوة المحركة الكهربائية المترسبة في الملف الثانوي و تفاص بالفولط وفي تجربتنا تفاص هذه القوة المحركة الكهربائية بمقاييس الفولط الذي يربط بين طرفي الملف المترس.

الأدوات والتجهيزات المستخدمة :

- ملف رئيسي محرض طوله 750mm وعدد لفاته 485 لفة
- مجموعة ملفات تحربيبة ثانوية ذات أطوال ومقاطع و عدد لفات مختلفة
- مولد إشارة متعدد النمط
- عداد إلكتروني رقمي
- مقاييس أمبير وفولت رقمية .



(الشكل(1)

مراحل العمل:

أولاً: دراسة علاقة شدة التيار المار في الملف الرئيسي المحرض مع القوة الكهربائية المترسبة (فرق الجهد المترس) في الملف المترس يتم وصل التجربة كما هو مبين في الشكل (1) باتباع الخطوات التالية:

- 1- صل طرفي الملف المحرض إلى مخرج منبع الإشارة عن طريق مقاييس الأمبير على التسلسل ، انظر الشكل(1)
- 2- صل طرفي الملف الصغير (المتحرض) بين طرفي مقاييس الفولت على المجال 2V مع مراعاة وضع مقاييس الفولت لقياس التيار المتناوب
- 3- ضع الملف المتحضر ذو القطر 41mm ضمن الملف المحرض الكبير
- 4- صل مخرج منبع التواترات إلى مدخل العداد الإلكتروني مع مراعاة التأريض
- 5- اضبط العداد ليقيس تردد الإشارة المستخدمة بالضغط على الزر function عدة مرات حتى يضيء المؤشر بجانب FREQ و يضيء مؤشر KHz على الشاشة الأمامية للعداد
- 6- اضغط على الزر start حتى يضيء مؤشر فوق الزر في حال كان العداد صحيحاً سيظهر العداد قيمة تردد الإشارة المتولدة عن مولد الإشارة
- 7- قم بإعداد مولد الإشارة للحصول على إشارة بين 1KHz و 12KHz و ذلك باستخدام الزر (7) لضبط مجال التردد المطلوب على 10^3 KHz
- 8- ضع مؤشر مقاييس الأمبير على التيار المستمر ثم اضبط شدة التيار المستمر على الصفر بتدوير زر Offset على مولد الإشارة ثم أعد المؤشر على التيار المتناوب.
- 9- اضبط التردد على نحو 10KHz و ذلك باستخدام الزر (4) Amplitude في مولد الإشارة وسجل قيمة الجهد المتحضر في الملف الموضوع داخل الملف المحرض في جدول كالتالي :

| $I(\text{mA})$ | 5 | 10 | 15 | 20 | 25 | 30 |
|-----------------|---|----|----|----|----|----|
| $U (\text{mV})$ | | | | | | |

ملاحظة: يجب الانتباه إلى عدم تجاوز التيار المحرض 30mA حتى لا نجهد مولد الإشارة

يوضع الملف المتحضر في منتصف الملف المحرض

- 10- احسب الخطأ المركب في الجهد .
- 11- ارسم المنحني البياني لتحولات $(U \text{ mv})$ بدلالة $(I \text{ mA})$ على ورقة لوغارitmية . ماشكل المنحني البياني الناتج
- ثانياً: دراسة علاقة التردد في الملف المحرض مع الجهد المترعرض
- 1- ثبت التيار المار في المحرض على 30mA (مع الانتباه دوماً إلى تعديله)
 - 2- قم بتغيير التردد في المجال $(1 \rightarrow 12\text{KHz})$
 - 3- سجل النتائج في الجدول التالي

| $I=30\text{mA}$ | $F(\text{KHz})$ | 1 | 2 | ---- | 11 | 12 |
|-----------------|------------------|---|---|------|----|----|
| | $U \text{ (mv)}$ | | | | | |

- 4- ارسم المنحني البياني لتحولات $(U \text{ mv})$ بدلالة $f(\text{KHz})$ على ورقة لوغارitmية . ما شكل المنحني البياني الناتج
- ثالثاً: دراسة علاقة عدد اللفات في الملف المترعرض مع الجهد المحرض :
- 6- ثبت التيار المار في المحرض على 30mA و التردد على 10KHz
 - 7- سجل النتائج في الجدول التالي
- ملاحظة: استخدم ملفات ذات عدد لفات n مختلف و أنصاف قطر متماثلة

| $d=41\text{mm}$ | |
|-----------------|------------------|
| n | $U \text{ (mv)}$ |
| | |
| | |
| | |
| $d=26\text{mm}$ | |
| n | $U \text{ (mv)}$ |
| | |
| | |
| | |

8- ارسم المنحني البياني لتحولات $U(mv)$ بدلالة n على ورقة لوغارتمية ما
شكل المنحني البياني الناتج.

رسعاً: دراسة علاقة نصف القطر في الملف المترعرض مع الجهد المحرض

1- ثبت التيار المار في المحرض على $30mA$ و التردد على $10KHz$.

2- قم بتغيير نصف قطر الملف المترعرض وقس الجهد المحرض.

3- سجل النتائج في الجدول التالي.

| n=300 | |
|-------|--------|
| d(mm) | U (mv) |
| | |
| | |
| | |
| | |

4- ارسم المنحني البياني لتحولات $U(mv)$ بدلالة $d(mm)$ على ورقة
لوغارتمية. ما شكل المنحني البياني الناتج؟

دراسة الممانعة $L-C-R$ على التسلسل في دارة تيار متذبذب

الغالية من التجربة:

- حساب الممانعة

- تعين فرق الطور φ

- تحديد التواتر f في حالة التجاوب (الطنين)

تعميد نظري:

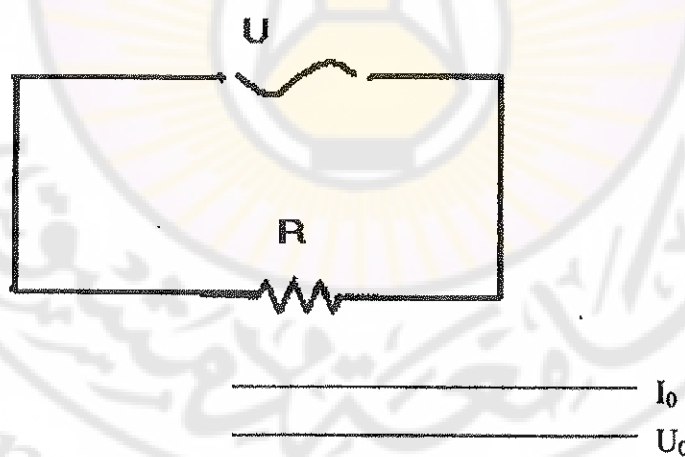
لدى تطبيق جهد متذبذب $U = U_0 \cos(\omega t)$ بين طرفي مقاومة أومية

فإن القيمة الحatóية لشدة التيار المار فيها هي: $I = I_0 \cos(\omega t)$

حيث U_0 و I_0 تمثل السعات العظمى

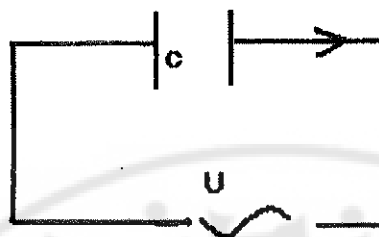
وفي هذه الحالة يكون فرق الطور (الصفحة) معدوماً بين الجهد و التيار (انظر

(الشكل 1)



(الشكل 1)

أما في حالة المكثف C ، الشكل (2) فإن قيمة الشحنة q على المكثف هي:



الشكل(2)

حيث $q = cU$ ، حيث c سعة المكثف. وبما أن شدة

$$\text{التيار } I = \frac{dq}{dt} \text{ فان :}$$

$$I = -\omega c U_o \sin(\omega t) = \frac{U_o}{X_c} \cos\left(\omega t + \frac{\pi}{2}\right)$$

$$I = I_0 \cos\left(\omega t + \frac{\pi}{2}\right)$$

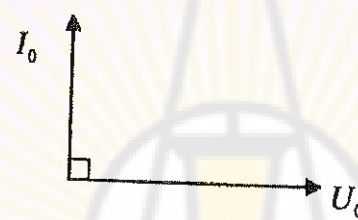
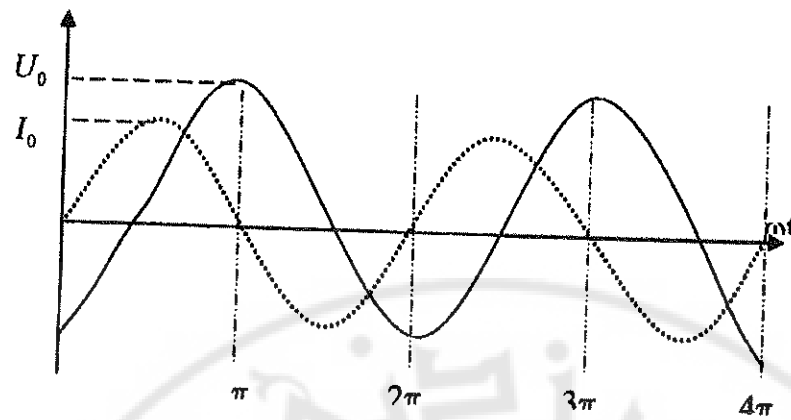
حيث :

$$I_o = \frac{U_o}{X_c}, \quad X_c = \frac{1}{\omega c} = \frac{1}{2\pi f c}$$

f هو تواتر المنبع المتناوب للجهد ، و X_c الرد السعوي أو المقاومة السعوية ووحدته هي الأوم ويمثل مقاومة المكثف للتيار المتناوب.

نرى على الشكل(3) تمثيل كل من U ، I بدلالة ωt والتمثيل المتجهي لكل من

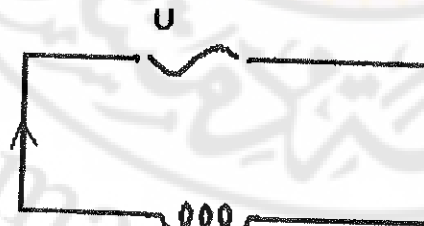
$$U_o, I_o \text{ حيث يكون التيار متقدما عن الجهد بزاوية قدرها } -90^\circ - \frac{\pi}{2}$$



الشكل (3)

حالة ملف ذو تحرير ذاتي L :

عندما نصل ملفاً ذو تحرير ذاتي L بين طرفي ملبع الجهد المتداوب وفي حالة المقاومة الأومية للملف، مهملاً (الشكل (4)) فإن التدفق المغناطيسي الناتج من



الشكل (4)

مرور التيار I يولـد قـوة مـحـركـة كـهـرـبـائـية عـكـسـيـة مـقـدـرـها

وبـطـبيـق قـاعـدة كـيرـشـوفـ الثـانـيـة عـلـى الدـارـة (الـشـكـلـ(4)) يـنـبـغـي أـن يـكـون :

$$U + \varepsilon = 0$$

أـيـ إنـ:

$$U - L \frac{dI}{dt} = 0$$

$$dI = \frac{U_o}{L} \cos(\omega t) dt$$

وـمـنـهـ:

وـبـالـمـكـامـلـة نـحـصـل عـلـىـ:

$$I = \frac{U_o}{L} \int \cos(\omega t) dt$$

$$= + \frac{U_o}{\omega L} \sin(\omega t)$$

$$= \frac{U_o}{\omega L} \cos\left(\omega t - \frac{\pi}{2}\right)$$

$$= I_0 \cos\left(\omega t - \frac{\pi}{2}\right)$$

$$I_0 = \frac{U_o}{\omega L} = \frac{U_o}{X_L} \quad \text{حيث:}$$

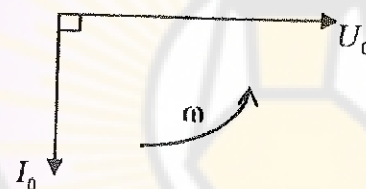
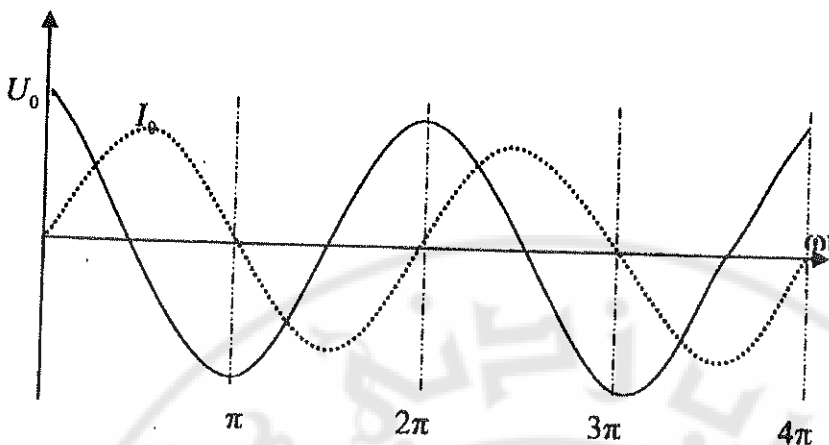
$X_L = \omega t$ يـسـمـى بالـرـدـ التـحـريـضـيـ وـهـيـ تـمـثـلـ مقـاـمـةـ المـلـفـ لـلـتـيـارـ المـتـاـوـبـ

وـهـيـ تـخـلـفـ عـنـ مقـاـمـةـ الـأـوـمـيـةـ وـوـاحـدـتـهاـ الـأـوـمـ Ω .

نـمـثـلـ عـلـىـ الشـكـلـ (5) منـحـنيـ تـغـيـرـ U , I مع ωt وـنـرـىـ أـنـ هـنـاكـ فـرـقـ فـيـ الطـورـ

قدـرهـ $\frac{\pi}{2}$ حـيـثـ أـنـ التـيـارـ يـتـأـخـرـ عـنـ الجـهـدـ بـزاـوـيـةـ قـدـرـهـ $\frac{\pi}{2}$ وـسـبـبـ هـذـاـ التـأـخـرـ هـوـ

تـولـدـ قـوـةـ دـافـقـةـ كـهـرـبـائـيةـ ذـاتـيـةـ لـهـاـ تـيـارـ كـهـرـبـائـيـ يـعـاـكـسـ تـيـارـ المـنـبـعـ.



الشكل (5)

على التسلسل:

عند وصل المكثف على التسلسل مع مقاومة أومية (انظر الشكل (6)) فإنه يمر التيار بنفسه في كل من المقاومة والمكثف ويمكن كتابة التيار بالشكل :

$$I = I_o \cos(\omega t + \varphi_s)$$

حيث φ_s فرق الطور عند بدء الزمن. أما الجهد بين طرفي المقاومة R فهو:

$$U_R = RI_o \cos(\omega t + \varphi_s)$$

والجهد بين طرفي المكثف يكون:

$$U_c = X_c I_o \cos(\omega t + \varphi_s - \frac{\pi}{2})$$

ومجموع الجهدتين هو:

$$U_s = \sqrt{R^2 + X_c^2} I_o \cos(\omega t)$$

ويساوي قيمة الجهد المطبق على الدارة أصلًا حيث :

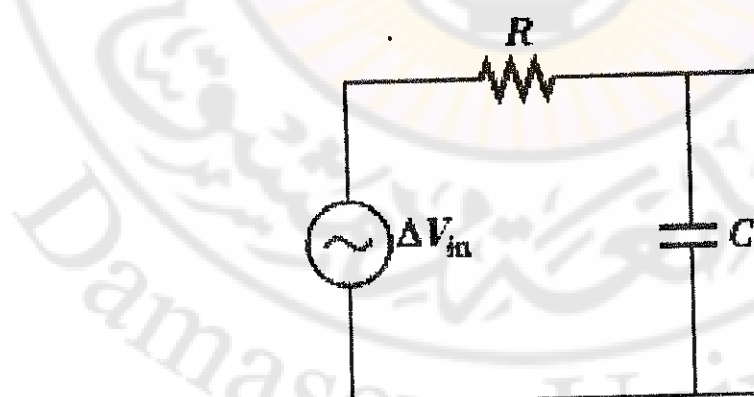
$$\operatorname{tg} \varphi_s = \frac{X_c}{R}$$

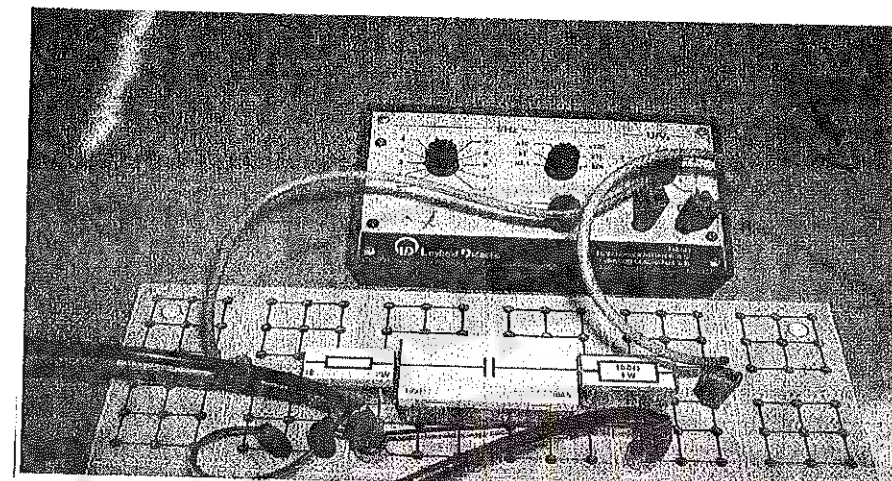
$$U_o = \sqrt{R^2 + X_c^2} I_o$$

وبالتالي تكون ممانعة الدارة في حالة ربط المقاومة الأومية مع المكثف على التسلسل هي :

$$Z_s = \sqrt{R^2 + X_c^2}$$

والتيار هنا متقدم عن الجهد بزاوية $\frac{\pi}{2}$





(الشكل(6)

على التسلسل: $R-L$

عند وصل الملف على التسلسل مع مقاومة أومية (انظر الشكل (7)) فإن نفس التيار يمر في كل من R ، L والذي يكتب بالصيغة :

$$I = I_o \cos(\omega t - \varphi_s)$$

حيث φ_s فرق الطور عند بدء الزمن. أما الجهد بين طرفي المقاومة R فهو:

$$U_R = RI_o \cos(\omega t - \varphi_s)$$

والجهد بين طرفي الملف يكون :

$$U_L = X_L I_o \cos(\omega t - \varphi_s + \frac{\pi}{2})$$

لما مجموع الجهدتين يكون :

$$U_s = \sqrt{R^2 + X_L^2} I_o \cos(\omega t)$$

ويساوي قيمة الجهد المطبق ولهذا فإن :

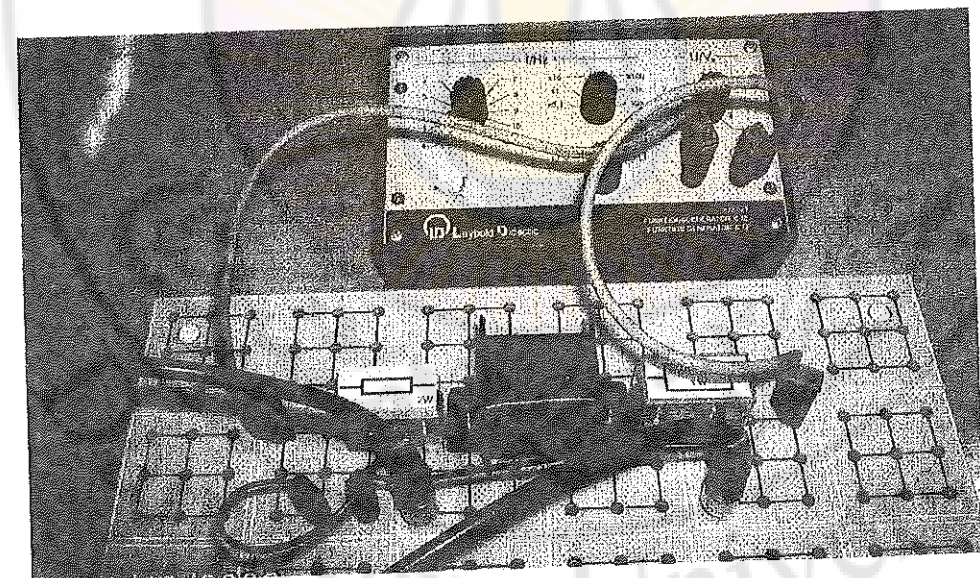
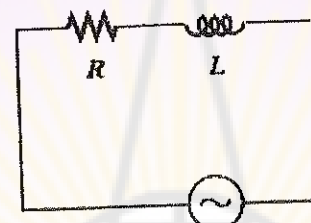
$$\operatorname{tg}\varphi_s = \frac{X_L}{R}$$

$$U_o = \sqrt{R^2 + X_L^2} I_o$$

وبالتالي تكون ممانعة الدارة في هذه الحالة هي :

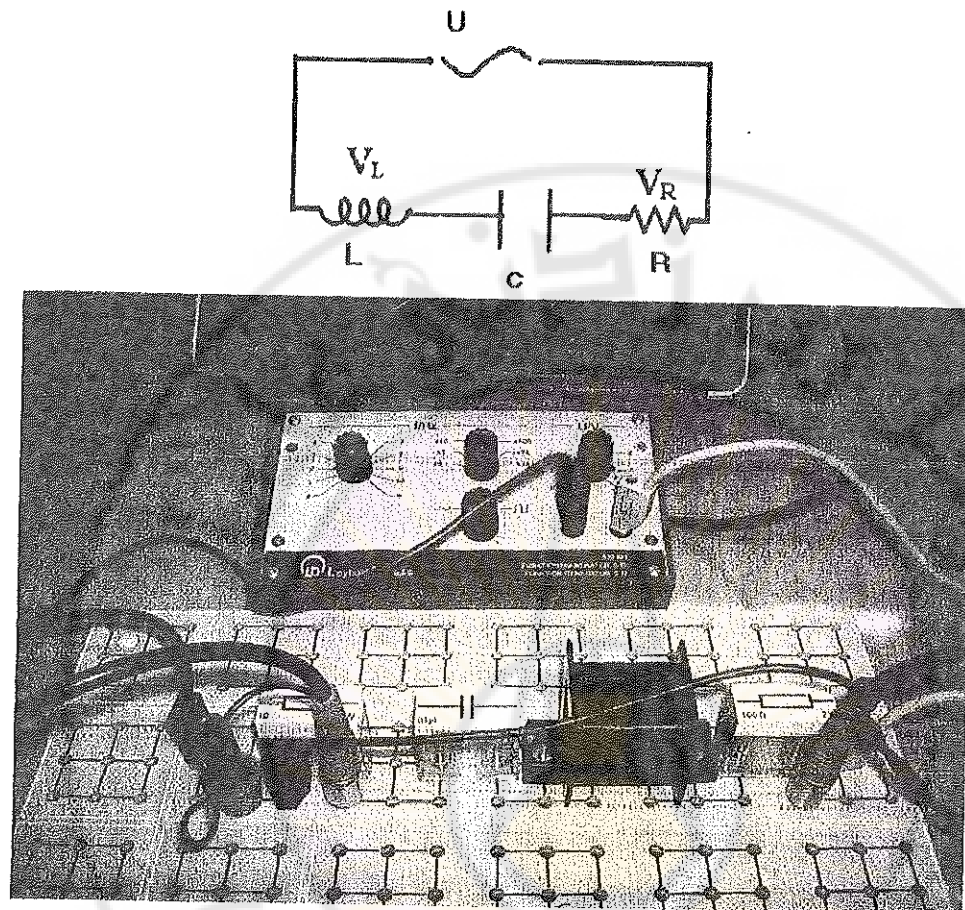
$$Z_s = \sqrt{R^2 + X_L^2}$$

والتيار هنا متاخر عن الجهد بزاوية $\frac{\pi}{2}$



الشكل(7)

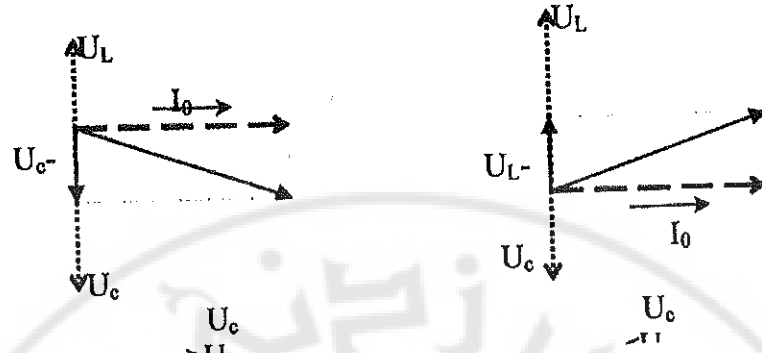
مقاومة وملف ومكثف متصلة على التسلسل : R-C-L (الشكل(8)



الشكل(8)

$$U = IR + \frac{q}{c} + L \frac{dI}{dt}$$

يلزم هنا ثلاثة مركبات للجهد لمرور التيار في الدارة :
 المركبة $U_R = I_0 R$ لمرور التيار في المقاومة وهي في اتفاق طوري مع التيار
 المركبة $U_L = I_0 \omega L$ لمرور التيار في الملف وتكون متقدمة على التيار بزاوية
 $\pi/2$ الشكل(9). المركبة $U_C = I_0 / \omega C$ لمرور التيار في المكثف وتكون متأخرة عن
 التيار بزاوية $\pi/2$ الشكل(9)



الشكل(9)

وبالتالي تكون محصلة المركبات الثلاثة هي :

$$U_o = \left[U_R^2 + (U_L - U_C)^2 \right]^{1/2}$$

$$U_o = \left[R^2 + \left(\omega L - \frac{1}{\omega C} \right)^2 \right]^{1/2} I_0$$

و بما أن : $U_o = I_o Z$ نجد:

$$Z = \left[R^2 + \left(\omega L - \frac{1}{\omega C} \right)^2 \right]^{1/2}$$

$$\operatorname{tg}\varphi = \frac{\omega L - \frac{1}{\omega C}}{R}$$

حيث Z ممانعة الدارة و φ فرق الطور وحسب التمثيل المتجهي نلاحظ انه عندما:

$$X_L > X_C$$

يكون التيار متاخرأ عن الجهد بزاوية φ وقيمة اللحظية :

$$I = I_o \sin(\omega t - \varphi)$$

$$X_C > X_L$$

• يكون التيار متقدماً على الجهد بزاوية قدرها φ وقيمة اللحظية :

$$I = I_0 \sin(\omega t + \varphi)$$

• وعندما تتساوى X_C و X_L أي $X_L = X_C$ تكون الممانعة أصغر ما

يمكن $X_C = X_L = 0$ وقيمتها عندئذ تساوي R وتكون قيمة التيار أكبر ما

$$\text{يمكن } (\varphi = 0) \text{ و } (I = U/R)$$

ويقال في هذه الحالة إن الدارة في حالة رنين وفرق الجهد على المقاومة $I_0 R$ يساوي جهد المصدر U_0 .

وفرق الجهد على الملف $I_0 X_L$ يساوي قيمة على المكثف $I_0 X_C$ ويعاكسه في الاتجاه وبالتالي يلغى كل منهما الآخر . إذن شرط التجاوب:

$$\omega_r L = \frac{1}{\omega_r C}$$

$$2\pi f_r L = \frac{1}{2\pi f_r C}$$

$$\text{حيث: } f_r = \frac{1}{2\pi\sqrt{LC}}$$

الأدوات والأجهزة المستخدمة :

1. راسم إشارة
2. علبة وصل
3. متبع جهد متناوب
4. مقاومات ، مكثفات ، ملفات
5. أسلاك توصيل

مراحل العمل

أولاً: دراسة الدارة R-C

- 1) صل الدراة المؤلفة من مكثف C و مقاومة أومية ومنبع الجهد المتناوب U على التسلسل كما في الشكل(6) على أن تكون $R=100\Omega$ ويمكن ربط المقاومة الأومية المعيارية $R_m=1\Omega$ على التسلسل لسهولة حساب $U_m/1\Omega=I_0$ حيث U_m الجهد بين طرفي المقاومة المعيارية R_m والتي تمثل السعة العظمى التي تظهر على شاشة الراسم.
- 2) صل القناة الأولى من راسم الإشارة Channel I بين طرفي المقاومة R_m و القناة الثانية Channel II بين طرفي المكثف و المقاومة Ω مع $R=100 \Omega$ مع المقاومة المعيارية مراعياً وصل الطرف الأرضي بين الوصلتين من جهة واحدة.
- 3) اضبط جهاز راسم الإشارة بحيث تكون الإشارات الداخلتان متطابقتين على المحور X .
- 4) راجع القيم المناسبة لمفتاح التضييم للقناة الأولى والثانية على الراسم بحيث تكون سعة الإشارة واضحة وكذلك بالنسبة لمفتاح تضييم الزمن وهذا يتوقف على اختيار كل من قيمة سعة المكثف والتواترات f المستخدمة .
- 5) اضبط السعة العظمى للجهد المطبق بحيث يكون $U_0 = 5V$
- 6) قس I_0 كما هو مبين في (1)
- 7) من المنحنيات الظاهرة على شاشة راسم الإشارة يتم قياس Δt الانزياح الزمني الظاهر بين المنحنيين عند مرورهما من محور الفوائل(الزمن) .
- 8) احسب φ و X_0 و Z_s من العلاقات التالية:
$$Z_s = U_0/I_0 \quad \text{و} \quad X_0 = 1/\omega C \quad \text{و}$$
$$\text{حيث } T \text{ دور الاهتزاز: } T = 1/f \quad \text{و} \quad \text{التواتر: } f = 2\pi f$$

- U_0 السعة العظمى للجهد بين طرفي الدارة كلها وتوخذ من رسم الاشارة وحدتها بحيث تكون $5V$.
- 9) دون نتائج القياسات والحسابات في الجدول التالي:(بالإمكان عدم التقيد بقيم سعة المكثف)

| $\frac{f}{\text{Hz}}$ | $\frac{T}{\text{ms}}$ | $\frac{c}{\mu\text{F}}$ | $\frac{I_o}{\text{mA}}$ | $\frac{\Delta t}{\text{ms}}$ | $\frac{\phi}{\text{deg.}}$ | $\frac{X_c}{\Omega}$ | $\frac{Z}{\Omega}$ |
|-----------------------|-----------------------|-------------------------|-------------------------|------------------------------|----------------------------|----------------------|--------------------|
| 2000 | | 1 | | | | | |
| | | 0.1 | | | | | |
| 1000 | | 1 | | | | | |
| | | 0.1 | | | | | |
| 500 | | 1 | | | | | |
| | | 0.1 | | | | | |
| 200 | | 1 | | | | | |
| | | 0.1 | | | | | |
| 100 | | 1 | | | | | |
| | | 0.1 | | | | | |

$$\varphi_s(X_c, Z_s) \quad (10)$$

تأكد من نتائجك في تعين φ و Z_s باستخدامك العلقتين:

(11)

$$\operatorname{tg} \varphi_s = \frac{X_c}{R}$$

$$R=100 \Omega \quad Z_s = \sqrt{R^2 + X_c^2}$$

(12) اكتب ملاحظاتك حول نتائجك كافة.

ثانياً: L - R على التسلسل

مراحل العمل:

(1) استبدل المكثف بالوشيعة (اختر الوشيعة 1000 لفة ذات

$$(R_s = 18\Omega \text{ و } L = 17mH)$$

(2) كرر الخطوات نفسها التي ذكرت في أولاً مع استخدامك العلاقات التالية:

$$\operatorname{tg}\varphi_s = \frac{X_L}{R}$$

$$Z_s = \sqrt{R^2 + X_L^2} , \quad X_L = \omega L$$

(3) املأ الجدول التالي:

| $\frac{f}{\text{Hz}}$ | $\frac{T}{\text{ms}}$ | $L = 17mH$ | $\frac{I_o}{mA}$ | $\frac{\Delta t}{\text{ms}}$ | $\frac{\varphi}{\text{deg.}}$ | $\frac{X_L}{\Omega}$ | $\frac{Z}{\Omega}$ |
|-----------------------|-----------------------|------------|------------------|------------------------------|-------------------------------|----------------------|--------------------|
| 2000 | | | | | | | |
| 1000 | | | | | | | |
| 500 | | | | | | | |
| 200 | | | | | | | |
| 100 | | | | | | | |

ثالثاً: L - C - R على التسلسل

مراحل العمل:

(1) صل L و R و C على التسلسل مع منبع الجهد باختبارك $R=100 \Omega$

و $C=4,7\mu\text{F}$ والملف ذات لفة 1000 $N=1000\text{Hz}$ مع إضافة المقاومة

$$R_m = 1\Omega$$

2) صل القناة الأولى من راسم الإشارة ChannelI بين طرف في المقاومة R_m والقناة الثانية ChannelII بين طرفي المكثف والملف والمقاومة (الدارة كاملة) مراعياً وصل الطرف الأرضي بين الوصلتين من جهة واحدة، كما هو مبين في الشكل(8).

3) اضبط جهاز راسم الإشارة بحيث تكون الإشارتان الداخلتان منطبقتين على المحور X.

4) من المنحنيات الظاهرة على شاشة راسم الإشارة يتم قياس Δt الانزياح الزمني الظاهر بين المنحنيين عند مرورهما من محور الفوائل (محور الزمن)

5) احسب $I_0 = U_m/R_m$ حيث U_m السعة العظمى التي تظهر على شاشة الراسم فيما يتعلق بالمقاومة R_m .

6) احسب Z تجريبياً من العلاقة : $Z = U_0 / I_0$ ، حيث U_0 السعة العظمى التي تظهر على الشاشة فيما يتعلق بالدارة كلها وحددها بحيث تكون 5V.

7) احسب Z نظرياً من العلاقة:

$$Z = \left[R^2 + \left(\omega L - \frac{1}{\omega C} \right)^2 \right]^{1/2}$$

8) احسب $\varphi = 360 \Delta t / T$ (التجريبية) من العلاقة:

9) احسب (النظيرية) من العلاقة :

$$\tan \varphi_s = \frac{\omega L - \frac{1}{\omega C}}{R}$$

10) احسب التواتر f_r الذي يتم عنده حالة التجاوب (السعة للجهد U_m يكون أعظمياً)

11-ناقش النتائج المقاسة والمحسوبة .



دراسة الممانعة L - c - R على التفرع في دارة تيار متناوب

الفالية من التجربة:

- حساب الممانعة

- تحديد فرق الطور φ

- التهديد النظري

أولاً: الدارة R - c على التفرع:

عند وصل مكثفة مع مقاومة أومية على التفرع فإن الجهد نفسه يكون مطبقاً بين كل من المكثفة والمقاومة فإذا كان الجهد المطبق هو من الشكل :

$$\omega = 2\pi f \quad U = U_0 \cos(\omega t)$$

فإن التيار المار عبر المقاومة الأومية هو:

$$I_R = \frac{U_0}{R} \cos(\omega t)$$

بينما يكون التيار المار عبر المكثفة هو :

$$I_c = \frac{U_0}{X_c} \cos(\omega t + \frac{\pi}{2})$$

ويكون في هذه الحالة مجموع التيارين :

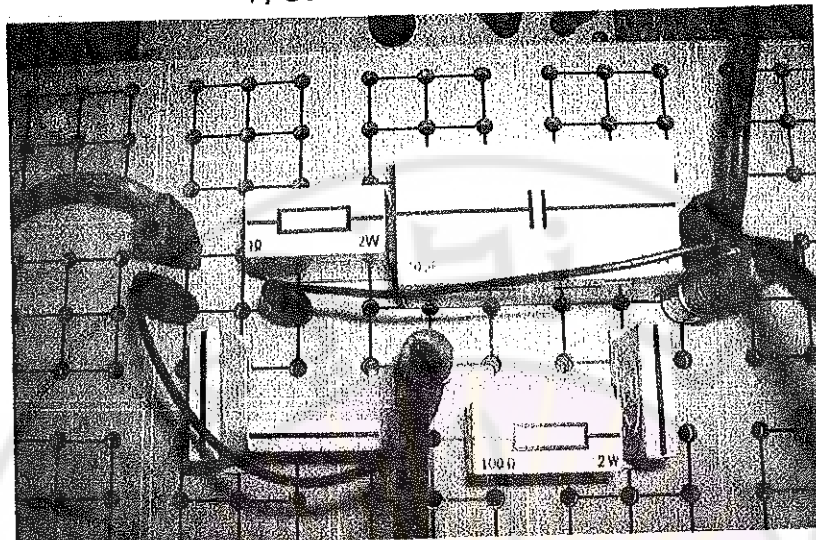
$$I_p = \sqrt{\frac{1}{R^2} + \frac{1}{X_c^2}} U_0 \cos(\omega t + \varphi_p)$$

$$\text{حيث: } \tan \varphi_p = \frac{R}{X_c}$$

و عندئذ تعطى ممانعة الدارة Z_p بالعلاقة :

$$\frac{1}{Z_p} = \left(\frac{1}{R^2} + \frac{1}{X_c^2} \right)^{1/2}$$

في هذه الحالة يكون التيار متقدماً عن الجهد بالطور φ_p .



الشكل (1)

الآلات والاجهزه المستخدمة:

1- راسم إشارة

2- علبة وصل

3- منبع جهد متزايد

4- مجموعة مقاومات، مكثفات، وملفات

5- أسلاك توصيل

مراحل العمل :

1. صل الدارة المولفة من مكثف C ومقاومة أومية على التفرع كما في الشكل (1) على أن تكون $R = 100 \Omega$ مع ربط مقاومة على التسلسلي $R_m = 1\Omega$ مع المكثف نفسه قيمتها 1Ω السهلة حساب $I_0 = U_m / 1\Omega$ حيث U_m الجهد بين طرفي المقاومة المعيارية R_m وتمثل السعة العظمى التي تظهر على شاشة الراسم.

2. صل طرف مأخذى منبع الجهد المقاوِب بين طرف المكثف والمقاومة R_m .

3. صل القناة الأولى من راسم الإشارة channel I بين طرف المقاومة R_m والقناة الثانية .

4. صل طرف المكثف و R_m الموصولين على التسلسل مراعياً وصل الطرف الأرضي بين الوصلتين من جهة واحدة .

5. اضبط جهاز راسم الإشارة بحيث تكون الإشارتان الداخلتان منطبقتين على المحور X .

6. راعي القيم المناسبة لمفتاح التضخيم للقناة الأولى والثانية على الراسم بحيث تكون سعة الإشارة واضحة وكذلك بالنسبة لمفتاح تضخيم الزمن وهذا يتوقف على اختيار كل من قيمة سعة المكثف والتواترات f

7. من المنحنيات الظاهرة على شاشة راسم الإشارة يتم قياس Δt الانزياح الزمني

الظاهر بين المنحنيين عند مرورهما من محور الفولصل (الزمن) .

8. احسب φ و X_c و Z_y من العلاقات التالية:

$$Z_y = U_0 / I_0 \quad , \quad X_c = 1 / \omega c \quad , \quad \varphi = 360^\circ \Delta t / T$$

حيث T دور الاهتزازة ، $T = 1 / f$ و $\omega = 2\pi f$

9. دون نتائج القياسات والحسابات في الجدول التالي: (بالإمكان عدم التقيد بقيم

سعه المكثف)

| $\frac{f}{\text{Hz}}$ | $\frac{T}{ms}$ | $\frac{c}{\mu F}$ | $\frac{I_o}{mA}$ | $\frac{\Delta t}{ms}$ | $\frac{\varphi}{\text{deg.}}$ | $\frac{X_c}{\Omega}$ | $\frac{Z}{\Omega}$ |
|-----------------------|----------------|-------------------|------------------|-----------------------|-------------------------------|----------------------|--------------------|
| 2000 | | 1 | | | | | |
| | | 0.1 | | | | | |
| 1000 | | 1 | | | | | |
| | | 0.1 | | | | | |
| 500 | | 1 | | | | | |
| | | 0.1 | | | | | |
| 200 | | 1 | | | | | |
| | | 0.1 | | | | | |
| 100 | | 1 | | | | | |
| | | 0.1 | | | | | |

10. ارسم المنحني (X_c) و Z

11. تأكد من نتائجك في تعريف φ و Z باستخدامك العلاقاتين:

$$tg\varphi = \frac{X_o}{R}$$

$$\frac{1}{Z_p} = \left(\frac{1}{R^2} + \frac{1}{X_c^2} \right)^{1/2}$$

حيث $R = 100\Omega$

12. اكتب ملاحظاتك حول نتائجك كافة.

ثانياً: الدارة R-L على التفرع

عند وصل مقاومة أومية R مع ملف على التفرع فإن الجهد المطبق على

كلِّ منها هو نفسه U الخارج من المنبع وإذا كان الجهد المطبق هو من الشكل :

$$U = U_o \cos(\omega t)$$

فإن التيار المار عبر المقاومة الأومية هو :

$$I_R = \frac{U_o}{R} \cos(\omega t)$$

بينما يكون التيار المار عبر الملف هو :

$$I_L = \frac{U_o}{X_L} \cos(\omega t - \frac{\pi}{2})$$

و مجموع التيارين هو :

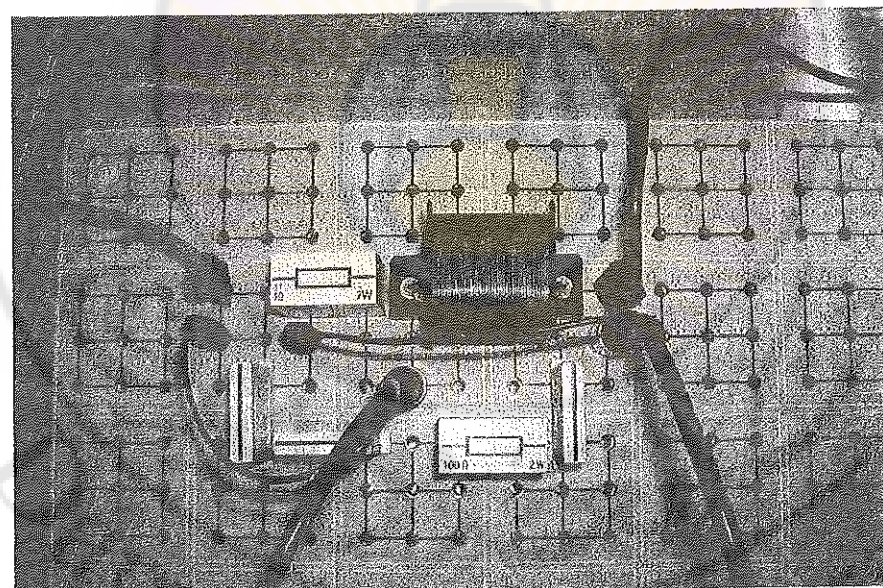
$$I_p = \sqrt{\frac{1}{R^2} + \frac{1}{X_L^2}} U_o \cos(\omega t + \varphi_p)$$

$$\text{حيث: } \tan \varphi_p = \frac{R}{X_L}$$

و عندئذٍ تعطى ممانعة الدارة Z_p بالعلاقة :

$$\frac{1}{Z_p} = \left(\frac{1}{R^2} + \frac{1}{X_L^2} \right)^{1/2}$$

وفي هذه الحالة يكون الجهد متقدماً عن التيار بفرق الطور φ_p



الشكل (2)

مراحل العمل

- صل الدارة المؤلفة من ملف مقاومة او姆ية على التفرع كما في الشكل(2)
على أن تكون

$R_m = 1\Omega$ مع ربط مقاومة على التسلسل مع الملف نفسه و قيمتها $R=100\Omega$ لسهولة حساب $I_0 = U_m / 1\Omega$ حيث الجهد بين طرفي المقاومة المعيارية R_m ويتمثل السعة العظمى على شاشة الراسم.

- صل منبع الجهد المتناوب بين طرفي الملف والمقاومة المعيارية R_m (انظر الشكل (2))

- أعد المراحل السابقة كافة التي مرت في حالة مكثفة و مقاومة او姆ية على التفرع علما بـ:

$$\frac{1}{Z} = \left(\frac{1}{R^2} + \frac{1}{X_L^2} \right)^{1/2} \quad \text{و} \quad X_L = \omega L$$

مع تدوين نتائج القياسات والحسابات في الجدول التالي :

| $\frac{f}{\text{Hz}}$ | $\frac{T}{\text{ms}}$ | $L = 17mH$ ١٠٠٠ ألفة | $\frac{I_o}{mA}$ | $\frac{\Delta t}{\text{ms}}$ | $\frac{\varphi}{\text{deg.}}$ | $\frac{X_L}{\Omega}$ | $\frac{Z}{\Omega}$ |
|-----------------------|-----------------------|----------------------|------------------|------------------------------|-------------------------------|----------------------|--------------------|
| 2000 | | | | | | | |
| 1000 | | | | | | | |
| 500 | | | | | | | |
| 200 | | | | | | | |
| 100 | | | | | | | |

4- ارسم المنحنيين (X_L) و (Z) و (φ)

5- تأكد من نتائجك في تعريف φ و Z باستخدامك العلاقتين:

$$\frac{1}{Z_p} = \left(\frac{1}{R^2} + \frac{1}{X_L^2} \right)^{1/2} \quad \text{و} \quad \operatorname{tg} \varphi = \frac{X_L}{R}$$

حيث $R = 100\Omega$

6- اكتب ملاحظاتك حول النتائج كافة.



دورة البطاء المغناطيسي

الغاية من التجربة:

1. الحصول على دورة البطاء المغناطيسي للحديد

2. تعين المغناطيسية المتبقية

3. تحديد شدة الحقل القاهر

تمهيد نظري:

ترتبط شدة الحقل المغناطيسي الخارجي H مع شدة التحريرض المولود في وشيعة موجودة في الخلاء B_0 بالعلاقة التالية :

$$B_0 = \mu_0 H \quad (1)$$

حيث H : يتناسب طرداً مع شدة التيار المار في الوشيعة μ_0 : الثابت المغناطيسي أو فونية الخلاء permeability

ويساوي $4\pi 10^{-7}$ Web /A.m

ويقاس B_0 بـ Web /m² و H بـ A/m

وعند وضع نواة حديدية داخل الوشيعة فإن قيمة التحريرض المغناطيسي تزداد نتيجة لتوليد حقل تحريرضي ذاتي خاص بالنواة B_i بحيث يصبح التحريرض الكلي:

$$B = B_0 + B_i \quad (2)$$

وتبين التجربة أن:

$$B_i = \chi B_0 \quad (3)$$

حيث χ تدعى بالطواافية المغناطيسية والتي هي عبارة عن النسبة بين شدة التمغناط I و B_0 أي إن:

$$\chi = \frac{I}{B_0} = \frac{1}{\mu_0 H} \quad (4)$$

و شدة المغناطيس هو العزم المغناطيسي لواحدة حجم الجسم :

$$I = \frac{M}{V} \quad (5)$$

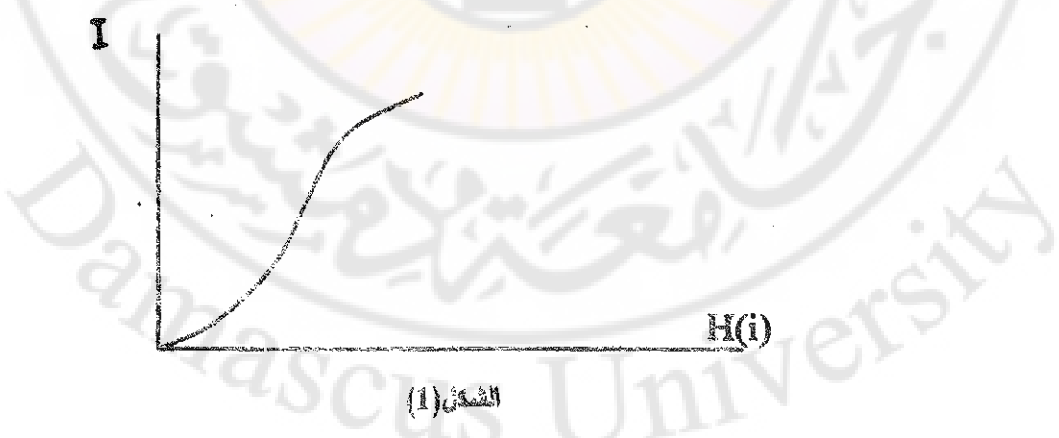
M العزم المغناطيسي المكتسب للمادة و V حجمها وبالتالي فإن العلاقة (2) تصبح بالشكل النهائي

$$B = \mu_r \mu_0 H = \mu H$$

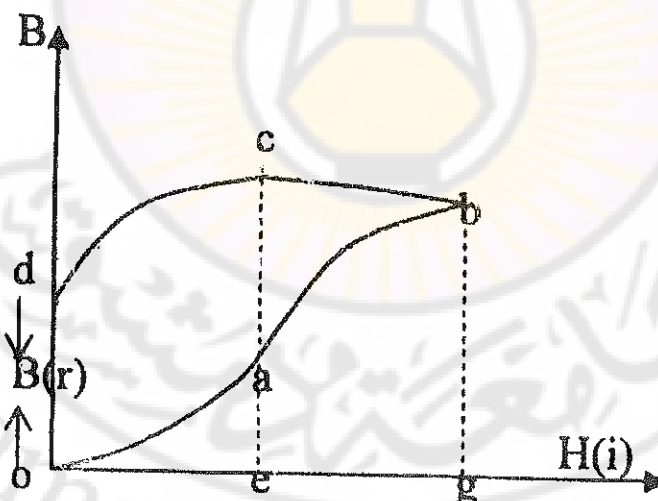
حيث $\mu_r = 1 + \chi$ تسمى بـ "النفونية" الوسط المغناطيسي النسبية، و μ النفونية المطلقة.

سنلتعرف في هذه التجربة على حواصص صنف محدد من المواد تلك التي تحافظ بـ "المغناطيس" حتى في غياب الحقل المغناطيسي الخارجي وأكثر هذه المواد انتشارا هو الحديد ، لذا يطلق على هذا النوع من المواد بالـ "المغناطيس" . وينتمي إلى هذا النوع من المغناطيس بشكل رئيسي: الحديد، النيكل ، الكوبالت و خلائطها و مركباتها

وتكون علاقة تخطيط هذة المواد الحديدية شدة الحقل H لـ "الخطبة" (انظر الشكل (1))



إن منحني التمغناط في الشكل () يعبر عن العلاقة بين الحقل المترسخ في المادة B وبين شدة الحقل المغناطيسي H أو شدة التيار المار في الشبكة i . ويمكن الحصول على الشكل (1) شريطة أن تكون العينة الحديدية غير ممغناطة سابقاً وأن تكون شدة الحقل المغناطيسي (أي التيار) قد زيدت بالتدريج ابتداءً من الصفر . إن التحرير المغناطيسي B في المادة (النواة الحديدية) لا يتعلق بشدة الحقل المغناطيسي H فقط بل يتعلق بالماضي المغناطيسي للمادة . فللمادة شيء شبيه (بالذاكرة) المغناطيسية وهي (تذكر) أنها كانت قد تمغناطت وستبقى هذه المغناطة متبقية فيها حتى بعد انقطاع الحقل H عنها . إن هذا السلوك للمادة الحديدية يبينه الشكل (2). لنفرض أن شدة الحقل المغناطيسي H قد زيدت بدءاً من الصفر وحتى النقطة e من المحور الأفقي والتي تقابل القيمة الاعظمية للحقل المترسخ B في الشكل (2) (شريطة أن تكون المادة الحديدية غير ممغناطة سابقاً) ومع إنفصال شدة الحقل

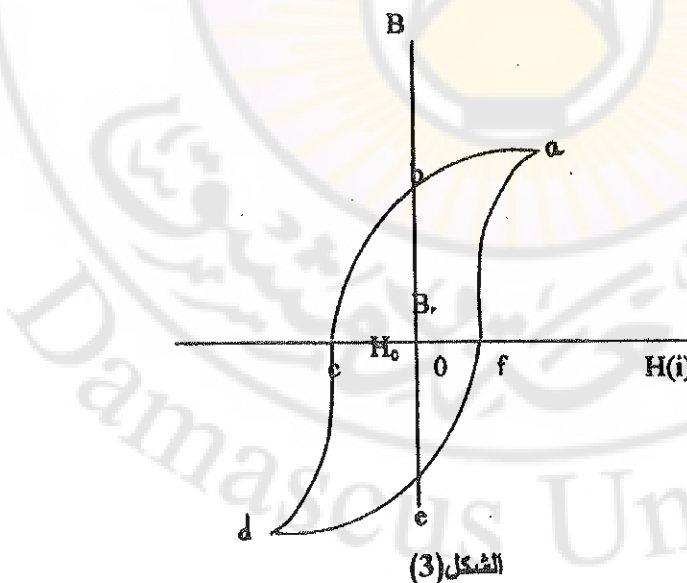


الشكل (2)

تدرجياً حتى النقطة e فإن منحني التمغناط يمر بالنقاط oabc حيث نلاحظ قيمتين مختلفتين من أجل B عاد قيمة واحدة للحقل H المقابلة للنقطة e وعند متابعة نقصان شدة الحقل (عن طريق نقصان شدة التيار أو الفولت) إلى الصفر فإن منحني التمغناط يتبع سيره حتى النقطة d التي عندها ينعدم الحقل المغناطيسي الخارجي H بينما $B = B_r$ التي تسمى المغناطيسية المتحركة المتبقية في المادة. فالمادة الحديدية أصبحت مغناطيسياً دائمًا وإن هذا السلوك للمادة الحديدية يسمى بالبطاء أو التأخير حيث أن المنحني $B(H)$ لا ينطبق لدى تناقص H على جزء العائد لقيم H المتزايدة.

ولازالة المغناطيسية المتبقية في العينة، لا بد من تطبيق حقل مغناطيسي H معاكس لجهته في المراحل السابقة.

وتسمى شدة الحقل H التي يصبح عندها $B = B_r$ بشدة الحقل القاهر H_c . وإن الاستمرار بزيادة قيمة H سلباً ثم تناقصه بالاتجاه نفسه حتى انعدام الحقل (انعدام التيار) نحصل على الشكل (3) حتى النقطة e وعند عكس اتجاه الحقل من جديد وزيادته بالتدرج ايجاباً نحصل على الجزء ea_e على نفس الشكل وبالتالي يمكن الحصول على دورة البطاء كاملة كما في الشكل (3).



إن القيمتين $0f$, $0c$ للحقل على دورة البطاء تمثلان الحقل المغبطيسي العكسي القاهر واللازم لإعادة تмагنط المادة إلى الصفر بعد أن تكون العينة قد تمازنطت حتى الشياع.

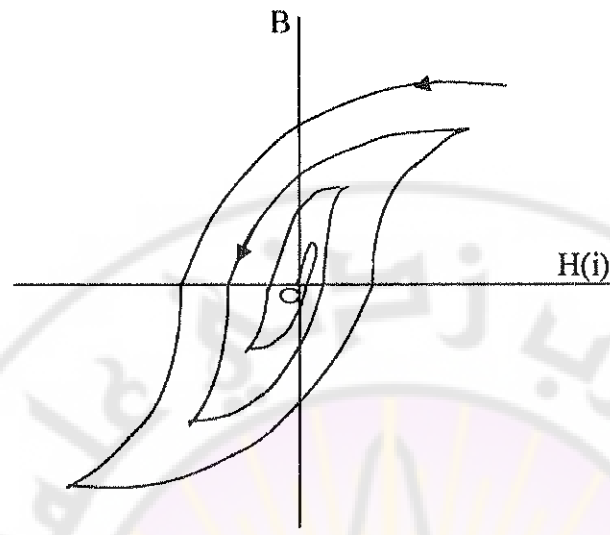
إن السطح داخل دورة البطاء (العروة) يمثل فقدان الطاقة على شكل حرارة داخل المادة عندما تمازنط وتزال مغناطتها. وكلما كان السطح أكبر كان فقدان الطاقة أكبر. إن عروة البطاء تكون ضيقة للحديد اللين وتكون عريضة للحديد القاسي (الفولاذ) كما في الشكل (4).



(الشكل (4)

تصنع المغناط الدائمة من مواد حديدية قاسية وهي ذات مغناطيسية متبقية عالية وحقل قاهر كبير، بينما تستخدم المواد الحديدية اللينة في قلوب المحولات حيث يكون فقدان الطاقة ضئيلاً.

ملاحظة: من الممكن إزالة تمازنط العينة بعكس تيار المغناطة عدة مرات مع إنفاص قيمة (i) في كل مرة عن سابقتها وهكذا فإن العينة تمر بمنحنى بطء يلف متقارباً بالتدرج من نقطة الابتداء O كما في الشكل (5). ويمكن في هذه الحالة تطبيق جهد متناوب (تيار متناوب)



الشكل (5)

الادوات والاجهزه المستخدمة:

1- وحدة تغذية للملف الابتدائي يمكن أن تعطي تيارا مستمرا أو متداوبا

2- مقياس الحقل المغناطيسي المتعرض $m T$ المبين في الشكل (6)

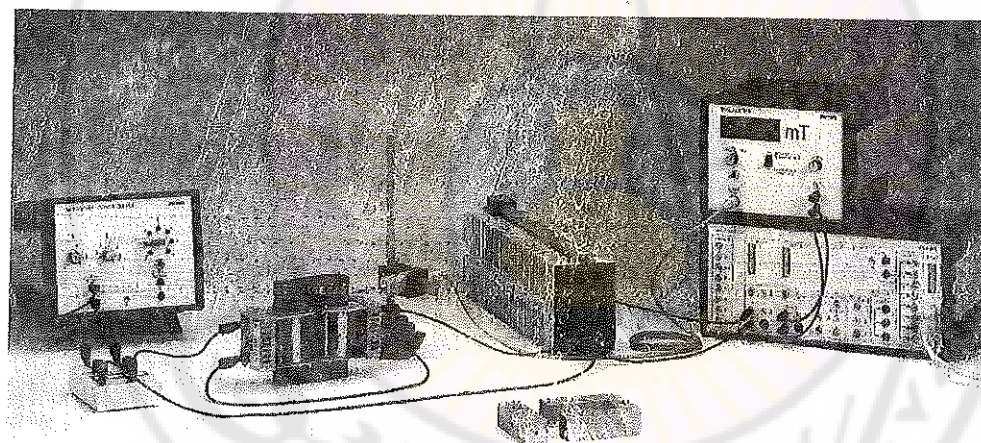


الشكل (6)

- 3- ملف اولي وملف ثانوي ونواة حديدية وحافظة
- 4- مجس
- 5- مقاومة متغيرة
- 6- قاطعة عاكسة لاتجاه التيار
- 7- وصلة بینية للحاسوب
- 8- حاسب
- 9- اسلک تووصیل

مراحل العمل:

1. صل دارة تغذية الوثيعتين بالتيار المستمر عن طريق عاكسة التيار والمعدلة على التسلسل كما في الشكل (7)



الشكل (7)

2. صل الوصلة البینية للحاسب مع كل من المعدلة وقياس التسلا mT بحيث يكون وصل طرفي المعدلة بـ I- Analog In II ووصل Analog In II الى مقياس التسلا.
3. ضع المجس تحت الحافظة وصله بقياس التسلا.

4. تأكيد من أن العينة (النواة الحديدية) غير ممغنة وإذا كانت ممغنة قم بتنفيذ ما جاء في الملاحظة انفا مستخدما منبع التيار المتداوب مع الانتباه الى تصغير مقياس الفولت على منبع التغذية مسبقا.
5. تأكيد من سلامة وصل الدارة الشكل (7) وتصغير كل من جهاز التسلا mT ومقياس الفولت (على واجهة المنبع) وإزالة المغнطة المتبقية في النواة الحديدية
6. شغل برنامج القياس (Mesur) من على سطح مكتب الحاسب عندئذ تظهر بقعة حمراء على يسار شريط الأدوات اضغط عليها بالفأرة
7. اضغط start
8. زد الجهد على علبة التغذية بدءاً من الصفر حتى يبلغ الجهد قيمة الأعظمية وذلك ببطء وبشكل تدريجي
9. عند نهاية مجال الجهد قم بإيقافه ببطء شديد حتى الصفر
10. غير اتجاه العاكسه لكي يتغير اتجاه التيار (أوعكس اتجاه الحقل المغناطيسي)
11. أعد العمليتين 8-9 بدقه
12. قم من جديد بتغيير اتجاه العاكسه وأعد العملية 8 فقط
13. اضغط بالماوس على stop
14. أعد الجهد الى الصفر
15. من قائمة mesurment (القياس) اختر export data copy to dipbord export- Ok
16. اختر برنامج Excel من ابدأ بقونة program.
17. اختر العمودين المناسبين C. B. واختر لصق .
18. اضغط زر رسم المحننات ثم NEXT - SCALLER - finish - As new sheeit NEXT

19. بعد هذه العمليات ينبغي أن ترى رسم دورة البطاء المغناطيسي على شاشة الحاسب
20. حدد من دورة البطاء كلاً من حقل التحريرض في حالة الإشباع H والحقل المتبقى . B .



تأثير درجة الحرارة على كل من خصائص الوصلات الثنائية والمقاومات $p-n$

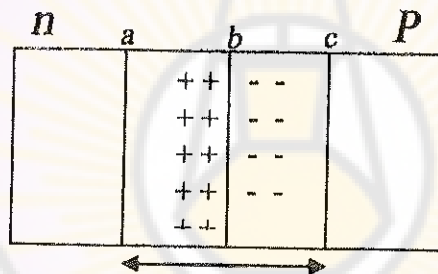
الفحولة من التجربة:

1. قياس المقاومة لعدد من العناصر الإلكترونية والكهربائية، كتابع لدرجة الحرارة.

2. قياس فرق كمون التماس للوصلة $p-n$ كتابع لدرجة الحرارة.

تمهيد نظري:

إن تماس نصفين ناقلين مختلفين بالناتئية يمثل أساساً لعمل أجهزة أنصاف النواقل. وينتهي حد التماس بين نصفين ناقلين أحدهما ذات ناتئية الكترونية n -type والأخر ثقبية p -type بالوصلة $p-n$ (ديود) (انظر الشكل 1).



الشكل (1)

في منطقة التماس (ℓ) تنتقل الإلكترونات من نصف الناقل n إلى نصف الناقل p بينما تتحرك الثقوب في الاتجاه المعاكس، فتشكل في المجال ab من نصف الناقل n شحنة موجبة زائدة ، بينما تكون الشحنة السالبة في المجال bc من نصف الناقل p . عندئذ يتولد في منطقة التماس حقل كهربائي شدته E_{np} يعيق هذا الحقل الانقلال التالي لحوامل الشحنة (الإلكترونات) من اليسار إلى اليمين والثقوب من اليمين إلى اليسار. إن ثخانة الطبقة ℓ للوصلة $p-n$ كالجرمانيوم

والسيلكون تشكل حوالي $10^{-4} - 10^{-5} \text{ cm}^4$ ويمثل فرق كمون التماس الذي يعد حاجزاً كمومياً لحومال التيار عدة أضعاف من الفولت. و تستطيع الإلكترونات والتقوب التغلب على ذلك الحاجز في درجات الحرارة المرتفعة.

سندرس في هذه التجربة تأثير درجة الحرارة على كل من مقاومات بعض المواد $R = f(T)$ وعلى فرق كمون التماس في الموصلات الثانية (الديودات) $U = f(T)$ وتحقيقاً لذلك يتم تفطيس محس خاص يحوي هذه العناصر (المقاومات والموصلات الثانية) داخل حمام مائي يتم التحكم بدرجة حرارته بدقة حيث تقام درجة الحرارة والمقاومة على فترات متباude.

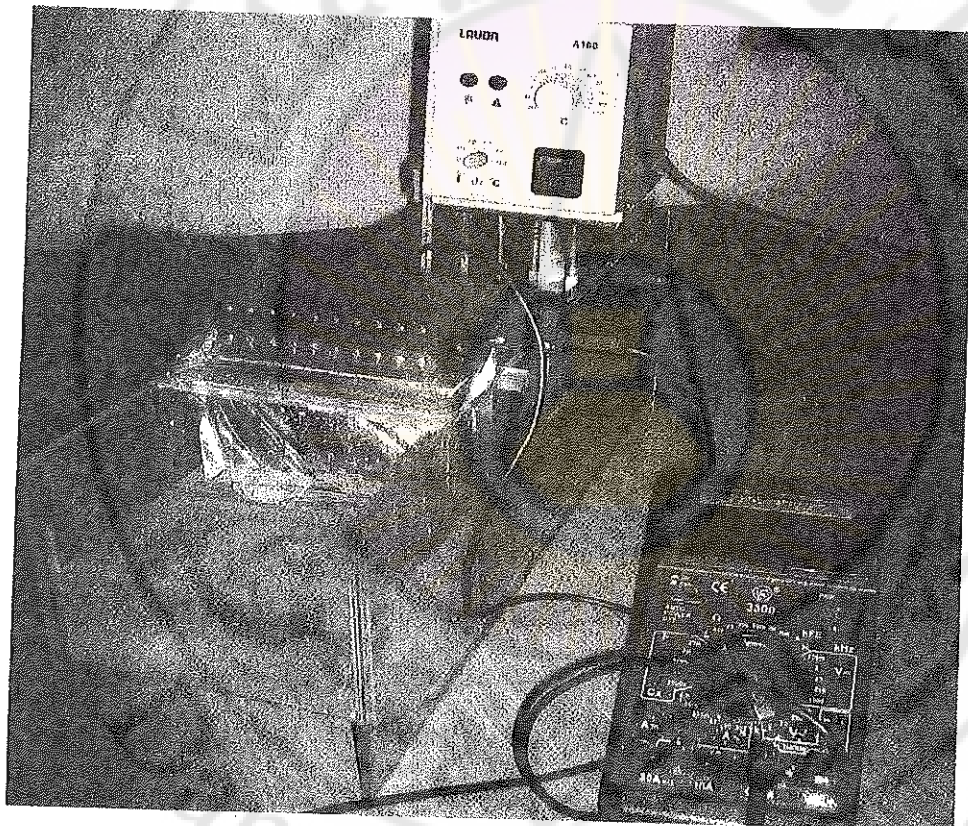
الأدوات والأجهزة المستخدمة:

- محس غاطس يحتوي على العناصر المدروسة.
- ترمومستات غاطس.
- حوض للترموسستات مع مجموعة اكسسوارات له.
- مقياس جهد(كمون) رقمي متعدد المجالات.
- وحدة تغذية (0-12 v)
- مقياس درجة الحرارة T
- مقاومة كربونية $1\text{W}, 4.7\text{K}\Omega$
- قاعدة توصيل للعناصر.
- أسلاك توصيل.
- أكياس حماية.

مراحل العمل:

1. تحديد تابعية المقاومة لعناصر مختلفة بالنسبة لدرجة الحرارة $R = f(T)$
- صل عناصر التجربة كما هو مبين في الشكل (2) مع مراعاة وضع المقياس على وضعية قياس الأول.

- ضع لوحة القياس الحاوية على المقاومات والديodiات المختلفة ضمن كيس الحماية من الماء.
- املأ حوض الترمومترات بالماء البارد.
- شغل الترمومترات من زر التشغيل الأساسي (الأخضر).
- ضع زر اختبار درجة الحرارة على 25°C .
- الناظر حتى ثبات درجة الحرارة على مقياس الحرارة.



(2) الشكل

- سجل درجة الحرارة وقيم المقاومات المختلفة في جدول كالتالي:

| R(PTC) | R(NTC) | R(Met) | R(C) | R(Cu) | درجة الحرارة T |
|--------|--------|--------|------|-------|----------------|
| | | | | | 25 |
| | | | | | 30 |
| | | | | | 35 |
| | | | | | ↓ |
| | | | | | 90 |

- ارسم المنحنيات المميزة لكل من هذه العناصر على الورقة الميليمترية نفسها) المقاومة بدلالة درجة الحرارة ($R = f(T)$. ماذا تستنتج؟

2- تحديد تابعية فرق كمون التماس للديodiodes المختلفة بالنسبة لدرجة الحرارة

- حل عناصر التجربة كما هو مبين في الشكل (2) مع مراعاة وصل الديود في اللوحة على التسلسل مع المقاومة ($47K\Omega$) وضع المقياس الرقمي على وضعية قياس الكمون.

- أعد ملء الحوض بماء بارد جديد مع ضرورة الانتهاء إلى أن الترمومترات سيكون ساخناً جداً لدى فكه من الحوض فيجب الحذر الشديد عند التعامل معه.

- أعد الخطوات نفسها في التجربة السابقة وسجل النتائج في جدول

كالتالي:

| الكمون (U) Z _{2.7} | الكمون (U) Z _{6.8} | الكمون (U) Si | الكمون (U) Ge | درجة الحرارة T |
|--------------------------------|--------------------------------|------------------|------------------|----------------|
| | | | | 25 |
| | | | | 30 |
| | | | | 35 |
| | | | | ↓ |
| | | | | 90 |

- رسم المنحنيات المميزة لكل من هذه العناصر (الكمون بدلالة درجة الحرارة). ($U = R(T)$) ، ماذما تستنتج ؟



قياس الشحنة النوعية للإلكترون

باستخدام صمام تومسون

الفأرة من التجربة :

التعرف على الصمام واستخدامه في قياس الشحنة النوعية للإلكترون
e/m بطريقة انحراف الإلكترون بتطبيق حقل كهربائي وحقل مغناطيسي

تمهيد نظري :

يبين الشكل (1) رسمًا لصمام تومسون حيث يتكون من أنبوب زجاجي أحدهُ فيه خلاء شديد ولحمت بداخله مسارٌ معدنيٌّ توصل بمنابع التغذية. في داخل الجهاز يوجد فتيلة معدنية لتوليد الحزمة المهبطية (الإلكترونات) عن طريق التسخين و تسريع الإلكترونات الصادرة بتطبيق جهد كهربائي عاليٍ فتسلك الإلكترونات مساراً مستقيماً حتى تصل بين صفيحتين متوازيتين يطبق بينهما حقل كهربائي عمودي على مسار الإلكترونات ثم يطبق حقل مغناطيسي عمودي على اتجاه الحقل الكهربائي عن طريق وشيعتي هلمولتز. و يمكن مشاهدة انحراف الإلكترونات على شاشة مطلية بمادة متألقة



الشكل (1)

إن الحقل الكهربائي (الجهد الحارف) يؤدي إلى حرف حزمة الألكترونات بحيث يكون مسارها قطعاً مكافئاً وفقاً للعلاقة :

$$y = \frac{1}{2} at^2 = \frac{eE}{2m} \cdot \frac{x^2}{v^2} \quad (1)$$

حيث $F = e E$ القوة الكهربائية ، E شدة الحقل الكهربائي الحارف و هو

$$\text{يساوي : } E = \frac{U_p}{d} \quad \text{حيث : } U_p \text{ الجهد الحارف بين الصفيحتين المتوatzيتين}$$

و d البعد بين الصفيحتين تتعين السرعة الابتدائية التي يدخل بها الإلكترون بين الصفيحتين نتيجة للتسارع المطبق من العلاقة :

$$(2) \quad \frac{1}{2} mv^2 = eu_A$$

U_A الجهد المسرع

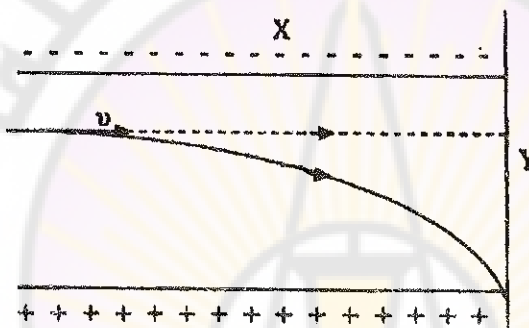
و e/m كثافة الإلكترون وشحنته على الترتيب

x انحراف حزمة الإلكترونات وفقاً للمحور الأفقي

y انحراف حزمة الإلكترونات وفقاً للمحور العمودي على المحور الأفقي.

يوضح الشكل (2) انحراف حزمة الإلكترونات عند اجتياز الحقل الكهربائي بين

الصفائحتين وكذلك كل من x وy.



(الشكل(2)

بنعيوض (2) في (1) نحصل على العلاقة :

$$y = \frac{U_p}{4u_A d} X^2 \quad (3)$$

لدي تطبيق حقل مغناطيسي B عمودياً على اتجاه الحقل الكهربائي و على اتجاه

السرعة الابتدائية للألكترونات فإن الألكترونات تتحرف لترسم حزمـاً من مسار

داورة وفقاً للعلاقة :

$$r = \frac{x^2 + y^2}{2y} \quad (4)$$

حيث

$$r = \sqrt{\frac{2mu_A}{eB^2}} \quad (5)$$

$$\Rightarrow \frac{e}{m} = \frac{2u_A}{r^2 B^2}$$

تحسب r و B من العلاقات (4 و 6) لحساب الشحنة النوعية e/m

$$(\frac{mV^2}{r} = eVB) \quad r \text{ نصف قطر المسار}$$

إن شدة الحقل المغناطيسي B الذي يتولد من وشيعتي هلمولتز يعطى بالعلاقة :

$$B = 0.72\mu_0 \frac{NI}{R} \quad (6)$$

حيث: N عدد لفات وشيعة هلمولتز

R نصف قطر الوشيعة

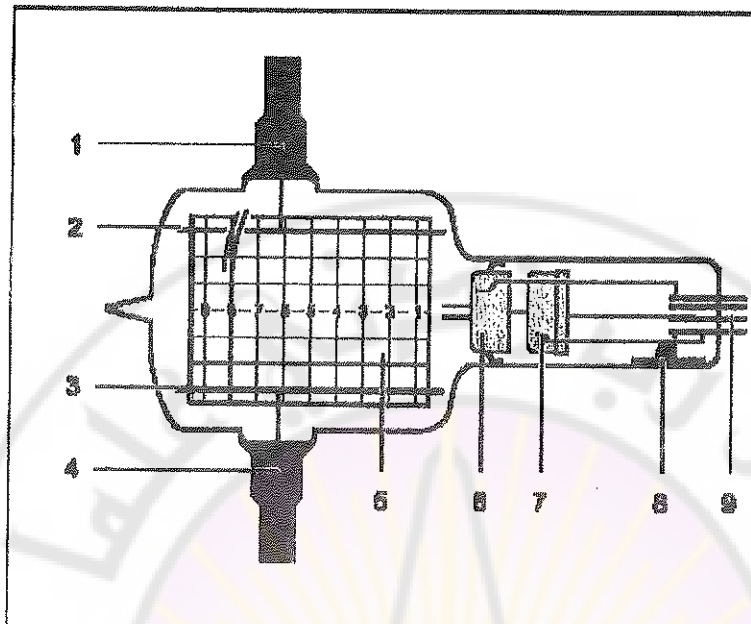
I شدة التيار المار بالوشيعتين

$$\mu_0 = 4\pi \times 10^{-7} \text{ Wb/Am} \quad \text{الثابت المغناطيسي}$$

الأدوات والأجهزة المستخدمة :

- أنبوب تومسون
- وحدتي تغذية لكل من الجهد المسرع والجهد الحارف
- وشيعتي هلمولتز
- وحدة تغذية لوشيعتي هلمولتز
- وحدة تغذية الفتيلة
- أسلاك توصيل

تسلیل الأجزاء الداخلية في جهاز تومسون والمنابع المستخدمة والجهود المطبقة



Instruction sheet 555 624

Electron deflection tube (555 624)

- 1 Connection for upper deflecting electrode
- 2 Upper deflecting electrode
- 3 Lower deflecting electrode
- 4 Connection for lower deflecting electrode
- 5 Screen
- 6 Anode
- 7 Cathode cap
- 8 Getter mirror (for maintaining the vacuum)
- 9 Pin base (for electron gun contacting)

1 Description

The electron deflection tube enables the deflection of electrons in electric and magnetic fields to be studied quantitatively and the velocity and the specific charge of the electrons to be estimated.

The electric deflection takes place in the field of two capacitor plates which are built in the tube. The magnetic deflection is achieved by the magnetic field of a pair of Helmholtz coils.

The course of the ray is displayed on a screen with a cm grid.

2 Technical data

Heating voltage *UF*: 6-8.5 V~ (rec.: 6.3 V~)

Heating current *IF*: approx. 1.5 A at 6.3 V

Anode voltage *UA*: 1.5-5 kV

Max. capacitor voltage: 10 kV

Plate distance (geometric): 50 mm

Screen: 90 mm · 50 mm

Pressure: <10⁻⁶ hPa

Diameter: 90 mm

Total length: 270 mm

Mass: 250 g

Safety notes

When the electron deflection tube is operated at high voltages over 5 kV, X-rays are generated, whose dose rate is below the permissible limit according to the German X-ray regulations if the current-limited high-voltage power supplies 10 kV (521 70) referred to in this instruction sheet are used.

The connection of the electron deflection tube with grounded anode given in this instruction sheet requires a

high-voltage enduring voltage source for the cathode heating.

- Do not operate the electron deflection tube with high voltages over 5 kV.
- Use no other power supplies than high-voltage power supplies 10 kV (521 70) for the anode and electrode voltages.

Danger of implosion: the electron deflection tube is a highvacuum tube made of thin-walled glass.

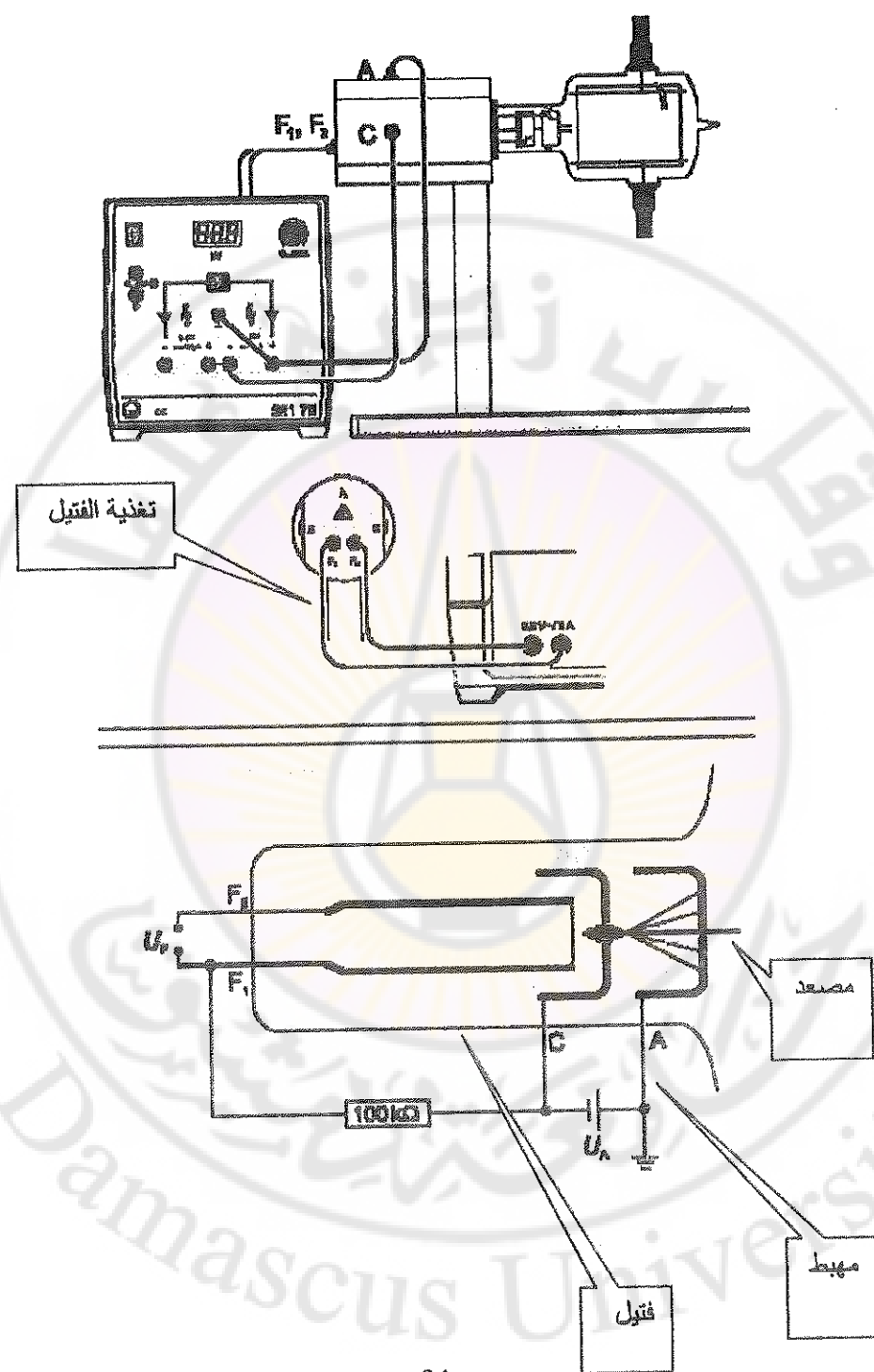
- Do not expose the Electron deflection tube to mechanical stress, and connect it only if it is mounted in the tube stand.
- Treat the contact pins in the pin base with care, do not bend them, and be careful when inserting them in the tube stand.
- Treat the connections of the deflecting electrodes with care.

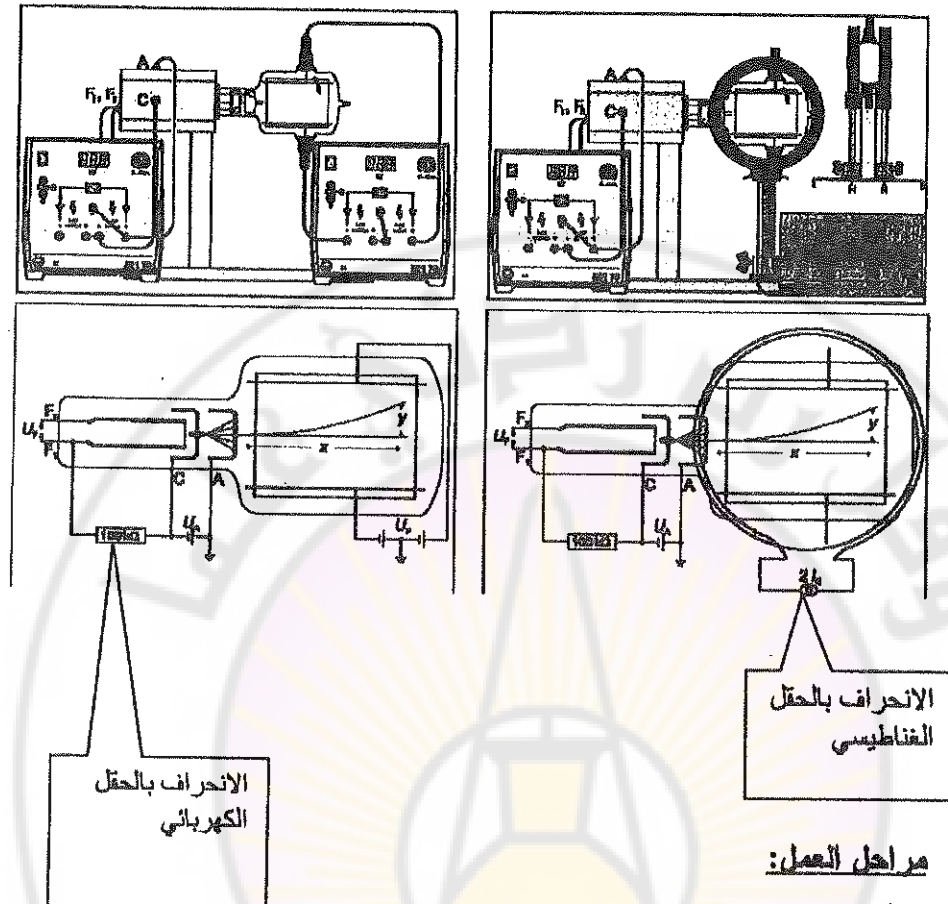
During operation, the Electron deflection tube is heated by the cathode heating:

- If necessary, allow the Electron deflection tube to cool down before dismounting

The Electron deflection tube may be destroyed by voltages or currents that are too high:

- Keep to the operating parameters given in the section on technical data.





مراحل العمل:

أولاً: مشاهدة الانحراف الناتج من تطبيق حقل كهربائي

1. طبق على الفتيلة جهداً مستمراً قيمته 6.34 فولت لتسخينها وإصدار

الإلكترونات فوراً على الفور توهج الفتيلة

2. طبق الجهد المسرع $U_A \leq 4\text{kV}$ وذلك بوصول المصعد A بالقطب الموجب

للمولد والمهبط C للقطب السالب على ألا يزيد الجهد المسرع عن 4kv

مع تأريض المصعد

3. صل مأخذي الصفيحتين المتوازيتين بالجهد الحارف لمسیر الإلكترونات $U_p < 8\text{ kV}$ بحيث لا يزيد الجهد الحارف عن 8 kV وقم بتاريض القطب السالب

4. بعد الوصل الصحيح يشاهد ضمن الأنبوية الزجاجية المسار المنحرف للإلكترونات حيث يمكن تعين كل من x و y من خلال المربعات المدرجة الموجودة بين الصفيحتين .

5. نظم جدولًا كالتالي وقم بملئه وذلك بتغيير U_p بدءاً من 2.4 kV وحدد قيمة كلٍ من x و y في كل مرة.

$$(d = 5\text{ cm})$$

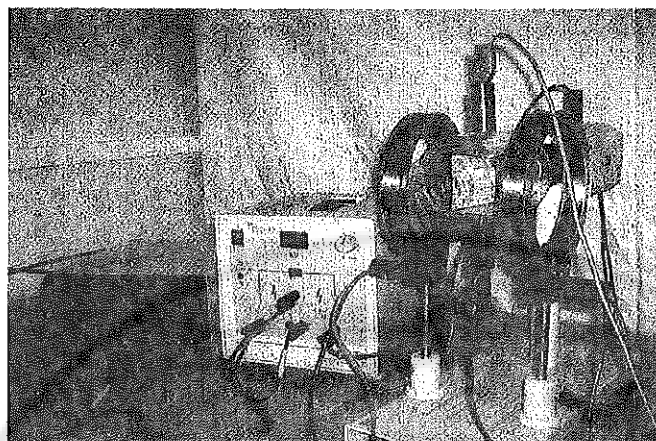
6. ارسم الخط البياني y بدلالة x^2

| | | | | | |
|----------------------------------------|--|--|--|--|--|
| U_p | | | | | |
| x | | | | | |
| y تجريبياً | | | | | |
| $y = \frac{U_p}{4u_A d} x^2$ نظرياً | | | | | |

7. احسب y النظرية وقارنها مع y التجريبية

ثانياً: لحراف حزمة الإلكترونات بتطبيق حقل مقطعي بـ B :

1. افضل دارة الجهد الحارف للإلكترونات (انظر الشكل 3)



الشكل (3)

2. ضع الجهد المسرع بحدود $U_p \leq 4 \text{ kV}$
3. ضع وشيعتي هلمولتز بحيث تحوي الأنابيب الزجاجي (الحباب) وصلهما على التسلسلي
4. صل طرفي الوشيعتين إلى منبع مستمر للتيار لوحدة التغذية بحيث لا يزيد التيار المار في الوشيعتين عن $2A$
5. يظهر منحنى عبارة عن دائرة نصف قطرها r وهو مسار الالكترونات من جراء تطبيق حقل مغناطيسي يعطى بالعلاقة (5)
6. نظم جدولًا كالتالي :

| I_A التيار المار في الوشيعة | | | | | |
|-----------------------------------------------------|--|--|--|--|--|
| x | | | | | |
| أختبارياً | | | | | |
| r بحسب من العلاقة (4) | | | | | |
| B بحسب من العلاقة (6) | | | | | |
| (5) من العلاقة $\frac{e}{m} = \frac{2u_A}{r^2 B^2}$ | | | | | |

7. احسب القيمة الوسطية للنسبة e/m والتي تحدد الشحنة النوعية للإلكترون

8. قارن القيمة المحسوبة تجريبياً مع القيمة المعروفة نظرياً للنسبة e/m

9. حدد الارتباط في حساب e/m

ثالثاً : تطبيق الحقائق الكهربائية والمغناطيسية معاً

1. طبق الحقل الكهربائي من جديد بين طرفي الصفيحتين مع تطبيق الحقل المغناطيسي بحيث تكون القوتان الكهربائية والمغناطيسية متعاكستان ومتناوietين :

$$e E = e v B \quad (7)$$

وهذا يتحقق عندما يصبح مسار الحزمة الإلكترونية خطأً مستقيماً إلى حد ما

2. من العلاقات (7) و (2) نحصل على العلاقة

$$\frac{e}{m} = \frac{u^2}{2u_i B^2 d^2} \quad (8)$$

3. عُوض في هذه العلاقة قيمة كل من U_A, U_B المقاومتين على جهازي التغذية واحسب قيمة B من العلاقة (6) من أجل قيمة التيار I التي أصبحت عندها المسار مستقيماً علمًا بأن

لفة $N = 320$. $d = 5 \text{ cm}$ و $R = 6.25 \text{ cm}$. وبعد حساب e/m من العلاقة (8)

4. قارن e/m المحسوبة بتطبيق حقل مغناطيسي فقط مع القيمة النظرية

5. احسب الارتباط في حساب e/m

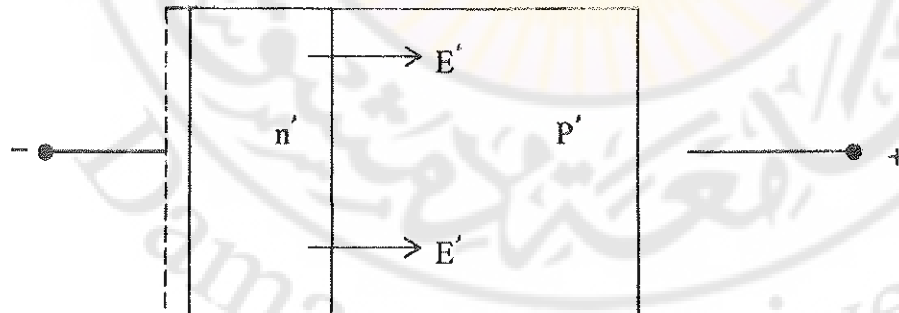
المفعول الكهربائي الداخلي (الخلايا الشمسية)

الغاية من التجربة:

1. التعرف على الخلايا الشمسية و مبدأ عملها و طريقة تجميعها لتكوين اللوحات الشمسية
2. دراسة المحننات المميزة ($I=V$) للعلاقة بين شدة التيار I المار في الخلية و الجهد بين طرفيها من أجل شدات مختلفة للضوء
3. دراسة تأثير شدة الإضاءة على العلاقة بين استطاعة الخلية P و المقاومة الداخلية للوصلة n-p في الخلية

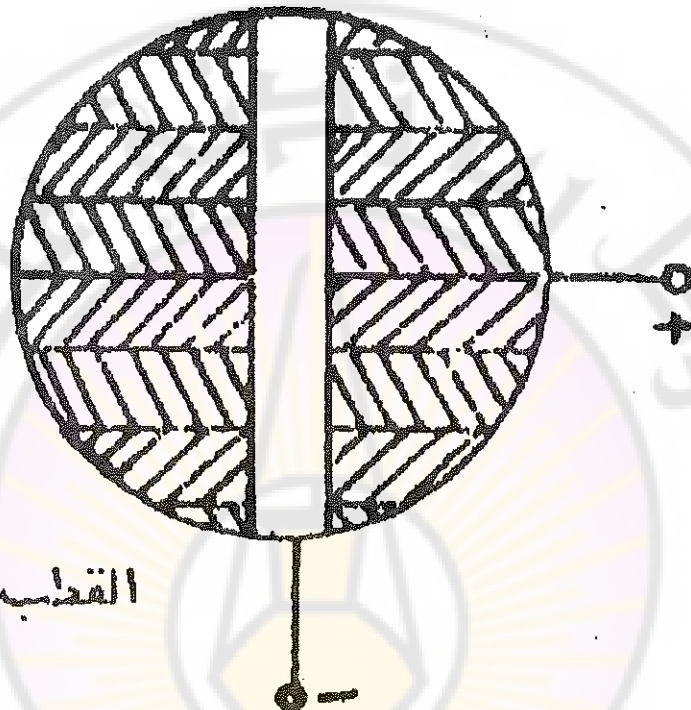
تمهيد نظري:

تتكون الخلية الشمسية كما هو موضح في الشكل (1) من ثلاثة أجزاء:
 - قاعدة من السيليكون من نوع p-type تبلغ سماكتها بضع مئات من микرونات و تؤلف القطب الموجب للخلية
 - طبقة رقيقة من السيليكون نوع n-type لا تزيد سماكتها عن بضع ميكرونات
 - شبكة معدنية مترببة من السيليكون نوع n-type و تؤلف القطب السالب للخلية



الشكل (1) مقطع في خلية شمسية

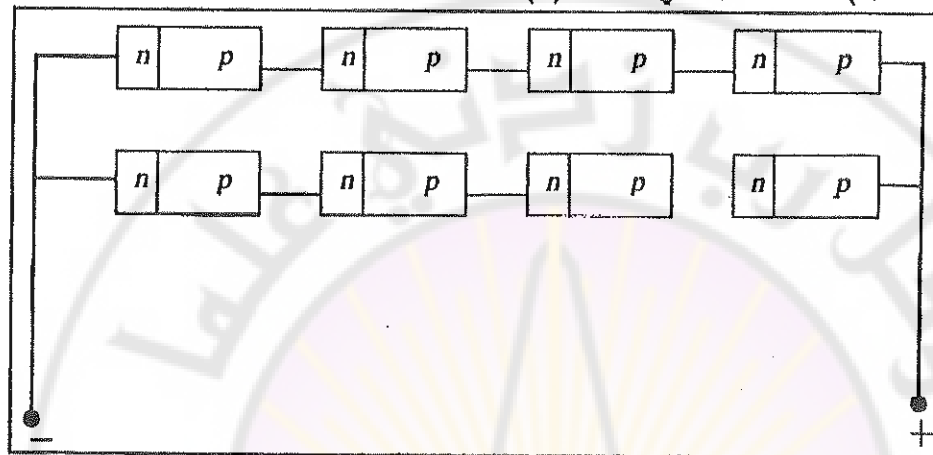
و غالباً ما تأخذ الخلية الشمسية شكلًا دائرياً كما في الشكل (2) الذي يظهر المقطع الأمامي لخلية شمسية.



الشكل(2) منظر أمامي لخلية شمسية تظهر فيه الشبكة المعدنية

عندما يسقط الضوء على سطح الخلية يخترق طبقة السليكون الرقيقة n -typ و يبلغ منطقة التماس $n-p$ (الوصلة $n-p$) فتكتسب حوصل الشحنة (الإلكترونات و التقوب) طاقة تمكنها من التغلب على حاجز كمون التماس فتتحرك الإلكترونات باتجاه معاكس للحقل الداخلي للوصلة $n-p$ (أي باتجاه الشبكة المعدنية) بينما تتحرك التقوب باتجاه الحقل الداخلي للوصلة $n-p$ مما يسبب مرور تيار كهربائي في الدارة الداخلية و الذي تفاص شدته عن طريق مقاييس أمبير و تزداد شدة التيار بازدياد شدة الضوء الوارد على الخلية.

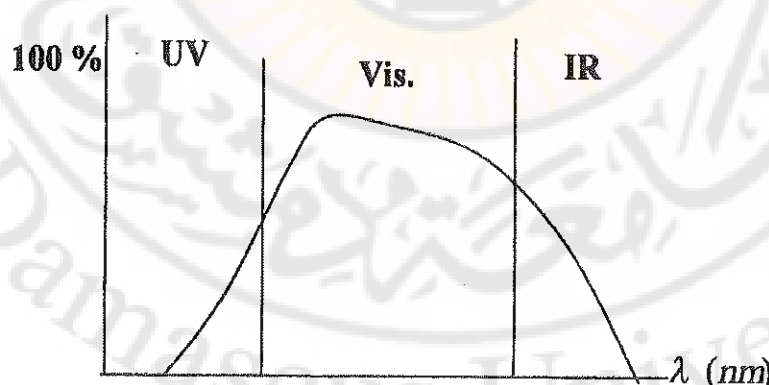
ويمكن جمع الخلايا مع بعضها على التسلسل لتعطي جهداً كهربائياً عالياً ، كما يمكن جمع الخلايا مع بعضها على التفرع لتعطي تياراً كهربائياً عالياً إلى حد ما. و غالباً تجمع الخلايا على التسلسل و على التفرع معاً (يتكون ما يسمى اللوحة الشمسية) كما هو مبين في الشكل (3)



الشكل(3) تجمع الخلايا على التسلسل و على التفرع

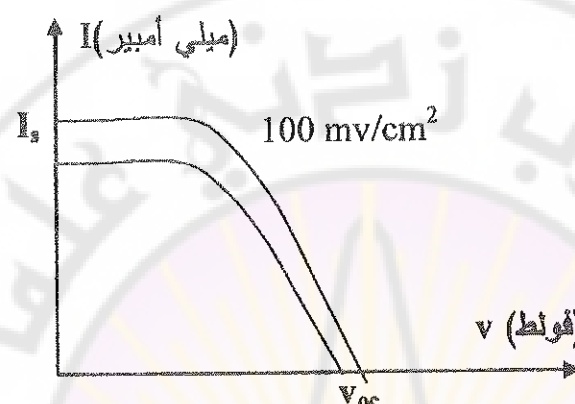
لكل خلية أو لوحة شمسية نوعان من المزايا هي:

ميزات طيفية: وهي تختلف باختلاف استجابة الخلية للضوء الوارد فهي أعظمية مثلًا في منطقة الضوء المرئي كما هو واضح في الشكل (4)



الشكل(4)

ميزات الجهد والتيار: وهذا ما سندرسه من خلال التجربة، حيث تعطى هذه الميزات تيار الخلية بدلالة الجهد بين طرفيها وحسب شدة ضوء الشمس الوارد مقدراً (mv/cm^2) كما هو موضح بالشكل (5)



الشكل (5)

نسمى نقطة تقاطع المنحنى مع محور التيار I : تيار الدارة المقصورة. أما نقطة تقاطع المنحنى مع محور الجهد فتسمى V_{oc} جهد الدارة المفتوحة و يلاحظ ان I_s أشد تغيراً من V_{oc} بتغير شدة الإضاءة.

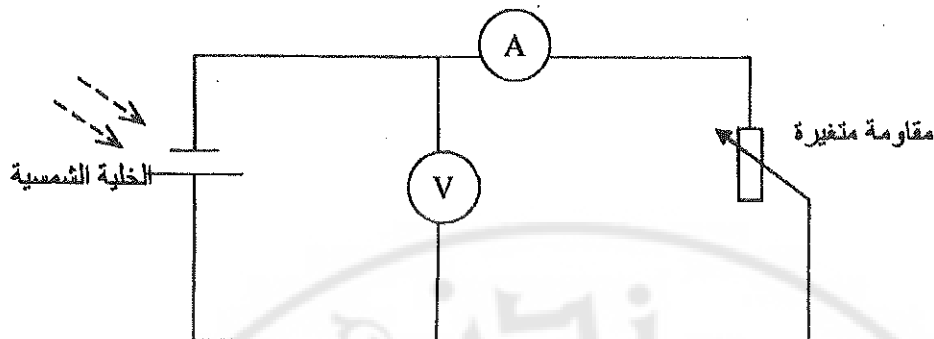
الأجهزة والأدوات المستخدمة:

خلية شمسية ، مصباح -مقياس فولط و مقياس أمبير
-مقاومة متغيرة (أو معدلة) - لوحة توصيل - أسلاك

مراحل العمل:

أولاً: دراسة الميزات المميزة ($I=I(v)$) من أجل شدت ضوئية مختلفة (يتغير البعد بين المنبع والخلية)

- 1- صل الدارة كما هو مبين في الشكل (6)



(الشكل(6)

- 2- ضع المصباح على بعد عن الخلية بمقدار $d=20\text{cm}$
- 3- سجل قراءة كل من شدة التيار I و الجهد V عند اوضاع مختلفة للمقاومة المتغيرة مبتدئاً بقيم صغيرة ($A \rightarrow G$) في الجدول التالي :

$d=20\text{cm}$

| R الخارجية | G | F | E | D | C | B | A |
|---------------|---|---|---|---|---|---|---|
| I(mA) | | | | | | | |
| V(v) | | | | | | | |

4- ارسم الخط البياني لتحولات ($I=f(V)$ أي $I(\text{mA})$ بدلالة V)

5- عين شدة تيار الدارة المقصورة (I_o) وجهد الدارة المفتوحة (V_{oc})

- 6- أعد التجربة من أجل بعد اخر بين المنبع الضوئي و الخلية الشمسية و ليكن $d=25\text{cm}$ مراعياً تسلسل الخطوات 3,4,5 مع رسم الخط البياني لتحولات $I(\text{mA})$ بدلالة V على نفس الورقة الميليمترية(الخطوة الرابعة) ، ماذا تستنتج؟

ثانياً: حساب استطاعة الخلية P و دراسة العلاقة بين P و المقاومة الداخلية

للخلية R :

- 1- استخدم الدارة نفسها

2- ثبت المقاومة المتغيرة على الوضع d مثلاً حتى يثبت التيار عند قيمة معينة و لكن $30mA$

3- غير البعد بين المصباح الضوئي و الخلية بحيث تأخذ قيم شدة التيار $30; 25; 20; 15; \dots$

4- قس في كل مرة الجهد الموافق بين طرفي الخلية

5- سجل النتائج في الجدول التالي:

| رقم التجربة | $I(mA)$ | $V(mv)$ | $P=VI$ | $R=V/I \Omega$ |
|-------------|---------|---------|--------|----------------|
| 1 | 30 | | | |
| 2 | 25 | | | |
| 3 | 20 | | | |
| | . | | | |
| | . | | | |
| | 2 | | | |

6- ارسم الخط البياني لتحولات P بدلالة R (المقاومة الداخلية) ، ماذا تستنتج؟

7- حدد من على الخط البياني P_{max} وقارن هذه القيمة بالجاء $I_s V_{oc}$ عند نفس الشروط (فيما يتعلق بالبعد بين المصباح و الخلية)

8- ارسم الخط البياني لتحولات P بدلالة V

9- ارسم الخط البياني لتحولات P بدلالة I

10- اكتب ملاحظاتك و استنتاجاتك.

مقدمة في القياسات الحرارية

لوصف أي علم رياضياً يجب أن تكون له مجموعة من التوابع والمتاحولات الخاصة ومتاحولات مساعدة للدراسة، و بعض الثوابت الضرورية التي ينبغي حسابها. ولكل علم أيضاً منهجه الخاص في البحث عن القوانين التي تحكم الطواهر موضوع بحثه، وأساليب تطبيقها في الواقع .

تبدأ مواضيع الفيزياء الحرارية من علم термодинاميك باستعمال جملة من الإحداثيات المتناثلة في الضغط P والحجم V ودرجة الحرارة T والانتروبيا S وعدد المولات n ، والطاقة الداخلية U ، وتكون حالة الجملة في علم الترموديناميک تابع من الشكل :

$$f(P, V, T, S, U) = 0$$

ترتبط المتاحولات الإحداثية لهذا التابع في التحوالات التوازنية و يمكن استخدام توابع مكان المتاحولات وبالعكس، و ما يحكم حالة الجملة هو عدد المتاحولات المستقلة الكافية لوصف الجملة. و في الظروف المثالبة تمثل بمعادلة من الشكل :

$$f(P, V, T) = 0$$

نعرف من هذه التوابع ، قانون الغاز الكامل، و التي هي من الشكل :

$$P V = n R T$$

و بالتالي فإن عدد المتاحولات المستقلة في حالة الغاز الكامل اثنان ويكون الثالث تابعاً لهما. و كذلك علاقة فاندرفالس التي هي من الشكل:

$$\left(P + \frac{a}{V^2} \right) (V - b) = n R T$$

ونلاحظ أن هذه المقادير يمكن قياسها للجمل الكبيرة (نسبة للذرات والجزيئات) و هي تمثل وسطي إحصائي لخواص ذرات أو جزيئات لحجم ما من الجملة.

A - الضغط P

هو إحداثي يصف وسطي القوى الداخلية أو الخارجية التي تؤثر في جدران الوعاء نتيجة تصادم الذرات أو الجزيئات، ويولد اختلاف الضغط بين منطقتين حركة في المادة الحرّة بحيث تميل الجملة لتساوي الضغوط فيما بين أجزائها، مثل حركة الكل الهوائية وتيارات الماء في المحيطات، وتبارات الحمل قرب المؤدّي وفي وعاء الطهي، وفي الأوعية المغلقة، والقوارير وما شابه، فهي حركة انتقال المادة من منطقة ذات ضغط مرتفع إلى منطقة ذات ضغط منخفض.

B - الحرارة T

إحداثي يصف وسطي الطاقة الحركية للذرات أو الجزيئات المكونة للمادة والتي تتحرّك عشوائياً في الحالة العامة، وفي الحد الفاصل بين منطقتين مختلفتين بدرجات الحرارة تتصادم الذرات أو الجزيئات ، وتنبادل الطاقة الحركية حتى يعتدل وسطي كميات الحرارة، ويحدث أثناء ذلك تدفق للطاقة متوجهة من المنطقة ذات درجات الحرارة الأعلى، إلى المنطقة ذات درجات الحرارة الأخفض.

C - الحجم V

إحداثي يعبر عن حجم المادة المدرّسة، وتغيراتها هي تغيرات في الأبعاد الحقيقية بين مراكز ذرات أو جزيئات المادة المكونة.

D - عدد المولات n

المول هو وحدة قياس كمية المادة، ويسهل تحويلها إلى عدد ذرات أو كتلة أو حجم بمساعدة مفاهيم الكثافة ρ والوزن الغرامي M وعدد أفروغادرو N .
مثلاً الوزن الغرامي لجزيء الهيدروجين H_2 هو 2g ، أي إن وزن مول واحد من جزيئات الهيدروجين هو 2g، وكل مول يحوي عدد أفروغادرو من الذرات أو الجزيئات، إذن 2g من H_2 تحتوي 10^{23} جزيء، وجسم هذا

الغاز في الشروط النظامية letter 22,4 . وهذا صحيح من أجل كل الغازات ، ويفيد عدد المولات في السوائل والمواد الصلبة إذا استعملنا قيمة كثافة المادة ρ . ونظراً لصعوبة دراسة الجمل بثلاث متحولات (P , V , T) تدرس الجمل الترموديناميكية عادةً في إطار ثلات حالات خاصة رئيسية :

أ - متساوي الدرجة، أي لا تتغير درجة الحرارة أثناء التحول

$$\text{الترموديناميكي } dT = 0.$$

ب - متساوي الحجم، أي لا يتغير الحجم أثناء التحول

$$\text{الترموديناميكي } dV = 0.$$

ج - متساوي الضغط ، أي لا يتغير الضغط أثناء التحول

$$\text{الترموديناميكي } dP = 0.$$

ويمكن عملياً تحقيق ذلك بإجراء التجارب بتحولات شبه سكونية، أي التغيرات فيها بطيئة جداً أو صغيرة القيمة .



الحرارة النوعية

الغاية من التجربة : قياس الحرارة النوعية لمواد صلبة

تمهيد نظري :

عند تقديم كمية من الحرارة Q لجسم ما فإن درجة حرارته ترتفع بمقدار ΔT .
إن نسبة Q على ΔT تسمى بالسعة الحرارية للجسم ويرمز لها ب C أي أن :

$$C = \frac{Q}{\Delta T} \quad (1)$$

ووحداتها هي حريرة / درجة حرارة مئوية
وإذا كانت $\Delta T = 1$ فان السعة الحرارية عندئذ هي كمية الحرارة اللازمة لرفع
درجة حرارة الجسم درجة مئوية واحدة .
إذا كانت كتلة الجسم هي m فان نسبة السعة الحرارية على الكتلة m تسمى
بالسعة الحرارية النوعية أو اختصاراً بالحرارة النوعية والتي تعرف على إلها -
كمية الحرارة اللازمة لرفع حرارة وحدة كتلة المادة درجة واحدة .

$$c = \frac{Q}{m\Delta T} \quad (2)$$

ومن هذه العلاقة نكتب :

$$Q = c m \cdot \Delta T = c m (T_2 - T_1) \quad (3)$$

واحدة الحرارة النوعية هي حريرة / كغ درجة مئوية.

يمكن قياس الحرارة النوعية للمواد عن طريق استخدام المسعر المائي الذي
هو عبارة عن وعاء معدني ذي جدران رقيقة A ومزود بغطاء يمر منه
ميزان حرارة B وعادة يحاط المسعر بخلاف عازل للحرارة D انظر الشكل
. (1)



الشكل (١)

والطريقة المتبعة لقياس الحرارة النوعية لمادة صلبة هي التالي :

تسخن كتلة محددة m_1 من المادة التي يراد قياس حرارتها النوعية في فرن أو حمام بخاري ولتكن درجة حرارة المادة بعد التسخين T_s وحرارتها النوعية المطلوب قياسها C_p . وإذا كانت كتلة المسعر m_2 وحرارتها النوعية عوكتلة الماء داخل المسعر m_1 ودرجة الحرارة الابتدائية للمسعر مع الماء الموجود فيه T_0 .

بعد وضع المادة الصلبة في المسعر تصبح درجة حرارة التوازن T_0 .

وبحسب قانون انتقال الطاقة يمكن أن نكتب :

$$m_s c_s (T_s - T_0) = m_{(1)} \times 1 (T_0 - T_1) + mc (T_0 - T_1)$$

أو

$$m_s c_s (T_s - T_0) = (m_1 + mc) (T_0 - T_1) \quad (4)$$

علمًا بأن : الحرارة النوعية للماء = احريرة/غرام. درجة مئوية
يمكن من هذه العلاقة حساب C حيث إن جميع عناصر العلاقة معروفة

ملاحظة : يمكن أن تعدد mc في العلاقة (4) تكافىء زيادة كثافة الماء بالقدر mc لذا يسمى هذا المقدار بالمكافئ المائي للمسعر.

الأدوات والاجهزه المستخدمة :

(1) حمام مائي يحتوي على فتحتين الأولى لوضع ميزان الحرارة والثانية توجد في ملتصف الوجه العلوي للحمام المائي لوضع الأسطوانة النحاسية ، حيث أن هذه الأسطوانة مفتوحة من الطرفين واحدهما مشطوف بزاوية 45° لوضع المادة الصلبة المراد قياس حرارتها النوعية .

(2) ميزان حرارة

(3) ميزان عادي

(4) كرات صلبة (زجاج ورصاص)

(5) مخلط زجاجي (لخلط الماء مع الكرات من أجل التوازن الحراري) .

مراحل العمل :

1- املأ الحمام المائي بالماء حتى ملتصقه تقريبا

2- زن الوعاء الداخلي للمسعر فارغاً ولتكن كتلته m غرام، ثم املأ الوعاء الداخلي من المسعر لحوالي ثلثة ماء وزنه من جديد ولتكن كتلته مع الماء m_2 غرام

$$m_1 = m_2 - m \text{ غ أي:}$$

3- ضع كمية لا تقل عن 20 غ من كرات الرصاص في الأسطوانة وهي m ثم ضعها في الحمام المائي مع الانتباه إلى وضع الأسطوانة داخل الحمام المائي بحيث يكون وجهها المشطوف من الداخل حتى لا تسقط الكرات المدرسبة من فتحة الحمام المائي

4- ضع ميزان الحرارة داخل الحمام المائي بالمكان المحدد له A داخل السادة المطاطية

5- سخن الكرات الصلب لفترة كافية داخل الحمام حتى تستقر درجة الحرارة عند t_0 .

6- قس درجة حرارة الماء في الوعاء الداخلي للمسعر بعد التخلط جيداً ولتكن t_1 (وهي درجة حرارة الماء ووعاء المسعر قبل إدخال الكرات المحسنة إليه)

7- ضع الوعاء الداخلي للمسعر تحت ثقب علبة الحمام المائي ثم أذر الأسطوانة B حتى تسقط الكرات الساخنة داخل المسعر بسرعة وحرك جيداً المزدوج وسجل درجة حرارة التوازن ولتكن t_0

8- احسب الحرارة النوعية للمادة الصلبة وبالتعويض في العلاقة (4) مع العلم بأن السعة الحرارية النوعية لمادة المسعر هي :

$$\text{لمادة الألミニوم} = 0.09 \text{ حريره/غرام.درجة متوية}$$

$$\text{لمادة النحاس} = 0.22 \text{ حريره/غرام.درجة متوية}$$

9- نظم نتائجك في جدول كالتالي

| رقم التجربة | غرام m_1 | M2 غرام | m غرام | T_1 درجة مئوية | T_s درجة مئوية | T_0 درجة مئوية | حريرة غرام × درجة مئوية |
|-------------|------------|------------|-----------|---------------------|---------------------|---------------------|----------------------------|
| 1 | | | | | | | |
| 2 | | | | | | | |
| | | | | | | | القيمة الوسطية |

- 10- احسب الارتباط والأخطاء المرتکبة في قياس الحرارة النوعية c من العلاقة (4)
- 11- أعد التجربة السابقة من أجل كرات الزجاج مراعياً المراحل كافة.



السعة الحرارية

الغالية من التجربة

- 1- حساب السعة الحرارية للماء.
- 2- حساب السعة الحرارية لسائل مجهول باستخدام سعة حرارية لمادة معلومة.
- 3- حساب السعة الحرارية لمادة صلبة مثل المعادن

تمهيد نظري

يختلف المعنى الفيزيائي لكمية الحرارة التي تدخل في جسم مادي عن الدلالة الفيزيائية لدرجة الحرارة المقاسة، ولا يبدأ الجسم بالسخونة إلا بعد أن يأخذ طاقة حرارية بقدر سعة المادة المستعملة من الحرارة، وكلما زادت كمية المادة لزم كمية حرارية أكبر لرفع درجة حرارتها، وهذا ما نسميه بالسعة الحرارية.

تعرف السعة الحرارية لمادة ما بأنها كمية الحرارة الازمة لرفع درجة حرارة المادة درجة مئوية واحدة، تؤخذ قريباً من درجة حرارة الغرفة. ونقتصر بها بالوحدة K° أو $[cal/C^{\circ}]$.

تتغير السعة الحرارية للمواد وخاصة الموائع و الغازات بتغير درجة الحرارة وتغير الضغط. وهذا التغير يتبع علاقات تجريبية بعضها معروف كما في حالة الماء وبخار الماء وما شابه. أما من أجل الأجسام الصلبة فإن السعة الحرارية لها تكون ثابتة في درجات الحرارة المرتفعة وتساوي السعة الحرارية المولية إلى المقدار :

$C_m = 3R = 25 J/mol^{\circ}K$ (وهي السعة الحرارية من أجل مول واحد من المادة و هي مستقلة عن نوع المادة) و هذه العلاقة تعرف بقانون دولنگ - بتي.

لرفع درجة حرارة الجسم يجب اعطاؤه كمية من الحرارة (طاقة حرارية)، و هذه الكمية عادة تكون متناسبة مع مقدار تغير درجة حرارة الجسم، و بالتالي يمكن التعبير عن ذلك رياضياً بالعلاقة:

$$\Delta Q = C \Delta T \quad (1)$$

حيث ΔT - مقدار تغير درجة حرارة الجسم مقدرة بـ K° أو C°. و ΔQ - كمية الحرارة اللازمة للتغيير حرارة الجسم بالمقدار ΔT . أما معامل التاسب بينهما C - فإنه يتعلق بالمادة المدرستة، و يدعى بالسعة الحرارية للمادة. و بالتالي نستطيع تعريف السعة الحرارية للمادة وفقاً للعلاقة (1) بأنها حاصل قسمة كمية الحرارة المقدمة للجسم ΔQ على مقدار تغير درجة حرارته ΔT . أو بالعلاقة :

$$C = \frac{\Delta Q}{\Delta T} \quad (2)$$

من المعلوم أنه عند مزج سائلين مختلفين بدرجة حرارتيهما سوف يحدث بينهما توازن حراري بعد فترة زمنية محددة. و بالتالي يصبح للمزيج درجة حرارة واحدة و لتكن T_m . فإذا فرضنا أن درجة حرارة السائل الساخن الأول هي T_1 و درجة حرارة السائل الثاني الأقل حرارة هي T_2 . فإن كمية الحرارة المنقولة من السائل الساخن إلى السائل البارد تعطى بالعلاقة:

$$Q_1 = C_1 (T_1 - T_m) \quad (3)$$

أما كمية الحرارة الممتصة من قبل المادة الباردة تعطى بالعلاقة:

$$Q_2 = C_2 (T_m - T_2) \quad (4)$$

و عند حدوث التوازن الحراري بينهما تكون المعادلتان (3) و (4) متساويتين، إذ نستطيع أن نكتب:

$$\frac{C_1}{C_2} = \frac{T_m - T_2}{T_1 - T_m} \quad (5)$$

لعد معرفة السعة الحرارية للمادة العيارية و لتكن الماء مثلا، نستطيع حساب السعة الحرارية لأي مادة أخرى باستخدام المعادلة (5).

من المعلوم أن الطاقة الحرارية التي تقدمها للجسم يمكن حسابها من خلال الطاقة الكهربائية المستخدمة و التي يمكن حسابها من العلاقة:

$$E = V.I.t \quad (6)$$

حيث V - فرق الجهد (الكمون) المطبق بين طرفي المقاومة التي تعطى الحرارة للمادة المدروسة. I - شدة التيار المار في الدارة، t - زمن تسخين المادة المدروسة بمقدار ΔT درجة . و بالتالي نستطيع باستخدام المعادلتين (1) و (6) أن نكتب:

$$V.I.t = C \Delta T \quad (7)$$

إذ نستطيع من هذه المعادلة حساب السعة الحرارية بالعلاقة:

$$C = \frac{V.I.t}{\Delta T} \quad (8)$$

حيث تقدر C في هذه العلاقة ب J/K^0 . أما إذا أردنا أن نقدر السعة الحرارية بوحدة : حريرة/ درجة. عندها تصبح المعادلة (8) بالشكل:

$$C(cal/^0 K) = \frac{0.24 V.I.t}{\Delta T} \quad (9)$$

يحتاج إجراء التجربة إلى تحضيرات خاصة بهدف عدم ضياع كمية الحرارة المدروسة أو ضياعها في المواد. وأكثر الأجهزة استعمالاً في هذه الحالة هو المسرع.

2 - الأدوات والاجهزه المستخدمة

- 1 - مسرع مجهز بوشبعة تسخين (مقاومة أومية) كما في الشكل (2).
- 2 - مقياس درجة حرارة رقمي متعدد الفنوات الشكل (6) أو زئبيقي.
- 3 - وحدة تغذية كهربائية بتوفير منخفض.
- 4 - عدّة حواضن معدنية سميكة (المنيوم ونحاس) ذات تجويف مجهّز لاحضن مجس حراري، ويتسعم لعدّة غرامات من الماء، وعلى جداره الخارجي وشبعة التسخين الشكل (1).



الشكل (1)

- 5 - سائل مجهول لحساب سعته الحرارية (الكحول).

3 - مراحل العمل

أولاً- حساب السعة الحرارية للماء

- 1 - خذ كمية من الماء ($50\text{ml} = 50\text{ g}$) بالوزن أو بالأنبوب المدرج.
- 2 - ضع الماء في ديوار المسعر (الوعاء الداخلي للمسعر) الشكل (2)، ثم ضع غطاء الوعاء الداخلي الذي يحتوي على وشيعة التسخين مع حلقة التحرير فوق الوعاء الداخلي بحيث يغمر السائل الوشيعة (إذا لم يتحقق ذلك فم بزيادة كمية الماء المستخدم).



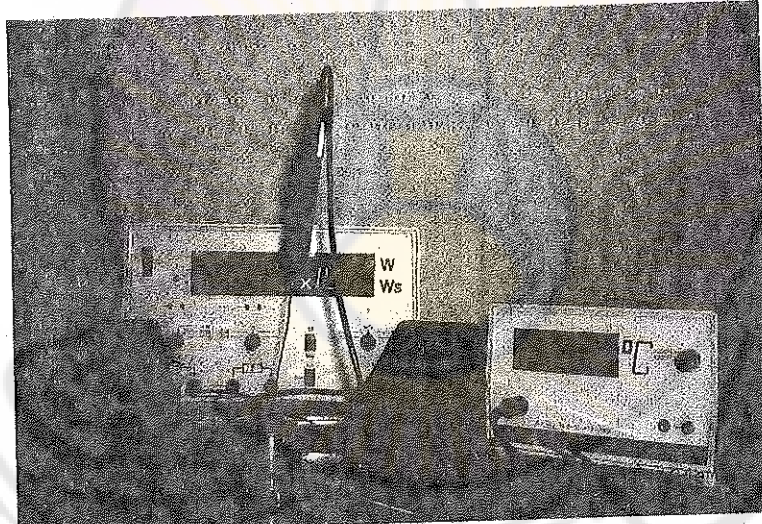
الشكل (2) : أجزاء المسعر المستعمل.

3 - صل المقاومة (وشيعة المسر) إلى وحدة تغذية متغيرة الجهد ، عن طريق مقياس أمبير موصول على التسلسل مع المسر لقياس شدة التيار في الدارة I.و مقياس فولط موصول على التفرع بين طرفي المسر لقياس الجهد المطبق عليه V .

4 - شغل مقياس درجة الحرارة الرقمي أو استعمل ميزان الحرارة الزيتني.

5 - سجل درجة حرارة الماء الموجود في المسر قبل بدء التسخين و لتكن T_1 .

6 - ابدأ بتغذية المقاومة (الوشيعة) بالتيار الكهربائي، و ابدأ بتحيير الزمن وانتظر إلى أن تصبح درجة حرارة الماء T_2 ، بحيث تكون $T_2 > T_1$ بحوالي أربع درجات، وأنشاء ذلك سجل قراءة مقياس الأمبير و كذلك قراءة مقياس الفولط. و سجل النتائج في الجدول (1).



الشكل (3) : وصل المسر إلى أجهزة التجربة.

7 - احسب السعة الحرارية للماء من العلاقة (8)

8 - أعد التجربة مرة أخرى من أجل وزن ماء مختلف g(200 - 150 - 100) و ضع النتائج في مكانها من الجدول (1) و قم بحساب السعة الحرارية لكل حالة من العلاقة (8) .

الجدول (1)

| رقم التجربة | وزن الماء m(g) | درجة الحرارة الابتدائية T_1 | درجة الحرارة بعد التسخين T_2 | تغير درجة الحرارة $\Delta T = T_2 - T_1$ | زمن التسخين t(s) |
|-------------|----------------|-------------------------------|--------------------------------|------------------------------------------|------------------|
| | | | | | |
| | | | | | |
| | | | | | |
| | | | | | |

نتمة الجدول (1) السابق

| الجهد بالفولط V | التيار بالأمبير I | الطاقة الكهربائية $P = V I t$ (J) | السعة الحرارية C(J/K) |
|-----------------|-------------------|-----------------------------------|-----------------------|
| | | | |
| | | | |
| | | | |

ماذا تستنتج من قيم السعة الحرارية المحسوبة في الجدول (1)؟

- ثانياً- حساب السعة الحرارية لمادة سائلة مجهولة بمزجها مع مادة معلومة.**
- 1- ضع 100 غرام من الماء في ديوار المسعر (الوعاء الداخلي للمسعر)، ثم ضع غطاء الوعاء الداخلي الذي يحتوي على وشيعة التسخين مع حلقة التحرير فوق الوعاء الداخلي بحيث يغمر المسائل الوشيعة .
 - 2- سخن هذه الكمية من الماء حتى الدرجة $T_1 = 40\text{ }^{\circ}\text{C}$
 - 3- خذ كمية من المادة المجهولة و لتكن 25 غرام و درجة حرارتها T_2 مساوية إلى درجة حرارة المختبر .
 - 4- أضف المادة المجهولة إلى الماء الموجود في الوعاء الداخلي للمسعر و حرك المزيج حتى ثبات درجة حرارة المزيج، سجل هذه الدرجة و لتكن T_m . استخدم العلاقة (5) لحساب السعة الحرارية للمادة المجهولة، على اعتبار أن السعة الحرارية للماء معلومة من الفقرة السابقة.
- ثالثاً- قياس السعة الحرارية لمادة صلبة .**

لا يتغير تعريف السعة الحرارية عند استخدام مادة صلبة، ولكن المادة الصلبة ذات سعة حرارية أقل بمراتب من الموائع مما يدعو إلى استخدام إجراءات عزل وأجهزة قياس أكثر دقة.

في التجربة الحالية لدينا ثلاثة أسطوانات من الألمنيوم واللحاس مختلفة في الطول. جدار الأسطوانات ثخين وفيه تجويف صغير للماء لوضع المحس الحراري أو المقياس الرئيسي. و على الجدار الخارجي وشيعة كهربائية بهدف التسخين الشكل (4) و لإجراء العمل التجريبي اتبع ما يلى:

- 1 - افتح الأسطوانة من غطائها البلاستيكي بالفتق وانزع العازل، تعرف إلى داخل التجويف في الداخل فهو صغير ويتسع للقليل من الماء فقط، ستجد في قعره ثقب صغير مخصص لوضع المحس الحراري الشكل (4).



الشكل (4) : مخطط المسعر المستخدم.

- 2 - ضع قليلاً من الماء في التجويف وسجل كميته من الأنوب المدرج الذي تصب منه الماء، وهي كمية يمكن إهمال ما تأخذه من حرارة.
- 3 - صل مقاييس الوشيعة على الأسطوانة إلى وحدة التغذية جهد منخفض باستخدام أسلاك الوصل الخاصة.
- 4 - صل جهاز قياس فرق الجهد على الفرع، ومقاييس ألمير على التسلسل كما في الشكل (5). هذا إذا لم يتوفر مقاييس استطاعة وعمل.
- 5 - طبق على الوشيعة جهداً حوالي $20V$.

- 6 - عند بدء مرور التيار الكهربائي في الوشيعة أي في الزمن : $t = 0$ تكون درجة حرارة الاسطوانة المدروسة $T_1 = T_0$ (درجة حرارة الجو).

- 7 - قم بتسجيل درجة حرارة الاسطوانة بعد 30 ثانية.

- 8 - احسب الطاقة الكهربائية E من العلاقة (6).

- 9 - احسب السعة الحرارية للاسطوانة المدروسة من العلاقة :

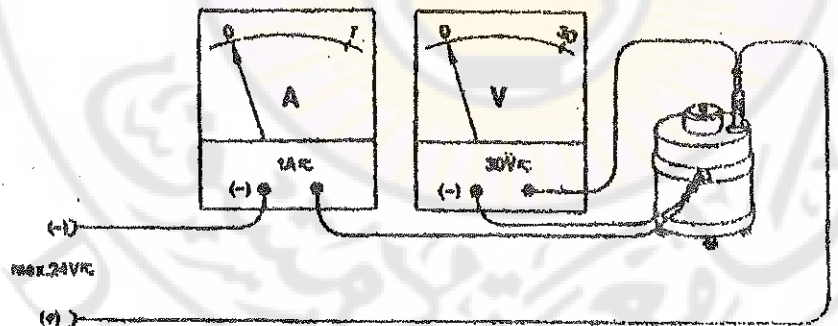
$$E = (C_k + C_w + C_t) \cdot \Delta T$$

- السعة الحرارية للاسطوانة المدروسة . C_k

. $C_w = 4.2 \text{ J}^0 \text{K}$ - السعة الحرارية لغرام واحد من الماء

C_T - السعة الحرارية لمقياس الحرارة (يمكن إهماله) وللمقياس الزجاجي وهي حوالي $5 \text{ J}^0 \text{K}$.

- 10 - كرر العمل السابق من أجل الاسطوانات الأخرى و وضع النتائج في الجدول . (2)



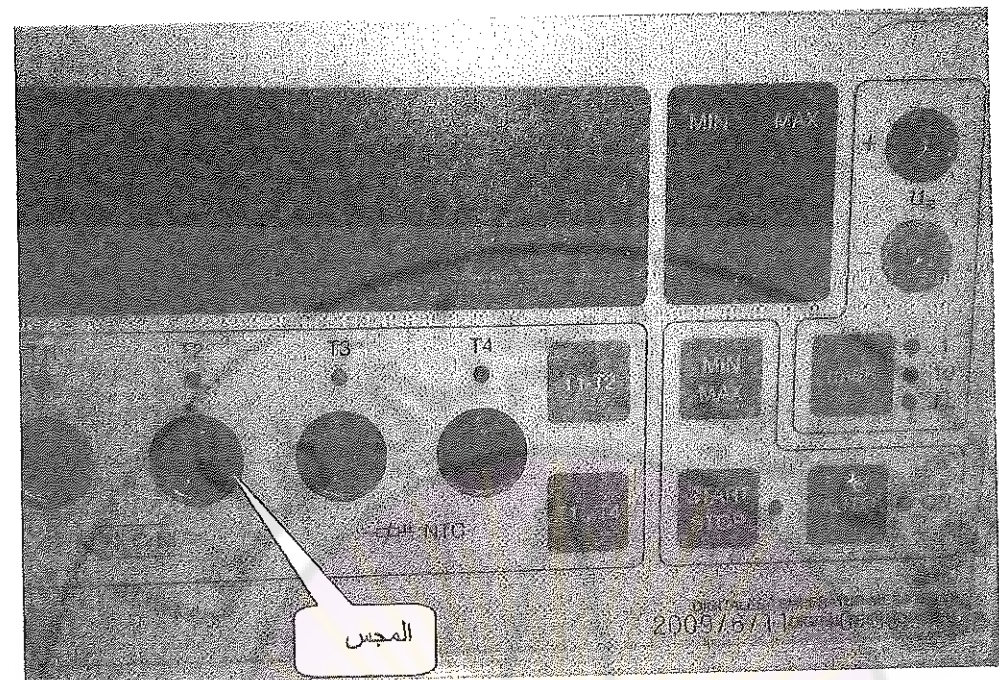
الشكل (5) : وصل عن طريق أجهزة جهد وتيار.

الجدول (2)

| $T_1 = T_0 ({}^{\circ}\text{C})$ | | | | | | |
|----------------------------------|---------------------------------|-----------------------------|-----------------------------------|---------------------------------|--------------------------|----------------|
| E (J) | C J/kg. ${}^{\circ}\text{C}$ | $\Delta T =$ $T_2 - T_0$ | T_2 [${}^{\circ}\text{C}$] | t [s] زمن تسخين المسعر | نوع اسطوانة المسعر | رقم التجربة |
| | | | | | | 1 |
| | | | | | | 2 |
| | | | | | | 3 |
| | | | | | | . |
| | | | | | | . |

11 - سجل ملاحظاتك حول السعة الحرارية للمواد الصلبة والسائلة.

12 - احسب الارتباط في حساب السعة الحرارية للمادة الصلبة .



الشكل (6)

دورة المحرك الحراري العكسية (المبرد)

- الفأبة من التجربة -

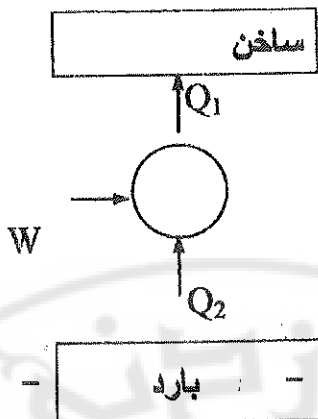
- ١- حساب مردود عملية التبريد ودراسة تغيراتها.
- ٢- قياس تغير الضغط P ودرجة الحرارة T في دورة مادة التبريد.
- ٣- دراسة تغيرات درجة الحرارة في الوسط المبرد والوسط الممسخ كتابع للزمن.

تمهيد نظري

تنقل الحرارة بصورة طبيعية من الجسم الساخن (ذى درجة الحرارة المرتفعة) إلى الجسم الأبرد (الأقل درجة حرارة)، فإذا أردنا نقل الحرارة بالاتجاه المعاكس من الجسم البارد إلى الأسخن فإنه يتطلب تقديم عمل من الجملة الخارجية إلى الجملة المدروسة أي أن هذه العملية لا يتم بصورة تلقائية. كما يحدث تماماً في حالة سقوط الماء من مستوى مرتفع إلى مستوى أخفض منه تلقائياً ودون تقديم عمل، لكن إذا أردنا نقل الماء من مستوى منخفض إلى أعلى فإنه يلزم تقديم عمل للماء لإنجاز ذلك، مثلاً كحمله بالأيدي أو باستخدام النافورة أو الحبال أو مضخة (محرك) كهربائي ... الخ.

تسمى عملية نقل الطاقة أو المادة من مستوى طافي منخفض إلى مستوى طافي مرتفع بالضخ. وبالمثل تسمى عملية نقل الحرارة من جسم بارد إلى ساخن بالضخ الحراري، وأشهر مثال نعرفه في حياتنا العملية اليومية هو البراد الذي يعتبر مضخة حرارية وظيفتها نقل الحرارة من داخل حجرة البراد إلى خارجها الأكثر سخونة.

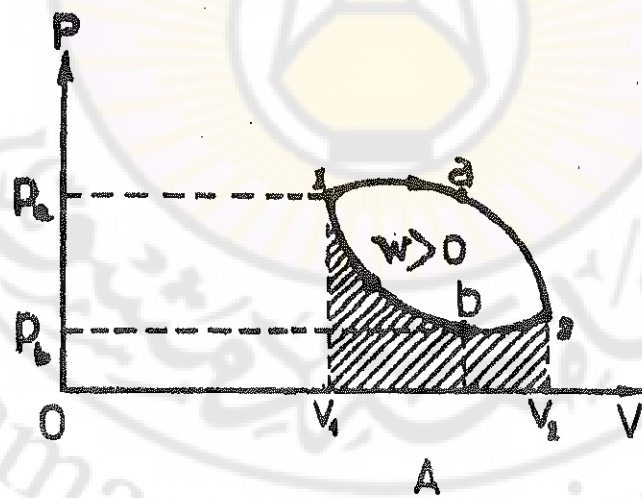
يمثل مخطط عمل البراد بالمخطط التالي:



الشكل (1)

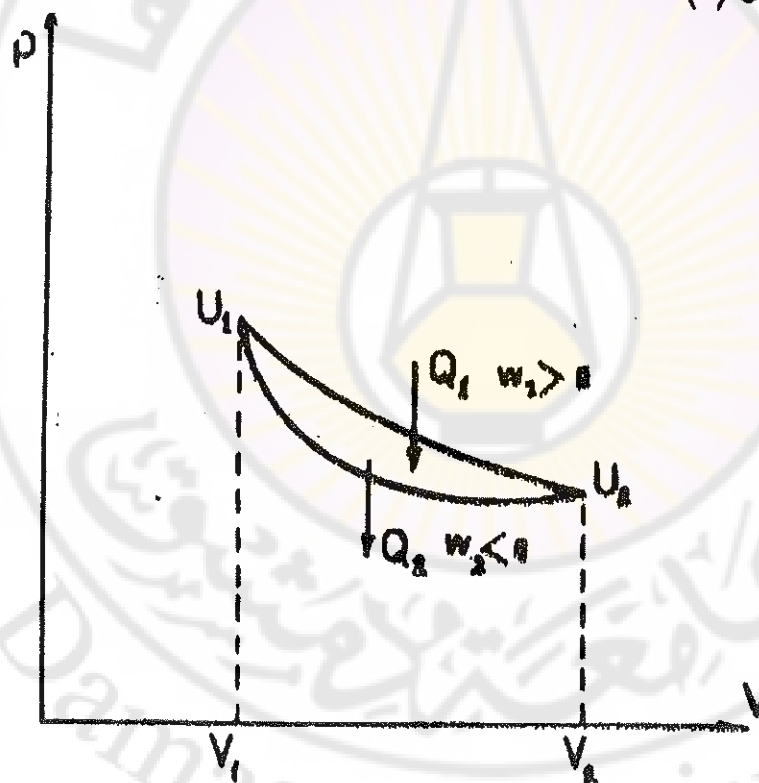
- حيث: W - العمل المقدم من الجملة (الوسط) الخارجية.
- Q_1 - كمية الحرارة المضافة إلى الحجرة الساخنة.
- Q_2 - كمية الحرارة المسحوبة من الحجرة الباردة .

ويعرف التحول الدوري بأنه التحول الذي تعود بنتيجه الجملة термодинамическая إلى حالتها الابتدائية عبر سلسلة من التحولات المتوازنة كما في الشكل (2).



الشكل (2)

و صفة الدورية تشتهر فيها جميع التحولات الحرارية التي تجري في الآلات الحرارية. فإذا كانت الجملة الترموديناميكية (الغاز) تمتد من الحجم V_1 إلى الحجم V_2 ومن ثم تقلصت بالعكس من V_2 إلى V_1 و ذلك بحسب الشكل (2)، فإن العمل الكلي الناتج عن هذه الدورة يكون موجباً $W > 0$ لأن العمل الناتج من التمدد أكبر من العمل الناتج عن الانضغاط (التقلص) . وبالتالي نحصل من خلال هذه الدورة على عمل مفيد، قيمته تساوي إلى مساحة سطح الدورة. من جهة ثانية ، و خلال عملية التمدد تنتص الجملة طاقة حرارية قدرها Q_1 ، كما تطرح خلال عملية التقلص كمية من الطاقة الحرارية قدرها Q_2 ، الشكل (3).



الشكل (3)

بحسب القانون الأول في الترموديناميك المعبر عنه بالعلاقة:

$$Q = \Delta U + W \quad (1)$$

حيث ΔU تغير الطاقة الداخلية في تحول ما و Q كمية الحرارة المتبادلة و هي موجبة اذا أخذتها الجملة (المادة) و سالبة اذا أعطتها الجملة الى الوسط، و W العمل المقدم خلال التحول و هو موجب اذا أعطته الجملة الجملة و بما أن المادة العاملة تعود الى حالتها الابتدائية ، فهذا يعني ان تغير طاقتها الداخلية معنوم، أي $0 = \Delta U$ ، وبالتالي يصبح شكل القانون الأول :

$$Q = W \quad (2)$$

لكن : $Q = Q_1 - Q_2$ ، فتصبح المعادلة (2) بالشكل:

$$Q_1 - Q_2 = W \quad (3)$$

و هذا المقدار موجب لأن $W > 0$ و وبالتالي $Q_1 - Q_2 > 0$ أي $Q_1 > Q_2$.
إن الدورة المعرفة وفق الشكل (2) و التي تتم وفق اتجاه دوران عقارب الساعة تسمى بالدورة الترموديناميكية المباشرة (الأمامية) ، و ينتج منها عمل مفيد. وهذه الدورة تقوم عمليا بنقل الحرارة من المنبع الساخن الى المنبع البارد. وقد جرت العادة على تقدير كفاءة المحرك (الآلة) الحراري أو جودة عمله من خلال ما يعرف بمردود الدورة الترموديناميكية التي يتم انجازها فيه. هذا المردود يعرف بنسبة العمل المفيد خلال الدورة W الى كمية الحرارة المنتصبة من المحيط Q_1 ، وفق الشكل (2) و يعرف رياضيا بالعلاقة:

$$\eta = \frac{W}{Q_1} = \frac{Q_1 - |Q_2|}{Q_1} = 1 - \frac{|Q_2|}{Q_1} \quad (4)$$

تبين المعادلة (4) أن المردود η دوما أصغر من الواحد أي $0 < \eta < 1$.
عند تنفيذ الدورة السابقة في اتجاه عكس دوران عقارب الساعة، يكون عمل الانضغاط أكبر من عمل التمدد. عندها يجب بذلك عمل خارجي على الآلة

الحرارية لإتمام عملها، و في هذه الحالة سوف تنتقل كمية من الحرارة Q_2 من المنبع البارد إلى المستقبل الحراري الساخن. و كذلك ينتقل العمل الخارجي المطبق على الجملة إلى المنبع الساخن. و بالتالي نستطيع أن نكتب:

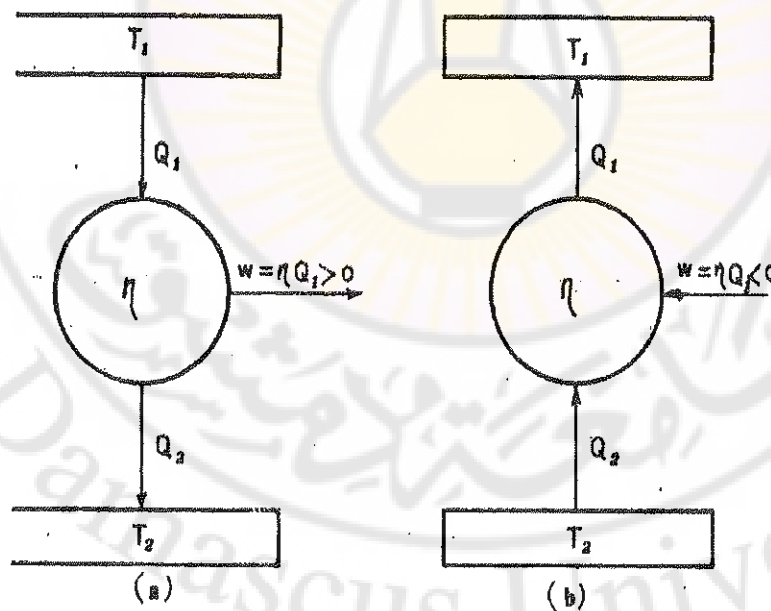
$$Q_1 = Q_2 + W \quad (5)$$

حيث $W < 0$ و كذلك $Q_1 > Q_2$ بينما $0 > Q_2 - Q_1$. مثل هذه الدورة تسمى بالدورة العكسية، و هي الدورة المميزة لآلات التبريد.

تسمى فعالية (كفاءة) هذه الدورات بمعامل التبريد و نرمز له بالرمز φ و الذي يعرف بأنه النسبة بين كمية الحرارة المأخوذة من المنبع البارد Q_2 إلى العمل المقدم من الوسط الخارجي W ، أي:

$$\varphi = \frac{Q_2}{W} \quad (6)$$

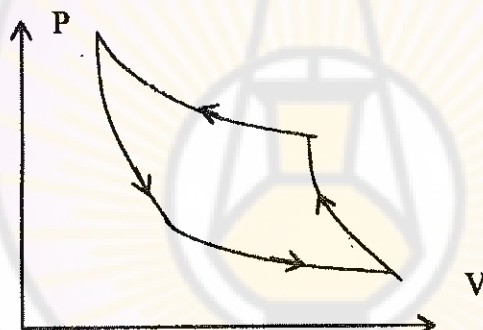
إن الرسم التخطيطي لآلات الحرارية التي تعمل في الاتجاه المباشر و الاتجاه العكسي مبينة في الشكل (4).



يمثل الشكل (4a) الدورة المباشرة التي تعمل بين المتبعين T_1 و T_2 ، حيث $T_1 > T_2$. بينما يمثل الشكل (4b) الدورة العكسية (التبريد) التي تعمل أيضاً بين نفس المتبعين.

1 - دورة كارنو المثالية للبراد

يعلم البراد أفضل ما يمكن إذا أجرينا تحولات مغلقة للمادة العاملة تمثل بمجموعها دورة تسحب الحرارة من خزان حراري بارد وتلقىها في خزان حراري ساخن بالنسبة للأول، ويتم ذلك بالاستفادة من عمل خارجي يقدمه الوسط المحيط للجملة التي تقوم بهذه الدورة. وأفضل نموذج لها هو دورة كارنو العكوسية نفسها التي يمكن أن ت العمل في الاتجاهين كبراد ومحرك حراري حيث تقوم الجملة بتحولين متتساويي الدرجة وتحولين كظوميين كما في الشكل (5).



الشكل (5) :

دورة كارنو المثالية لمضخة حرارية (براد).

يحدث في هذه الدورة انضغاط كظوم ثم انضغاط متتساوي الدرجة، و من ثم تمدد كظوم وتمدد متتساوي الدرجة، حيث تعود الجملة إلى وضعها الابتدائي. من جهة ثانية يمكن البرهان بسهولة على أن مرند الدورة التموديناميكية المباشرة لكارنو يعطى بالعلاقة:

$$\eta = 1 - \frac{T_2}{T_1} \quad (7)$$

حيث T - درجة الحرارة المطلقة مقدرة بالكلفن. أما معامل التبريد لدورة كارنو العكسية فإنه يرتبط مع مردود الدورة المباشرة بالعلاقة :

$$\varphi = \frac{1}{\eta} - 1 \quad (8)$$

و منه فإن معامل التبريد يعطى بالعلاقة:

$$\varphi = \frac{T_2}{T_1 - T_2} \quad (9)$$

حيث T_1 - درجة الحرارة المطلقة للمنبع الساخن. T_2 - درجة الحرارة المطلقة للمنبع البارد.

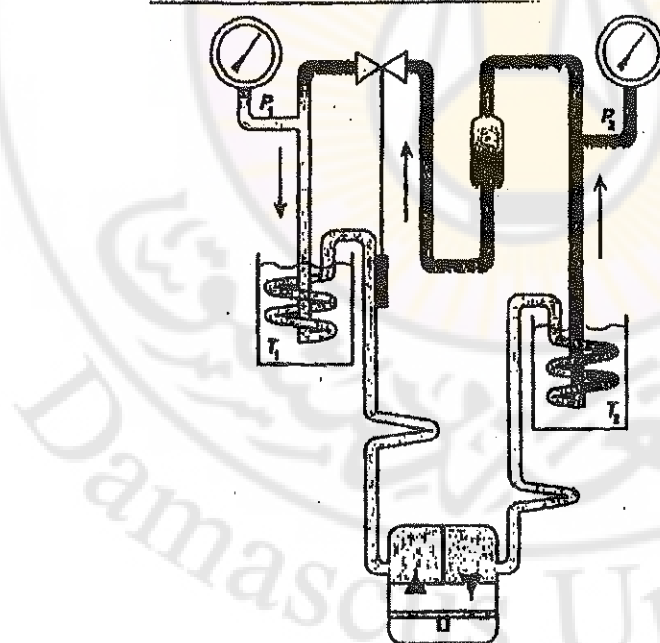
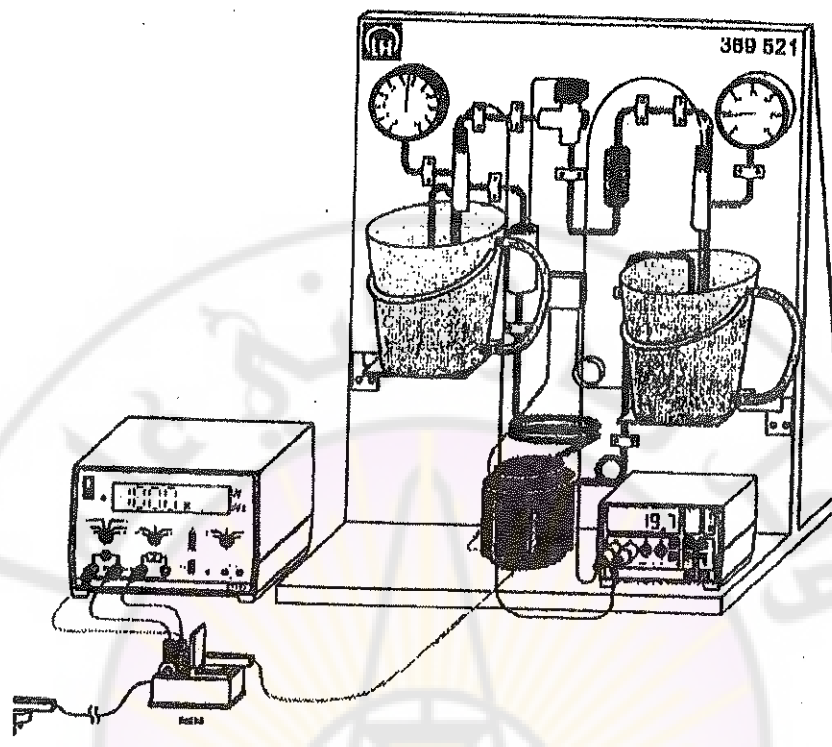
ملاحظة: يتم حساب المردود في هذه التجربة من العلاقة (9) فقط. شريطة تقدير درجة الحرارة بالكلفن.

يقوم المحرك الضاغط الكهربائي بضغط الغاز العامل (الفريون في البرادات القديمة) في شرطي التحولين (كظوم + متساوي الدرجة)، وأنباء ذلك تقدم للجملة كمية العمل W وخرجت كمية الطاقة Q_2 من المنبع البارد و تلقى في الوسط الخارجي (الخزان الساخن)، وبنتيجة هذين التحولين يتمتع الغاز العامل ، ثم

يحدث التحولين التاليين في خانق مؤلف من فتحة صغيرة وأنبيب ضيقة فللحصل على الغاز من جديد، ولكن أثناء تمدده يمتص حرارة من منطقة وجوده (وهي حجرة التبريد عادة)، فيبرد الخزان البارد أكثر ويتحول الفريون السائل إلى غاز مرة أخرى ويدخل الضاغط الكهربائي في دورة جديدة.

يقوم مبدأ عمل البراد على استعمال مادة غازية مناسبة تحمل التيار الحراري المنقول بين الوسط المدروس والوسط الخارجي (حجرة البراد وهواء الغرفة)، حيث يعمل المحرك الكهربائي على ضغط الغاز حتى يتميع فيفقد جزءاً من طاقته الداخلية بالتحول من الحالة الغازية إلى الحالة السائلة، يدخل السائل إلى حجرة البراد التي تسمح له بالتمدد من أنبوب ضيق إلى شبكة من الأنابيب ذات قطر أكبر، مما يسبب ازدياد طاقة المادة داخل الأنابيب (بسحب كمية حرارة من غرفة البراد) متحولاً إلى غاز ثم يخرج من الحجرة ليضغطه المحرك من جديد (طارداً كمية من الحرارة إلى هواء الغرفة).

يبين الشكل (6) مخطط التجربة المطلوب لتنفيذها لدراسة هذه العملية، والتي تسمح بإجراء الحسابات اللازمة. البنية الأساسية للمضخة الحرارية هي (محرك ضاغط)، (شبكة نقل الغاز العامل)، (مشعات حرارية)، (أدوات قيادة ومراقبة).
يبين الشكل (7) الأجزاء التي تتالف منها المضخة الحرارية على لوحة التجربة.



الشكل (7) أجزاء لوحة المضخة الحرارية (البراد).

الأدوات والأجهزة المستخدمة

- لوحة المضخة انظر ملحق في نهاية التجربة للتعرف إلى أجزاء و مبدأ عمل اللوحة.

-وعاء ماء مبرد سعة 5 لิتر لون أزرق.

-وعاء ماء مسخن سعة 5 لิتر لون أحمر.

-أنبوبان طول 1 m قطر 6 mm.

-مقياس جول - واط لقياس الاستطاعة أو الطاقة.

-صندوق مقابض كهربائية ووصلات آمنة.

-مقياس درجة حرارة رقمي بأربع مأخذ ، مع المجرسات الخاصة فيه. راجع الشكل (6) تجربة السعة الحرارية.

-مقياس زمن (ميقاتية)

مراحل العمل:

1. تأكد من امتلاء الوعاء الأزرق والأحمر بالماء لمستوى 4 لتر على الأقل، ويجب أن يكون المستويين متباينين ، ويفضل إعادة ملء الوعائين بالماء عند بدء كل تجربة.

ملاحظة: إذا تطلب الأمر تنظيف الأوعية يسحب الرف من تحت كل وعاء ثم تنظف الأوعية وتعد إلى وضعها.

2. تأكد من وجود مجرسات حرارية مثبتة في كل وعاء.

3. صل المجرسات الحرارية إلى مقياس درجة الحرارة (وضع T_1 و T_2).
(هذه الخطوة غير لازمة في حال استعمال ميزان حرارة زيني).

4. تأكد من سلامة وصلات الكهرباء في صندوق المقابض لقياس الاستطاعة المستهلكة في المحرك الضاغط . ولا تغير الوصل إذا كانت العلبة موصولة سابقاً. توصل المقابض إلى مقياس الواط - جول للمأخذ I و V.

5. يتم ضبط قيم الصفر في مقياس درجة الحرارة ومقاييس جول - واط.
6. يوضع مقياس درجة الحرارة بعد وصل المحسين T_1 و T_2 على وضع $auto$ حيث يبدأ الجهاز بإعطاء قيمة T_1 ثم T_2 بالتناوب، وفي كل حالة يضيء ديدنود (مصابح) أحمر أعلى المحس الذي تعرض قيمته.
7. يوضع مقياس الاستطاعة على الوضع Run ، و $V=300V$ ، و $I=3A$ والوظيفة على قياس الاستطاعة W .
8. ابدأ بالقياسات متزامنة، أي نسجل الزمن بدءاً من لحظة وصل التيار الكهربائي للوحة، و درجة الحرارة في الوعائين الأزرق للماء البارد والأحمر للحار وتقاس استطاعة المضخة من مقياس الاستطاعة مباشرة. كذلك سجل قيم كل من p_1 (من مقياس الضغط الموصول مع الوعاء البارد). P_2 (من مقياس الضغط الموصول مع الوعاء الساخن).
- ١١ (درجة حرارة المادة العاملة و تقاس من مقياس الضغط الموصول مع الوعاء البارد و السلم المخصص لدرجة الحرارة).
9. تؤخذ القياسات كل دقيقتين ويملأ الجدول (١) و نستمر بالقياس حتى وصول درجة حرارة الوعاء البارد إلى الصفر تقريرياً:

الجدول (١)

| الاستطاعة الكهربائية للمحرك P | ضغط الحالة السائلة P_2 | ضغط الحالة المادة العاملة t_1 | درجة حرارة المادة العاملة | ضغط الفاز العامل p_1 | درجة حرارة الماء البارد (الأزرق) $T_2 (C^{\circ})$ | درجة حرارة الماء الساخن (الأحمر) $T_1 (C^{\circ})$ | الزمن t (دقيقة) |
|---------------------------------------|-----------------------------|------------------------------------|------------------------------|---------------------------|-------------------------------------------------------------|-------------------------------------------------------------|-------------------------|
| | | | | | | | 0 |
| | | | | | | | 2 |
| | | | | | | | 4 |
| | | | | | | | 6 |
| | | | | | | | . |
| | | | | | | | . |

10 - أحسب كمية الحرارة التي يتم نقلها من الوعاء البارد إلى الوعاء الساخن في الدورة الترموديناميكية أثناء عملية نقل Q من الوعاء المبرد إلى الوعاء المسخن من العلاقة:

$$\Delta Q (J) = c m \Delta T$$

حيث: m - كتلة الماء في أحد الوعاءين (كل 1 لتر ماء يعادل 1 كغ تقريباً).

c - الحرارة النوعية للماء وهي تساوي: $1 \text{ cal/g}^0.\text{k}$ أو $4.18 \cdot 10^3 \text{ J/kg}^0.\text{k}$ بما أن المادة في الوعاء الأزرق والأحمر نفسها فيمكن إجراء الحساب السابق دون تصحيحت . أما ΔT - هي الفرق في درجة الحرارة بين الوعاءين و المعاقة لنفس الفترة الزمنية للتجربة t ، وهي تساوي $\Delta T = T_1(t) - T_2(t)$.

11- ارسم على ورقة ميليمترية واحدة تحولات كل من $T_1(t)$ و $T_2(t)$.

12- أحسب قيمة معامل التبريد φ من المعادلة (6) حيث: $W = P \cdot t$ العمل الذي يقدمه للفاز العامل، و P الاستطاعة المسجلة على مقياس الواط - جول مباشرة من أجل الفترة الزمنية المعتبرة t . و Q_2 هي نفس ΔQ المحسوبة في الفقرة 10 . و قارنه مع القيمة المحسوبة من العلاقة (9).

13- قم بحساب كل من ΔQ_1 كمية الحرارة التي يخسرها الوعاء الساخن و كذلك ΔQ_2 كمية الحرارة التي يكتسبها الوعاء البارد و ذلك من أجل الفترة الزمنية نفسها، من العلاقة: $\Delta Q_2 = C m \Delta T_2$ $\Delta Q_1 = T_2(t) - T_1(t)$ حيث (2):

الجدول (2)

| الفرق بين درجتي الحرارة ΔT_1 | الفرق بين درجتي الحرارة ΔT_2 | ΔQ_1 | ΔQ_2 | من المعادلة (9) |
|--------------------------------------|--------------------------------------|--------------|--------------|-----------------|
| | | | | |

14- لاحظ أن $\frac{\Delta Q_2}{\Delta t}$ يتناسب مع $\frac{\Delta T_2}{\Delta t}$ وهو ما يمثل معدل تدفق كمية الحرارة من الوعاء البارد إلى الساخن.

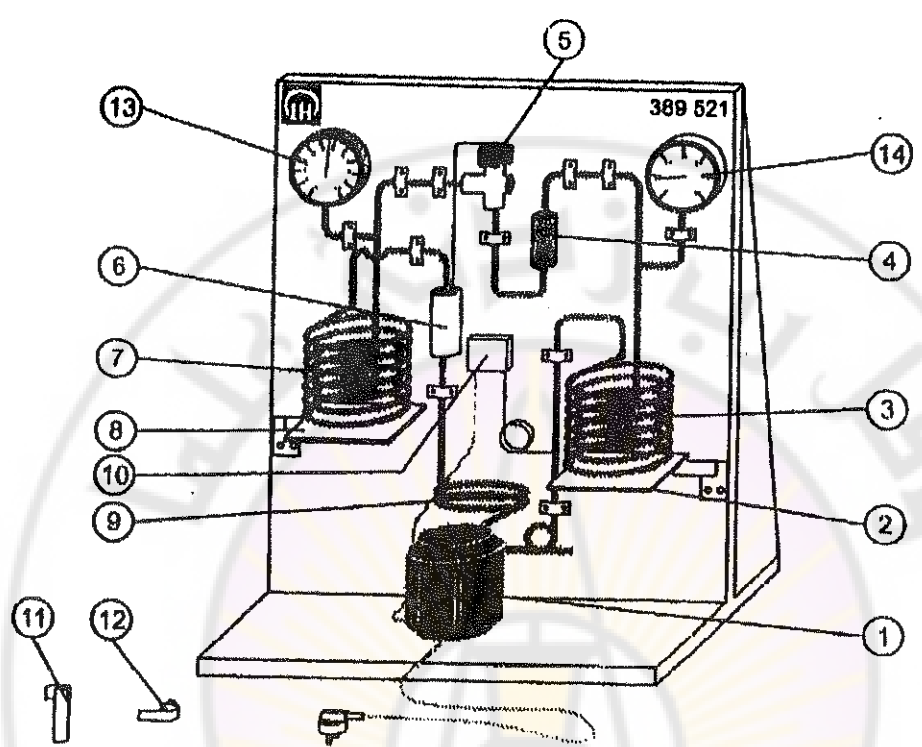
15- قارن بين $\frac{\Delta Q_1}{\Delta t}$ و $\frac{\Delta Q_2}{\Delta t}$ من أجل الفترات الزمنية نفسها وناقشه الفرق هل يزيد أم ينقص ولماذا؟ .

16- ارسم على ورقة ميليمترية تحولات $(\Delta T)\varphi$ ، من الجدول (2).مما تلاحظ؟

- ناقش علاقة الضغط p مع درجة الحرارة T من معادلة الغاز الكامل، مع ملاحظة أن حجم الغاز داخل الأنابيب ثابت.

- ارسم تحولات كل من العلاقة (T_1, p_1) و (T_2, p_2) من الجدول (1) وناقشه النتائج.

لوحة المضخة و التي تتألف من الأجزاء التالية الشكل (8) :



الشكل (8)

-1- ضاغط يعمل عدد جهد 230V وتوتر Hz 60/50 ، استهلاك الطاقة 80W تقريباً عند التردد 50 .

-2- رف مفصلي لحمل وعاء المياه (إناء أحمر).

-3- وعاء المادة المميتة بالحالة المسيلة سعة cm^3 8 تقريباً. أنبوب نحاسي حلزوني. قطر 13 mm.

-4- مصفاة جامعة.

-5- صمام تمدد.

-6- مجس حراري لصمام التمدد معزول حرارياً.

-7- وعاء للمادة المبردة بالحالة الغازية بقطر 13 mm تقريباً.

- 8- رف مفصلي لحمل وعاء المياه (الإناء الأزرق).
 - 9- وصلة حلزونية من أنبوب نحاسي بين الضاغط والمبادل الحراري.
 - 10- مفتاح ضغط.
 - 11- حامل بلاستيكي لمقياس الحرارة والمجس الحراري كوصلة مع أنابيب النحاس في دورة التبريد، وهو قطعتين تشد إلى أنبوب النحاس.
 - 12- حامل قياس نحاسي مع طرف مسلم وثقوب بقطر 2 mm لثبيت المحس الحراري مع أنابيب النحاس لدارة التبريد عند قياس درجة الحرارة.
 - 13- مقياس ضغط لجهة الضغط المنخفض (يسار) و يتالف من السالم التالية:
 - المينا الداخلي يستعمل لقياس الضغط من 1 - إلى 10 + بار.
 - المينا الخارجي يستعمل لقياس الحرارة من 60 - إلى 40 + درجة سيلسيوس.
 - 14- مقياس ضغط لجهة الضغط المرتفع (يمين) و يتالف من السالم التالية :
 - المينا الداخلي يستعمل لقياس الضغط من 1 - إلى 30 + بار.
 - المينا الخارجي يستعمل لقياس الحرارة من 60 - إلى 85 + درجة سيلسيوس.
- ملاحظة :** المينا المتوسطة في الجزيئين 13 و 14 تستعمل في عمليات تبريد أخرى وهما لا يستعملان في هذه المضخة.
- وظيفة تجهيزات اللوحة**
- وظيفة الأجهزة على اللوحة هي:**

- نقل الحرارة بالضخ من خزان درجة حرارته T_1 إلى خزان درجة حرارته T_2 يزداد بنتيجة الفرق ($T_2 - T_1$) بين درجتي حرارة الخزانين.

وتنتقل الحرارة بوساطة مادة التبريد عن طريق امتصاص الحرارة بالتبخير وإعطائها أثناء التكثيف.

- المستقبلات الحرارية هي أوعية مملوئة بالماء يتم عبرها تبادل الحرارة (الأجزاء 3 و 7 وأنابيب النحاس مغمورة فيها).

يضغط الضاغط 1 مادة التبريد بحالتها الغازية فتسخن المادة لدرجة محسوسة، ثم تبرد في أنابيب النحاس الحلزونية 3 وهي بحالتها المسيلة والمكثفة. فتعبر حرارة المادة أثناء العملية من المادة المكثفة إلى الماء في الوعاء، ونتيجة هذه العملية أن يتخلص الغاز العامل من كمية الحرارة التي يحملها من عملية التبخر والفائضة عن عملية الضغط في الضاغط.

- تهدى المصفاة 4 الحالة السائلة للمادة المبردة الجياشة بسبب فقاعات الغاز المتبقية وبالتالي يتم ترشيحها، وتقوم بوظيفتها إضافة إلى كونها مجمع، لأنها تهيء مستوى السائل المطلوب بالتجميع بعد صمام التمدد 5. ويمر منه عادة فقاعات حرارة تخرج من السائل المتجمع.

- يكون صمام التمدد بمثابة عداد للضغط، وهو ينظم عملية تهيئة مادة التبريد للتبخير 7 حيث تتمدد مادة التبريد وتتبخر، هذا يستدعي هبوط سريع لدرجة الحرارة في العملية، وبالتالي يقوم بتعويض جزء من حرارته من وعاء الماء المبرد، ونتيجة هذه المرحلة سيسحب الغاز العامل كمية من الحرارة من الخزان البارد ويحملها معه إلى المضخة.

- تدخل المادة المبردة مرة أخرى بحالتها الغازية إلى الضاغط وتبدا العملية من جديد ويحمي صمام التمدد 5 الضاغط من (صدمه السائل). أي تهدئه مادة التبريد بحالتها السائلة التي قد تصيب الضاغط بأعطال. تتم عملية تنظيف مادة التبريد للمبخر بواسطة مجس حراري 6 (تنظيف حرارة بصمam التمدد).

- يستعمل فرق درجة الحرارة بين الأنابيب الداخلة والخارجة للمبخر في عملية التحكم إذا كانت تلك القيمة مثبتة سابقاً على صمام التمدد. ذلك أن الحرارة اللازمة للمبخر قليلة تتجهها مادة التبريد على حساب طاقتها الداخلية أو طاقة جريانها في الأنابيب.

- يغلق مفتاح الضغط 10 الضاغط عندما يبلغ الضغط في جهة المادة السائلة 16 بار (المفتاح يصبح باتجاه اليد اليسرى على المينا). هذا يحدث عندما تقوم مجموعة الحالة السائلة 3 بعملها دون وجود ماء في الوعاء حيث تتجاوز درجة الحرارة $T_2 > 60$ درجة سيلسيوس. في هذه الحالة لا يعود الضاغط للعمل في وحدة الضغط قبل وصول الضغط لقيمة 9 بار (على يمين المينا).

- تمنع مجموعة الأنابيب الحازوني 9 تذبذب عملية الضغط عند مدخل الضاغط ومخرجها.

6 - مجس درجة الحرارة - NiCr - Ni

المجس (هو مزدوجة كهر حرارية) يمكن استعماله لقياس درجات حرارة مستقرة للمواد المختلفة الشكل (9)، يوصل مع مقياس درجة حرارة رقبي :

6 - 1 - المواصفات التقنية

مادة المزدوجة الكهروحرارية NiCr - Ni

الحساسية $41 \mu\text{V/C}$

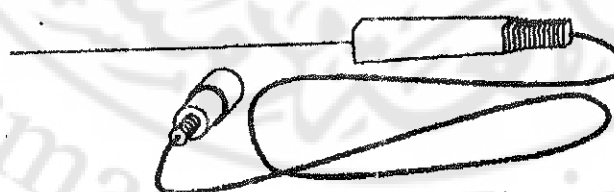
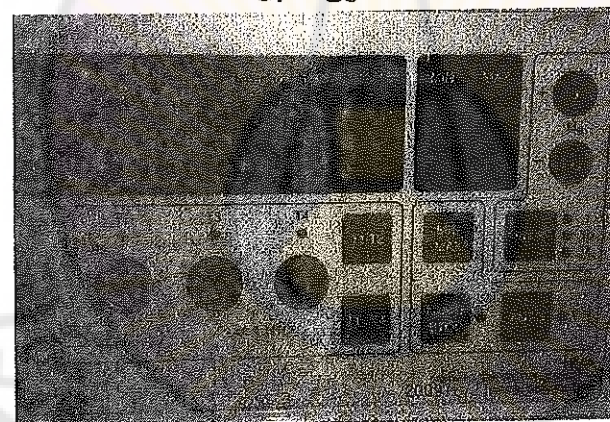
المجال الحراري من 50 - إلى +1200 درجة سيلسيوس
الارتفاع في (375 + ... -40) درجة سيلسيوس ± 1.5
في (375 + ... +1000) درجة سيلسيوس ± 0.4
زمن الاستجابة 0.8 s للسائل.

(الوصول إلى 99% من القيمة) 15 s في الغاز.

كبل الوصل 2 m

أبعاد مجس القياس طول 120 mm قطر 1.5 mm

طول الغطاء دون الكبل 220 mm



الشكل (9) : مخطط المجس الحراري مع المقياس

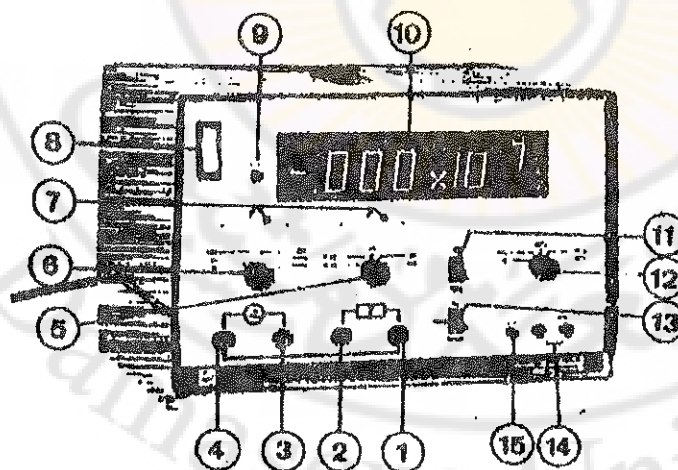
- تحذيرات

- لا تستعمل المجمس لدرجات حرارة أكثر من 1000 درجة مئوية لفترة طويلة وعن الحرارة 1200 درجة يجب أن يتم القياس بسرعة.
- احم المجمس الحراري بالغطاء البلاستيكي عند قياس درجة حرارة السوائل.

7 - مقياس الطاقة والاستطاعة

يستعمل هذا الجهاز الرقمي لقياس كل من الطاقة الكهربائية والعمل الكهربائي وجهدها في المجال بين (0.3-300V) وتيار (0.03-10A)، وضمن مجال قياس زمني من (s) 0.1 وحتى (h) 2 ساعة تقريباً **الشكل (10)**.
 يستطيع المقياس قياس طاقة أقل من $W \times 10^{-10}$ (وهي السماحية في معظم المجالات المستخدمة) وحتى kW (3)، وعن طريق مكامل لمجال الطاقة الكهربائية من $10 \mu Ws \rightarrow 8 kWs$.

يؤمن المخرج المنطقى إمكانية قياس مقايير رقمية وتسجيلها، وهو معزول كهربائياً عن دارة المقياس.



الشكل (10) : مخطط مقياس الطاقة و العمل الكهربائيين



المجمع الشمسي

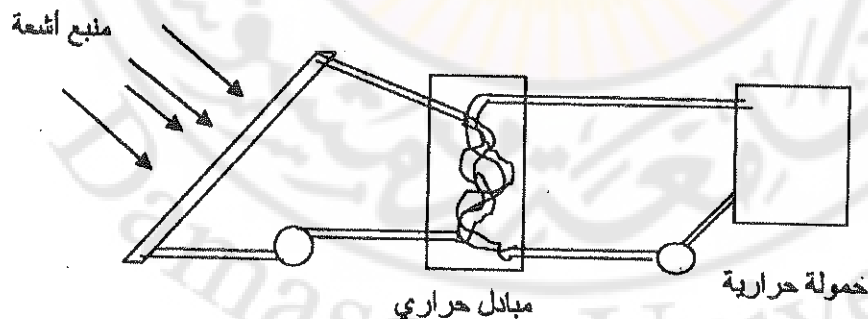
الغاية من التجربة

- 1 - استخدام الطاقة الشمسية لتسخين الماء.
- 2 - دراسة عملية (دوره) الحمل الطبيعية (بدون مضخة).
- 3 - دراسة عملية (دوره) الحمل القسرية (بمضخة).

تمهيد نظري

تقوم الواقط الشمسي بجمع طاقة الإشعاع الشمسي الحرارية والكهربمغنتيسية وإصالها إلى المادة العاملة لنقلها أو تحويلها إلى شكل طيفي آخر.

المجمع المستوي ذو اللوح الأسود هو مجمع حراري يعتمد على مادة ماصة للطاقة تُصنع منها السطوح المجمعة فترتفع درجة حرارة السطح، وتنتقل الحرارة من على السطح بنقل حراري كالماء مثلاً وتجمع في خزان خاص، وتزداد كمية الحرارة في الخزان ما دام سحب الطاقة من السطح الماصل ممكناً ومستمراً. وهكذا يمكن تراكم هذه الطاقة في خزان ماء حار حتى تبلغ درجة حرارة عالية تتجاوز في كثير من الأوقات 80 درجة مئوية.



الشكل (1) : مبدأ مجمع الطاقة الشمسية بالدوره المختلفة.

للاستفادة من هذه الطاقة الحرارية تُستخدم عادة دارة أخرى مستقلة تحوي ناقل حراري كالماء، يقوم بذلك الطاقة من الخزان الساخن عن طريق مبادل حراري على شكل أنابيب ملفوفة بداخله وهي الطريقة الشائعة لسهولة الصيانة وإمكانية التحكم الشكل (1).

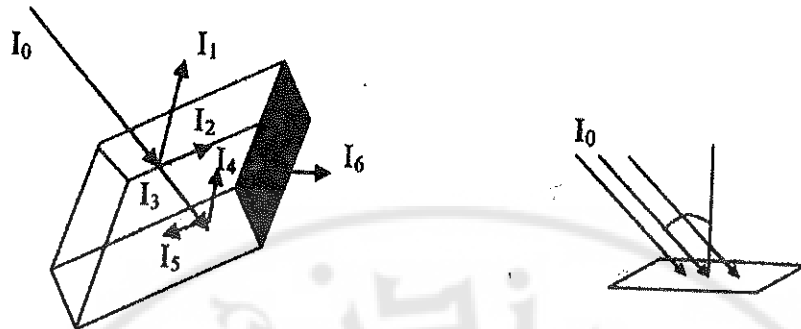
من المعروف أنه عندما يسقط على المجمع الشمسي تيار طاقي إشعاعي شدته I_0 (كمية الطاقة الشمسية الوالصة إلى واحدة السطح في واحدة الزمن)، يميل عن الناظم على سطح المجمع بزاوية θ ، فإنه سوف يتوزع إلى عدد من التيارات الطافية كما في الشكل (2)، وفقاً لما يلي:

- 1 - طاقة منعكسة I_1 .
- 2 - طاقة منتصنة من الغطاء الشفاف I_2 .
- 3 - طاقة منتصنة من الهواء بين المجمع والغطاء I_3 .
- 4 - طاقة منعكسة عن المجمع I_4 .
- 5 - طاقة منتصنة في مادة المجمع I_5 .
- 6 - طاقة يشعها المجمع بعد أن يسخن I_6 .

ان الطاقة الضوئية الممتصة في المجمع I_5 سوف تتحول إلى طاقة حرارية تؤدي إلى رفع درجة حرارة المجمع وفق علاقة ستيفان بولتزمان :

$$Q_0 = I_5 = \epsilon \sigma T^4$$

حيث : σ ثابت ستيفان - بولتزمان، ϵ - اصدارية المادة (للجسم الأسود = 1، وللجسم المرأوي = 0). T - درجة حرارة السطح الأسود مقدرة بالكلفن.



الشكل (2) : زاوية ورود الأشعة، وتوزع التيار الطيفي الرئيسي.

هذه الطاقة الحرارية تنتقل إلى الحامل الحراري (الماء)، مما يرفع درجة حرارته، ويمكن حساب ارتفاع درجة الحرارة من العلاقة:

$$I_5 = C m \Delta T$$

حيث C - الحرارة النوعية للمادة الناقلة، و m - كتلتها، ΔT - مقدار ارتفاع درجة حرارة الناقل الحراري.

مبدأ دورة العمل الحراري :

يدخل الماء من الوعاء إلى المجمع فتزداد درجة حرارته فتنقص الكثافة بسبب التمدد الحجمي ويتحرك إلى أعلى ويصب في الوعاء الخارجي من جديد ناقلاً كمية من الحرارة، والقوة الناتجة عن اختلاف الكثافات (المسبيبة للحركة) صغيرة جداً.

الأدوات والأجهزة المستخدمة

1- المجمع الشمسي: أبعاده هي 52X 41X7 cm

ملاحظات هامة حول المجمع

- لا تسخن المجمع أبداً قبل ملئه بالماء.
- الحرارة الأعظمية الممكنة 60 درجة مئوية.

- الضغط الأعظمي الممكن 1 ضغط جوي (يقال من فتحة سفلية).
- لا تصل المجمع الشمسي أبداً بتغذية الماء الرئيسية.
- لا تستعمل المجمع الشمسي بدون وعاء ضغط.
- أفرغ المجمع الشمسي من الماء بعد انتهاء التجربة.
- سعة من الماء 200Cm^3 .

2 - وعاء تفريغ مصنوع من مادة البلاستيك سعة 1 لتر.

3 - لوح بلاكسي خلاص (زجاج صناعي) لتغطية السطح الماصل وعزلها حرارياً من مفعول البيت الزجاجي، أبعاده (Cm) $(44.5 \times 32.5 \times 0.3)$.

4 - قطع مطاطية عدد 6 (2 بدون ثقوب) 2 مع ثقب 1.5mm لاحكام محسات درجة الحرارة أو بثقب 5mm لاحكام مقاييس الحرارة الزجاجية.

5 - أنابيب بلاستيك طول 1m (أبوبان قطر 6mm، أبوب قطر 8mm).

6 - ناقصات أنابيب (من 6mm إلى 8mm ومفرغة ، أنابيب شكل T بقطر .(6mm

7 - مقاييس درجة حرارة رقمية الكترونية مع المحسات المناسبة راجع الشكل (6) تجربة السعة الحرارية.

8 - ساعة توقيت.

مراحل العمل

أولاً - في حالة الدورة المفتوحة (الحمل)

1 - يتم تفريغ الوعاء البلاستيكي من الماء بإزالة مستوى الخزان وتفريغه (الشكل 3) ثم وضع مقاييس الحرارة أو المحسات الحرارية مع المطاط المناسب في

مدخل السائل ومخرجه للحجرة، وانتبه إلى إغلاق الفتحات غير المستعملة
بالقطع المطاطية غير المقوية.

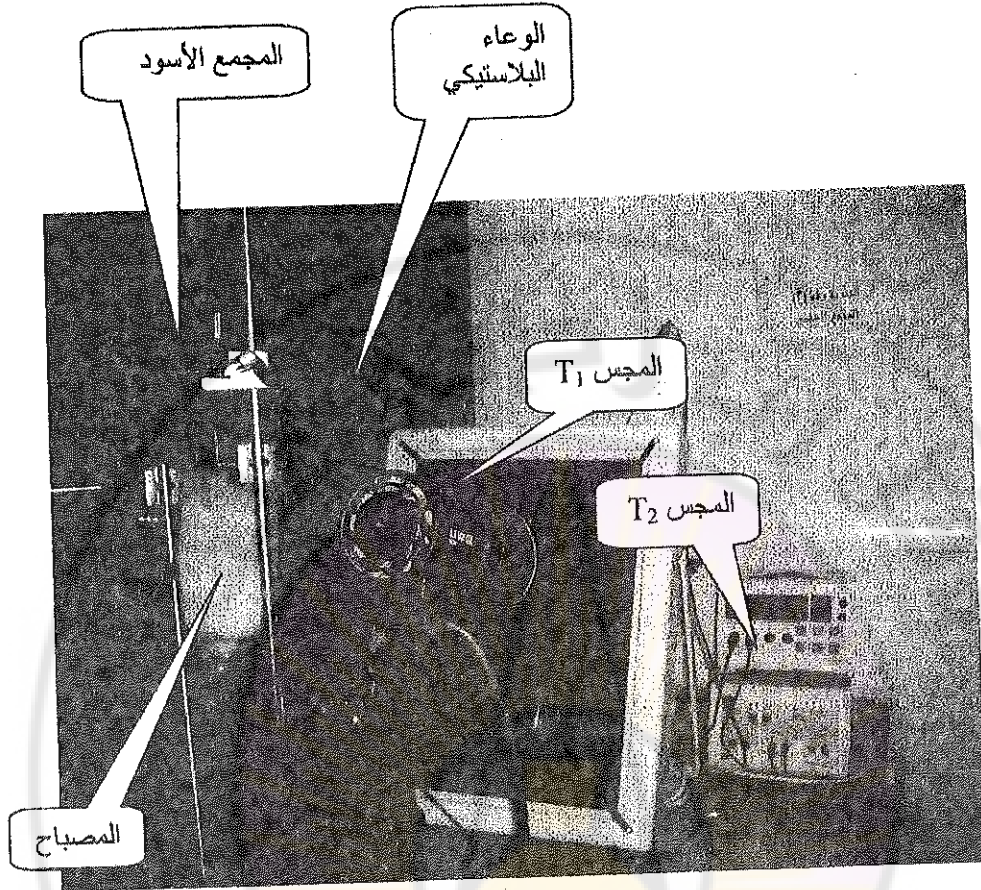
2 - اخفض مستوى وعاء التفريغ البلاستيكي إلى مستوى منخفض بالنسبة
للفتحة لوح المجمع وأملأه بالماء المناسب ثم ارفع الوعاء ببطء ورافق
دخول الماء إلى المنظومة حتى العلامة الموجودة على المجمع، ويمكن
تعليق الوعاء البلاستيكي على الأداة الخاصة (الحامل المعدني) كما في
الشكل (3.). ان الرفع البطيء يقلل من وجود فقاعات الهواء.

3 - صل المضخة مع الانتباه إلى مدخل الماء ومخرجه، وعادة تكون
المضخة موصولة مسبقاً من قبل المشرفين.

ملاحظة: لا تشغل وحدة التغذية للمضخة قبل ملء الماء.

4 - ضع مصباح الإضاءة على وضعية إضاءة كاملة W 500 بتغذية
V 220، وعلى بعد 50 cm من سطح المجمع (يحسب البعد ابتداء من
فنتيل المصباح الداخلي، ويقدر بعد الفنتيل إذا لم يكن واضحاً)، ويكون
المصباح عمودي على منتصف المجمع الحراري) .

5 - يبدأ تشغيل المصباح ومضخة الماء والمؤقت الزمني معاً، ونسجل درجة
الحرارة الابتدائية للماء في المجمع الشمسي الأسود T_1 ، وفي الوعاء
البلاستيكي T_2 الموقutan لبدء الزمن t_0 بعد معايرة جهاز قياس الحرارة
على درجة حرارة الجو.



الشكل (3)

6 - سجل القيم t , T_2 , T_1 في الجدول (1) كل دقيقة مثلاً حتى بلوغ درجة الحرارة في المجمع الشمسي الأسود أي T_1 حوالي 50 درجة سيلسيوس .
 (عند درجة الحرارة 60 درجة تتعطل المضخة) .

الجدول (1)

| الزمن t (دقيقة) | درجة الحرارة T ₁ | درجة الحرارة T ₂ | كمية الحرارة للمجمع Q ₁ | كمية الحرارة للوعاء Q ₂ البلاستيكي |
|--------------------|-----------------------------|-----------------------------|------------------------------------|--------------------------------------------------|
| 1 | | | | |
| 2 | | | | |
| 3 | | | | |
| 4 | | | | |
| 5 | | | | |
| 6 | | | | |
| . | | | | |
| . | | | | |
| 50 | | | | |

- 7 - ارسم المنحنيات $T_1(t)$ و $T_2(t)$ على ورقة واحدة وقارن بينهما.
 8 -خذ قطعة خطية من المنحني $T_1(t)$ من الفقرة (7) واحسب منها مردود المجمع الحراري وقم بحساب Q كمية الحرارة التي يمتصها الماء في المجمع خلال الفترة الزمنية الموافقة لجزء الخطى المختار من العلاقة :

$$Q = Cm \Delta T$$

(m) هي كثافة الماء في المجمع وهي تقريرًا $1.2 \text{ kg} = 1200 \text{ ml}$.
 - مقدار تغير درجة حرارة المجمع الموافق لجزء الخطى للمنحني $T_1(t)$ الذي حدنته في بداية هذه المرحلة. من جهة أخرى وبما أن قيمة السعة الحرارية للماء مساوية إلى $C = 4,18 \cdot 10^3 \text{ J/kg.K}$. فان كمية الحرارة الممتصة خلال

زمن قدره Δt يوافقه تغير في الحرارة قدره ΔT الموافق للقطعة الخطية تحسب من العلاقة :

$$Q(W) = \frac{Q}{\Delta t} = \frac{1,2 \cdot 4,18 \cdot 10^3 \cdot \Delta T}{\Delta t}$$

9- قم بحساب المردود الحراري للمجمع من العلاقة:

$$\eta = Q/E$$

E هي الطاقة التي يقدمها المصباح المستخدم في التجربة.
إن وحدة قياس Q يجب أن تكون W/m^2 مثل وحدة E . أو يمكن تحويل وحدة الطاقة E إلى الواط كما يلى: فإذا كانت شدة استطاعة المصباح $1000W/m^2$ فعلى بعد $50cm$ ومساحة المجمع المستخدم وهي $0.21 m^2$ تكون استطاعة الأشعة الضوئية الوالصة $W = 210$.

10 - أعد التجربة لمتغيرات أخرى مثلاً (دون تشغيل المضخة) أو تغيير طاقة المصباح من $1000W$ إلى $500W$ أو تغيير بعد المصباح عن اللوح الأسود للمجمع $100cm, 75cm, 50cm$, ببعاده الخطوين 7 و 8 لكل حالة.

11 - قلل الانحرافات في كل مرحلة من حساباتك.

ثانياً - الدورة المقفلة (القسرية)

ضع المضخة في طريق التيار المائي الحامل للحرارة من داخل المجمع الشمسي إلى الخزان الحراري (الوعاء البلاستيكي) و ذلك لتسريع عملية نقل الحرارة . ثم قم بنفس الخطوات السابقة الواردة في الفقرة السابقة.

استعمل المضخة STE للتقوية الدوران

توصى مداخل المضخة إلى المقابض وتوصى إلى تغذية $20.....8$ فولط متناوب (AC) (استعمل فقط توتراً متناوباً). لا تبدأ المضخة العمل من

تلقاء نفسها، املأها بالماء حتى مستوى العمل وعندما يمثل المجمع تمثل المضخة تلقائياً.

- انتبه إلى اتجاه دوران المضخة أثناء وصل المدخل والمخرج، إذا كانت موصولة فلا تغير فيها إلا بوجود المشرف على المخبر.
- تستطيع المضخة STE ضخ حوالي 50 cm^3 من الماء في الدقيقة بشكل أعظمي ولارتفاع 1m.



الناقلية الحرارية للمواد الصلبة

- الغاية من التجربة

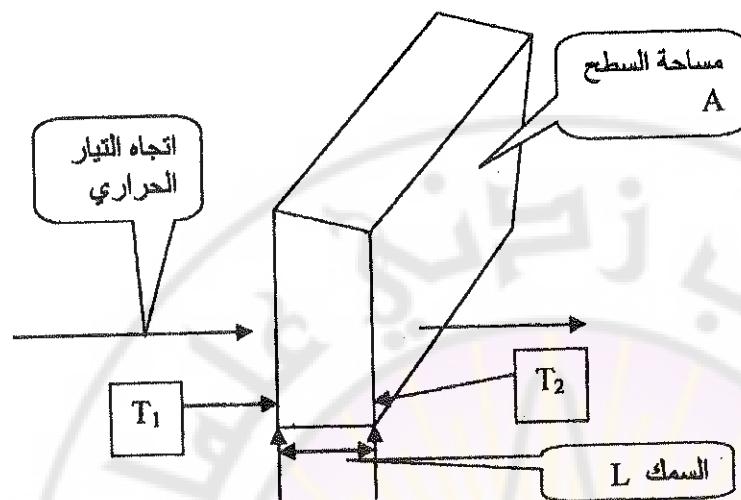
- حساب معامل الناقلية الحرارية للمواد البلاستيكية.
- حساب معامل الناقلية الحرارية للمواد الناقلة أو العازلة.
- دراسة تأثير ثخانة المادة على الناقلية الحرارية.

تمهيد نظري

تعرف الناقلية الحرارية بأنها عبارة عن عملية انتقال الحرارة عند حدوث تلامس مباشر بين جسمين مختلفين بدرجتي حرارتهما. أو تعرف بأنها انتقال الطاقة الحرارية من أحد طرفي الجسم ذي درجة الحرارة المرتفعة جراء تسخينه إلى طرفه الآخر الأقل حرارة. و هذه الظاهرة مرتبطة بالحالة الصلبة للمواد فقط. بينما يتم النقل الحراري في الحالات الأخرى للمادة بطرق مختلفة مثل الحمل والإشعاع.

تختلف الناقلية الحرارية للأجسام من جسم لآخر اختلافاً كبيراً. إذ يمكن اكتشاف ذلك بسهولة بتجربة بسيطة عن طريق تسخين قطعة معدنية و ملاحظة سرعة انتقال الحرارة بين طرفيها و مقارنة ذلك مع تسخين قطعة مماثلة من مادة عازلة مثل السيراميك، الزجاج، ... الخ. إذ يتطلب انتقال الحرارة عبرها إلى فترة زمنية طويلة مقارنة مع المادة المعدنية. تستنتج مما سبق أن المعادن مواد جيدة للنقل للحرارة، أما الزجاج و الخشب مواد رديئة النقل للحرارة.

يمثل الشكل (1) جسم على شكل متوازي سطوح، مساحة سطحه A ، و سماكته L ، و درجة حرارة الطرف الأول T_1 ، أما T_2 فهي درجة حرارة الطرف المقابل من الجسم، حيث نفترض في الحالة العامة أن: $T_1 > T_2$.



الشكل (1)

تبين التجربة أن تدفق الحرارة عبر الجسم يتناسب طرداً مع مساحة سطحه A و فرق درجة الحرارة بين طرفيه (لتدرج الحرارة) $\Delta T = T_1 - T_2$ ، و عكساً مع سماكة الجسم L . فإذا فرضنا أن Q كمية الحرارة المارة في الجسم خلال الزمن t ، و عندئذ نكتب:

$$\frac{Q}{t} = \frac{\lambda \cdot \Delta T \cdot A}{L} = \frac{\lambda \cdot (T_1 - T_2) \cdot A}{L} \quad (1)$$

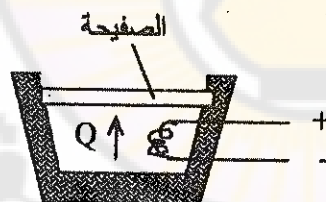
يسمى الثابت λ - معامل الناقلية الحرارية للمادة، و يقدر بوحدة هي: $W/m^2\cdot K$. و يعرف بأنه كمية الحرارة التي تمر خلال وحدة الزمن من خلال وحدة السطح الذي سماكه واحدة الطول و الموافق لتدرج حراري قدره درجة واحدة . و لكل مادة معامل ناقلية حرارية خاص بها و يرتبط بدرجة حرارة الجسم و هو يتغير عادة بالتجربة. و هو ما سنقوم بالتأكد منه تجريبيا.

لتؤمن كمية حرارة مناسبة على أحد طرفي سطح الصفيحة التي نريد حساب ناقلتها الحرارية تحتاج إلى منبع طاقة حرارية ، إما بالتسخين أو بالإشعاع، ويمكن التسخين بوساطة التيار الكهربائي اعتماداً على أثر جول، فنستخدم مصباح أو مجموعة مقاومات كهربائية تصدر طاقة حرارية مكافئة للطاقة الكهربائية التي تمر بها، و التي تحسب من العلاقة:

$$Q(J) = V \cdot I \cdot t \quad (2)$$

حيث I - شدة التيار الكهربائي، V - فرق الكمون الكهربائي بين طرفي المسطنق، t - الزمن اللازم لتسخين المنطقة. ونضع المسطنق في حجرة صغيرة مناسبة معزولة حرارياً ليكون العمل المخبري مريحاً وكى نضمن أن Q ستتجه فقط وفق الجدار الذي يحوي الصفيحة المطلوب حساب ناقلتها الحرارية كما في الشكل (2).

عندما تصبح درجة حرارة سطح المادة الأول (الأصل في الشكل 2) أعلى من درجة حرارة سطحها الثاني الأعلى يتتدفق التيار الحراري من السطح الأحسن إلى السطح الأبرد. وتقوم المادة باب辰ال الحرارة وفق ناقلتها الحرارية.



الشكل (2) : مقطع حجرة العمل في التجربة (الحجرة المعزولة).

- الأدوات والأجهزة المستخدمة

1 - حجرة قياس حرارية معزولة جيداً ومهمة لوضع منبع حراري داخلي يعمل بالتيار الكهربائي ومجسات حرارية لقياس درجة الحرارة (انظر نهاية التجربة).

2 - وحدة تغذية بتوتر منخفض.

3 - مقياس درجة حرارة رقمي متعدد المحسات راجع الشكل (6) تجربة السعة الحرارية.

4 - مثبت لدرجة الحرارة رقمي آلبي.

5 - محسات لقياس درجة الحرارة.

6 - مجموعة من صفات الماء العازلة.

7 - ملبع ضوئي (مصابح) و مجموعة مقاومات.

8 - مقياس فولط و مقياس أمبير.

9 - ساعة توقيت.

مراحل العمل

1 - قم بوصول وحدة التغذية V 12 أو V 6، إلى مربطي الحجرة المعلولة حراريا

(مربطي المصباح المسخن الموجود داخل الحجرة)

ملاحظة : يمكن أن تكون التجهيزات موصولة مسبقاً لذلك لا تحلول العصب بها.

2 - شغل وحدة التغذية الخاصة بالمنبع الحراري (المصباح) المثبت داخل الحجرة وتأكد من أن المنبع يعمل. ثم أوقف عمل الوحدة مؤقتاً حتى الانتهاء من تهيئة الحجرة.

3 - ضع صفيحة الألミニوم ذات الثخانة الصغيرة (0.3mm) كغطاء لحجرة القياس بحيث يكون وجهها الأسود إلى الأسفل.

4 - ضع المحس الحراري الأول أعلى صفيحة الألミニوم من خلال الفتحة الخاصة من جانب حجرة القياس وأخلق فتحة المحس بالسدادة المطاطية الخاصة.

5 - ضع صفيحة من البلاستيك الأبيض ذات الثخانة 10mm ، وانتبه إلى ضرورة دخول المحس الحراري السفلتي في القناة المحفورة في الصفيحة.

6 - ادخل المحس الحراري الثاني في مكانه أعلى الصفيحة و أغلقه بالسدادة المطاطية .

7 - ضع صفيحة أخرى من الألمنيوم ذات الثخانة الصغيرة (0.3mm) بحيث يكون وجهها الأسود إلى الأعلى.

8- ثبت جميع الصفائح السابقة بوضع قطعة الرخام الثقيلة أعلى صفيحة الألمنيوم و ذلك لحدوث التماس المباشر بين جميع الأجزاء.

تحذير:

- لا ترفع الصفائح السابقة قبل سحب المحسات الحرارية بشكل كامل من الحجرة، لأن ذلك سوف يسبب عطب المحسات.

- لا ترفع الصفائح إلا باستخدام النازع الخاص بها لكي لا يسبب ضرراً وعانياً في حجرة القياس.

9 - شغل وحدة تغذية المنبع الحراري (المصباح) واختار حالة V 6 ، عندما يبدأ المنبع بالعمل قس الجهد بين طرفي المنبع وكذلك التيار المار فيه باستخدام كل من مقياس الفولط والتيار.

10 - هيئ مقياس درجة الحرارة الرقمي على الوضعيه الآلية.

11 - سجل كل من درجتي الحرارة T_1 و T_2 حيث T_1 درجة حرارة أسلف الصفيحة، T_2 درجة حرارة أعلى الصفيحة التي سمكتها L في جدول خاص كل دقيقة. و النظر حتى يصبح ΔT بين طرفي الصفيحة ثابتاً تقريباً. وهي القيمة اللازمة لحساب معامل الناقلة الحرارية λ .

توقف عن القياس عند ثبات الفرق بين درجتي حرارة سطحي الصفيحة دون الاهتمام بالزمن.

12- احسب الاستطاعة الحرارية المنقلة من وجه الصفيحة الحار إلى الوجه البارد، من كمية الحرارة التي أعطتها المصباح الكهربائي من العلاقة : $P = V \cdot I$ حيث V و I القيم المقاسة بواسطة مقياسى الفولط والأمبير .

13- اسخدم المعادلة (1) مع المعادلة (2) لحساب قيمة معامل الناقلية الحرارية λ للمادة المدرosa من العلاقة:

$$V \cdot I = \frac{\lambda \cdot (T_1 - T_2) \cdot A}{L} \quad (3)$$

علماً أن أبعاد الجسم المدروس هي: $(15 \times 15 \text{ cm}^2)$ و ثخانته تؤخذ من العينة المدرosa مباشرة.

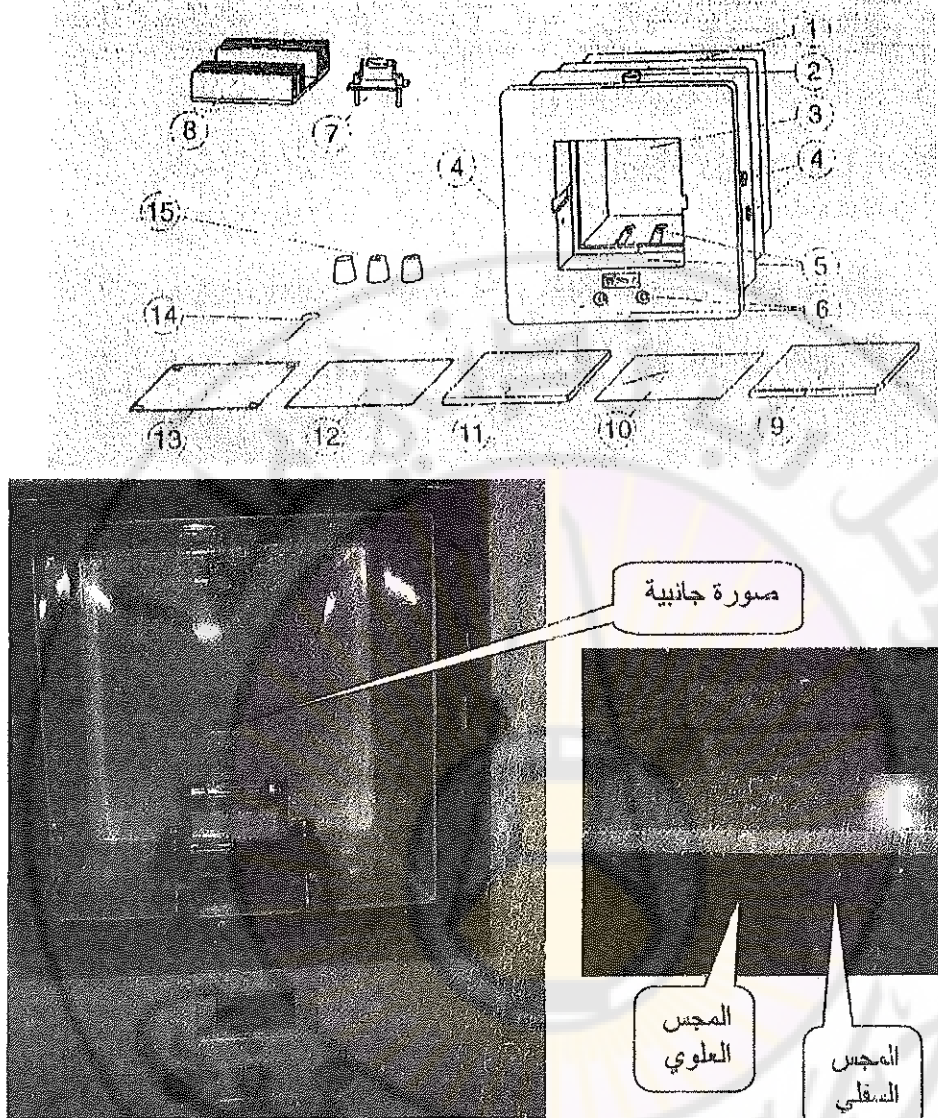
14- أعد العمل السابق من أجل صفائح مختلفة أخرى بلاستيكية و خشب مضغوط و سيراميك و قم بحساب معامل الناقلية الحرارية λ لكل حالة من العلاقة (3).

15- أعد العمل السابق من أجل صفائح من المادة نفسها و لكن مختلفة بسماكتها و قم بحساب معامل الناقلية الحرارية λ لكل حالة من العلاقة .(3)

16- قدر الارتفاع Δh في كل تجربة .

حجرة العزل الحراري وملحقاتها:

تتألف الحجرة من عدة مكونات رئيسية هي الشكل (3) :



(3) الشكل

1 - حجرة قياس كمية الحرارة مع غلاف عازل أبعادها (28x28x20) .Cm

2 - فناة لوضع محس مقياس درجة حرارة هواء الغرفة.

3 - فتحة الحجرة Cm^2 (15x15) مع غطاء.

4 - فنوات لوضع مسحات درجة الحرارة ملامسين للصفائح أثناء التجربة.

5 - زوج من المقابض 4mm طول 50mm، لثبيت لوحة المسخن عليها.

6 - زوج من المقابض 4mm لتأمين تغذية المسخن بالكهرباء (7).

7 - لوحة التسخين بمصباح أنبوبی V 24 , W 10 مع حامل المصباح ذو المقابض للمأخذ (5).

8 - جسم تخزين الحرارة مصنوع من الألمنيوم وزن 500g.

9 - صفيحة من السيراميك بثخانة 11mm.

10 - صفيحة من الألمنيوم بثخانة 3mm.

11 - صفيحة من ستيريوフォم بثخانة 10mm.

12 - صفيحة من بلاستيك زجاجي 1.5mm.

13 - صفيحة من بلاستيك زجاجي توصل مع الصفيحة (12) لدراسة العازلية بثخانة 1.5mm.

14 - نازع لرفع صفائح المواد المختلفة من حجرة القياس الحرارية (3).

15 - سدادات مطاطية عدد ثلاثة للقلوات المختلفة (4).

بعض المقادير الفنية اللازمة

1 - الموصلية الحرارية لألواح البولي ستيرين 0.16 W/m k .

2 - مقاومة المسخن (دارة المقاومات حرارية) $R = 6.8$ وتوتر أقصى هي $12V$. وتيار $1.8 A$.

3 - مساحة اللوحات Cm (15×15) ثخانات مختلفة ، للبولي ستيرين $1c$.

درجة الحرارة الحرجة لمادة سائلة

الغاية من التجربة:

قياس درجة الحرارة الحرجة لمادة سائلة

تمهيد نظري

يعرف الغاز الكامل (المثالي) بأنه الغاز الذي تهمل فيه قوى التأثير المتبادل بين جزيئاته، كما يهمل فيه حجم جزيئات الغاز بالنسبة للحجم الكلي، وهذا الغاز يتبع معادلة الحالة ذات الشكل:

$$PV = nRT \quad (1)$$

حيث P و V ضغط وحجم الغاز، n عدد المولات، R ثابت الغازات العام، T درجة الحرارة.

و كل غاز لا يحقق الشروط السابقة يعرف بالغاز الحقيقي. إذ يقترب أي غاز من المثالية كلما ارتفعت درجة حرارته و تناقص ضغطه. و أما في درجات الحرارة المنخفضة و الضغوط العالية، فيبتعد الغاز عن المثالية و لا يصح عندها تطبيق المعادلة (1) عليه.

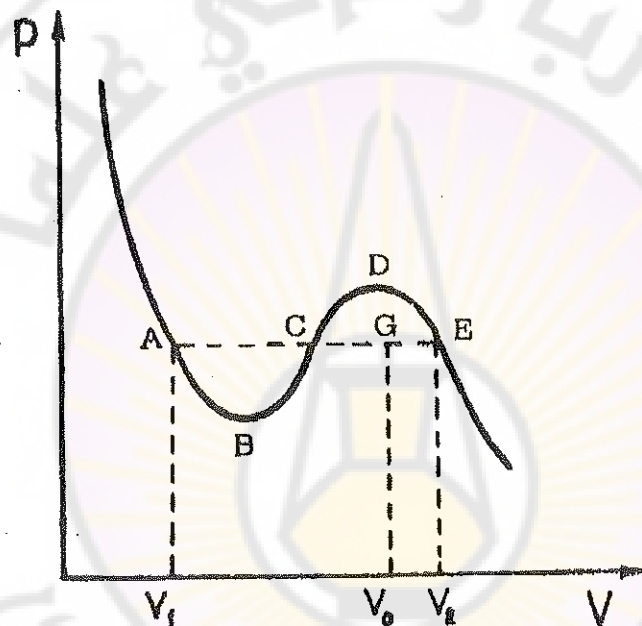
إن أبسط المعادلات التي تصف حالة الغازات الحقيقية هي معادلة فاندر - فالس الشهيرة التي تأخذ بعين الاعتبار التصحيح الناتج من الضغط و الحجم، و التي يعبر عنها رياضياً بالعلاقة:

$$\left(P + \frac{a}{V^2} \right) (V - b) = nRT \quad (2)$$

حيث a و b - ثوابت تتعلق فقط بنوع الغاز المدروس. و هذه المعادلة يمكن كتابتها بالشكل التالي:

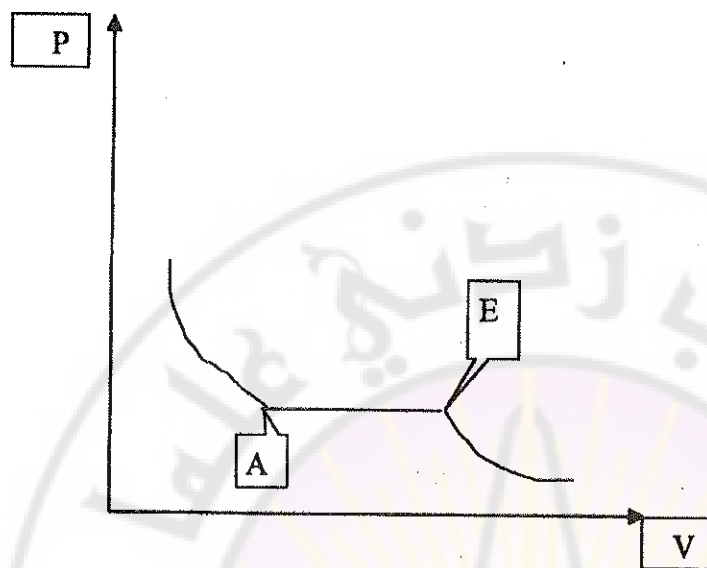
$$V^3 - \left(b + \frac{RT}{P} \right) V^2 + \frac{a}{P} V - \frac{ab}{P} = 0 \quad (3)$$

حيث افترضنا أن $n = 1$. لهذه المعادلة (3) ثلاثة جذور حقيقة أو جذر حقيقي واحد واثنان تخيليان. ان تمثيل تغير ضغط الغاز الحقيقي الذي يتبع معادلة فاندر - فالس بدلالة حجمه من أجل درجة حرارة ثابتة مبين في الشكل (1):



الشكل (1)

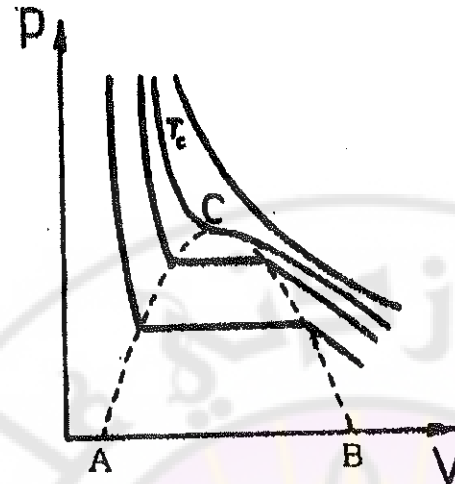
و يسمى هذا المنحني منحنى فاندر - فالس متساوي الدرجة.
عند ارتفاع درجة حرارة الجملة تتناقص سعة انحناءات المنطقة ABDE من منحنى فاندر - فالس متساوي الدرجة الشكل (1)، و تتحوال في النهاية الى قطعة مستقيمة كما في الشكل (2).



(الشكل (2)

إن الجزء الواقع على يمين النقطة E يمثل الطور الغازي، أما الجزء الواقع على يسار النقطة A يمثل الطور السائل. لذلك يمثل الجزء المستقيم AE الطور المزيج سائل-غاز تحت ضغط ثابت. و يحدد بحيث تكون المساحة تحته أي تساوي إلى المساحة فوقه أي CDE.

و مع استمرار ارتفاع درجة حرارة الجملة فان القطعة المستقيمة AE تتناقص حتى تتحول إلى نقطة الانعطاف على المدحني $P(V)$ ممثلاً بالنقطة C الموافق لدرجة الحرارة T_c كما في الشكل (3). ان درجة الحرارة هذه التي توافق نقطة الانعطاف تسمى درجة الحرارة الحرجة و يرمز لها T_c . و في هذه النقطة يتحقق ما يلي :



الشكل (3)

$$\left(\frac{\partial P}{\partial V} \right)_c = 0 \quad (4)$$

$$\left(\frac{\partial^2 P}{\partial V^2} \right)_c = 0 \quad (5)$$

فهي نقطة وحيدة و يقابل حجم المادة عند هذه الدرجة T_c حجما يسمى بالحجم الحراري V_c و كذلك الضغط يسمى بالضغط الحراري P_c .

إن قيم الإحداثيات الترموديناميكية هذه للجملة عند النقطة الحرارية C يعبر عنها بدلالة الثوابت a و b الواردة في معادلة فاندرفالس بالعلاقات التالية:

$$T_c = \frac{8a}{27Rb}, \quad P_c = \frac{a}{27b^2}, \quad V_c = 3b, \quad (6)$$

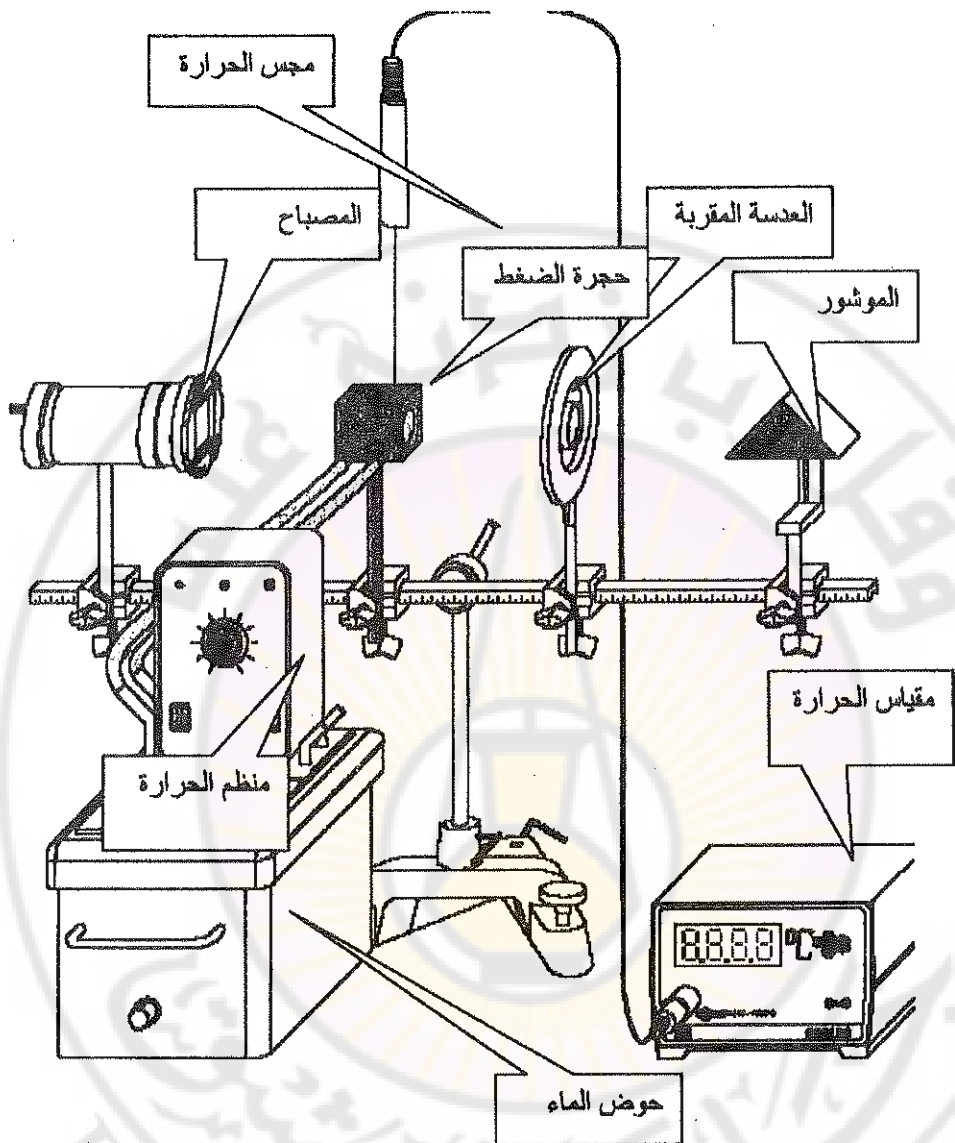
3 - الأدوات والاجهزة المستخدمة

1 - غرفة الضغط الحاوية على مادة SF_6 (انظر وصفها أخر التجربة).

- 2 - مصباح 6 V , 30W
- 3 - حامل وحاصلن المصباح.
- 4 - مجمع ضوئي .
- 5 - محول كهربائي 30 VA , 12 VAC , 6 VAC
- 6 - فتحة ضوئية صغيرة.
- 7 - عدسة على الحامل ، بعدها المحرفي $f = 100 \text{ Cm}$
- 8 - موشور زاوية قائمة.
- 9 - حامل متعدد الوظائف.
- 10 - قاعدة حمل واسعة قاعدتها متباينة.
- 11 - مثبت حراري للتسخين : دورة تسخين بمثبت من 30 إلى 100 درجة مئوية.
- 11-أبابيب وصل بلاستيكية.
- 12-بيشر 400 ml
- 14 - مقياس درجة حرارة رقمي بمدخل واحد راجع الشكل (6) تجربة السعة الحرارية .
- مجس كهرحراري NiCr-Ni .

مراحل العمل

- قم بترتيب أجزاء التجربة كما هو مبين في الشكل (4) .



الشكل (4)

- تأكد من وصلات بخار الماء من الطرفين، إذا كانت غير متنية اطلب من المشرف إجراء اللازم.

- قبّل وضع محس درجة الحرارة في موضعه املأ التجويف بقليل من الماء، ووضع السدادات المطاطية حول المحس الحراري.

- تأكيد من صحة تركيز إضاءة المصباح ووضع العاكس قبل بدء التجربة.
ووجود الأدوات على محور واحد (المتبع الضوئي، حجرة الضغط العالي،
العدسة، المنشور القائم). وفي حال وجود خلل استشر المشرف على الجلسة
للسماح بضبط الأدوات على المحور الضوئي.

- تأكيد من وصل الماء الحار أو البخار إلى داخل الحجرة. من مسخن الماء
إلى الحجرة ثم إلى مجمع الماء المختلف، أو عن طريق مثبت حرارة خاص.

- صل المصباح إلى وحدة التفريغ (المحوّل)، وحرك العدسة للحصول على
تبير جيد وبالتالي تحصل على خيال واضح للحجرة بما فيها على الجدار
المقابل للجملة الشكل (5 a) .

- عند تمام الاستعداد أبدأ بتسخين الماء، ورافق ارتفاع درجة الحرارة.

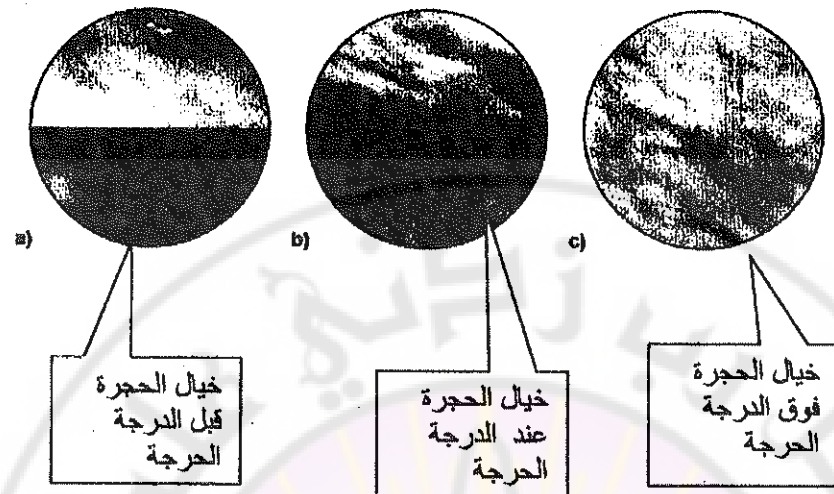
ملاحظة : بالقرب من درجة الغليان تتغير درجة الحرارة بسرعة. راقب الحالة
بانتباٌه لأنها يصعب التحكم بها بالقرب من المرحلة الحرجة.

- في حال استخدام المثبت الحراري اعمل على درجة حرارة 40 درجة مئوية
ثابتة، فإذا وصلت إليها زد درجة الحرارة المثبتة ببطء.

- قس درجة حرارة الحجرة عند الاقتراب من درجة الحرارة الحرجة وذلك عن
طريق مراقبة خيال الحجرة على الجدار حيث يلاحظ به الغليان ، الشكل 5)
(b و أوقف التسخين فوراً

- سجل درجة الحرارة الحرجة التي تكون فيها الحالة السائلة والغازية معاً،
وارسم الشكل الذي تلاحظه على الورقة، ورافقه بالعين مباشرة في الحجرة.

- انترك درجة الحرارة تتجاوز درجة الحرارة الحرجة ورافق حالة
الاضطراب والجيشان، و لاحظ خيال الحجرة على الجدار وسجل ملاحظاتك



الشكل (5)

- سجل درجة الحرارة الحرجة عند العودة (التبريد) أيضاً.
- أعد التجربة عدة مرات منطلاقاً من حالة استقرار السائل.
- ناقش النتائج واكتب القيم في جدول والقيمة النهائية على شكل قيمة وسطية.

| الرقم | الدرجة الحرجة $T_c(K)$ | الارتفاع عن الوسطى | ملاحظات |
|--------|------------------------|--------------------|---------|
| 1 | | | |
| 2 | | | |
| 3 | | | |
| الوسطى | | | |

- قدر الارتفاع ΔT في حساب درجة الحرارة الحرجية.
- أحسب قيمة T_c من المعادلات (6) ، علماً أن :

$R = 8.31 \text{ J/mol}^0 \cdot \text{K}$, $V_c = 200 \text{ cm}^3/\text{mol}$ ، $P_c = 49 \text{ bar}$

قيمتها بالقيمة التجريبية.

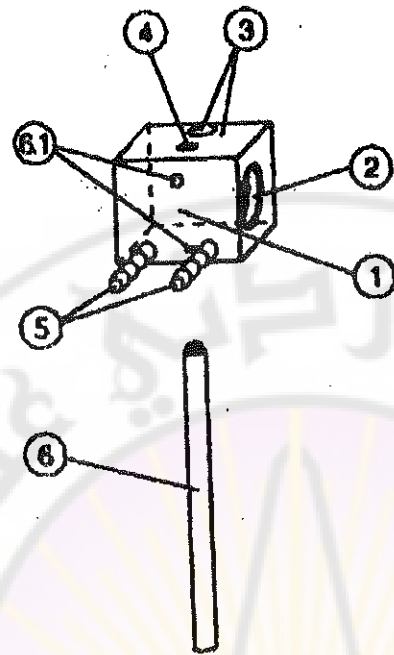
- أحسب عدد مولات المادة المستخدمة n .

أجزاء حجرة الضغط العالي

حجرة الضغط العالي هي أهم قطعة من أجزاء تجربة تعين درجة الحرارة الحرجية ، وهي مكونة من الأجزاء التالية :

- 1 - غرفة ضغط فولاذية مملوقة بالغاز بحالته السائلة، مع مجاري تسخين من نفس المعدن . تحوي على n مول من مادة SF_6 .
- 2 - نافذة مراقبة زجاجية مقاومة للضغط العالي من الطرفين .
- 3 - ثقب مقياس درجة الحرارة أو المحسس الحراري .
- 4 - برغي سدادة للغاز بحالته السائلة ولملء الغاز (لا تفتحه أبداً) .
- 5 - ثقوب التسخين مدخل ومخرج ثمانة 8mm .
- 6 - قضيب حمل الحجرة، طول 130 mm ، قطر 10 mm .

ويبين الشكل (6) الأجزاء الموصوفة:



الشكل (٦) : مخطط أجزاء حجرة الضغط العالي.

قياس درجة حرارة منبع ساخن اعتماداً على قانون ستيفان بولتزمان

الغالية من التجربة

- حساب مقاومة سلك المصباح عند درجة حرارة الغرفة و درجة الصفر المئوي .
- قياس كثافة تدفق الطاقة من المصباح عند قيم مختلفة لجهد التسخين.
- التأكد من صحة قانون ستيفان بولتزمان.

تمهيد نظري

يربط قانون ستيفان بولتزمان بين درجة حرارة سطح المادة وكثافة الإشعاع الكهرمغنتيسي الصادر المرافق، ويدرس في الفيزياء ضمن عنوان إشعاع الجسم الأسود، ولا يشترط في الجسم الأسود المثالي أن يكون لونه أسوداً، أو أن يكون بحالته الصلبة، فهو نموذج يعبر عن المادة التي تمتض كامل طيف الطاقة الإشعاعية الواردة، حتى وإن كانت الطاقة الإشعاعية ذات لون واحد (طول موجه محدد)، فنقول عن الغاز الذي يمتض طول الموجة 630mm أنه جسم أسود مثالي بالنسبة لطول الموجة 630mm إذا لم ينعكس عنه ولم ينفذ منه شيء.

أما من جهة منابع الإشعاع، فإن الجسم الساخن يصدر أشعة تناسب مع درجة حرارته. إذ تستعمل قوانين إشعاع الجسم الأسود المثالي أيضاً في هذه الحالة، و تكون كثافة الطاقة الإشعاعية E الصادرة عن سطح درجة حرارته T متناسبة مع T^4 وفق قانون ستيفان بولتزمان.

يمكن قياس درجة حرارة منبع حار بطرق مختلفة منها قياس شدة الأشعة الكهرمغنتيسية الصادرة عن المنبع بمقاييس الشدة الضوئية، وقياس درجات الحرارة في الجوار ثم إجراء الحسابات. أي اعتبار المنبع الحار جسماً أسوداً

تطبق عليه نظرية بلانك في إشعاع الجسم الأسود، أو علاقة ستيفان بولتزمان التجريبية لدراسة درجة حرارة المنبع الحر.

نستعمل في هذه التجربة مصباحاً كهربائياً متوجهاً أي مصباح يحول الطاقة الكهربائية إلى ضوئية، وتقاس شدة التوهج بمقاييس شدة ضوئية U، وللتتأكد من قوانين علاقه درجة حرارة المنبع المشع مع شدة الإشعاع الكهرمغنتيسي نحسب درجة حرارة وشيعة التوهج (سلك المصباح) عن طريق قياس تغيرات مقاومة السلك بزيادة درجة حرارته.

فشل الفيزياء التقليدية (الفيزياء قبل 1900م) في تفسير ظاهرة إشعاع الجسم الأسود وامتصاصه، لأنها اعتمدت مبدأ امتصاص واصدار الطاقة كتابع طاغي مستمر، وقد نجح العالم بلانك في تفسير هذه الظاهرة بافتراض أن الإشعاع الطاغي للنرات لا يكون مستمراً وإنما متقطعاً، وهو عبارة عن وحدات من الطاقة الإشعاعية متساوية إلى $E = h\nu$ ، حيث ν هو تواتر الضوء الممتص أو الصادر، و h - ثابت بلانك.

إن تغير كثافة الطاقة dE للجسم الأسود (أي كمية الطاقة المشعة أو الممتصة لكل وحدة مساحة عند درجة حرارة T وطول موجة λ في المجال) يعطى بعلاقة بلانك التالية:

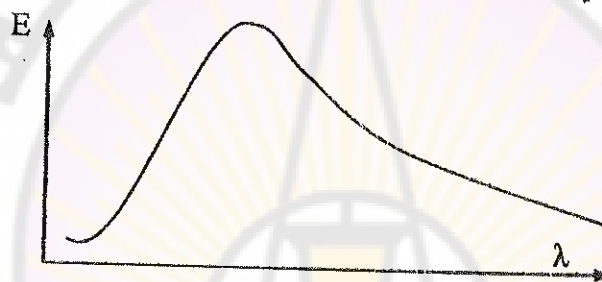
$$dE(\lambda, T) = \frac{2c^2 h \lambda^{-5}}{\exp\left(\frac{hc}{\lambda kT}\right) - 1} d\lambda \quad (1)$$

حيث c سرعة الضوء $3.00 \times 10^8 \text{ m/s}$. h : ثابت بلانك $6.62 \times 10^{-34} \text{ J.S}$.
 k : ثابت بولتزمان $1.381 \times 10^{-23} \text{ J K}^{-1}$ و T - درجة حرارة الجسم المدروس الممتص للطاقة أو المصدر لها.

بـكاملة العلاقة (1) بالنسبة لطول الموجة في المجال من $\lambda = 0$ إلى $\lambda = \infty$ نحصل على علاقة كثافة الاستطاعة كتابع لدرجة الحرارة و هو ما يعرف بقانون ستيفان بولتزمان:

$$E(T) = \frac{2\pi^5}{15} \frac{k^4}{c^2 h^3} T^4 \Rightarrow E(T) = \sigma T^4 \quad (2)$$

حيث: $\sigma = 5.67 \cdot 10^{-8} \text{ W m}^{-2} \text{ K}^{-4}$ يدعى ثابت ستيفان بولتزمان. كما تمثل E القنطرة التي تشعها أو التي تتصبها واحدة السطح وهي تقدر بوحدة W/m^2 . يبين الشكل (1) تابعية كثافة الطاقة الإشعاعية للجسم الأسود لطول الموجة الكهرومغناطيسية.



الشكل (1) : علاقة E مع λ .

وتعتبر معادلة ستيفان بولتزمان السابقة $E = \sigma T^4$ صحيحة أيضاً في الحالات التي أشرنا إليها في بداية التجربة حيث لا تكون الأجسام سطوحًا فقط ولا سوداء اللون تحديداً. أي يمكن تطبيقها من أجل الأجسام الرمادية حيث يكون معامل امتصاص السطح مرتبط بطول موجة الشعاع وهو أقل من الواحد. أما عند استعمال سطوح ليست سوداء يجب ضرب علاقتنا ستيفان بولتزمان المعادلة (2) بمعامل ابعاد الجسم عن الأسود المثالي (ϵ) و الذي يسمى معامل الاصدارية، وقيمه تترواح بين الصفر والواحد.

$$E(T) = \epsilon \sigma T^4 \quad (3)$$

من أجل مسافة محددة بين فتيل المصباح و مقياس الشدة الضوئية تكون كثافة الاستطاعة التي تصل إلى مقياس الشدة متناسبة مع القوة المحركة الكهرومغناطيسية U_{Therm} الناتجة عن مستقبل مقياس الشدة الضوئية، حيث يعتمد مقياس الإضاءة على الفعل الكهرومغناطيسي للضوء المسلط عليه و يحوله إلى جهد كهربائي V و يمكن أن تكتب:

$$U_{Therm} \sim T^4 \quad (4)$$

أو بالشكل : $U_{Therm} = A \cdot V$ و هي مقدرة بالوات. أما A فهو ثابت تناسب. لنفرض أن الجسم A درجة حرارته T و اصداريته ϵ محاطا كلبا بغرفة ذات درجة حرارة T_r حيث $T_r < T$ و لها نفس الاصدارية. ان الجسم A سوف يصدر اشعاعا بمعدل $\epsilon \sigma T^4$ و سيمتص اشعاعا من الغرفة المحاطة به بمعدل $\epsilon \sigma T_r^4$. عندئذ يكون صافي فقدان القدرة الاشعاعية الحرارية من أجل وحدة السطح هو:

$$E = \epsilon \sigma (T^4 - T_r^4) \quad (5)$$

$$U_{Therm} \sim (T^4 - T_r^4)$$

إن المعادلة (4) يمكن التعبير عنها بشكل دقيق بعلاقة من الشكل:

$$U_{Therm} = A \sigma T^4 \quad (6)$$

بالنسبة لدرجة حرارة الفتيل فإنه ولدي رسم العلاقة بين كثافة الإشعاع (أو القوة المحركة الكهرومغناطيسية) الذي تمثله قراءة مقياس الإشعاع وبين درجة الحرارة المطلقة التي نحصل عليها من مقاومة فتيل المصباح في كل حالة ، بالشكل اللغريتمي نحصل على علاقة خطية بين U و $\log T$ من الشكل :

$$\log U_{Therm} = 4 \log T + \text{Const} \quad (7)$$

إذا فسنا الشدة الضوئية من الاستطاعة الكهربائية المسجلة، فهي مقاسة بالواط، وفي هذه الحالة سيكون الثابت Const شاملاً لمجموع $(\log \sigma + \log A)$ حيث A سطح المستقبل بالمتر المربع.

علاقة المقاومة بدرجة الحرارة

تحسب درجة الحرارة المطلقة للفتيل $T = t + 273$ عن طريق حساب مقاومة السلك $R(t)$ المصنوع من التغستانين حيث t هي درجة الحرارة مقدرة بدرجات سيلسيوس. إن مقاومة أي سلك تتغير مع درجة الحرارة وفق القانون التالي:

$$R(t) = R_0 (1 + \alpha t + \beta t^2) \quad (8)$$

حيث t هي درجة الحرارة مقدرة بدرجات سيلسيوس . وقد يكون سلوك المقاومة مع درجة الحرارة مختلفاً، وهذا يتعلق بالثابتين α و β وفي هذه الحالة تكون R_0 : مقاومة الفتيل عند الصفر سيلسيوس وفي حالة مصباح التغستانين مساوية :

$$R_0 = \frac{R(t)}{(1 + \alpha t + \beta t^2)} \quad (9)$$

$$\text{حيث: } \beta = 6.76 \cdot 10^{-7} K^{-2} \quad \alpha = 4.82 \cdot 10^{-3} K^{-1}$$

إن العلاقة (9) يمكن اختصارها للسهولة و ذلك نظراً لإهمال المقدار ($t\beta$) في المقام بحيث تصبح

$$R_0 = \frac{R(t)}{(1 + \alpha t)} \quad (10)$$

بتعويض $T = t + 273$ في العلاقة السابقة (9) و حل المعادلة بالنسبة لـ T

نحصل على:

$$T = 273 + \frac{1}{2\beta} \left[\sqrt{\alpha^2 + 4\beta \left(\frac{R(t)}{R_0} - 1 \right)} - \alpha \right] \quad (11)$$

أو باستخدام العلاقة المبسطة (10) نحصل على:

$$T = 273 - \frac{R(t)}{R_0} \quad (12)$$

$$\text{حيث } K \approx 0.004 \approx \frac{1}{273} {}^\circ K$$

يتم الحصول على قيمة $R(t)$ أي مقاومة الفتيل في درجة حرارة الغرفة باستخدام قانون أوم، و ذلك من قياس قيم الجهد V والتيار I بين طرفي المصباح. و من ثم نقوم بحساب درجة حرارة المصباح T من العلاقة (12) بعد حساب قيمة R_0 من العلاقة (10).

أما قيمة الإشعاع فيتم الحصول عليها من خلال قراءة مقياس الجهد (الفولت) الموصول إلى خرج المضخم الموصول إلى مقياس شدة الإضاءة مع مراعاة عامل الضرب المستخدم على المضخم ولقطة الصفر ومعامل التحويل الخاص بمقياس شدة الإضاءة.

الآلات والاجهزه المستخدمة

- مقياس شدة الإضاءة الحراري.

- أنبوب الحماية لمقياس شدة الإضاءة الحراري.

- مضخم إشارات كهربائية للفياس العام.

- وحدة تغذية متغيرة 15 متناوب و 12V مستمر وتيار 5A.

- حامل للمصباح E14 على عمود.

- مصباح ذو فتيل 6V و 5A (E14).

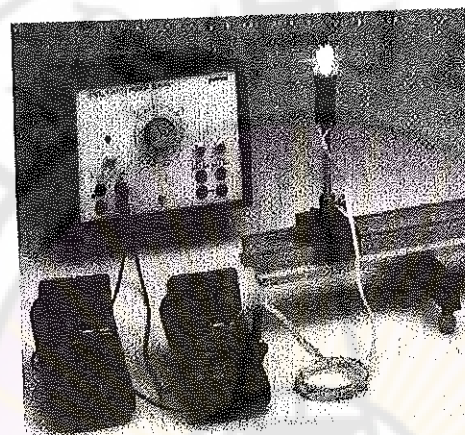
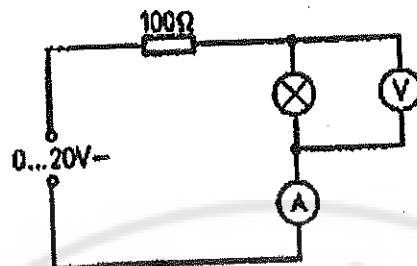
- علبة وصل.

- مقاومة 100 أوم ضمن علبة وماخذ.
- منصة تجريبية بطول 60 سم.
- قاعدة المنصة البصرية قابلة لضبط الارتفاع والتوازن.
- حامل متزايق يركب على المنصة البصرية ارتفاع 30mm.
- مقياسان رقميان متعددان المجالات، للفولط والأمبير.
- أسلاك توسيع.

مراحل العمل

الجزء الأول : قياس مقاومة فتيل المصباح في درجة حرارة الغرفة.

- 1 - صل الدارة وفق الشكل (2). أبدأ الوصل من أحد أقطاب منبع التغذية .
 - 2 - يتم وصل المقاومة 100 أوم أو معدلة ذات زالقة على التسلسل مع المصباح لتنظيم التيار والتحكم به بشكل أفضل. (ويمكن الاستغناء عنها إذا كانت قيمة V صغيرة)، على الأَنْ يحدث توهج في السلك بالإضافة إلى مقياس أمبير ، ثم مقياس فولط على التفرع بين طرفي المصباح.
 - 3 - صل تغذية المصباح بتيار مستمر.
 - 4 - غير قيمة التيار بمجالات صغيرة (تيارات لا تسبب توهج فتيل المصباح) مثلا 100 mA و 200 mA.
 - 5 - قيس قيمة الجهد المطبق بين طرفي المصباح في كل مرة، ونسجل النتائج في الجدول (1).
 - 6 - احسب مقاومة فتيل المصباح في درجة حرارة الغرفة ($R(t)$) من قانون أوم عدة مرات بتغيير قيم I و V . ثم احسب ($R_{\text{وسطي}}$) الوسطي والارتفاع.
- ملاحظة: (إن التيار المستخدم في كل الحالات يجب أن يكون صغيراً جداً بحيث يهمل الأثر الحراري)



الشكل (2) مخطط التجربة وتوضع الأجهزة.

الجدول (1)

| التجربة | التيار A | الجهد V | المقاومة في درجة حرارة العمل |
|---------|-------------|------------|---------------------------------|
| 1 | | | |
| 2 | | | |
| - | | | |
| - | | | |

7- قم بعد ذلك بحساب قيمة المقاومة R_0 من العلاقة (10) بعد تعريض Δ

بدرجة حرارة الغرفة

الجزء الثاني : قياس درجة حرارة فتيل المصباح، وشدة الإشعاع الكهرومقطعيسي الناتج عنه .

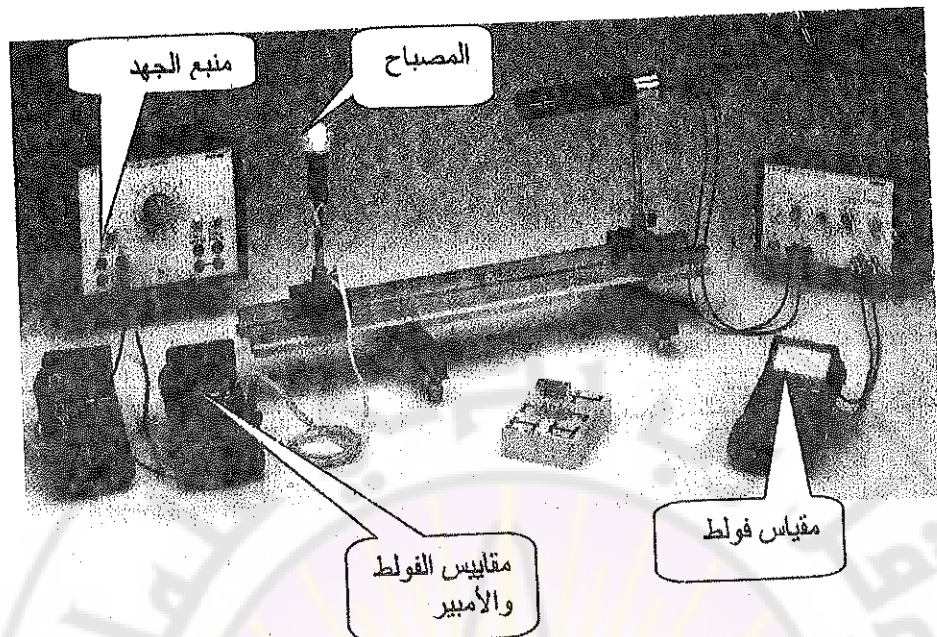
1 - إضافة إلى دارة الشكل (2) . صل الدارة الخاصة بقياس الشدة الضوئية حسب الشكل (3) مع الانتباه إلى استخدام منبع الجهد المتداوب من وحدة التغذية لتغذية المصباح في هذا الجزء .

(يجب الانتباه إلى قيمة التيار الاسمي للمصباح هي 5A ولكن يمكن تشغيل المصباح عند تيار أعلى من القيمة الاسمية بقليل لفترة زمنية محدودة لا تتجاوز عدة دقائق).

2 - هيئ أجهزة قياس شدة الأشعة الضوئية، مستقبل ومضخم إشارة المستقبل.

3 - قس الشدة الضوئية بمقاييس mV على اعتبار المستقبل منبع إشارة كهربائية، أو يستخدم مقياس شدة ضوئية مباشرة، أو تُستخدم وحدة الوصلة البيانية الخاصة بهذه التجربة لتسجيل V و I على الحاسوب مباشرة بعد التضخيم.

4 - يستعمل المضخم بإدخال إشارة المستقبل إلى مدخله، وقياس مخرج المضخم بعد وضع زر التضخيم واختيار مرتبة التضخيم.



الشكل (3): توضع تجهيزات الجزء الثاني من التجربة.

- 5 - قبل البدء بتسجيل القراءات يتم تصفيير النظام بحجب المصباح .
- 6 - طبق جهد فولط واحد .
(يجب الانتظار دقيقة في كل مرة يتم فيها تغيير الجهد للوصول إلى حالة الاستقرار)
- 7 - ضع مقياس الإشعاع على بعد حوالي cm 30 من المصباح وأدراها إلى اليمين واليسار بشكل بسيط للحصول على أعلى قيمة للجهد مع خرج المضخم (يضبط على تكبير 10^2 أو 10^3 و المضخم يستخدم في نظام انجراف منخفض 10^4 ألوم مع ثابتة زمنية s .1)
- 8 - يوصل خرج المضخم إلى مقياس الفولط أو الوصلة البينية(interface) ان وجدت مع الحاسب .
- 9 - يتم اجراء عملية القياس كما يلى: يجب الانتباه إلى عدم وجود مصادر حرارية قريبة تؤثر على النتائج :

١ - قبل البدء بتسجيل القراءات يتم تصفير النظام بإبعاد المصباح مسافة كافية عن مقياس الشدة الضوئية.

ب - يتم استخدام زر ضبط الصفر لتصفير القیاس.

١٠ - أكمل الجدول (٢) التالي : بتسجيل قيمة الجهد وشدة التيار وحساب المقاومة من قانون أوم، ودرجة الحرارة من العلاقة (١٠)، ثم دون قيمة

فرق الكمون الناتج عن مقياس الشدة U_{Thermal}

من الجدول (٢). و سجل قيم لوغاریتم درجة الحرارة T والشدة الضوئية Log U_{the} في الجدول (٢).

الجدول (٢)

| $\text{Log} U_{\text{Therm}}$ | U_{Therm} (فولط) | Log T | T (K) | R (Ω) | I (A) | الجهد (V) |
|-------------------------------|------------------------------|-------------------|----------|----------|----------|--------------|
| | | | | | | |
| | | | | | | |
| | | | | | | - |
| | | | | | | - |
| | | | | | | - |
| | | | | | | - |

١١ - ارسم على ورقة لوغاریتمية تحولات U بدلالة T. أو U log T مع $\log T$ على ورقة ملمترية.

١٢ - احسب ميل المنحنى الناتج وبين ماذا يمثل؟ ثم ناقش النتائج.



التسخين بالإشعاع

الغاية من التجربة

- حساب كمية الحرارة الممتصة نتيجة التسخين بمنع اشعة ثابت الطاقة
والبعد.

- حساب ϵ إصدارية الجسم (emmissivity) لعدد من السطوح المعدنية
أو سطح معدن واحد بألوان مختلفة أو درجات نعومة مختلفة

تمهيد نظري

يتميز التبادل الحراري الإشعاعي بانعدام التماس المباشر بين الأجسام . و حامل طاقة الإشعاع الحراري هو الأمواج الكهرومغناطيسية التي تختلف في أطوال موجاتها. و التي تصنف وفقاً لطول موجتها بالأشعة فوق البنفسجية ، و المرئية ، و تحت الحمراء. حيث تؤدي الأشعة تحت الحمراء دوراً كبيراً في عملية التبادل الحراري.

من جهة ثانية، تتميز جميع الأجسام بأنها تصدر إشعاعات حرارية. أي إن الجسم يصدر الطاقة على شكل إشعاع عند درجات حرارة مختلفة عن الصفر المطلق. كذلك عند سقوط حزمة من الأشعة على جسم ما فإنه يمتص جزءاً منها ، و يعكس جزءاً آخر عن سطحه، كما يسمح بمرور جزء ثالث من خلاله ليتنقل إلى جسم آخر.

إذا فرضنا أن Q_0 كمية الطاقة الإشعاعية الساقطة على الجسم، فإن كمية الطاقة الإشعاعية الممتصة من قبل الجسم هي Q_A ، و كمية الطاقة الإشعاعية المنعكسة عن سطح الجسم هي Q_R ، و كمية الطاقة الإشعاعية النافذة من خلال الجسم هي Q_D ، عندها يمكن أن نكتب:

$$Q_0 = Q_A + Q_R + Q_D \quad (1)$$

بقسمة طرفي المعادلة (1) على Q_0 نحصل على :

$$1 = \frac{Q_A}{Q_0} + \frac{Q_R}{Q_0} + \frac{Q_D}{Q_0} \quad (2)$$

أو بالشكل:

$$1 = A + R + D \quad (3)$$

حيث : A - القدرة الامتصاصية للجسم (ثابت الامتصاص).

-R - القدرة الانعكاسية للجسم (ثابت الانعكاسية).

-D - قدرة التفونية للجسم (ثابت التفونية).

وفقاً للعلاقة (3) نستطيع أن نصنف الأجسام في ثلاثة أنواع هي :

1- الجسم مطلق السواد: و هو الجسم الذي يكون من أجله الثابت $A = 1$ ، بينما الثابتين الآخرين $R = 0$ و $D = 0$. و هذا الجسم يمتص الطاقة الساقطة عليه بشكل كامل. و هو نادر الوجود في الطبيعة، و لكن هناك أجسام قريبة منه مثل الكربون النقي.

2- الجسم مطلق البياض (المرآوي): و هو الجسم الذي يكون من أجله الثابت $R = 1$ ، بينما الثابتين الآخرين $A = 0$ و $D = 0$. و هو الجسم الذي يعكس الطاقة الساقطة عليه بشكل كامل، و هو نادر الوجود في الطبيعة أيضاً.

3- الجسم الشفاف: و هو الجسم الذي يكون من أجله الثابت $D = 1$ ، بينما الثابتين الآخرين $R = 0$ و $A = 0$. و هو الجسم الذي يسمح بمرور كامل الأشعة الساقطة عليه. و بصورة عامة تعتمد قدرة الجسم على امتصاص أو عكس أو إمرار الطاقة الإشعاعية على نوعيته و حالة سطحه (خشن - أملس - الخ) ، و كذلك على طبيعة الأشعة الساقطة عليه.

لقد بين ستيفان أن الطاقة الاشعاعية للجسم المطلق السواد تتناسب طرداً مع درجة حرارته من المرتبة الرابعة وفق العلاقة:

$$E = \sigma T^4 \quad (4)$$

حيث σ - ثابت الاشعاع (ثابت ستيفان - بولتزمان) ، و قيمته تساوي $\sigma = 5.67 \times 10^{-8} \text{ W/m}^2 \text{ K}^4$:

يختلف إشعاع و امتصاص الأجسام الحقيقية عما يمليه قانون ستيفان - بولتزمان (4) إذا ما قورنت بالجسم مطلق السواد. و لعميق قانون ستيفان - بولتزمان على عمليات الإشعاع و الامتصاص للأجسام الحقيقية ، فقد أدخل بولتزمان مفهوم الجسم الرمادي. و هو الجسم الذي يشع أو يمتص أشعة الطيف كاملاً و لكن بشدة أقل كثيراً مما هي عليه في الجسم الأسود. و في حالة الجسم الرمادي يمكن التعبير عن قانون ستيفان - بولتزمان بالعلاقة:

$$E = \epsilon \sigma T^4 \quad (5)$$

حيث الثابت ϵ - يمثل اصدارية الجسم. و هو يساوي $\epsilon = 1$ من أجل السطح مطلق السواد، بينما يساوي $\epsilon = 0$ من أجل السطح المرأوي. و وبالتالي فإننا في هذه التجربة سوف نقوم بحساب قيمة هذا الثابت من أجل سطوح ذات ألوان (طبيعة) مختلفة.

الآلات والأجهزة المستخدمة

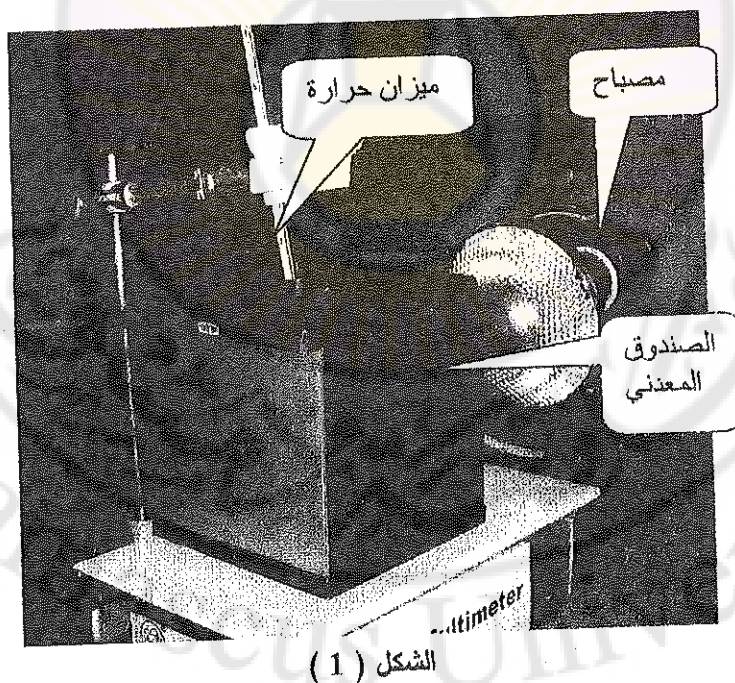
1 - صندوق معدني ذو ثخانة قليلة، وله غطاء يساعد على ملء الماء أو أي سائل بداخله وتنظيمه. ويحتوي على فتحة لوضع ميزان قياس درجة حرارة السائل داخل الوعاء. الوعاء المستخدم مصنوع من النحاس الأصفر طول ضلعه 12 cm (قم بقياس الطول). نظرًا لوجه الصندوق الأربعه بألوان مختلفة بحيث يكون لكل وجه لون مختلف مثلاً: الأول بلون أسود والثاني رمادي والثالث

أبيض والرابع مراوي، أو يمكن جعل الوجه مختلفة بالعموم . انظر الشكل (1) .

- 2 - مصباح كهربائي قوي قابل للتوجيه وحصر إضاءته.
- 3 - ميزان حرارة عشري زئبقي ، أو ميزان حرارة رقمي مع محس حراري مناسب . راجع الشكل (6) تجربة السعة الحرارية.

- مراحل العمل

- 1- املأ الوعاء بكمية معروفة m من السائل (ماء نظيف مثلاً) ثم ضع ميزان الحرارة (الزئبقي أو الرقمي) في الماء عن طريق حامل بحيث لا يلامس ميزان الحرارة أحد السطوح، يرفع الصندوق عن الأرض بغازل كما في الشكل (1) .



2 - سجل درجة حرارة السائل (T_0) الموافقة لبدء القياس (قبل التعرض للأشعة أي اللحظة (t_0)).

3 - ضع الوجه الأسود مقابل مصباح من التفستين ذو استطاعة معروفة وله مجمع ضوئي انعكاسي أو يجمع الضوء بمجموعه ضوئية. وأملاً الجدول (1) عن طريق تسجيل درجة الحرارة كل دقيقتين. بدءاً من لحظة إضاءة المصباح وحتى الوصول لدرجة حرارة لا تتغير كثيراً مع الزمن (حوالي نصف ساعة). (يتعلق هذا بدرجة حرارة المخبر التي تتغير من شهر لآخر أو لسبب آخر داخل المخبر).

4- احسب كل من E_i , W_i , Q_i بعد كل دقيقتين و ضع النتائج في مكانها في الجدول (1). حيث Ω ترمز الى رقم الخطوة الموافقة للزمن t وفق الخطوات التالية:

- احسب مقدار تغير درجة الحرارة الكلية للماء في الصندوق و لتكن ΔT حيث $\Delta T = T - T_0$ ، هي درجة الحرارة النهائية، و T_0 درجة الحرارة قبل بدء التسخين.

- احسب كمية الحرارة التي اكتسبها الماء خلال فترة التسخين الكلية t ، من العلاقة :
$$Q(J) = c m (\Delta T)$$

حيث c - الحرارة النوعية للماء و تساوي: 4.18 J/g.K .

- احسب الاستطاعة الحرارية من العلاقة : $W = Q/t$.

- احسب الطاقة المنتصنة من قبل المادة من العلاقة : $E = W/S$ ، حيث S مساحة سطح وجه الصندوق و الذي يساوي: $12 \times 12 \text{ cm}^2$.

- استبدل الماء الموجود داخل الصندوق ، و أعد العمل بالفترات السابقة من أجل الوجه الأخرى للصندوق و ضع النتائج في جداول مشابهة للجدول (1) لكل وجه على حده.

الجدول (1)

كتلة الماء = السعة الحرارية النوعية للماء - لون الوجه:

| $E_i = W/S (w/m^2)$ | $W_i = \frac{Q}{\Delta t} (W)$ | $Qi = Cm\Delta T (J)$ | $\Delta T = T_f - T_0$ | T | الزمن t(min) |
|---------------------|--------------------------------|-----------------------|------------------------|---|--------------|
| | | | | | 0 |
| | | | | | 2 |
| | | | | | 2 |
| | | | | | 6 |
| | | | | | 8 |
| | | | | | . |
| | | | | | .30 |

5- ارسم على ورقة ميليمترية واحدة تحولات Q بدلالة الزمن t ، $Q(t)$ ، من أجل كل وجه. ماذا تستنتج؟

6- قم بحساب قيمة ε_j لكل وجه من أوجه المكعب الأربع من العلاقة:

$$\varepsilon_j = \frac{E_j}{E_i} = \frac{W_j}{W_i} = \frac{Q_j}{Q_i} \quad (6)$$

حيث j يشير إلى رقم وجوه المكعب. و ذلك على فرض أن مساحة سطح كل وجه من وجوه الصندوق متساوية و كذلك زمن التسخين واحد لكل الوجوه، و الدليل (1) في المعادلة (6) يشير إلى الوجه الأسود من المكعب. إن كمية

الحرارة المحسوبة في المعادلة (6) تأخذ على كامل الفترة الزمنية لتسخين الوجه (Δt - الزمن الكلي للتجربة) وضع نتائج الحساب في الجدول (2) :

الجدول (2)

| الترتيب $\Delta \epsilon$ | ϵ من العلاقة (6) | $W = Q / \Delta t$ | الوجه |
|------------------------------|---------------------------------|--------------------|------------------|
| | | | الوجه الأسود |
| | | | الوجه الرمادي |
| | | | الوجه الأبيض |
| | | | الوجه المرأوي |

- 7- ارسم على ورقة لغريتمية واحدة تحولات $E(T)$ من الجدول (1) . واستنتاج منه قيمة الثابت E للسطح وقارنه مع القيمة المحسوبة في الجدول (2) .



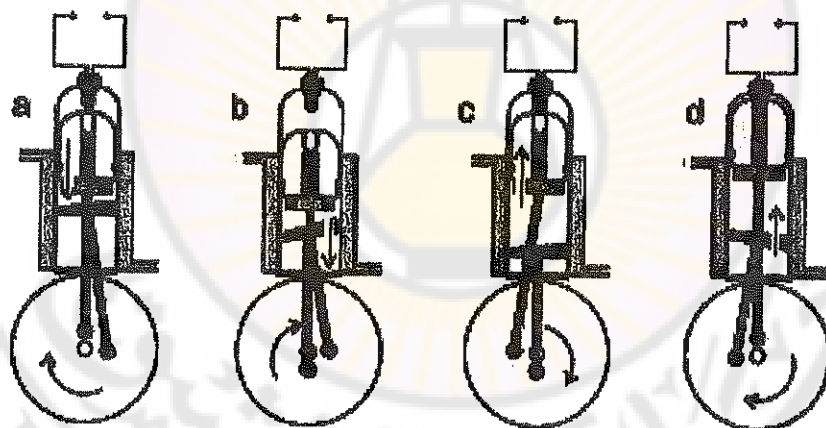
محرك الهواء الحار

الغالية من التجربة

- دراسة إحدى الدورات الترموديناميكية
- استعمال محرك الهواء الحار لتوليد العمل.
- دراسة محرك الهواء الحار كمضخة حرارية.
- استعمال الحاسوب لرسم الدورة الترموديناميكية (v) للمحرك.
- حساب العمل الناتج من الدورة.

التمهيد النظري

محرك الهواء الحار الذي وضعه روبرت ستولنг 1816 هو أحد أشكال المحركات البخارية . أبسط مخطط لمثل هذه المحركات مبين في الشكل (1) .

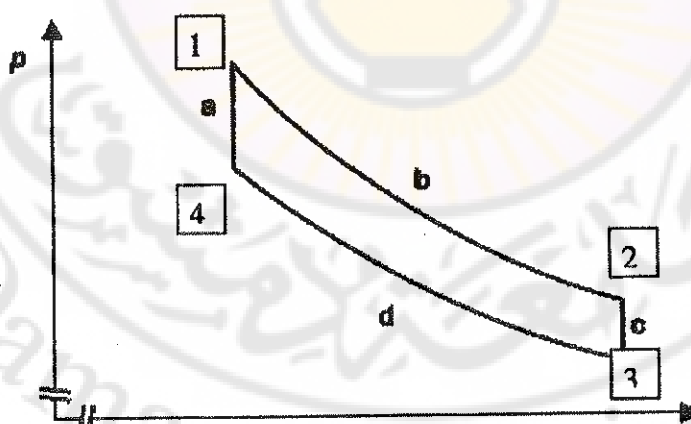


الشكل (1)

يتالف هذا النوع من المحركات عادة من مكبسين، متصلين من خلال عمودين ودولاب مشترك (الشكلان 1 و 3) هما مكبّس العمل و مكبّس الإزاحة .

يدور مكبس الإزاحة متقدماً في الطور على مكبس العمل بـ 90° . عندما يكون مكبس العمل أعلى المركز (مركز الدوّلاب المتصل مع المكابس) تماماً، يكون مكبس الإزاحة يمين هذا المركز كالحالة a الشكل (1). و عندما يتحرك مكبس الإزاحة للأسفل يسبب إزاحة الهواء للأعلى إلى الجزء الساخن من أسطوانة المحرك. حيث يسخن الهواء ثم يتمدد و يدفع مكبس العمل للأسفل الحالة b الشكل (1) . و في أثناء حدوث ذلك ينتقل العمل الميكانيكي إلى دوّلاب الحركة. أما عندما يكون مكبس العمل أسفل المركز (مركز الدوّلاب المتصل مع المكابس) تماماً الحالة c الشكل (1)، فإن مكبس الإزاحة يتحرك الأعلى مما يسبب حركة الهواء للأسفل نحو الجزء البارد من أسطوانة المحرك، مما يؤدي إلى تبريد و ضغطه بوساطة مكبس العمل كالحالة d الشكل (1) . و عندئذ يقدم العمل اللازم لإنجاز هذه المرحلة (ضغط الغاز) من دوّلاب الحركة.

يمكن القول بتقرير مقبول أن الهواء يسخن و يبرد مع بقاء حجمه ثابت، في حين يتمدد الهواء و ينضغط بثبات درجة الحرارة. و بالتالي تتألف الدورة термوديناميكية لمحرك الهواء الحار من المراحل التالية الشكل (2) :



الشكل (2)

المرحلة الأولى:

تسخين متساوي الحجم "التحول a" ، حيث يتم امتصاص كمية من الحرارة في هذه المرحلة . فتغير الضغط $P_1 \rightarrow P_4$ و كذلك درجة الحرارة $T_1 \rightarrow T_2$ بينما يبقى الحجم ثابتا $V = \text{const.}$

المرحلة الثانية:

تمدد متساوي الدرجة "التحول b" ، عند درجة الحرارة العالية. $V_1 \rightarrow V_2$ و كذلك $T_1 = \text{const.} \rightarrow P_2$

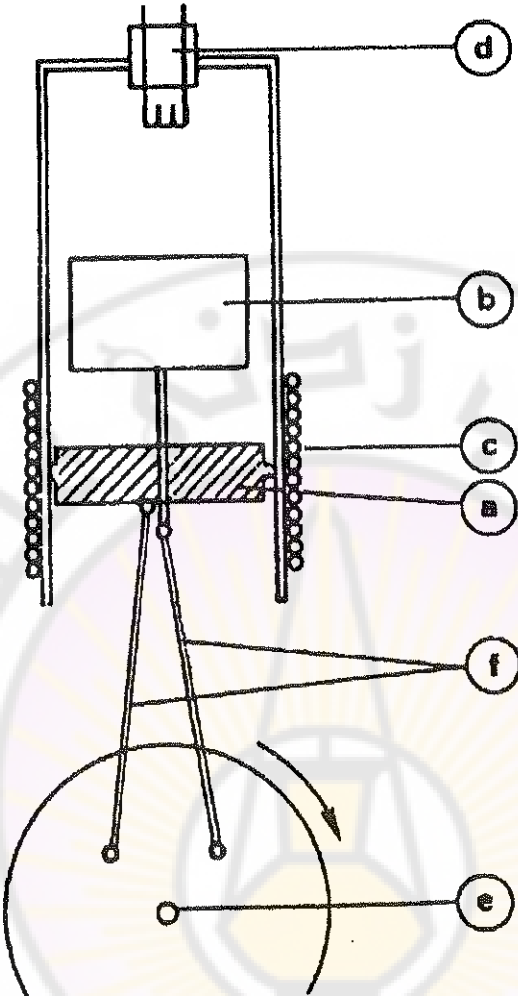
المرحلة الثالثة:

تبريد متساوي الحجم "التحول c" ، حيث يتم طرح كمية من الحرارة في هذه المرحلة . $V = \text{const.} \rightarrow P_3 \rightarrow T_2$ أما $P_2 \rightarrow T_1$ و كذلك

المرحلة الرابعة :

انضغاط متساوي الدرجة "التحول d" ، ذو درجة الحرارة المنخفضة.
 $.T_2 = \text{const.} \rightarrow P_4 \rightarrow V_2 \rightarrow V_1$

إن مثل هذه الدورة المبينة في الشكل (2) تدعى دورة ستربننغ و المحرك الذي ينجز هذه الدورة الترموديناميكية يدعى محرك ستربننغ . و الذي يتالف من الأجزاء المبينة في الشكل (3) .

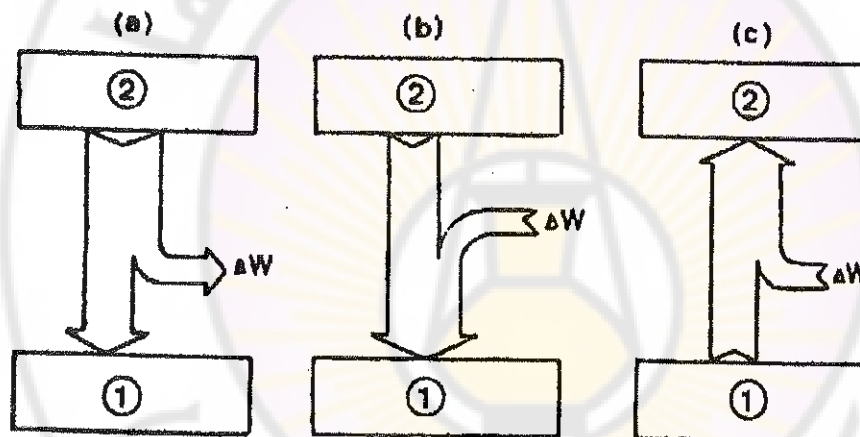


الشكل (3)

- مكبس العمل
- مكبس الإزاحة
- ماء التبريد (النهاية السفلی)
- وشيعة التسخين (النهاية العليا)
- ذراع التدوير مع دولاب الحركة
- قضبان التوصيل

و بعد هذا النوع من المحركات النموذج الأكثر شهرة لدراسة مبدأ المحركات الحرارية، و ذلك لكون عمليات تحويل الطاقة الحرارية الى ميكانيكية واضحة جدا و سهلة الفهم، ويستطيع أن يعمل باستخدام منابع حرارية مختلفة.

يمكن الإشارة إلى أن محرك سترانغ يمكن أن يعمل كآلة تبريد إذا أوقف تسخين رأس اسطوانة المحرك و تم تغذية المحرك من محرك كهربائي خارجي حتى يدور المحرك منجزا الدورة الترموديناميكية المبينة في الشكل (2) و لكن في الاتجاه المعاكس. يظهر الشكل (4) مخططها لمحرك سترانغ عندما يعمل محرك هواء حار (a) أو مضخة حرارية (b) أو آلة تبريد (c).



الشكل (4)

الأجهزة والأدوات المستخدمة

- 1 - محرك الهواء الحار النموذجي، مؤلف من مكبسين متداخلين موصولين بدولاب كبير القطر كما في الشكل (3) .
- 2 - محرك كهربائي مناسب لتحريك دولاب محرك الهواء الحار، مع دولاب صغير يدور 500 دورة في الثانية، تغذية 220V.

3 - وحدة تغذية وشبعة التسخين بتوتر منخفض ، انظر الملحق من هذه التجربة لمعرفة مواصفاتها وطريقة تشغيلها.

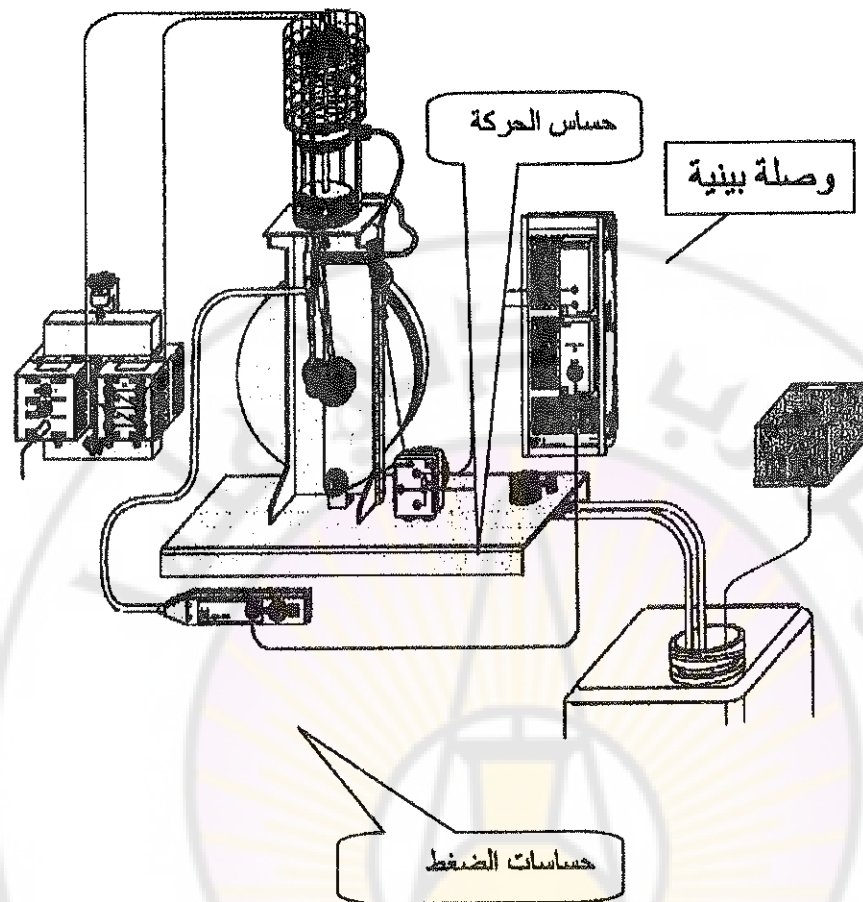
4 - غطاء للمحرك يحتوي على مقاييس درجة حرارة زئبقي و باقى الملحقات ، انظر التفاصيل في الشكل (5) من الملحق.

6 - وصلات مياه التبريد للمحرك، كما يوضحها الشكل (6) ، والتبريد مهم جداً لعمل هذا المحرك والمحافظة عليه.

7 - حساس قياس الضغط رقمي مع الملحقات، كما في الشكل (5) .

8 - لوحة وصل بينية بين الحاسوب والمحرك (interface) مبينة في الشكل (5) .

9 - حاسب مع برنامج CASSY .



الشكل (5) مخطط توصيل تجربة محرك الهواء الحار مع ملحقاته الرئيسية.

مراحل العمل

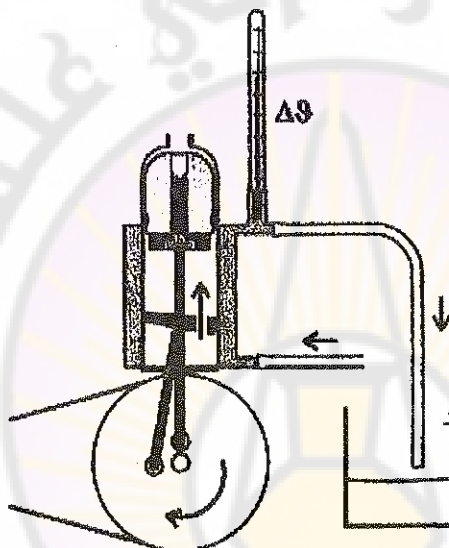
الجزء الأول: تحويل الحرارة إلى عمل

1 - وصل دورة تبريد المحرك بالماء البارد

يمكن تبريد محرك الهواء الحار بطريقة مغلقة أو بطريقة مفتوحة، تستعمل مضخة صغيرة خاصة تسحب الماء من وعاء الماء البارد لتبريد محرك الهواء الحار بالطريقة المغلقة. وتُعيد الماء إليه كما في الشكل (6) . وفي الطريقة

المفتوحة يوصل مدخل الماء إلى (صنبور الماء الرئيسي) ويعود الماء بعد التبريد إلى المصرف مباشرة.

1- حل الماء وفتح الصنبور مع مراقبة حركة الماء في غمد الأسطوانة وتأكد من خروج الماء من أنبوب الخرج. ولا تغيير وصلات الماء دون استشارة المشرف .



الشكل (6) : طريقة تبريد محرك الهواء الحار بالماء.

2 - قم بتنفطية رأس أسطوانة الرأس وشد البراغي الثلاثة على أن يكون الغطاء مع وشيعة التسخين، وأعد الغطاء الشبكي إلى مكانه.

3 - حرك المكبس بيده لتتأكد أن القمع النحاسي لا يصطدم بالوشيعة ولا يلامسها، إذا كان التوضع جيداً أغلق مخرج أنبوب حساس مقياس الضغط على قضيب المكبس بواسطة سداده مطاطية.

ملاحظة : لا تتبع خطوات العمل أكثر من ذلك ما لم يسمح لك المشرف على الجلسة مباشرة العمل.

4 - دقق في حركة ماء التبريد، ثم صل التيار الكهربائي من وحدة تغذية التوتر المنخفض. وانتظر إلى أن تصبح الوشيعة حمراء حارة.

5 - قم بتدوير دولاب محرك الهواء الحار مع عقارب الساعة (إذا كان الدولاب مقابلك) حتى يقلع المحرك، إذا لم يقلع المحرك بعد عدة محاولات ابحث عن مشكلة أخرى غير دوران الدولاب.

6 - إذا تطلب الأمر ليقاف العمل أطفئ الوشيعة قبل كل شيء، ولا تشغّل المحرك إلا بعد بضع دقائق.

7 - صل جهاز مقايس أمبير على التسلسل مع وشيعة المحرك، وسجل قيمة التيار، وقس زمن خمس دورات مثلاً في الجدول التالي :

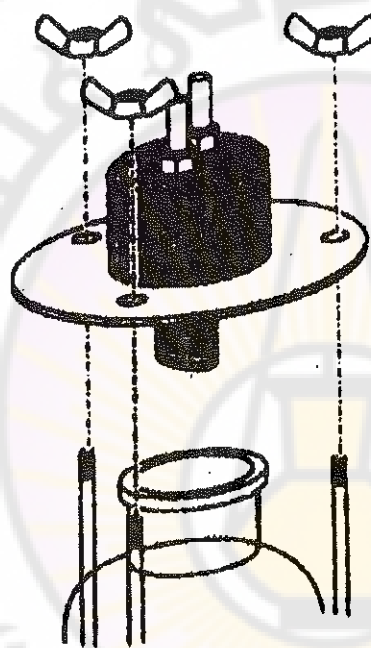
| شدّة التيار | زمن عدد من الدورات | ملاحظات |
|-------------|--------------------|---------|
| | | |

8 - لا حظ أشواط المحرك وتأثير زيادة شدّة التيار على سرعة المحرك، وكيف تغير درجة حرارة الوشيعة في الأعلى في كل شوط، وفسّر ما تراه وسجل الملاحظات المناسبة عن محرك ستيرلينغ.

الجزء الثاني: نقل الحرارة بتقديم عمل ميكانيكي للمحرك

1 - بعد أن تكون الوشيعة قد بردت فك برااغي التثبيت الثلاثة في الأعلى وركّب الغطاء الثاني الذي يحوي اسطوانة ثابت عبرها ميزان حرارة

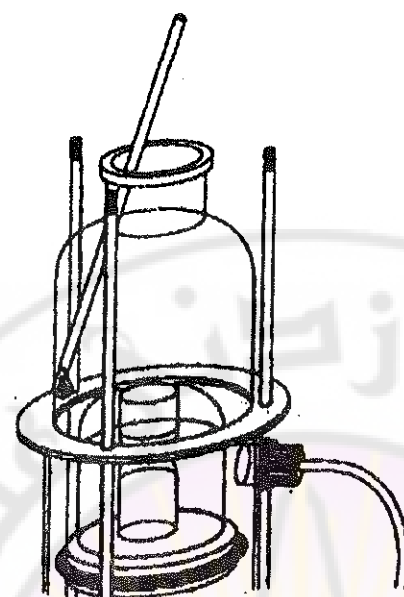
زئبقي، ولا تدع الميزان يدخل إلى مسافة أكبر من طول وشيعة التسخين. ويبيّن الشكل (7) طريقة نزع غطاء الرأس في الجزء الأول . الشكل (8) يبيّن شكل الرأس الجديد.



الشكل (7)

2 - ركب الإطار المطاطي على بكرة دولاب محرك الهواء الحار وعلى بكرة المحرك الكهربائي و هي بكرة أصغر من الأولى، وصل التغذية الكهربائية للعلبة مباشرة.

ملاحظة : اطلب من المشرف على الجلسة التأكيد من تهيئه التجربة والسماح بإجرائها.



الشكل (8) : شكل الغطاء المهيأ للجزء الثاني من التجربة.

- 3 - راقب دورة الماء، وعند استقرارها شغل محرك البكرة الصغيرة، وعند عمله يقدم عملاً ميكانيكياً لمحرك الهواء الحار، وهذا العمل يؤدي إلى جعل المحرك يعمل على ضخ الحرارة من حجرة مكبس الإزاحة إلى حجرة مكبس الحركة، وبنتيجته تنخفض درجة الحرارة.
- 4 - سجل هبوط درجة الحرارة كل دقيقة وثبتها في جدول.
- 5 - كرر الخطوات السابقة من أجل سرعة عالية ومتوسطة ومنخفضة لمحرك الكهربائي وناقش معدل تغير درجة الحرارة في حجرة المكبس العامل بدلالة الزمن.
- 6 - أطفئ المحرك وانتظر قليلاً ثم شغله بجهة دوران معاكسة للأولى، وسجل تغير درجة الحرارة مع الزمن . سجل ماذا تلاحظ وقارن ذلك مع الخطوة رقم 4. فسر ماذا يحدث.

الجزء الثالث: رسم الدورة الترموديناميكية

مراقبة التجربة حاسوبياً

- صل الماء وافتح الصنبور مع مراقبة حركة الماء في غمد الأسطوانة وتأكد من خروج الماء من أنبوب الخرج .
- قم بتوصيل محرك الهواء الحار الى الحاسوب عن طريق الوصلة البينية مثبتاً وصل الحساسات بالشكل الصحيح.
- نحتاج في التجربة إلى حساس ضغط، وإلى حساس حركة (صعود وهبوط المكبس)، وهو يتوضّعان على لوحة الوصل مع الحاسوب كما هو مبين في الشكل (5).

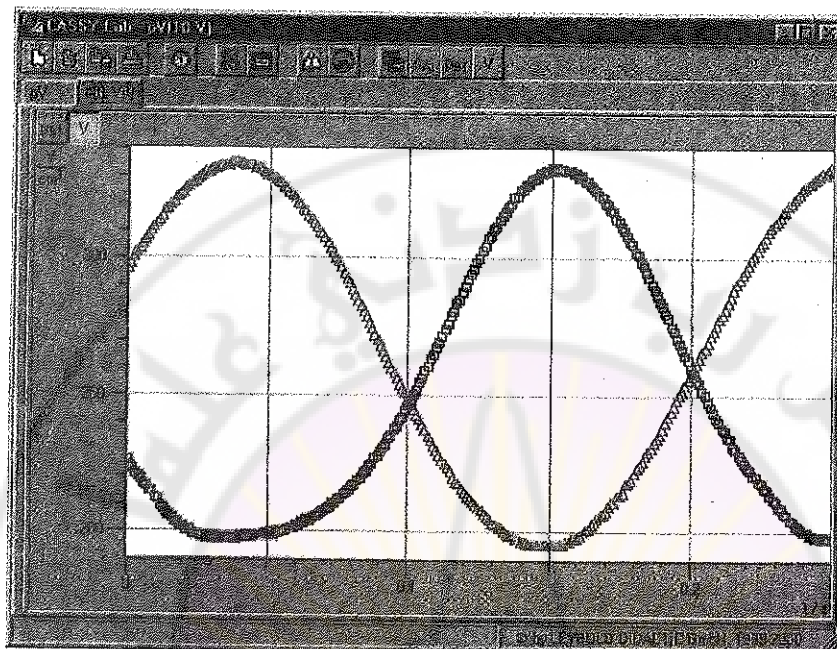
- البرنامج :CASSY

يُنصَّب برنامج التشغيل تحت اسم CASSY ونجدُه على سطح المكتب أو في قائمة أبدأ. عند فتح البرنامج تظهر نافذة التحكم والإعداد الخاصة المبينة في الشكل (9)، وتظهر لوحة تفعيل الأجهزة الموصولة للقياس (حساس الضغط PB1 و حساس الإزاحة SAI). يتم تفعيل مكان كل حساس بالضغط على مكانه بمُؤشر الفأرة مررتين، ونتأكد من التفعيل بتغيير شكل منطقة المجرس في اللوحة إلى لون آخر وما يشير إلى أنها مفتوحة (دلالة المحور pB1 يتغير لونه من رمادي غامق إلى رمادي فاتح حسب الشكل 9).

- 1 - اضغط مررتين على محور الضغط في النافذة المعروضة أو من اللوحة الداخلية، وهو المحور (pB1) ، حدد مجاله من +2000hPa إلى 200hPa .

إذا كنا قد ضغطنا على الزر pB1 في شريط الأدوات تظهر نافذة صغيرة لحالة المجرس الذي يتعلق بهذا المقدار، فإذا حرکنا المكبس وأنبوب

الضغط الموصول إلى فتحته في قضيب المكبس تتغير قيمة المقدار $pB1$ على الحاسوب أي أن الإعداد صحيح.



الشكل (9) : نموذج لصورة نافذة البرنامج.

2 - قبل إعداد محور الحجم V ضع نقطة تعليق المكبس أسفل مركز الدوران بحيث يكون لدينا $S_0 = V_0 = 10 \text{ Cm}^3$. إن المقدار V لا يقاس بحساس خاص به مباشرة، وإنما بحركة المكبس ، ولذلك تحتاج إلى علاقة لتحويل ما ينحمسه المحسس إلى مقدار الحجم، وهذا يتم في البرنامج بفتح لوحة من اللوائح (parameter/formula) FET ومن النافذة التي تظهر اضغط (setting) فتفتح النافذة إمكانات أخرى لكتابة العبارة الجديدة.

3 - اكتب مكان اسم التابع quantity وهو الحجم (Volume) وفي مكان الرمز Symbol رمز الحجم مثلًا V ، وفي مكان الوحدة وحدته

الفيزيائية وهي هنا Cm^3 تكتب (Cm^3) . ثم في مكان كتابة العبارة تكتب العبارة: formula

$$(sA1 - s0)*28.3 + 195$$

عوض قيمة s_0 التي بدأنا معها الحركة، مثلاً $Cm^3 = 10$ $s_0 = 5$ كما مرّ سابقاً، حافظ على حالة الأحرف في العبارة بالتنسيق والشكل الذي تراه، لأنّ تغيير حجم الحرف أو نمطه يسبب خطأ في التنفيذ.

4 - أكّد النافذة السابقة واضغط "display" من إمكانات اللوحة (setting) واختر منها أسماء المحاور من المنسدلة لكل محور، المحور $\leftarrow V$ ، المحور $\leftarrow X$ ، والمحور $\leftarrow Y$. pB1

5 - شغل محرّك الهواء الحار كما تدرّبت عليه في الجزء الأول إذا عمل المحرّك كما ينبغي ، ابدأ بتشغيل البرنامج.

6- أدخل المقادير التالية إلى البرنامج من (Automatic Recording) للمجال الزمني بين كل قياسين ، وليكن 1 ms ، وعدد القياسات وليكن 250. ثم اضغط الزر من شريط الأدوات لتشغيل البرنامج، أو الزر F9 من لوحة المفاتيح. تظهر قيم V ، P ، V المسجلة.

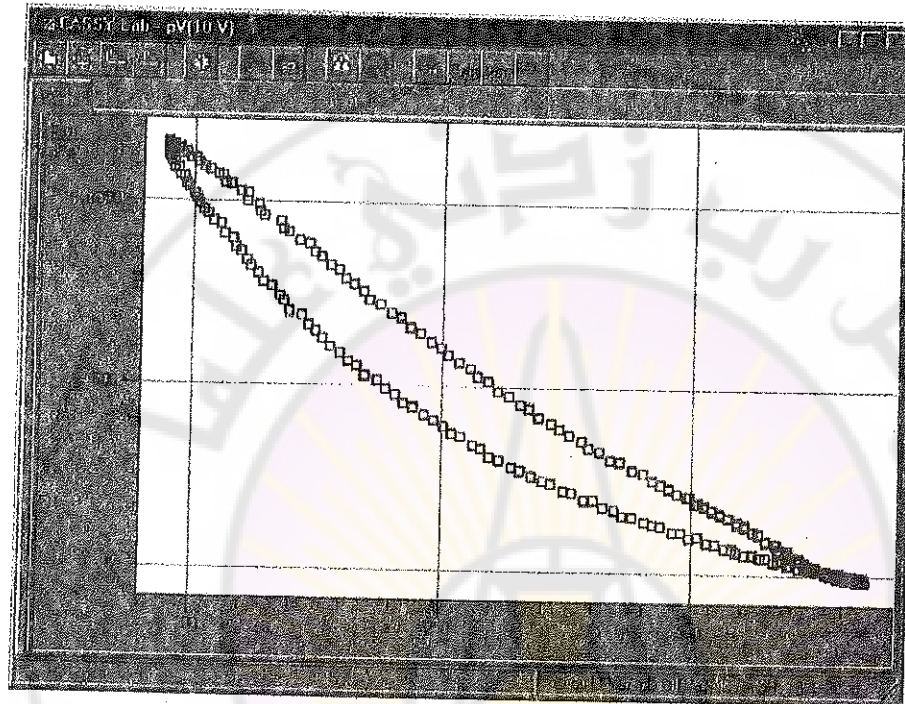


7 - بعد التأكّد من صحة رسم البرنامج للمخطط الذي يظهر كما يبيّنه الشكل (10)، غير عدد نقاط التسجيل إلى (500) كما في الخطوة (6) وغير كمون التسخين من 6V إلى 8V. وأعد الخطوة (6) مع تغيير كمون التسخين إلى 16V وسجل ملاحظاتك. قارن شكل الحلقة الناتجة مع حلقة محرّك ستربنج. ماذا تلاحظ؟

8 - احفظ نتائجك التي حصلت عليها بملف خاص من قائمة File.

9 - قم بحساب العمل الميكانيكي الذي أنجزه محرّك الهواء الحار عن طريق البرنامج CASSY مباشرةً من أجل قيم الكمون المستخدمة في الخطوة (6)

و (7). وذلك بان تضغط على الزر اليميني للفأرة (mouse) وتخترع منها حساب التكامل (Calculate integral)، وحدد المنطقة التي تريده حساب التكامل فيها، ولتكن كل المنحني (الحلقة الدائنة) كما يظهر في الشكل (10)



الشكل (10) : مخطط الدورة التي يظهرها البرنامج

- املا الجدول التالي:

| توتر التسخين (V) | العمل الميكانيكي (J) |
|---------------------|----------------------|
| 4 | |
| 8 | |
| 14 | |
| 18 | |

سجل القيم وناقش النتيجة . وارسم منحني العمل (W(V)).

11- يمكن رؤية تغير كل من الحجم برسم (t) V أي تغير الحجم مع الزمن من البرنامج بتغيير المحاور كما رأينا سابقاً، ثم الضغط مع الزمن. كما هو مبين في الشكل (9).

ملاحظات الأمان

لا يعمل محرك الهواء الساخن من تلقاء نفسه، فهو بحاجة إلى كمية حرارة (من الوشيعة الكهربائية في هذه الحالة)، ولذلك من الممكن أن لا تكفي الطاقة الحرارية المقدمة للمحرك ليقلع ويتقلب على مقاومات الحركة في المكبس ومفاصل الحركة. ولذلك لا بد من :

- 1 - استيعاب خصائص محرك الهواء الحار وأجزاءه.
- 2 - لا تستمر في تسخين هواء حجرة المكبس العامل إذا كان المحرك كسولاً وبطيئاً .
- 3 - تأكد دائماً من ثبات المحرك وأجزاءه الثابتة سابقاً.
- 4 - إذا توقف المحرك افصل الكهرباء عن الوشيعة مباشرة.
- 5 - اختبر سلامة نوافل الحركة والأجزاء المتنفصلة عند كل تجربة.
- 6 - لا تكشف أجزاء المحرك المغطاة إلا بوجود المشرف.
- 7 - لا تشغل محرك الهواء الساخن دون تبريد، وراقب تدفق وحركة ماء التبريد كلما أمكن ذلك.
- 8 - لا ترفع درجة حرارة الماء لأكثر من 30 درجة مئوية في مكان تبريد الاسطوانة.
- 9 - سخن وشيعة التسخين لدرجة حرارة عالية - حرارة اللون الأصفر) فقط عندما يعمل المحرك بسرعة، ولا تطبق درجة حرارة عالية ثابتة في عمليات مستمرة لفترة زمنية طويلة.

انتبه : تصبح أجزاء رأس الأسطوانة ومقابس الوصلات ساخنة جداً أثناء التشغيل الطويل.

10 - ركب شبكة حماية الأسطوانة.

11 - دع محرك الهواء الحار يبرد قبل إزالة كبلات الوصل أو قبل تبديل غطاء أسطوانة الرأس.



((الظواهر المرافقه في الدارات RCL ، RL ، RC))

عند تغذيتها من منبع تيار مستمر

الغایة من التجربة :

بناء شبكات رباعية الأقطاب مكونة من (مقاومة و مكثفه ، مقاومة و تحربيضية ، مقاومة و مكثفه و تحربيضية) ثم قياس مميزاتها بدلالة التواتر لدى تطبيق موجة توتر مستطيلة

تمهيد نظري :

إذا جرى تيار متغير($i(t)$) في عناصر خطية كال مقاومات والمكثفات والتحربيضيات فان العلاقة التي تربط بين هذا التيار و التوتر المتشكل بين كل عنصر منها تعطى بالشكل التالي :

$$V_R(t) = R i(t) \quad (1)$$

بالنسبة للمقاومة

$$V_C(t) = \frac{q(t)}{C} = \frac{1}{C} \int i(t) dt \quad (2)$$

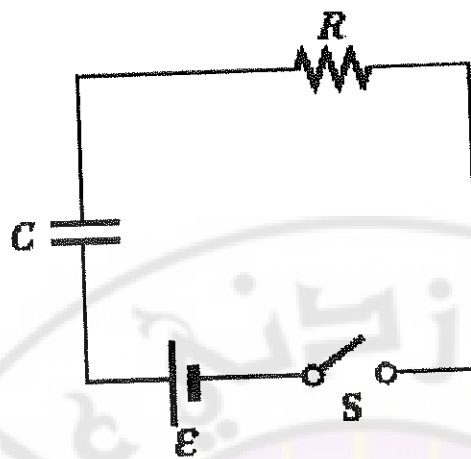
بالنسبة للمكثفه

$$V_L(t) = L \frac{di(t)}{dt} \quad (3)$$

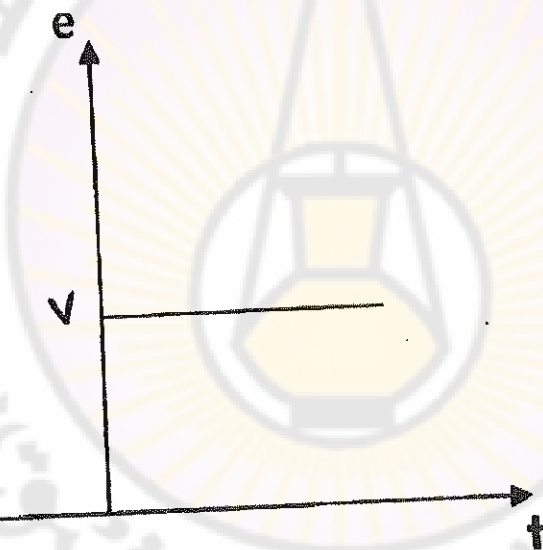
بالنسبة للتحربيضية

أولاً: حالة الدارة RC

لتكن الدارة المبينة في الشكل (1) والمكونة من R و C موصولة على التسلسل مع منبع التغذية ، ولنفرض أن المنبع يعطى إشارة على شكل نبضات مستطيلة و ذات سعة ثابتة V كما في الشكل (2)



الشكل (1)



الشكل (2)

تشير الدراسة النظرية إلى أن فرق التوتر المتشكل بين طرفي أي عنصر من الدارة يتعلق بحالة تشغيل الدارة.

فهي حالة الشحن : يكون لدينا في كل لحظة حسب الشكل (1) :

$$V = V_C + V_R \quad (4)$$

حيث V مقدار ثابت حسب الشكل (2). و المعادلة (4) يمكن كتابتها بالشكل:

$$V = \frac{1}{C} \int i dt + Ri$$

و باشتقاق هذه المعادلة نحصل على:

$$\frac{i}{C} + R \frac{di}{dt} = 0$$

و بعد فصل المتغيرات و المكاملة يكون لدينا:

$$i = \frac{V}{R} e^{-t/\tau} \quad (5)$$

حيث $\tau = RC$ و تدعى بالثابتة الزمنية للدارة. و بالعودة إلى العلاقة (4) يكون:

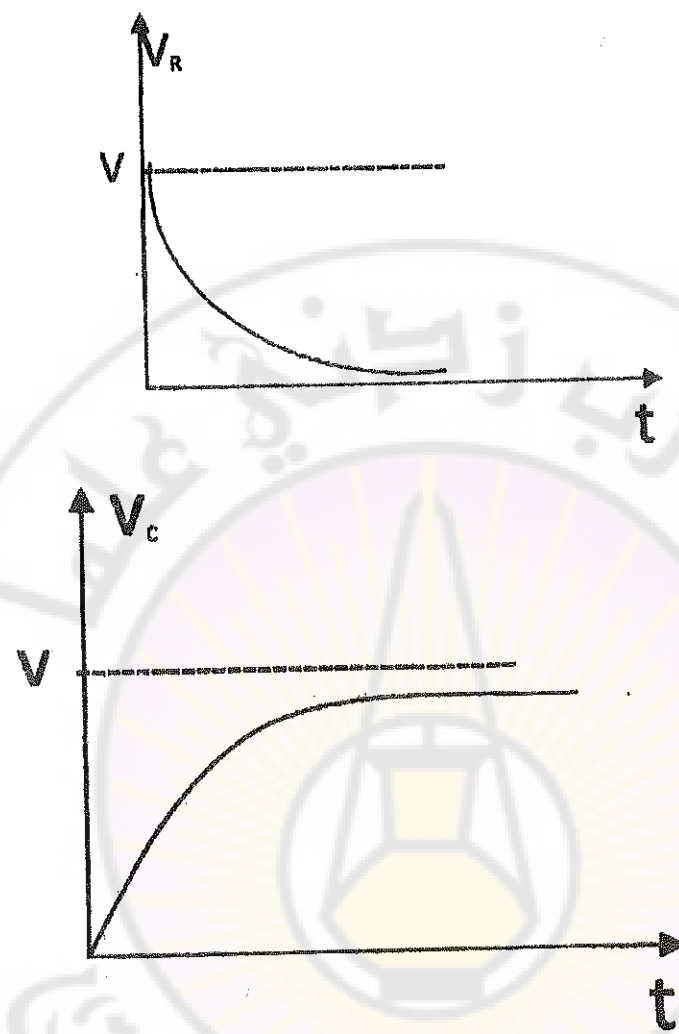
$$V = V_C + V e^{-t/\tau}$$

$$V_C = V(1 - e^{-t/\tau}) \quad (6)$$

أما التوتر بين طرفي المقاومة:

$$V_R = Ri(t) = V e^{-t/\tau} \quad (7)$$

يبين الشكل (3) المنحنيين الممثلين لكل من $V_R(t)$ و $V_C(t)$



الشكل (3)

أما في حالة التفريغ: يكون لدينا :

$$V_c(t) = V e^{-t/\tau} \quad (8)$$

$$V_R(t) = V(1 - e^{-t/\tau}) \quad (9)$$

يمكن عد الموجة المستطيلة \prod عمليتاً شحن وتفريغ.

ثانية حالة الدارة RL: في الدارة الموصولة على التسلسل الشكل (4) يكون:

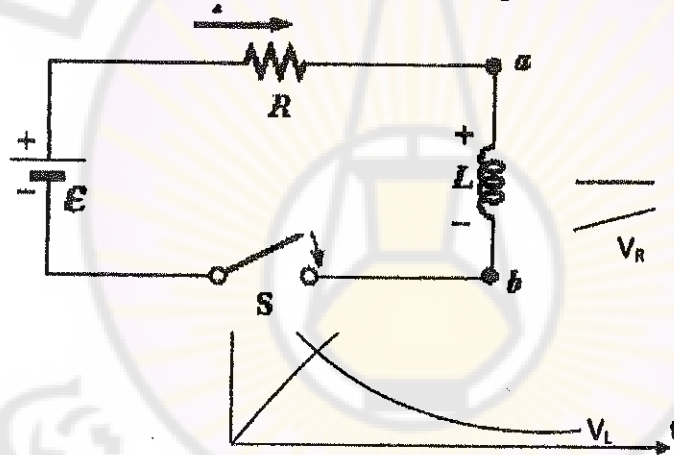
$$L \frac{di}{dt} + Ri = V \quad (10)$$

تدل الدراسة النظرية أن التوترين V_R , V_L يعطيان بعد مكاملة العلاقة (10) بالعلاقتين التاليتين:

$$V_R(t) = V(1 - e^{-t/\tau}) \quad (11)$$

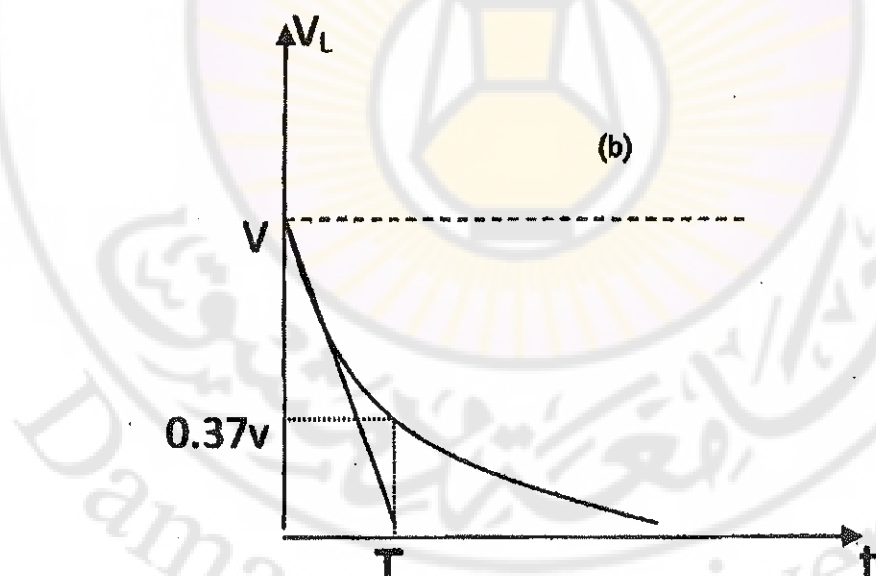
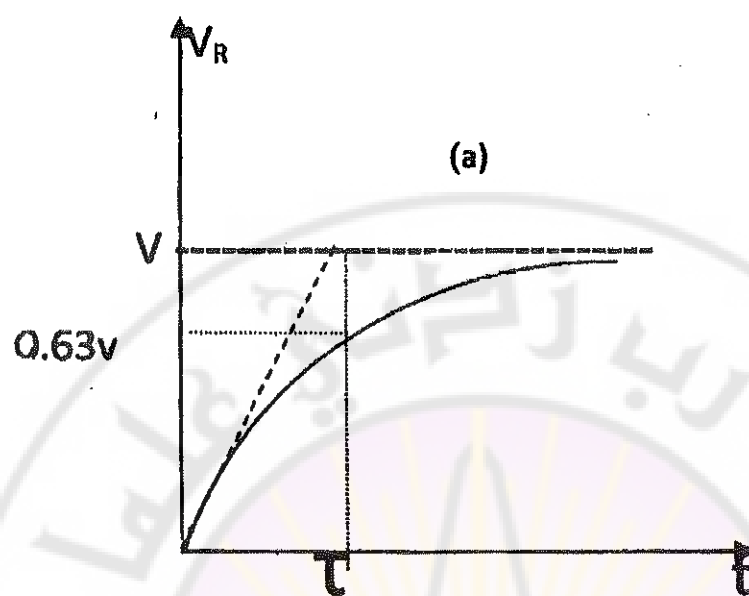
$$V_L(t) = L \frac{di}{dt} = \frac{L}{R} \cdot \frac{dV_R}{dt} = V e^{-t/\tau} \quad (12)$$

حيث $\tau = L/R$ وتدعى بالثابتة الزمنية للدارة. ويمثل الشكل (4) تغيرات كل من V_L و V_R مع الزمن.



الشكل (4)

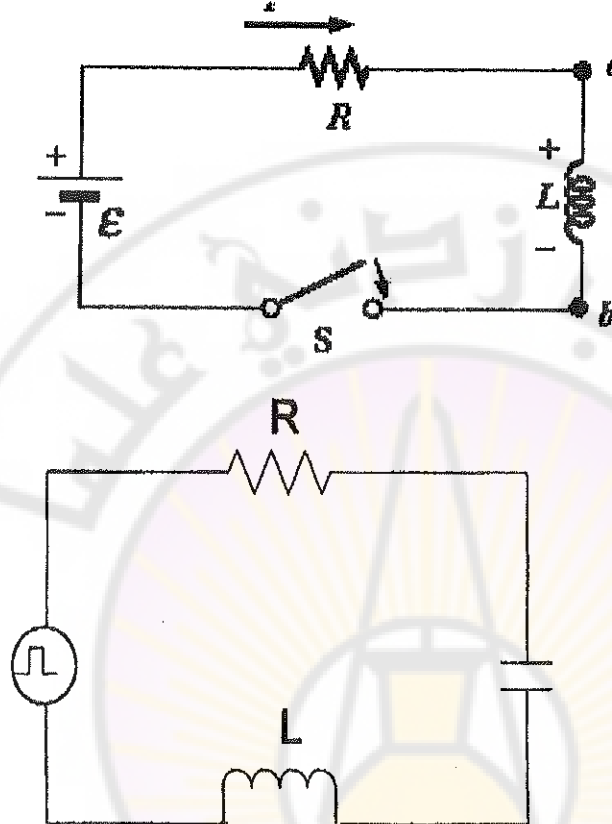
وتعين الثابتة الزمنية τ تجريبيا من التمثيل البياني لكل من $V_L(t)$ و $V_R(t)$ ، فإذا عوضنا في العلاقتين (11) و (12) $t = \tau$ يكون $V_L = 0.37 V$ و $V_R = 0.63 V$ على الترتيب وعلى هذا الأساس يمكن الحصول من المنحنيات التجريبية على قيمة τ (انظر الشكل 5 و a b)



الشكل (5)

ثالثاً: حالة الدارة RCL: الموصولة على التسلسل

بفرض أن الإشارة المطبقة على الدارة المبينة في الشكل (6)



الشكل (6)

على شكل نسبات مستطيلة وذات سعة ثابتة V كما في الشكل (2) تشير
دراسة النظرية أن الدارة تخضع لاحدي الأنظمة التالية و ذلك تبعاً لإشارة
المقدار :

$$\Delta = R^2 - \frac{4L}{C}$$

حيث Δ هو المميز في حل مشتق المعادلة التالية :

$$V = \frac{1}{C} \int i dt + Ri + I \frac{di}{dt}$$

الذي يكتب بالشكل :

$$L \frac{d^2 i}{dt^2} + R \frac{di}{dt} + \frac{i}{C} = 0$$

أو بالشكل :

$$\frac{L}{R} \frac{d^2 i}{dt^2} + \frac{di}{dt} + \frac{i}{RC} = 0 \quad (13)$$

المعادلة (13) هي عبارة عن معادلة تفاضلية نفرض أن حلها من الشكل:

$$i = i_0 e^{\omega t}$$

حيث ω عدد عقدي. و بعد التعويض في العلاقة (13) نحصل على:

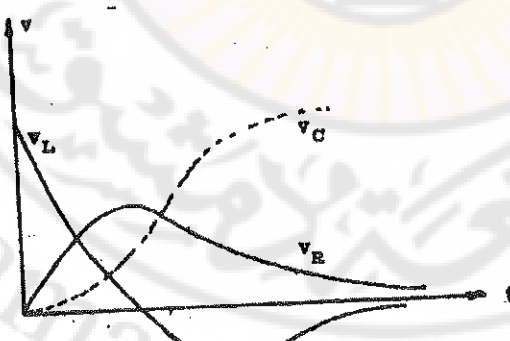
$$L\omega^2 + R\omega + \frac{1}{C} = 0 \quad (14)$$

و هي معادلة من الدرجة الثانية بالنسبة للمجهول ω و معين هذه المعادلة هو:

$$\Delta = R^2 - \frac{4L}{C} \quad (15)$$

و حسب قيمة المعين Δ يكون لدينا الأنظمة التالية:

- 1- النظام المتاخم اللادوري : في هذا النظام $\Delta > 0$ ويوضح الشكل (7) تغير التوترات V_L , V_R , V_C مع الزمن .



الشكل (7)

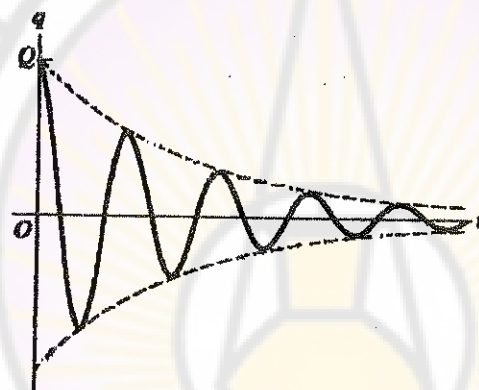
2- النظام المهتز المتزامد : في هذا النظام يكون $\Delta = 0$ ويعطى التوتر بين طرفي المكثف بالعلاقة :

$$V_C(t) = \left[1 - \left(\cos \omega t + \frac{\sin \omega t}{T_1 \omega} \right) \right] e^{-t/\tau_1} \quad (16)$$

$$\omega = \frac{1}{2L} \left(4 \frac{L}{C} - R^2 \right)^{1/2} \quad \text{و} \quad \tau_1 = \frac{2L}{R} \quad \text{حيث}$$

إن $V_C(t)$ هي موجة جيبية متزامدة بتواتر ثابت وبسعة متناظرة أسيًا الشكل (7A) حيث تعين كل من T_1 و ω تجريبياً على المنحنى ومن ثم استنتاج كل

من R, C, L



الشكل (7A)

3- النظام الحرج : في هذا النظام يكون $\Delta = 0$ ويمكن دراسة تحولات $V_L(t)$ و $V_R(t)$ و $V_o(t)$ و معرفة أشكالها

أولاً: الدراسة التجريبية للدارة RC

الأدوات والأجهزة المستخدمة :

1- لوحة وضع عليها مقاومة (50Ω) ومكثفة سعتها ($220\mu F$) مع قاطعة ثلاثة لدراسة الدارة RC أثناء التغذية من منبع مستمر .

2- كما توجد على اللوحة مقاومة ($2,2\text{K}\Omega$) ومكثفة سعتها ($0,06 \mu\text{F}$) لدراسة الدارة RC أثناء التغذية بمنبع يعطي نبضات مستطيلة.

3- مولد إشارة

4- وحدة تغذية تعطي توتراً مستمراً ($5\text{V} \pm 1,5\text{A}$)

5- راسم اهتزاز مهبطي

6- مقياس متعدد الأغراض

7- ساعة بعداد ثوالي

8- مقاييس ملائمة للراسم والمولد - أسلاك توصيل

ولا بد من الإشارة قبل البدء بالعمل إلى الملحوظات التالية :

ضرورة استخدام راسم الاهتزاز المهبطي في كل القياسات المطلوبة عند القيام بنقل أثار المنحنيات V_L ، V_C ، V_R المرسمة على شاشة راسم الاهتزاز إلى ورقة ملتحية جعل راسم الاهتزاز المهبطي على الوضع DC أثناء العمل مع ربط أرض راسم الاهتزاز بأرضي المنبع المولد للإشارة الأخذ بعين الاعتبار المقاومة الداخلية لمولد الإشارة والتي تساوي 600Ω عند إجراء الحسابات الضرورية .

تغذية الدارة RC من منبع ذي توتر مستمر :

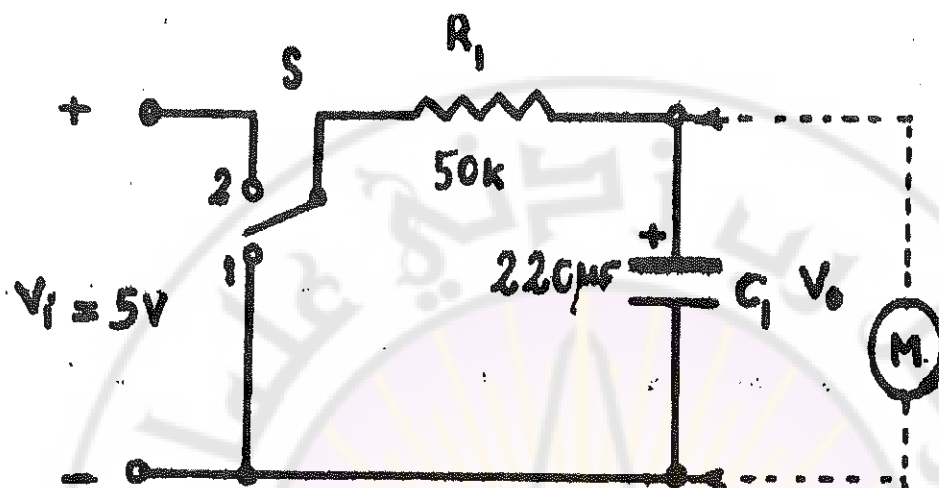
1- شحن المكثفة من خلال مقاومة :

1- استخدم اللوحة الخاصة بالتجربة للدارة المبينة في الشكل (8)

2- صل بين طرفي المكثفة مقياس فولط ذو مقاومة عالية إن القاطعة S ينبغي أن تكون في الوضع (1) الذي يظهر على الشكل وذلك قبل بدء التجربة.

3- انقل القاطعة S في لحظة البدء إلى الوضع الآخر (2) فتبدأ عملية شحن المكثفة . إن عملية الشحن تكون بطيئة من أجل القيم المختارة لكل

من المقاومة و المكثف بحيث نستطيع أخذ قراءات في الأرمنة المبيلة في
الجدول (1)



الشكل(8) يمثل التركيب المستخدم في شحن وتفریغ مکثفة خلال مقاومة من منبع
توتر مستمر D.C

الجدول(1) يمثل توتر الشحن V_c بدلالة الزمن (أثناء الشحن)

| t (s) | 0 | 5 | 10 | 15 | 20 | 25 | 30 | 35 | 40 | 45 | 60 | 70 |
|-----------|---|---|----|----|----|----|----|----|----|----|----|----|
| V_c (v) | | | | | | | | | | | | |

4- راقب مقياس الفولط بدءاً من لحظة نقل القاطعة S إلى الوضع الآخر وسجل
قراءات التوتر V بين طرفي المكثف التي يشير إليها عند كل زمن مسجل في
الجدول (1)

5 - استخدم معطيات الجدول (1) لإنشاء تمثيل بياني لتحولات توتر الشحن V_c
بدلالة زمن الشحن t على ورقة ملمترية

بـ - تطبيق المكثفة المشحونة خلال مقاومة

1. استخدم الدارة نفسها المبينة في الشكل (8)
2. ضع القاطعة كفي الوضع (2) الذي يسمح بوصول المقاومة R إلى ملبع التغذية المستمرة من أجل عملية الشحن ، وانتظر عدة دقائق قبل نقلها إلى الوضع (1) ، حيث تبدأ عملية التفريغ .
3. انقل القاطعة S إلى الوضع (1) ، وسجل قراءات مقياس الفولت V_c عند الأزمنة المبينة في الجدول (2)
4. استخدم معطيات الجدول (2) لإنشاء تمثيل بياني لتحولات توتر التفريغ V_c بدلالة زمن التفريغ t على ورقة ميلمترية ، أو على الورقة الميلمترية التي رسمت عليها منحنى الشحن ، وبذلك يمكن رؤية المنحنين معا
5. احسب الثابتة الزمنية للدارة RC من الشكل (8) وفق العلاقة $\tau = RC$

الجدول (2) يمثل توتر التفريغ V_c بدلالة الزمن t

| t (s) | 0 | 5 | 10 | 15 | 20 | 25 | 30 | 35 | 40 | 45 | 50 | 60 |
|-----------|---|---|----|----|----|----|----|----|----|----|----|----|
| V_c (V) | | | | | | | | | | | | |

6. احسب الثابتة الزمنية τ تجريبيا وذلك بالرجوع إلى الأشكال البيانية

وفق (5) انظر العلاقة (4) متبنا ما يلى:

- حدد على المنحنى قيمة التوتر الذي تصل إليه المكثفة بعد القضاء ثابتة زمنية واحدة ($t=t_1$) أثناء صعود المنحنى

وهو يعادل 0.63 من قيمة التوتر الأعظمي (أثناء الشحن) .

- استنتج قيمة الزمن τ_1 المقابل ل تلك القيمة .

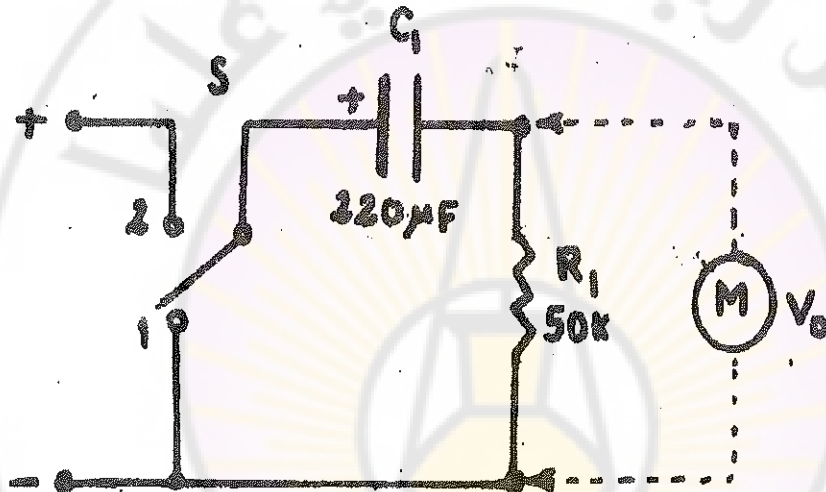
- اكتب النتيجة على الشكل :

$$S = \dots\dots\dots \tau_1$$

وهل يوجد اختلاف بين القيمة المحسوبة τ_1 والقيمة المقسدة τ_1 ؟

ـ تيار الشحن و تيار التفريغ للمكثفة في الدارة RC:

- صل الدارة كما في الشكل (9) مع تبديل مواقع المقاومة و المكثفة



الشكل (9)

يستدل على تيار الشحن و تيار التفريغ بقياس التوتر المتغير بين طرفي المقاومة في الدارة أثناء عملية الشحن و التفريغ ، من أجل ذلك اتبع ما يلي :

- 1 - ادخل المكثفة في البدء إلى دارة منبع التوتر المستمر بوضع القاطعة على الوضع 2 ثم ابدأ بقياس التوتر بين طرفي المقاومة R_1 عند كل زمان مسجل في الجدول (3)

2 - تعاد القاطعة إلى الوضعية (1) بعد مضي 75 ثانية و يعادأخذ قراءات التوتر V_R بين طرفي المقاومة في هذه الحالة ، لاحظ أن تيار التفريغ يعكس تيار الشحن في الجهة لذا يجب عكس مربطي مقياس الفولط بعد انتهاء مرحلة الشحن و قبيل نقل القاطعة إلى الوضع (1)

| | | | | | | | | | | | | |
|----------------|---|---|----|----|----|----|----|----|----|----|----|----|
| $t(s)$ | 0 | 5 | 10 | 15 | 20 | 25 | 30 | 35 | 40 | 45 | 60 | 75 |
| $V_R(v)$ | | | | | | | | | | | | |
| $\bar{V}_R(v)$ | | | | | | | | | | | | |

الجدول (3) قيم التوترات المقيسة بين طرفي المقاومة عند الشحن V_R و عند التفريغ \bar{V}_R

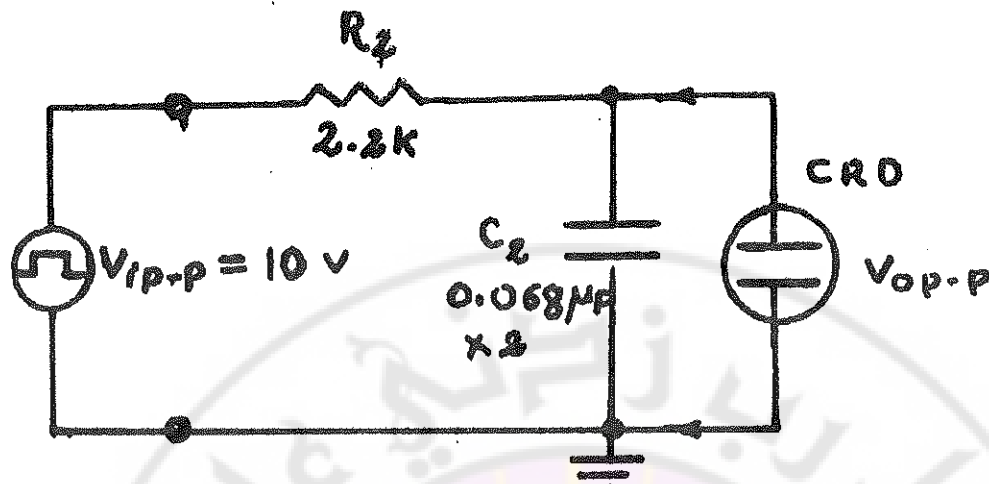
3- استخدم معطيات الجدول(3) لإنشاء تمثيل بياني لتحولات كل من توتر التفريغ \bar{V}_R وتوتر الشحن V_R بدلالة الزمن على ورقة ملمترية .

4- ما قيمة التوتر الأعظمي V_{0p-p} أثناء الشحن و التفريغ ؟

ثانياً - تغذية الدارة RC من توتر ذي موجة مستطيلة :

أ- شحن وتفريغ المكثفة :

1- ركب الدارة المبينة في الشكل (10) حيث تغذي الدارة من موجة توتر مستطيلة مأخوذة من مولد الإشارات .

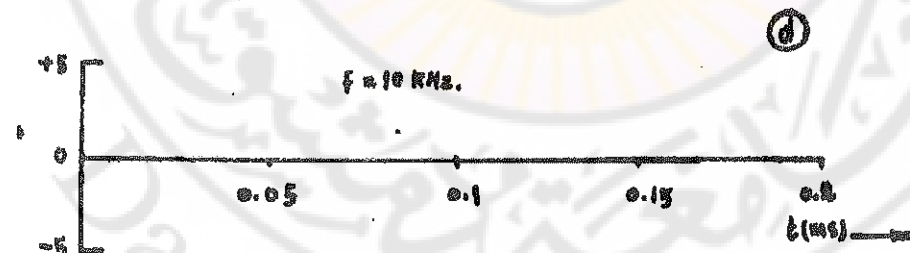
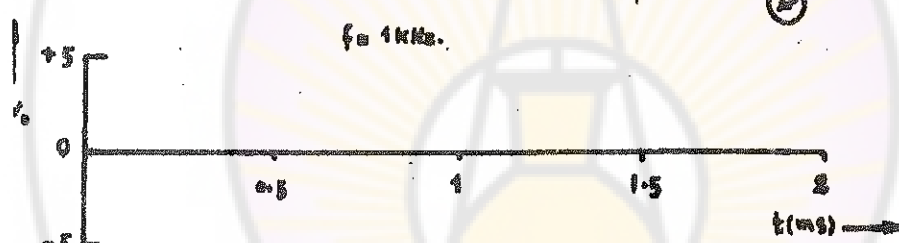
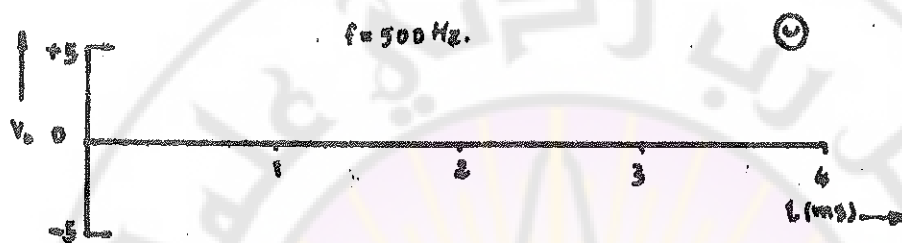
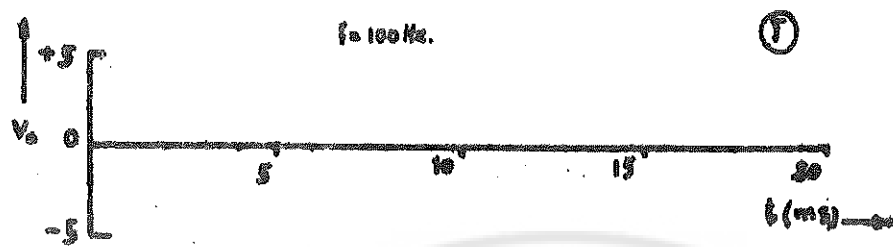


(الشكل(10)

-2 طبق على مدخل الدارة RC موجة مستطيلة سعتها من القمة إلى القمة $V_{ip-p}=10v$ مأخوذة من مولد الإشارات .

-3 صل راسم الاهتزاز المهيطي بطرفي المكثفة وشاهد الأثر V_{op-p} الذي يظهر على شاشته والمقابل للتواتر المتشكل بين طرفي المكثفة .

-4 اختر فيما متعددة لتواترات الإشارة المستطيلة أمثل: $1kHz, 10kHz, 100Hz, 500Hz$ ، وانقل الأثر الذي يظهر على شاشة الراسم الموافق لكل تواتر من التواترات السابقة على ورقة مليمترية كما في الشكل (11)



الشكل (11) مخططات توتر الخرج V_C التي تمثل توتر الشحن وتوتر التفريغ للمكثفة لدى تغذية دارة بموجة مستطيلة متغيرة التواتر .

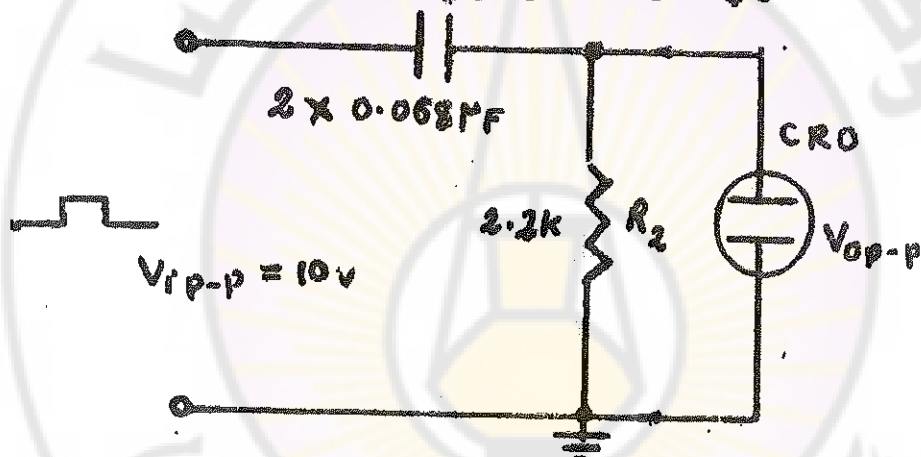
5- احسب الثابتة الزمنية النظرية للدارة المبينة في الشكل (10) من العلاقة

$$\tau = C_2 R_2$$

6- استنتج قيمة الثابتة الزمنية التجريبية τ من أحد الأشكال البيانية المرسومة على الورقة الملتمترية والمنقولة من راسم الاهتزاز وقارن بين القيمتين (النظرية والتجريبية).

ب- تيار الشحن وتيار التفريغ :

1- صل الدارة المبينة في الشكل (12) وهي كدارة الشكل (10) مع تبادل موضعى المقاومة والمكثفة ليصبح راسم الاهتزاز موصولاً بين طرفي المقاومة بدلاً من طرفي المكثفة



(الشكل (12)

2- انقل الآثار التي تراها على شاشة راسم الاهتزاز المهبطي والمقابلة

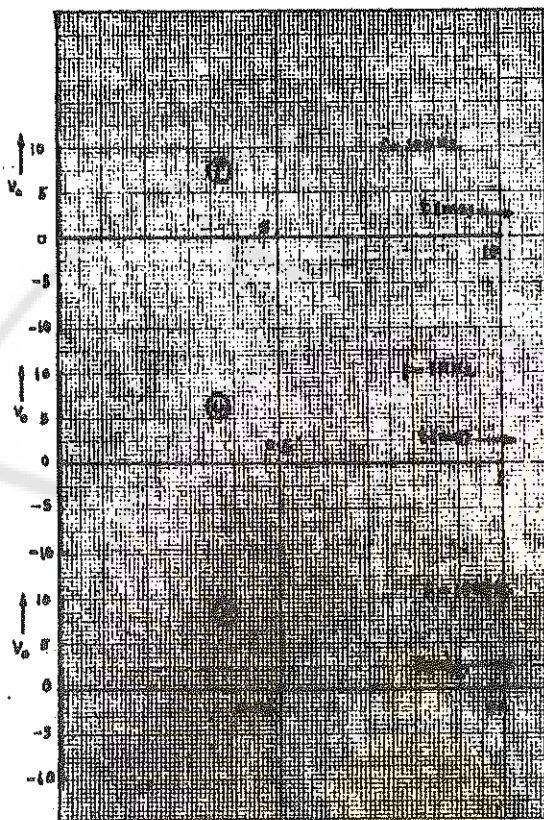
للتوافرات ($f=100\text{Hz}$ ، $f=1\text{kHz}$ ، $f=10\text{kHz}$) مع بقاء توتر الموجة

المستطيلة ثابتًا في كل مرة ويساوي ($V_{ip-p} = 10\text{v}$) وارسم

مخططاتها على ورقة مليمترية في الشكل (12)

3- احسب الثابتة الزمنية للدارة من العلاقة : $\tau = CR$

4- احسب الدور المقابل لكل تواتر من التواترات السابقة للموجة
المستطيلة



الشكل (13) مخططات توتر الخرج V_R التي تمثل تيار الشحن وتيار التفريغ للمكثفة لدى تغذية الدارة بموجة مستطيلة متغيرة التواتر.

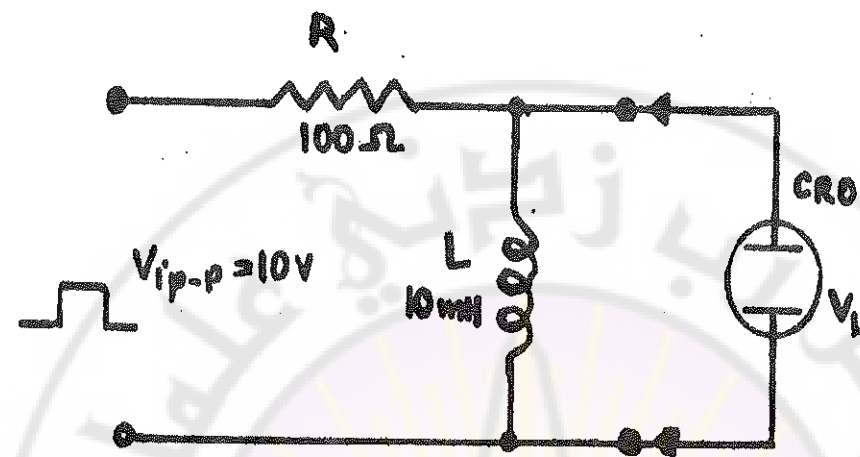
ثانياً: الدراسة المخبرية للدارة $R L C$

• الأدوات والأجهزة المستخدمة :

مقاومة 100Ω وشيعة تحريضها الذاتي $10mH$ بالإضافة إلى الأجهزة المستخدمة في تجربة الدارة RC .

• مراحل العمل :

(1) 1- ركب الدارة المبينة في الشكل (14)

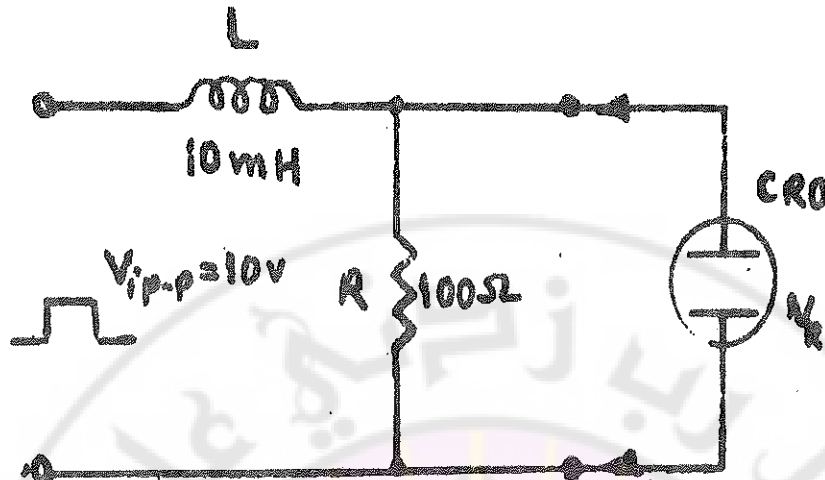


الشكل (14)

2 - صل مولد الإشارات إلى مدخل الدارة . واختر عليه الوضعية التي تعطي موجة مستطيلة ثم اجعل التوتر الداخلي التوتر لهذه الموجة مساويا 10V $V_{ip-p} = 10V$ بمساعدة راسم الاهتزاز .

3- صل راسم الاهتزاز المهيمني بين طرفي التحريضية
4- شاهد على شاشة الراسم آثار التوتر V_L بين طرفي التحريضية ولاحظ كيف يتغير هذا الآثر عندما يتغير تواتر الموجة المستطيلة عند القيم $f=100Hz, f=500Hz, f=10kHz, f=100kHz$) وانقل آثار التوتر V_L التي شاهدتها على شاشة راسم الاهتزاز على ورقة مليمترية أي (t) وهذا يمثل دراسة الاستجابة بالنسبة ل V_L .

بـ. قم بتبدل موضع المقاومة و التحريضية ليصبح راسم الاهتزاز موصولا بين طرفي المقاومة بدلا من التحريضية انظر الشكل (15)



الشكل (15) الدارة المستخدمة لدراسة الاستجابة

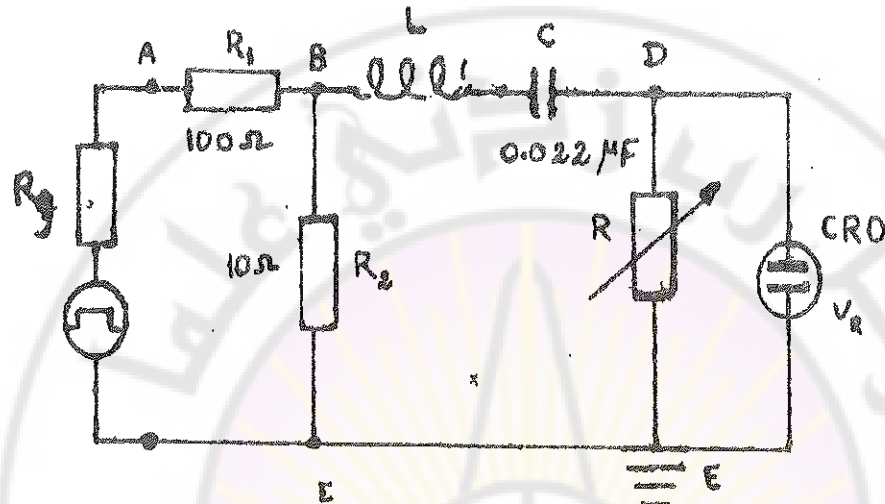
- 2- حافظ على قيمة توتر الدخل ثابتة عند القيمة $V_{ip-p} = 10V$ وخذ قيمًا مختلفة للتواتر وهي : ($f=10kHz$, $f=1kHz$, $f=500Hz$, $f=100Hz$) شاهد الأثر V_R المتشكل على شاشة راسم الاهتزاز عند كل تواتر من التواترات السابقة وانقله إلى ورقة ملمترية مع توخي الدقة في ذلك .
- 3- عند أي تواتر يبقى شكل موجة منحنى الخرج V_R أكثر شبهاً بشكل موجة الدخل ($V_{ip-p} = 10V$).

ثالثاً - الدراسة التجريبية للدارة : RCL

أ- حالة الوصل على التسلسل :

- 1- ركّب الدارة RCL المبينة في الشكل (16) حيث توصل بمولد الإشارات عن طريق مجزئ كمون من أجل خفض المقاومة الداخلية لمولد الإشارة التي تبلغ $\Omega = 600$.

إن استخدام مجزئ الکمون R_1R_2 المبين في الشكل (16) يجعل مقاومة المتبع الذي يغذي الدارة قريبة جداً من 10Ω حيث تكون الدارة RCL المدروسة من ملف هوائي يتالف من 1000 لفة و مكثفة سعتها $0.022\mu F$ ومن مقاومة R متصلة مع بعضها على التسلسل .

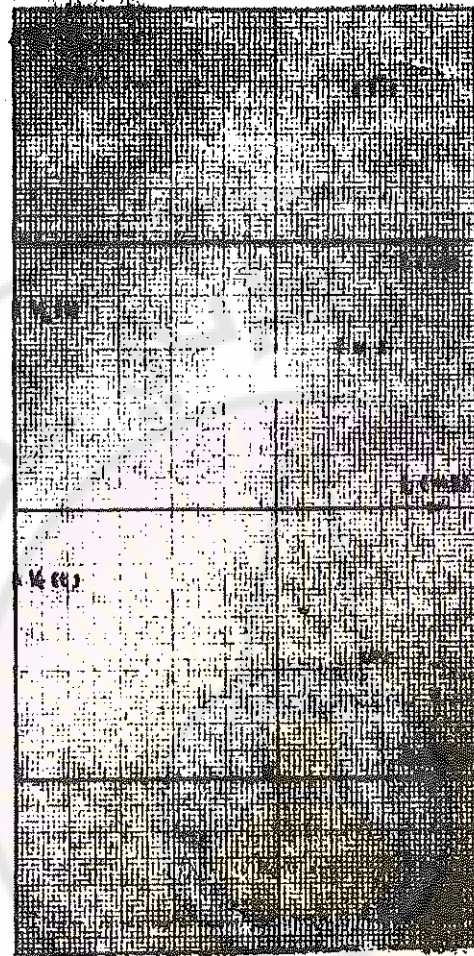


الشكل (16)

- اختر سعة للموجة المستطيلة تساوي 1 فولط بين النقطتين E و B قبل وصلهما بالدارة . استعن براسم الإهتزاز المهيطي CRO حصل مولد الإشارات بين النقطتين A و E من مجزئ الکمون ، و اختر عليه شكل الموجات المستطيلة بتوانر قدره $100Hz$.
- صل الدارة RCL بمجزئ الکمون بين النقطتين E و D كما هو مبين في الشكل (16) و صل مربطي راسم الإهتزاز بين النقطتين F و D .

- خذ قيمة ما للمقاومة R ثم انظر إلى الاستجابة ($V_R(t)$) على راسم الإهتزاز المهيطي . غير في قيمة المقاومة R حتى تحصل على استجابة ($V_R(t)$) يكون أثراها على راسم الإهتزاز شبيها بالمنحنى ($V_R(t)$) المبين على

- الشكل (7) وإذا تحقق ذلك فهذا يعني إن الدارة تعمل في النظام المتخدم اللادوري وبعد ذلك انقل الاستجابة $V_R(t)$ على ورقة ملتمتية في الجزء (أ) من الشكل (17).
- 5- بادل بين المقاومة و الملف في دارة الشكل (16) وانظر إلى شكل الاستجابة $V_L(t)$ على شاشة راسم الاهتزاز، ثم انقل الاستجابة $V_L(t)$ على ورقة ملتمتية في الجزء (ب) من الشكل (17).
- 6- بادل بين المقاومة و المكثفة في الشكل (16) ثم انظر إلى شكل الاستجابة V_c على شاشة راسم الاهتزاز وانقل الاستجابة $V_c(t)$ على ورقة ميليمترية في الجزء (ج) من الشكل (17).
- 7- حدد بيانياً من الرسم، الزمنين t_2, t_1 اللذين يجعلان $V_L(t_1) = 0$ و $V_L(t_2) = 0$ في نهاية صغرى. تأكد كذلك أن $V_R(t)$ يقابل نهاية عظمى.
- 8- انقل الدارة من النظام المتخدم اللادوري إلى النظامين الحرج ثم الاهتزازي وذلك بجعل المقاومة المتغيرة R تأخذ قيمًا متناقصة حتى تصل إلى الوضعين المذكورين.



الشكل(17) الاستجابة V_R, V_L, V_C في الدارة RCL في النظم المستخدم الالكتروني

-9 سجل قيمة المقاومة الموافقة لكل نظام:

$R=.....\Omega$ قيمة المقاومة في النظام الحر

$R=.....\Omega$ قيمة المقاومة في النظام الاهتزازي

- 10 - ثبت المقاومة R على القيمة التي تضع الدارة في النظام الاهتزازي المتخدم، ثم انقل الاستجابة (t) V_c على ورقة ميليمترية في الجزء (أ) من الشكل (18).

- 11 - ارسم الاهتزاز الجيبية المتخدمدة للاستجابة (t) V_c واحسب الثابتة الزمنية $\tau_1 = \frac{2L}{R}$ ثم استنتج قيمة L .

- 12 - احسب تواتر الاهتزاز الجيبية المتخدمدة f من الأثر $V_c(t)$ وقارنها بالقيمة التي تعطيها العلاقة :

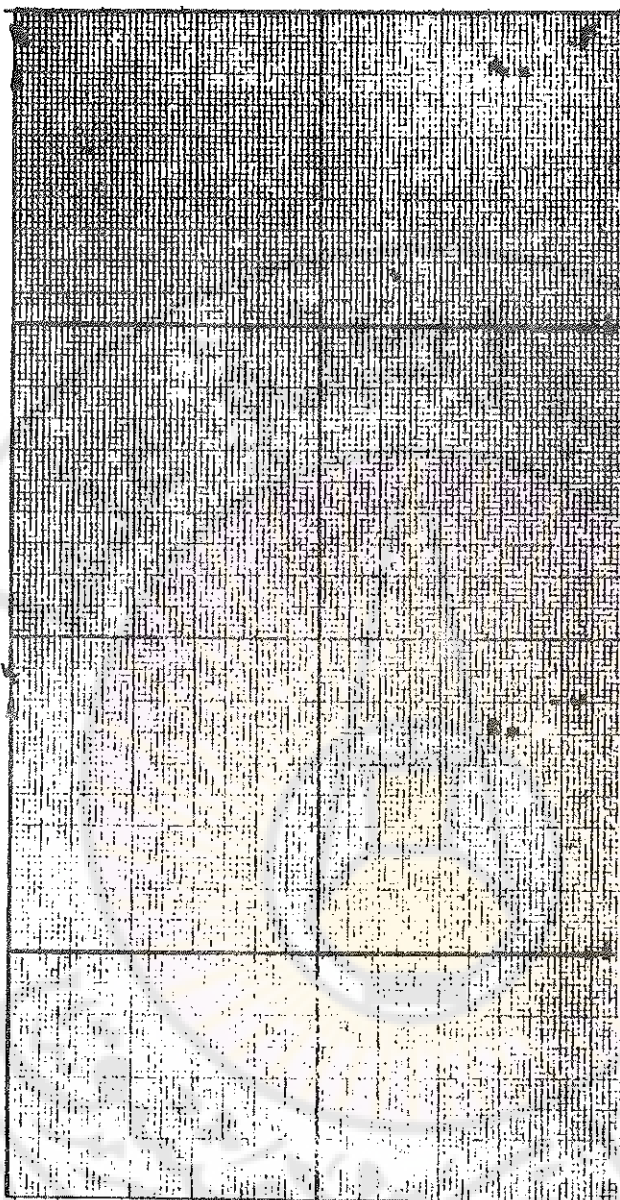
$$2\pi f = \omega = \frac{1}{2L} \left(\frac{4L}{C} - R^2 \right)^{1/2}$$

ضع النتيجة على الشكل :

$$f = \text{----- HZ}$$

$f = \text{----- HZ}$

- 13 - انقص المقاومة R تدريجيا وراقب الاستجابة (t) $V_c(t)$ على رسم الاهتزاز، ثم انقل أثر الاستجابة (t) V_c على ورقة ميليمترية الجزء (ب) من الشكل (18) من أجل قيمة منخفضة للمقاومة R .



الشكل (18) الدارة RCL التسلسليّة في النّظام الاهتزازي

| | |
|--------------------------------------------------------------|-----------------------------|
| $C = 3 \times 10^8 \text{ m/s}$ | سرعة الضوء في الفراغ |
| $e = 1.6 \times 10^{-9} \text{ coul}$ | شحنة الإلكترون |
| $m_e = 9.11 \times 10^{-31} \text{ kg}$ | كتلة الإلكترون |
| $m_p = 1.67 \times 10^{-27} \text{ kg}$ | كتلة البروتون |
| $m_n = 1.68 \times 10^{-27} \text{ kg}$ | كتلة النترون |
| $h = 6.63 \times 10^{-34} \text{ J.s}$ | ثابت بلانك |
| $R = 8.31 \text{ J/mol . k}$ | ثابت الغازات العام |
| $K = 1.38 \times 10^{-3} \text{ J/k}$ | ثابت بولتزمان |
| $P_0 = 760 \text{ mm Hg}$ $= 1.01 \times 10^5 \text{ Pa}$ | الضغط الجوي النظامي |
| $g = 9.81 \text{ m /s}^2$ | تسارع الجانبية الأرضية |
| $G = 6.67 \times 10^{-11} \text{ m}^3/\text{s}^2.\text{kg}$ | ثابت التجاذب العام |
| $\epsilon_0 = 8.85 \times 10^{-12} \text{ F/m}$ | سمالية الخلاء |
| $\mu_0 = 1.26 \times 10^{-6} \text{ H/m}$ | النفوذية المغناطيسية للخلاء |
| $1 \text{ ev} = 1.6 \times 10^{-19} \text{ coul}$ | الإلكترون فولط |

| | | | " | RADIAN | REV |
|----------------|------------------------|------------------------|---------------------|------------------------|------------------------|
| 1 degree = | 1 | 60 | 3600 | 1.745×10^{-3} | 2.778×10^{-6} |
| 1 minute = | 1.667×10^{-2} | 1 | 60 | 2.000×10^{-4} | 4.630×10^{-7} |
| 1 second = | 2.778×10^{-4} | 1.667×10^{-3} | 1 | 4.848×10^{-6} | 7.716×10^{-7} |
| 1 RADIAN = | 57.30 | 3438 | 2.063×10^3 | 1 | 0.1592 |
| 1 revolution = | 360 | 2.10×10^4 | 1.200×10^4 | 0.283 | 1 |

$$1 \text{ rev} = 2\pi \text{ radians} \approx 360^\circ \quad 1^\circ = 60' = 3600''$$

SI PREFIXES

| Factor | Prefix | Symbol | Factor | Prefix | Symbol |
|-----------|--------|--------|------------|--------|--------|
| 10^{18} | exa | E | 10^{-1} | deci | d |
| 10^{15} | peta | P | 10^{-2} | centi | c |
| 10^{12} | tera | T | 10^{-3} | milli | m |
| 10^9 | giga | G | 10^{-6} | micro | μ |
| 10^6 | mega | M | 10^{-9} | nano | n |
| 10^3 | kilo | k | 10^{-12} | pico | p |
| 10^2 | hecto | h | 10^{-15} | femto | f |
| 10^1 | deka | da | 10^{-18} | atto | a |

| SI | m^1 | m^3 | m/s | m/s^2 |
|---------------------------------------|--------|--------|--------|----------|
| cgs | cm^3 | cm^3 | cm/s | cm/s^2 |
| British engineering (conventional) | ft^2 | ft^3 | ft/s | ft/s^2 |

SOME UNITS AND ABBREVIATIONS

| | | | |
|----------------------|-----|--------------------------|-----|
| ampere | A | kelvin | K |
| atmosphere | atm | liter | L |
| British thermal unit | Btu | meter | m |
| calorie | cal | mile | mi |
| coulomb | C | minute | min |
| day | d | mole | mol |
| degree Celsius | °C | newton | N |
| degree Fahrenheit | °F | ohm | Ω |
| electron-volt | ev | pascal | Pa |
| farad | F | pound | lb |
| foot | ft | radian | rad |
| gauss | G | revolution | rev |
| gram | g | second | s |
| henry | H | tesla | T |
| hertz | Hz | unified atomic mass unit | u |
| horsepower | hp | volt | V |
| hour | h | watt | W |
| inch | in. | weber | Wb |
| joule | J | year | y |

LENGTH

| | cm | METER | km | in. | ft | nails |
|------------------|------------------------|---------------------------|---------------------------|------------------------|---------------------------|----------------------------|
| 1 centimeter = | 1 | 10^{-2} | 10^{-5} | 0.3937 | 3.281 $\times 10^{-2}$ | 0.314 $\times 10^{-2}$ |
| 1 METER = | 100 | 1 | 10^{-3} | 39.37 | 3.281 | 3.214 $\times 10^{-2}$ |
| 1 kilometer = | 10^3 | 1000 | 1 | 0.3937 | 3.281 | $\times 10^{-3}$ 0.6214 |
| 1 inch = | 2.540 | 2.540 $\times 10^{-2}$ | 2.540 $\times 10^{-5}$ | 1 | 3.282 $\times 10^{-2}$ | 1.076 $\times 10^{-2}$ |
| 1 foot = | 30.48 | 0.3048 | 3.048 $\times 10^{-5}$ | 12 | 1 $\times 10^{-2}$ | 1.094 $\times 10^{-2}$ |
| 1 statute mile = | 1.609 $\times 10^4$ | 1609 | 1.609 $\times 10^4$ | 6.386 $\times 10^4$ | 5280 | 1 $\times 10^{-4}$ |

1 angstrom (\AA) = 10^{-10} meter

1 X-unit = 10^{-8} meter

1 micron = 10^{-6} meter

1 millimicron ($\text{m}\mu$) = 10^{-9} meter

1 nautical miles = 1852 meters = 1.1508 statute miles = 6076.10 ft

1 light-year = 9.4600×10^{12} km

1 parsec = 3.084×10^{16} km

1 fathom = 6 ft

1 yard = 3 ft

1 rod = 16.5 ft

1 mill = 10^{-3} in.

AREA

| | METER ² | cm ² | ft ² | in. ² | acre mill |
|-----------------------|-------------------------|------------------------|------------------------|-------------------------|---------------------|
| 1 SQUARE METER = | 1 | 10^4 | 10.76 | | |
| 1 square centimeter = | 10^{-4} | 1 | 1.076×10^{-2} | 1550 | 1.074×10^3 |
| 1 square foot = | 0.090×10^{-2} | 929.0 | 1 | 0.1550 | 1.074×10^3 |
| 1 square inch = | 0.433×10^{-4} | 6453 | 0.044×10^{-2} | 144 | 1.073×10^3 |
| 1 circular mill = | 3.067×10^{-10} | 5.037×10^{-6} | 6.454×10^{-6} | 7.854×10^{-11} | 1.272×10^6 |

1 square miles = 37,874,400 ft² = 640 acres

1 acre = 43,560 ft²

1 barn = 10^{-28} meter²

VOLUME

| | METER ³ | cm ³ | l | fl ³ | lb. ³ |
|----------------------|------------------------|---------------------|------------------------|------------------------|------------------------|
| 1 CUBIC METER = | 1 | 10^6 | 1000 | 35.81 | 0.102×10^4 |
| 1 cubic centimeter = | 10^{-6} | 1 | 1.000×10^{-2} | 3.531×10^{-5} | 0.103×10^{-8} |
| 1 liter = | 1.000×10^{-3} | 1000 | 1 | 3.531×10^{-3} | 61.02 |
| 1 cubic foot = | 2.832×10^{-2} | 2.832×10^6 | 28.32 | 1 | 1728 |
| 1 cubic inch = | 1.639×10^{-5} | 16.39 | 1.639×10^{-3} | 3.737×10^{-4} | 1 |

1 U. S. fluid gallon = 4 U. S. fluid quarts = 8 U. S. pints = 128 U. S. fluid ounces = 331 lb.³

1 British Imperial gallon = the volume of 10 lb of water at 62° F = 277.43 in.³

1 liter = the volume of 1 kg of water at its maximum density = 1000.093 cm³

POWER

| | Btu/hr | ft-lb/min | ft-lb/sec | hp | cal/sec | kw | WATTS |
|-----------------------------------|------------------------|---------------------|------------------------|------------------------|------------------------|------------------------|--------|
| 1 British thermal unit per hour = | 1 | 12.97 | 0.2161 | 3.929×10^{-4} | 7.000×10^{-2} | 2.930×10^{-4} | 0.2930 |
| 1 foot-pound per minute = | 7.713×10^{-3} | 1 | 1.667×10^{-3} | 3.030×10^{-5} | 5.399×10^{-5} | 2.260×10^{-5} | 2.260 |
| 1 foot-pound per second = | 4.628 | 60 | 1 | 1.818×10^{-3} | 0.3289 | 1.256×10^{-3} | 1.256 |
| 1 horsepower = | 2845 | 5.8×10^4 | 850 | 1 | 178.2 | 0.7457 | 745.7 |
| 1 calorie per second = | 14.20 | 1.852×10^4 | 3.087 | 5.613×10^{-3} | 1 | 4.188×10^{-3} | 4.188 |
| 1 kilowatt = | 2412 | 4.625 | 737.6 | 1.341 | 289.9 | 1 | 1000 |
| 1 WATT = | 2.412 | $\times 10^4$ | 0.7376 | 1.341×10^{-3} | 0.2889 | 0.001 | 1 |

ELECTRIC CHARGE

| | abecoul | amp-hr | COUL | faraday | statecoul |
|--------------------------|-------------------------|-------------------------|-------------------------|-------------------------|------------------------|
| 1 abecoulomb (1 esu) = | 1 | 2.778×10^{-3} | 10 | 1.086×10^{-4} | 2.098×10^{16} |
| 1 ampere-hour = | 360 | 1 | 3600 | 3.730×10^{-3} | 1.079×10^{15} |
| 1 COULOMB = | 0.1 | 2.778×10^{-4} | 1 | 1.086×10^{-5} | 2.098×10^6 |
| 1 faraday = | 9652 | 26.81 | 9.652×10^4 | 1 | 2.098×10^{16} |
| 1 statecoulomb (1 esu) = | 3.336×10^{-11} | 9.266×10^{-14} | 3.336×10^{-10} | 3.456×10^{-15} | 1 |

1 electronic charge = 1.602×10^{-19} coulomb

ELECTRIC CURRENT

| | abamp | AMP | statamp |
|------------------------|-------------------------|-------------------------|------------------------|
| 1 abampere (1 esu) = | 1 | 10 | 2.098×10^{16} |
| 1 AMPERE = | 0.1 | 1 | 2.098×10^6 |
| 1 statampere (1 esu) = | 3.336×10^{-11} | 3.336×10^{-10} | 1 |

ELECTRIC POTENTIAL, ELECTROMOTIVE FORCE

| | abv | VOLTS | statv |
|----------------------|------------------------|-----------|-------------------------|
| 1 abvolt (1 esu) = | 1 | 10^{-3} | 3.336×10^{-11} |
| 1 VOLT = | 10^3 | 1 | 3.336×10^{-8} |
| 1 statvolt (1 esu) = | 2.098×10^{16} | 209.8 | 1 |

ELECTRIC RESISTANCE

| | abohm | OHMS | statohm |
|---------------------|------------------------|------------------------|-------------------------|
| 1 abohm (1 esu) = | 1 | 10^{-3} | 1.113×10^{-11} |
| 1 OHM = | 10^6 | 1 | 1.113×10^{-18} |
| 1 statohm (1 esu) = | 8.987×10^{30} | 8.987×10^{11} | 1 |

ELECTRIC RESISTIVITY

| | abohm-cm | ohm-cm | ohm-cm | statohm-cm | OHM-M | ohm-circle mill/ft |
|-----------------------------------|---------------------------|---------------------------|---------------------------|-------------------------|------------------------|---------------------------|
| 1 abohm-centimeter (1 esu) = | 1 | 0.001 | 10^{-6} | 1.113×10^{-21} | 10^{-11} | 0.015 $\times 10^{-8}$ |
| 1 micro-ohm- centimeter = | 1000 | 1 | 10^{-6} | 1.113×10^{-12} | 10^{-8} | 6.015×10^{-8} |
| 1 ohm-centimeter = | 10^6 | 10^6 | 1 | 1.113×10^{-12} | 0.01 | 6.015 $\times 10^6$ |
| 1 statohm-centimeter (1 esu) = | 8.987 $\times 10^{20}$ | 8.987 $\times 10^{17}$ | 8.987 $\times 10^{11}$ | 1 | 8.987 $\times 10^6$ | 5.408 $\times 10^{14}$ |
| 1 OHM-METER = | 10^{14} | 10^8 | 100 | 1.113×10^{-12} | 10^6 | 6.015×10^{14} |
| 1 ohm-circular mil per foot = | 166.2 | 0.1662 | 1.662×10^{-7} | 1.850×10^{-10} | 1.662×10^{-9} | 6.015×10^6 |

CAPACITANCE

| | abf | FARADS | μf^a | statf |
|------------------------|-------------------------|-------------------------|------------------------|------------------------|
| 1 abifarad (1 esu) = | 1 | 10^6 | 10^{16} | 8.987×10^{20} |
| 1 FARAD = | 10^{-6} | 1 | 10^6 | 8.987×10^{11} |
| 1 microfarad = | 10^{-12} | 10^{-6} | 1 | 8.987×10^6 |
| 1 statifarad (1 esu) = | 1.113×10^{-21} | 1.113×10^{-12} | 1.113×10^{-6} | 1 |

^a This unit is frequently abbreviated as mf.

INDUCTANCE

| | abhenry | HENRYS | μh | mh | statohenry |
|------------------------|------------------------|------------------------|------------------------|------------------------|-------------------------|
| 1 abhenry (1 esu) = | 1 | 10^{-6} | 0.001 | 10^{-6} | 1.113×10^{-21} |
| 1 HENRY = | 10^6 | 1 | 10^6 | 1000 | 1.113×10^{-12} |
| 1 microhenry = | 1000 | 10^{-6} | 1 | 0.001 | 1.113×10^{-12} |
| 1 millihenry = | 10^3 | 0.001 | 1000 | 1 | 1.113×10^{-15} |
| 1 statohenry (1 esu) = | 8.987×10^{20} | 8.987×10^{11} | 8.987×10^{17} | 8.987×10^{14} | 1.113×10^{-15} |

MAGNETIC FLUX

| | maxwell | kiline | WEBER |
|-------------------------------|---------|--------|-----------|
| 1 maxwell (1 line or 1 esu) = | 1 | 0.001 | 10^{-8} |
| 1 kiloline = | 1000 | 1 | 10^{-8} |
| 1 WEBER = | 10^8 | 10^8 | 1 |

1 esu = 299.8 webers

MAGNETIC INDUCTION B

| | gauss | kilolines/in. ² | WEBER/METER ² = TESLA | milligauss | |
|----------------------------------------|-----------|----------------------------|-------------------------------------|---------------------|---------------------|
| 1 gauss (lines per cm ²) = | 1 | 6.452×10^{-3} | 10^{-4} | 1000 | 10^6 |
| 1 kilolines per in. ² = | 165.0 | 1 | 1.650×10^{-3} | 1.650×10^6 | 1.650×10^9 |
| 1 WEBER per METER ² = | | | | | |
| 1 TESLA = | 10^4 | 84.52 | 1 | 10^7 | 10^9 |
| 1 milligauss = | 0.001 | 0.452×10^{-3} | 10^{-7} | 1 | 100 |
| 1 gamma = | 10^{-8} | 6.452×10^{-6} | 10^{-8} | 0.01 | 1 |

$$1 \text{ esu} = 2.098 \times 10^{-5} \text{ webers/meter}^2$$

MAGNETOMOTIVE FORCE

| | abamp-turn | AMP-TURN | gilbert |
|-------------------|------------------------|----------|---------|
| 1 abampere-turn = | 1 | 10 | 12.57 |
| 1 AMPERE-TURN = | 0.1 | 1 | 1.257 |
| 1 gilbert = | 7.988×10^{-7} | 0.7988 | 1 |

$$1 \text{ erggilbert} = 4 \pi \text{ amp-turn} \quad 1 \text{ esu} = 2.655 \times 10^{-11} \text{ amp-turn}$$

MAGNETIC FIELD STRENGTH H

| | abamp-turn/cm | amp-turn/cm | amp-turn/in. | AMP-TURN/METER | gauss |
|----------------------------------|------------------------|-------------|------------------------|----------------|------------------------|
| 1 abampere-turn per centimeter = | 1 | 10 | 25.40 | 1000 | 12.57 |
| 1 ampere-turn per centimeter = | 0.1 | 1 | 2.540 | 100 | 1.257 |
| 1 ampere-turn per inch = | 3.937×10^{-3} | 0.3937 | 1 | 39.37 | 0.4947 |
| 1 AMPERE-TURN per METER = | 0.001 | 0.01 | 2.540×10^{-3} | 1 | 1.257×10^{-2} |
| 1 oersted = | 7.988×10^{-8} | 0.7988 | 2.021 | 79.58 | 1 |

$$1 \text{ oersted} = 1 \text{ gilbert} \quad 1 \text{ esu} = 2.655 \times 10^{-8} \text{ amp-turn/meter}$$

$$1 \text{ gauss} = 4 \pi \text{ amp-turn/meter}$$

| الوحدة | النحوذ | النحوذ | النحوذ | النحوذ |
|------------------------------|-----------|---------------------|---------------------|--------|
| 10^{-3} meter, m | متر | mm | in | 8 |
| 2.5400×10^{-3} | اونس | in | ft | |
| 0.30480 | قدم | mi | mi | |
| 1609.4 | ميل | μ | μ | |
| 10^{-1} | كيلومتر | μm | μm | |
| 10^{-3} | ميكرومتر | A | A | |
| 10^{-15} | انتماروم | | | |
| Sec / Rev | دورة | sec ⁻¹ | rev ⁻¹ | |
| $0.30480 \text{ m.sec}^{-1}$ | كم/ثانية | m.sec ⁻¹ | m.sec ⁻¹ | |
| 0.4703 | ميبل/ساعة | mi.hr ⁻¹ | mi.hr ⁻¹ | |
| كيلوغرام | فران | g | g | |
| 14.594 | سل | slug | slug | |
| جتن | | m | m | |
| $10^{-3} \text{ newton, n}$ | دبى | F | force | |
| 0.13826 | باريل | N | N | |
| 4.4482 | جر | dynes | dynes | |
| | | poundal | poundal | |
| | | lb | lb | |
| 10^{-7} joule, J | erg | E | J | |
| 1.6019×10^{-9} | erg | | | |
| 3.6×10^6 | erg | | | |
| | كيلو | | | |
| | جول | | | |

| النوع | النحوه | النحوه | النحوه | النحوه |
|-----------------------------|---------------------------|-------------------------|--------|-----------------|
| جذب | جاذب | جاذب | جاذب | جاذب |
| 4.1861 joule.j | كيلو سريجي | cal (15°C) | E | الدبار البوزانى |
| 4.1861×10^3 | كيلو سريجي | kcal | | الدبار |
| 1.3593 | نون . جردة | lb.lb | | |
| 1054.6 | روندومتر لريبرطليبي | Blu | | |
| راتلا | | | | الاستلام |
| 10^{-3} watt.w | لوحة / | erg.sec ⁻¹ | P | |
| 4.1861 | لوحة / | cal.sec ⁻¹ | | |
| 0.29294 | روندومتر لريبرطليبي / سدا | Blu hr ⁻¹ | | |
| 1.3558 | لدوار ديجيتال | ft.lb.sec ⁻¹ | | |
| 746.00 | حشان بخاري | bP | | |
| بیوان / صدر مريح | ونجم - شتر مريح | P | | الضغط |
| 10^{-1} N.m ⁻² | dynes.cm ⁻² | | | |
| 6.8947×10^3 | lb.in ⁻² | | | |
| 1.0133×10^5 | atm | | | |
| 1.3332×10^6 | em - mercury | | | |
| كيلو غرام / اسبر مكعب | غرام / اسبر مكعب | g.cm ⁻³ | P.D | الكتمه الوروبية |
| 10^3 kg m ⁻³ | | | | |

| | | | | | |
|--------------------------------|-------------------------------------------------------------------------------|----------------------------------------|-----------------------------------------|------|-----------|
| میلیغرام/سینتر مکعب | 16.018 | بار/اسکوب | lb/in ² | P,D. | النورب |
| جرول اسکیو گرول اسکیو مشویہ | $4.1861 \times 10^5 \text{ j.kg}^{-1}(\text{c})^{-1}$ 4.1861×10^3 | cal.g ⁻¹ (C°) ⁻¹ | Btu/lb ⁻¹ (F°) ⁻¹ | c | النوراریا |
| کولون | (3×10^9) coulomb,coul | رعدتہ کراکیڈ | statcoul (esu) | q,Q | الشمع |
| فریلا | 10 | وحدة کوٹیڈی | abcoul (esu) | | |
| فولت | 300 volt,v | روحدہ کراکیڈ | statvolt (esu) | V | الکرنہ |
| فاراد | $1/(9 \times 10^9)$ farads | روحدہ کریلبیا | abvolt (esu) | | |
| فولت امپریٹر | 10^9 | روحدہ کراکیڈ | statfarad (esu) | C | لیل |
| فولت امپریٹر | $1/(36 \pi \times 10^9) \text{ A.m}^{-1}$ | روحدہ کریلبیا | abfarad (esu) | | |
| فریلا/سر | 10^3 v.v.m ⁻¹ | روندا | esu | e | الجیل |
| | 3×10^4 | روندا/ستتر | v.cm ⁻¹ | E | الجیل |
| | | روندا کراکیڈ | dyne.statcoul ⁻¹ (esu) | | الجیل |

| النظام | الوحدة | النظام | الوحدة |
|---------------------|--------|----------------------|-------------------|
| الدار المغناطيسي | D | مagnetic field | تعدد |
| مagnet | | 1/12π × 10³ coul.m⁻¹ | مغناطيس |
| 10³/4π | | Wb | وحدة كهرومغناطيسي |
| | | esu | |
| | | emu | وحدة كهرومغناطيسي |
| | | statamp (esu) | وحدة كهرومغناطيسي |
| 1/(3×10⁹)ampere,amp | | abamp (emu) | وحدة كهرومغناطيسي |
| 10⁹ | | statohm (esu) | وحدة كهرومغناطيسي |
| 9 × 10¹¹ ohm | | abohm (emu) | وحدة كهرومغناطيسي |
| 10⁻⁹ | | ohm.cm | وحدة المقاومة |
| 10⁻² ohm.m | | (ohm) - (ohm⁻¹) | وحدة المقاومة |
| 1.6624 × 10⁻² | | ohm (mi - m⁻¹) | وحدة المقاومة |
| 10⁻¹ weber.m⁻¹ | | gauss (emu) | الجالانس |
| 1.5500 × 10⁻¹ | | linein⁻¹ | الجالانس |
| 3 × 10⁻¹ | | esu | الجالانس |
| | | | الدان |
| | | maxwell (emu) | المجالين |
| 10⁻⁸ Weber | | Φ | |

| | | |
|----------------------------------------|----------------|-----------------|
| بلا | رجز | المدار المبتلى |
| 5×10^8 | رددن كروكمي | الدرل لشالبي |
| 10^{-9} henry.h | رددن كروطب | لترنيبا |
| 9×10^{11} | رددن كروكمي | stathenry (emu) |
| $4\pi \times 10^{-7} \text{ h.m}^{-1}$ | رددن كروطب | م |
| $10^8 \text{ amp - turn.m}^{-1}$ | amp - turn.EMU | الثروبي |
| $10^3/4\pi$ | أرست | شداء المدر |
| | oersted (emu) | لشالبي |

| المركب | درجة الحرارة الحرجة (درجة كلان) | نقطة النفط | الحجم المخرج (متر مكعب) |
|------------|------------------------------------|---------------|----------------------------|
| الأرجون | 151 | 4.864 | 75.2 |
| الكريتون | 289.8 | 5.877 | 118.8 |
| الميثان | 190.7 | 4.641 | 99.4 |
| الاكسجين | 154.8 | 5.076 | 74.4 |
| الثريجن | 126.2 | 3.394 | 90.1 |
| CO | 133 | 3.496 | 93.1 |
| أيتيلين | 283.1 | 5.117 | 124 |
| H2S | 373.6 | 9.008 | 98 |
| بروبان | 369.9 | 4.256 | 200 |
| استيلين | 309.5 | 6.242 | 113 |
| هكسان حلقي | 553.2 | 4.053 | 308 |
| بنزن | 562.1 | 4.924 | 260 |
| CO2 | 304.2 | 7.387 | 94 |
| أمونيا | 405.6 | 11.4 | 72.5 |
| بنزان | 469.5 | 3.374 | 311 |
| هكسان | 507.3 | 3.03 | 368 |
| ستيلين | 509.1 | 4.762 | 211 |
| مام | 647.3 | 22.09 | 56.8 |

جدول قيم الناقلة الحرارية لبعض الأجسام العازلة الصلبة.

| $\lambda \text{ W/cm . c}$ | أجسام عازلة |
|----------------------------|-------------|
| ٠,٠٢٢ | المرمر |
| ٠,٠٦ | القرميد |
| ٠,٠٣ | الخشب |
| ٠,٠٢٩ | الفلين |
| ٠,٠١٦ | الكاوتشك |
| ٠,٠١٢ | الصوف |
| ٠,٠٠٤ | الريش |
| $\lambda \text{ W/cm . c}$ | معادن نية |
| ٣,٨٨ | النحاس |
| ٤,١٩ | الفضة |
| ٢,٠٣ | الألمونيوم |
| ٠,٦١٩ | المطلييد |
| ٠,٠٦ | الماء |
| ٠,٠٨٣٦ | الزريق |
| ٠,٠٩٩٢٤ | المواد |

جدول قيم الناقلة الحرارية لبعض الملاط المعدنية للنهاكل مع التحاسن.

| $\lambda \text{ W/cm . C}$ | N% |
|----------------------------|-----|
| ٣٨٩ | ١٠ |
| ٠,٢٤٢ | ٣٠ |
| ٠,٢٢٦ | ٥٠ |
| ٠,٢٢٦ | ٧٠ |
| ٠,٢٨٩ | ٧٠ |
| ٠,٣٠٦ | ٨٠ |
| ٠,٥٨٦ | ١٠٠ |

جدول ببعض قيم ثوابت هان درفلس لبعض المواد:

| b | a | المادة |
|---------|--------|-----------|
| ٠,٠٢٦٦١ | ٠,٢٤٧٦ | الهيدرجين |
| ٠,٠٢٣٧ | ٠,٠٣٤٥ | الهليوم |
| ٠,٠٣٩١ | ١,٤٠٨ | الثريجيون |
| ٠,٠٣١٨٣ | ١,٣٧٨ | الأكسجين |
| ٠,٠٥٦٢٢ | ٦,٥٧٩ | الكلور |
| ٠,٠٢٧٨٩ | ١,٣٥٨ | NO |
| ٠,٠٤٤٢٤ | ٥,٣٤٥ | NO2 |

UNITS AND CONVERSION FACTORS

Energy

1 Joule =

| | |
|------------------------------------------|----------------------------------------------|
| 10^7 ergs | $(10^{-7} \text{ J}/\text{erg})$ |
| 0.2389 calories | $(4.186 \text{ J}/\text{cal})$ |
| 9.480×10^{-4} Btu | $(1055 \text{ J}/\text{Btu})$ |
| 9.869×10^{-3} liter-atmospheres | $(101.3 \text{ J}/\text{liter-atm})$ |
| 0.7376 foot-pounds | $(1.356 \text{ J}/\text{ft-pound})$ |
| 2.778×10^{-4} watt-hours | $(3600 \text{ J}/\text{watt-hr})$ |
| 3.724×10^{-7} horsepower-hours | $(2.685 \times 10^6 \text{ J}/\text{hp-hr})$ |

Pressure

1 Pascal =

| | |
|--------------------------------------------------------|---------------------------------------------|
| 1 Newton/m ² | |
| 10 dynes/cm ² | |
| 10 baryes | |
| 10^{-5} bars | |
| 1.450×10^{-4} psi (pounds/inch ²) | $(6897 \text{ Pa}/\text{psi})$ |
| 0.9869×10^{-4} atmospheres | $(1.013 \times 10^5 \text{ Pa}/\text{atm})$ |
| 7.5006×10^{-3} Torr (or "mm Hg") | $(133.3 \text{ Pa}/\text{Torr})$ |

Volume

1 m³ =

| | |
|----------------------------------------|--------------------------------------------------|
| 10^6 cm ³ | |
| 10^3 liters | |
| 6.1024×10^4 inch ³ | $(1.639 \times 10^{-5} \text{ m}^3/\text{in}^3)$ |
| 35.315 ft ³ | $(0.2832 \text{ m}^3/\text{ft}^3)$ |
| 264.17 U.S. gallons | $(3.785 \times 10^{-3} \text{ m}^3/\text{gal})$ |
| 219.97 British Imperial gallons | $(4.546 \times 10^{-3} \text{ m}^3/\text{gal})$ |

Temperature

$$T(\text{°C}) = T(\text{Kelvin}) - 273.15$$

$$T(\text{°R}) = 1.8 \times T(\text{Kelvin})$$

$$T(\text{°F}) = T(\text{°R}) - 459.67 = 1.8 \times T(\text{°C}) + 32$$

CONSTANTS

$$R = 8.314 \text{ Joule/mole-Kelvin} = 1.986 \text{ calories/mole-Kelvin}$$

$$k_B = 1.381 \times 10^{-23} \text{ Joules/Kelvin}$$

$$N_A = R/k_B = 6.022 \times 10^{23} / \text{mole}$$

$$h = 6.626 \times 10^{-34} \text{ Joule-sec}$$

| Physical Quantity | Symbol | SI | Gaussian |
|--------------------|-----------|--------------------------------|-----------------------------------------------------------------|
| Length | l | 1 meter (m) | 10^2 centimeters (cm) |
| Mass | m | 1 kilogram (kg) | 10^3 grams (g) |
| Time | t | 1 second (s) | second (s) |
| Frequency | ν | 1 hertz (Hz) | hertz (Hz) |
| Force | F | 1 newton (N) | 10^5 dynes |
| Work | W | 1 joule (J) | 10^7 ergs |
| Energy | U | 1 joule (J) | 10^7 ergs |
| Power | P | 1 watt (W) | 10^7 ergs s^{-1} |
| Charge | q | 1 coulomb (C) | 3×10^9 statcoulombs |
| Charge density | ρ | $1 C m^{-3}$ | 3×10^3 statcoul cm^{-3} |
| Current | I | 1 ampere (A) | 3×10^9 statamperes |
| Current density | J | $1 A m^{-2}$ | 3×10^5 statamp cm^{-2} |
| Electric field | E | 1 volt m^{-1} ($V m^{-1}$) | $\frac{1}{3} \times 10^{-4}$ statvolt cm^{-1} |
| Potential | Φ, V | 1 volt (V) | $\frac{1}{300}$ statvolt |
| Polarization | P | $1 C m^{-2}$ | 3×10^5 dipole moment cm^{-3} |
| Displacement | D | $1 C m^{-2}$ | $12\pi \times 10^5$ statvolt cm^{-1} (statcoul cm^{-2}) |
| Conductivity | σ | 1 siemens m^{-1} | 9×10^9 s^{-1} |
| Resistance | R | 1 ohm (Ω) | $\frac{1}{9} \times 10^{-11}$ $s cm^{-1}$ |
| Capacitance | C | 1 farad (F) | 9×10^{11} cm |
| Magnetic flux | ϕ, F | 1 weber (Wb) | 10^8 gauss cm^2 or maxwells |
| Magnetic induction | B | 1 tesla (T) | 10^4 gauss (G) |
| Magnetic field | H | $1 A m^{-1}$ | $4\pi \times 10^{-3}$ oersted (Oe) |
| Magnetization | M | $1 A m^{-1}$ | 10^{-3} magnetic moment cm^{-3} |
| Inductance* | L | 1 henry (H) | $\frac{1}{9} \times 10^{-11}$ |

| Quantity | Gaussian | SI |
|--------------------------------------------------------------------|------------------------------------------|-----------------------------|
| Velocity of light | c | $(\mu_0 \epsilon_0)^{-1/2}$ |
| Electric field (potential, voltage) | $E(\Phi, V)/\sqrt{4\pi\epsilon_0}$ | $E(\Phi, V)$ |
| Displacement | $\sqrt{\epsilon_0/4\pi} D$ | D |
| Charge density (charge, current density, current, polarization) | $\sqrt{4\pi\epsilon_0} \rho(q, J, I, P)$ | $\rho(q, J, I, P)$ |
| Magnetic induction | $\sqrt{\mu_0/4\pi} B$ | B |
| Magnetic field | $H/\sqrt{4\pi\mu_0}$ | H |
| Magnetization | $\sqrt{4\pi/\mu_0} M$ | M |
| Conductivity | $4\pi\epsilon_0\sigma$ | σ |
| Dielectric constant | $\epsilon_0\epsilon$ | ϵ |
| Magnetic permeability | $\mu_0\mu$ | μ |
| Resistance (impedance) | $R(Z)/4\pi\epsilon_0$ | $R(Z)$ |
| Inductance | $L/4\pi\epsilon_0$ | L |
| Capacitance | $4\pi\epsilon_0 C$ | C |

$$c = 2.997\ 924\ 58 \times 10^8 \text{ m/s}$$

$$\epsilon_0 = 8.854\ 187\ 8 \dots \times 10^{-12} \text{ F/m}$$

$$\mu_0 = 1.256\ 637\ 0 \dots \times 10^{-6} \text{ H/m}$$

$$\sqrt{\frac{\mu_0}{\epsilon_0}} = 376.730\ 3 \dots \Omega$$

Ideal-gas specific heats of various common gases

(a) At 300 K

| Gas | Formula | Gas constant, R kJ/kg · K | c_p kJ/kg · K | c_v kJ/kg · K | k |
|-----------------|--------------------------------|------------------------------|--------------------|--------------------|-------|
| Air | — | 0.2870 | 1.005 | 0.718 | 1.400 |
| Argon | Ar | 0.2081 | 0.5203 | 0.3122 | 1.667 |
| Butane | C ₄ H ₁₀ | 0.1433 | 1.7164 | 1.5734 | 1.091 |
| Carbon dioxide | CO ₂ | 0.1889 | 0.846 | 0.657 | 1.289 |
| Carbon monoxide | CO | 0.2068 | 1.040 | 0.744 | 1.400 |
| Ethane | C ₂ H ₆ | 0.2765 | 1.7662 | 1.4897 | 1.186 |
| Ethylene | C ₂ H ₄ | 0.2064 | 1.5482 | 1.2618 | 1.237 |
| Helium | He | 2.0769 | 5.1926 | 3.1166 | 1.667 |
| Hydrogen | H ₂ | 4.1240 | 14.307 | 10.163 | 1.405 |
| Methane | CH ₄ | 0.5182 | 2.2537 | 1.7354 | 1.299 |
| Neon | Ne | 0.4119 | 1.0299 | 0.6179 | 1.667 |
| Nitrogen | N ₂ | 0.2968 | 1.039 | 0.743 | 1.400 |
| Octane | C ₈ H ₁₈ | 0.0729 | 1.7113 | 1.6385 | 1.044 |
| Oxygen | O ₂ | 0.2598 | 0.918 | 0.658 | 1.395 |
| Propane | C ₃ H ₈ | 0.1885 | 1.6794 | 1.4909 | 1.126 |
| Steam | H ₂ O | 0.4615 | 1.8723 | 1.4108 | 1.327 |

Note: The unit kJ/kg · K is equivalent to kJ/kg · °C.

SOME PHYSICAL PROPERTIES

Air (dry, at 20°C and 1 atm)

| | |
|---------------------------------------------|------------------------|
| Density | 1.21 kg/m ³ |
| Specific heat capacity at constant pressure | 1010 J/kg · K |
| Ratio of specific heat capacities | 1.40 |
| Speed of sound | 343 m/s |
| Electrical breakdown strength | 3×10^6 V/m |
| Effective molar mass | 0.0289 kg/mol |

Water

| | |
|---------------------------------------------|------------------------|
| Density | 1000 kg/m ³ |
| Speed of sound | 1460 m/s |
| Specific heat capacity at constant pressure | 4190 J/kg · K |
| Heat of fusion (0°C) | 333 kJ/kg |
| Heat of vaporization (100°C) | 2260 kJ/kg |
| Index of refraction ($\lambda = 589$ nm) | 1.33 |
| Molar mass | 0.0180 kg/mol |

Earth

| | |
|-----------------------------------------------|-----------------------------------------|
| Mass | 5.98×10^{24} kg |
| Mean radius | 6.37×10^6 m |
| Free fall acceleration at the Earth's surface | 9.81 m/s ² |
| Standard atmosphere | 1.01×10^5 Pa |
| Period of satellite at 100 km altitude | 86.3 min |
| Radius of the geosynchronous orbit | 42,200 km |
| Escape speed | 11.2 km/s |
| Magnetic dipole moment | 8.0×10^{22} A · m ² |
| Mean electric field at surface | 150 V/m, down |

Distance to:

| | |
|---------------------------------|-------------------------|
| Moon | 3.82×10^8 m |
| Sun | 1.50×10^{11} m |
| Nearest star | 4.04×10^{16} m |
| Galactic center | 2.2×10^{20} m |
| Andromeda galaxy | 2.1×10^{22} m |
| Edge of the observable universe | $\sim 10^{26}$ m |



قائمة المصطلحات

- A -

| الإنكليزية | العربية |
|----------------------------|----------------------|
| Absolute | مطلق |
| Absolute Temperature | درجة حرارة مطلقة |
| Absolute Temperature scale | سلم درجة حرارة مطلقة |
| Absolute Zero | صفر مطلق |
| Adiabatic compression | انضغاط كظوم |
| Adiabatic expansion | تمدد كظوم |
| Adiabatic transformation | تحول كظوم |
| Adiabatic | كظوم |
| Acceleration | تسارع |
| Angular Acceleration | تسارع زاوي |
| Coriolis Acceleration | تسارع كوريولس |
| Constant Acceleration | تسارع ثابت |
| Centripetal Acceleration | تسارع جاذب |
| Normal Acceleration | تسارع ناظمي |
| Relative Acceleration | تسارع نسبي |
| Resultant Acceleration | تسارع محصل |
| Tangential Acceleration | تسارع مماسي |
| Average Acceleration | تسارع وسطي |
| Accelerator | مسرع |
| Action | فعل |

| Contact Action | فعل التماس |
|----------------------|---------------|
| Air | هواء |
| Air Resistance | مقاومة الهواء |
| Alternating | متناوب |
| Alternating current | تيار متناوب |
| Alternator | مذويبة |
| Areas Law | قانون المسطوح |
| Altitude | ارتفاع |
| Amber | عنبر / كهرمان |
| Ammeter | مقاييس أمبير |
| Ampere | أمير |
| Amplification factor | عامل تضخيم |
| Amplitude | مطال، سعة |
| Angular | زاوي |
| Angular Velocity | سرعة زاوية |
| Anode | مصد / أنود |
| Arc | قوس |
| Archimedes Principle | مبدأ أر خميدس |
| Atmosphere | جو |
| Atom | ذرة |
| Attraction | تجاذب / جذب |
| Atwood's machine | آلة أوتود |
| Axis fixed | محور ثابت |

| | |
|-------------|------------|
| Attraction | تجاذب |
| Anisotropic | لا متناظري |
| Analytic | تحليلي |

- B -

| | |
|----------------------|--------------------|
| Balance | ميزان |
| Band | عصابة، شريط |
| Bandwidth | عرض العصابة |
| Bar | قضيب |
| Base | قاعدة |
| Bernoulli's equation | معادلة برنولي |
| Bar center | مركز الفعل |
| Biot-Savart Law | قانون بيو-سافار |
| Black body | جسم أسود |
| Black body radiation | إشعاع الجسم الأسود |
| Boiling | غليان |
| Boltzmann constant | ثابت بولتزمان |
| Boyles Law | قانون بويل |
| Buoyant force | قوة الطفو |

C-

| | |
|-----------------|-------------|
| Caloric | حراري |
| Calorie | حريرة |
| Calorific power | قدرة حرارية |

| | |
|---------------------------|---------------------|
| Calorimeter | مسعر |
| Capacitive | وشنع |
| Capacitive reactance | رذبة وسعة |
| Capacitor | مكثف |
| Capacity | سعة |
| Carrier | حامل |
| Carrier of charge | حامل الشحنة |
| Cathode | ميهط ، كاتود |
| Cathode rays | أشعة مهبطية |
| Cathode-rays oscillograph | رامس اهتزاز مهبطي |
| Celsius degree | درجة سلزريوس، منوية |
| Celsius scale | سلم سلزريوس |
| Charge | شحنة |
| Charged | مشحون |
| Circuit | دارة كهربائية |
| Cloud | خيمة |
| Coercive field | حقل قاهر |
| Coil | وشيحة |

| | |
|---------------------------|--------------|
| Conductor | ناقل |
| Conduction | نقل |
| Conductance | لائقة |
| Connect | يصل |
| Conservative | محافظ |
| Conservative filed | حقل محافظ |
| Cool | بارد |
| Coolant | مبرّد |
| Cooling | تبريد |
| Coulomb | كولون |
| Current | تيار |
| Calculus | حساب |
| Calorie | حريرة |
| Capillarity | خاصة شعرية |
| Tube Capillarity | أنبوب شعري |
| Center | مركز |
| Mass Center | مركز الكتلة |
| Gravity Center | مركز الثقل |
| Inertia Center | مركز العطالة |
| Center field | حقل مركزي |

| | |
|----------------------------------|-----------------------------|
| Center farce | قوة مركزية |
| Centrifugal force | فورة جانبية |
| Change of state | تغير الحالة |
| Collision | تصادم |
| Elastic Collision | تصادم مرن |
| Inelastic Collision | تصادم غير مرن |
| Conservation | الاحفاظ |
| Conservation of angular momentum | الاحفاظ كمية الحركة الزاوية |
| Conservation of energy | الاحفاظ الطاقة |
| Conservation theorems | نظريات الاحفاظ |
| Classical | تقليدي |
| Classical Mechanics | ميكانيك تقليدي |
| Critical | حرج |
| Critical frequency | توائز حرج |
| Critical point | نقطة حرج |
| Critical potential | كمون حرج |
| Critical volume | حجم حرج |
| Critical pressure | ضغط حرج |
| Coefficient | معامل |
| Friction Coefficient | معامل الاحتكاك |
| Viscous Coefficient | معامل اللزوجة |
| Conductor | ناقل |

| | |
|-------------------------|--------------------|
| Continuity | استمرار |
| Constant | ثابت |
| Components | مركبات |
| Couple | مزدوجة |
| Cross | مقطع |
| Cycle | حلقة، دورة |
| Coordinates | إحداثيات |
| Cartesian Coordinates | إحداثيات ديكارترية |
| Cylindrical Coordinates | إحداثيات اسطوانية |
| Polar Coordinates | إحداثيات قطبية |
| Spherical Coordinates | إحداثيات كروية |
| Curve | ملحن |

- D -

| | |
|-----------------------|--------------------------|
| Density | كثافة |
| d.c | تيار مستمر |
| d.c generator | مولاد تيار مستمر |
| Demagnetizing field | حقل مزيل للمغناطيسة |
| Demagnetization | إزالة المغناطيسة |
| Densimeter | مقاييس كثافة |
| Diamagnetic | معاكس المغناطيسية |
| Diamagnetic materials | مواد ذات مغناطيسية معاكس |
| Diamagnetism | مغناطيسية معاكس |
| Dipole | ثنائي قطب |

| | |
|--------------------------------|----------------------|
| Dipole moment | عزم ثنائي القطب |
| direct | مباشر |
| Depth | عمق |
| Displacement | ازاحة |
| Displacement Vector | شعاع الإزاحة |
| Dynamic | تحريك |
| Dynamic of Particles | تحريك الجسيمات |
| Diffraction | - العراج |
| Dimension | بعد |
| Direction | اتجاه |
| Disk | قرص |
| Discharge | تغريغ |
| Distribution | توزيع |
| Distribution of velocities | توزيع السرع |
| Distribution of kinetic energy | توزيع الطاقة الحركية |
| Division | قسمة |
| Vectorial Division | قسمة شعاعية |
| Divergence | تفرق |
| Data | معطيات |
| Double | مضاعف |
| Dyne | نلينية |
| Dispersion | تبديد |
| Differential | تفاضل |

| | |
|-------------------------|------------------------|
| Differential element | عنصر تقاطعي |
| Direction cosines | جيوب تمام الاتجاه |
| - E - | |
| Effect | مفعول |
| Effective | فعال |
| Effective potential | كمون فعال |
| Efficiency | مردود ، كفاءة |
| Elastic | مرن |
| Ellipse | قطع ناقص |
| Electricity | كهرباء |
| Electric moment | عزم كهربائي |
| Electric potential | كمون كهربائي |
| Electric flux | تدفق كهربائي |
| Electric flux density | كثافة التدفق الكهربائي |
| Electromotive force | قوة محركة كهربائية |
| Electron | إلكترون |
| Electron tube | صمام إلكتروني |
| Electrostatic | كهرباء ساكنة / كهراء |
| Electrostatic energy | طاقة كهراء |
| Electrostatic field | حقل كهراء |
| Electrostatic induction | تحريض كهراء |
| Electrostatic potential | كمون كهراء |
| Electromagnetic | كهرومغناطيسي |

| | |
|-------------------------|---------------------|
| Electromagnetic field | حقل كهرومغناطيسي |
| Electromagnetic theory | نظرية كهرومغناطيسية |
| Electromagnetic wave | موجة كهرومغناطيسية |
| Electromagnetism | كهرومغناطيسية |
| Element | عنصر |
| Emission | الإصدار ، بث |
| Emission spectrum | طيف الإصدار |
| Emittance | إصداريه |
| Equipotential surface | سطح سوية كمون |
| Energy | طاقة |
| Kinetic Energy | طاقة حركية |
| Internal Energy | طاقة داخلية |
| Potential Energy | طاقة كامنة |
| Total Energy | طاقة كليّة |
| Mechanical Energy | طاقة ميكانيكية |
| Rotational Energy | طاقة دورانية |
| Entropy | الانتروبيّة |
| Equation | معادلة |
| Equation of state | معادلة الحالة |
| Equation of Propagation | معادلة الانشمار |
| Equilibrium | توازن |
| Equilibrium of bodies | توازن الجسم |
| Equilibrium of Particle | توازن الجسيم |

| | |
|-----------------------|--------------|
| Equilibrium Position | وضع التوازن |
| Stability Equilibrium | توازن مستقر |
| Equivalent | مكافئ |
| Equinox | نقطة الاعدال |
| erg | الأرغة |
| Experiment | تجربة |
| Experimental | تجريبي |

- F -

| | |
|-------------------------|------------------------|
| Farad | فاراد |
| Faraday effect | مفعول فارادي |
| Ferromagnetic materials | مواد حديدية المغناطية |
| Ferromagnetism | مagnetismus حديدية |
| Filament | فليفلة |
| Fluid | سائل |
| Real Fluid | سائل حقيقي |
| Ideal Fluid | سائل مثالي |
| Incompressible Fluid | سائل غير قابل للانضغاط |
| Viscous Fluid | سائل لزج |
| Fluid Pressure | ضغط السائل |
| Field | حقل |
| Filter | مرشح |
| Gravitational Field | حقل القوادة |
| Force | قوة |

| | |
|-----------------------|--------------------|
| Nonconservative Force | قوة غير محافظة |
| Moment of Force | عزم القوة |
| Attraction Force | قوة جاذبية |
| Central Force | قوة مركزية |
| Centrifugal Force | قوة نابذة |
| Elastic Force | قوة مرنة |
| Friction Force | قوة احتكاك |
| Internal Force | قوة داخلية |
| Binding Force | قوة ترابط |
| Nuclear Force | قوة نووية |
| Force of interaction | قوة تفاعل |
| Frequency | توافر |
| Angular Frequency | توافر زاوي |
| Frame | جملة |
| Frame of reference | جملة مقارنة |
| Friction | احتكاك |
| Kinetic Friction | احتكاك حركي |
| Static Friction | احتكاك سكوني |
| Sliding Friction | احتكاك بدون انزلاق |
| Flux | تدفق |
| Flux lines | خطوط التدفق |
| Factor | عامل |
| Formation | تشكيل |

| | |
|------------------|---------------|
| Function | تابع |
| Free | حر |
| - G - | |
| Gas | غاز |
| Real Gas | غاز حقيقي |
| Gases constant | ثابت الغازات |
| Gas pressure | ضغط الغاز |
| Galaxy | مجرة |
| Gradient | تدرج |
| Gradient vector | شعاع التدرج |
| Gravitational | تقالي |
| Gyroscope | جيروسكوب |
| - H - | |
| Harmonic | تواافق |
| Harmonic motion | حركة تواقية |
| Heat | حرارة |
| Specific Heat | حرارة نوعية |
| Heat conduction | نقل حراري |
| Heat convection | حمل حراري |
| Heat engines | محركات حرارية |
| Heat equilibrium | توازن حراري |
| Heat exchanger | مبادل حراري |
| Heat pump | مضخة حرارية |

| | |
|-------------------|---------------|
| Heat radiation | أشعاع حراري |
| Hook's Law | قانون هول |
| Hydro static | توازن السوائل |
| Hypotheses | فرض |
| Heavy | ثقيل |
| Height | ارتفاع |
| Helical | لولبي |
| Helical motion | حركة لولبية |
| Helical orbit | مدار لولبي |
| Helicoidally Path | مسار لولبي |
| Hertz | هرتز |
| Hole | ثقب |
| Hollow | أجوف |
| Homogeneous | متتجانس |
| Hyperbola | قطع زائد |

- I -

| | |
|----------------|----------------|
| Ideal gas | غاز كامل |
| Illuminometer | مقاييس الإضاءة |
| Impedance | ممانعة |
| Impulse | الدفع |
| Induce | يحرض |
| Induced | متحرض |
| Induced charge | شحنة متضرضة |

| | |
|----------------------|---------------------|
| Induced magnetism | مغناطيسية متطرفة |
| Inductance | تحريضية |
| Induction | تحريض |
| Inductive reactance | رذئية تحريضية |
| Inductor | محرّض |
| Inelastic | غير من |
| Inertia | العطلة |
| Interaction | تفاعل متبادل |
| Ions | إيونات |
| Isobaric | متساوي الضغط |
| Isochoric | متساوي الحجم |
| Isothermal | متساوي درجة الحرارة |
| Isotopes | نظائر |
| Index | دليل |
| Isotropic | متناهي |
| Inter Polation | استقراء داخلي |
| Incertitude | ارتباط |
| Absolute Incertitude | ارتباط مطلق |
| Relative Incertitude | ارتباط نسبي |
| Intensity | شدة |
| Integral | تكامل |
| Isolated | معزول |
| Isolated System | جملة معزولة |

| | |
|------------------|-----------------|
| Incidence | سقوط |
| Incoherence | غير مترابط |
| Incommensurable | غير قابل للقياس |
| Independent | مستقل |
| Inhomogeneous | غير متجانس |
| Initial | ابتدائي |
| Initial Energy | طاقة ابتدائية |
| Initial Speed | سرعة ابتدائية |
| Initial Particle | جسيم أولي |
| Inner product | جداء داخلي |
| Instability | غير مستقر |
| Interface | سطح بيني |
| Interference | تدخل |
| Invariant | لا متغير |
| Isotype | متقابل |

- J -

| | |
|--------------|-----------|
| Joule | جول |
| Junction | وصلة |
| Joule effect | مفعول جول |
| Juxta | مجاورة |
| - K - | |
| Kick | ارتداد |
| Kilo | كيلو |

| | |
|------------------|--------------|
| Kilo bar | كيلو بار |
| Kilo gram | كيلو غرام |
| Kilo meter | كيلو متر |
| Kilo calorie | كيلو حريرة |
| Kelvin | كافن |
| Kinematics | علم الحركة |
| Behavior | سلوك حركي |
| Kinetic energy | طاقة حركية |
| Kinetic equation | معادلة حركية |
| Kinetic pressure | ضغط حركي |
| Kinetic theory | نظرية حركية |

- L -

| | |
|---------------|----------------------------|
| Liability | قابل للتغيير |
| Laboratory | مخابر |
| Lacuna | فجوة |
| Lamp | مصابح |
| Landslide | انزلاق |
| Laplace | لاپلاس |
| Laser | لايزر |
| Latent | كامن |
| Latent energy | طاقة كاملة |
| Latent heat | حرارة كامنة، حرارة لاتطيفة |

| | |
|---------------------|---------------|
| Lateral | جانبي |
| Lateral collision | تصادم جانبي |
| Latitude | خط العرض |
| Lattice | شبكة |
| Law | قانون |
| Law of conservation | قانون الاحفاظ |
| Layer | طبقة |
| Length | طول |
| Lens | عدسة |
| Level | مستوى |
| Light | ضوء |
| Light source | متابع ضوئي |
| Limit | حد |
| Limited | محدود |
| Lines | خطوط |
| Lines of force | خطوط القوة |
| Lines of field | خطوط الحقل |
| Linear | خطي |
| Linear equation | معادلة خطية |
| Linear momentum | الدفافع خطى |
| Linear accelerator | مسرع خطى |
| Linear correlation | ارتباط خطى |
| Linear dependence | تابعية خطية |

| | |
|---------------------|-------------|
| Linear polarization | استقطاب خطى |
| Line of action | خط الفعل |
| Line of force | خط القوة |
| Liquid | سائل |
| Liquid fuel | وقود سائلة |
| Load | حمولة |
| Loop | عروة |
| Local | موضعي |
| Location | موقع |
| Logarithmic | لوغاريتمي |
| Loss | ضياع |
| Low | منخفض |
| Luminous flux | تدفق ضوئي |
| Luminous intensity | شدة ضوئية |

- M -

| | |
|---------------------|----------------|
| Machine | آلة |
| Macroscopic | جهري |
| Microscopy | دراسة جهرية |
| Magnet | مغناطيس |
| Magnetic | مغناطيسي |
| Magnetic attraction | تجاذب مغناطيسي |
| Magnetic axis | محور مغناطيسي |
| Magnetic constant | ثابت مغناطيسي |

| | |
|-----------------------|-------------------------|
| Magnetic field | حقل مغناطيسي |
| Magnetic flux | تدفق مغناطيسي |
| Magnetic flux density | كثافة التدفق المغناطيسي |
| Magnetic force | قوة مغناطيسية |
| Magnetic induction | تحريض مغناطيسي |
| Magnetic moment | عزم مغناطيسي |
| Magnet coil | ملف المغناطيس |
| Magnetism | مagnetisية |
| Magnetization | مغناطة ، تмагنط |
| Main | رئيسي |
| Main path | مسار رئيسي |
| major axis | المحور الكبير |
| major diameter | القطر الأكبر |
| Mass | كتلة |
| Mass center | مركز الكتلة |
| Mass density | كثافة الكتلة |
| Mass spectrum | طيف الكتلة |
| Mass Less | عديم الكتلة |
| Mass Velocity | سرعة الكتلة |
| material | مادي، مادة |
| Matrice | محضففة |
| Maximum | أعظمى |
| Mean | وسطي |

| | |
|------------------------|-----------------|
| Mean energy | طاقة وسطية |
| Mean velocity | سرعة وسطية |
| Mean value | قيمة وسطية |
| Measure | قياس |
| Mechanic | ميكانيك |
| Mechanical | ميكانيكي |
| Mechanical force | قوة ميكانيكية |
| Mechanical stress | إجهاد ميكانيكي |
| Mega hertz | ميغا هيرتز |
| meridian | خط الزوال |
| Metal | معدن |
| Metastable | شبہ مستقر |
| Metastable equilibrium | توازن شبہ مستقر |
| metric | متری |
| Metric system | نظام متری |
| metrology | علم القياس |
| Microscope | مجهر |
| Microscopic | مجھری |
| Milli liter | ملي لتر |
| Mini mum | أصغری |
| Minute | دقيقة |
| Mixed | متخلط |
| Mobile | متحرك |

| | |
|-----------------------|-----------------|
| mode | نمط |
| Model | نموذج |
| Moll | مول |
| Molecular | جزيئي |
| moment | عزم |
| Moment of force | عزم القوة |
| Moment of Inertia | عزم العطالة |
| Moment of momentum | عزم الاندفاع |
| momentum | الاندفاع |
| Momentum conservation | الحفاظ الاندفاع |
| Momentum vector | متجهة الاندفاع |
| Motion | حركة |
| Mounting | تركيب |
| Mutual | متبادل |

- N -

| | |
|--------------------|---------------|
| Nabla | نبلاء |
| Nanometer | نانو متر |
| Natural | طبيعي |
| Natural logarithm | لگاریتم طبيعي |
| Natural numbers | أعداد طبيعية |
| Nautical mile | ميل بحري |
| Negative | سلبي |
| Negative electrode | منفطي سالب |

| | |
|-------------------------|--------------------|
| Negative pole | قطب سالب |
| Negligence | إهمال |
| Neutral | معتدل |
| Neutralization | تعادل |
| Network | شبكة |
| Newton | نيوتن |
| Newton's laws | قوانين نيوتن |
| Newtonian mechanics | ميكانيك نيوتن |
| Noise | ضجيج |
| Non – central force | قوة لا مرکزية |
| Non – Centro symmetric | متناهير لامركزي |
| Non – equilibrium state | حالة لا متوازنة |
| Non - conservative | لا محافظة |
| Non – inertial | لا عطالي |
| Non – linear | لا خطى |
| Nonlinear equation | معادلة لخطية |
| Non – relativistic | لا نسبيوي |
| Non – stationary | غير مستقر |
| Non – uniform | غير منتظم |
| normal | عادي، عمودي، نظامي |
| Normal component | مركبة نظامية |
| Normal distribution | توزيع نظامي |
| Normal stress | إجهاد نظامي |

| | |
|---------------------|----------------|
| North | شمالي |
| North pole | قطب شمالي |
| Nucleus | نواة |
| number | عدد |
| Numerical constant | ثابت عددي |
| Numerical value | قيمة عدديه |
| - O - | |
| Object | جسم |
| Oblique | مائل |
| Oblique coordinates | إحداثيات مائلة |
| odd | فردي |
| Odd function | تابع فردي |
| Odd number | عدد فردي |
| Ohm | أوم |
| Ohmic resistance | مقاومة أومية |
| Ohmmeter | مقاييس اوم |
| One dimensional | أحادي البعد |
| Open circuit | دارة مفتوحة |
| Orbit | مدار |
| Ordinary | عادي |
| Ordinary ray | شعاع عادي |
| Ordinate | ترتيب |
| Origin | مبدأ |

| | |
|----------------------|----------------------|
| Orthogonal | متعمد |
| Oscillation | اهتزاز |
| Oscillating motion | حركة اهتزازية |
| Ozone | أوزون |
| P | |
| Parabola | قطع مكافئ |
| Parallel | موازي |
| Parallel connection | وصل على التوازي |
| Parametric | وسيطي |
| Parametric equation | معادلة وسيطية |
| partial | جزئي |
| Partial pressure | ضغط جزئي |
| Particle | جزئي |
| Particle mass | كتلة الجسيم |
| Path | مسار |
| Pendulum | نوايس |
| Permeability | التفوذية المغناطيسية |
| Permittivity | السمانحية |
| perimeter | محيط |
| period | دور |
| Periodic | دوروي |
| Periodic oscillation | اهتزاز دوروي |

| | |
|---------------------|----------------|
| phase | طور، مرحلة |
| Phase difference | فرق الطور |
| Plane | مستوي |
| Plasma | بلازما |
| Polar | قطبي |
| Polar axis | محور قطبي |
| Polar coordinates | إحداثيات قطبية |
| Polar vector | شعاع قطبي |
| Polarization | استقطاب |
| Pole | قطب |
| Positive | موجب |
| Position | موقع |
| Position vector | شعاع الموضع |
| potential | كمون، كامن |
| Potential energy | طاقة كامنة |
| power | استطاعة، قدرة |
| Potential field | حقل كمون |
| pressure | ضغط |
| Pressure difference | فرق الضغط |
| principle | مبدأ |
| projection | مسقط |
| Proportion | تناسب |

- Q -

| | |
|---------------------------|-------------|
| Qualitative | كيفي |
| Quantitative | كمي |
| Quantity | كمية |
| Quantity of motion | كمية حركة |
| Scalar quantity | مقدار سلمي |
| Vectorial quantity | مقدار شعاعي |
| Quasi - particle | شبه جسيم |
| Quasi static | شبه مكوني |

- R -

| | |
|-------------------------------|--------------|
| Radian | راديان |
| Radiation | إشعاع |
| Radius | نصف قطر |
| Random | شواهني |
| Random motion | حركة عشوائية |
| Rate | سرعة , معدل |
| Ratio | نسبة |
| Real | حقيقي |
| Real gas | غاز حقيقي |
| Reboiler coil | ملف تسخين |
| Rectangular projection | اسقاط قائم |
| Reduced mass | كتلة مختزلة |

| | |
|-----------------------|----------------|
| Simple | بسيط |
| Simulation | محاكاة |
| Sinusoidal current | تيار جيبى |
| Software | برمجيات |
| Solar | شمسي |
| Solar energy | طاقة شمسية |
| Solar light | ضوء الشمس |
| Solid | صلب |
| Solid angle | زاوية مجسمة |
| Solenoid | ملف |
| Source | مبلغ - مصدر |
| South pole | قطب جنوبى |
| Space | فضاء، مكان |
| Specific | نوعي |
| Specific Heat | حرارة نوعية |
| Speed | سرعة |
| Sphere | كرة |
| Spherical | كروى |
| Spherical coordinates | إحداثيات كروية |
| Spherical surface | سطح كروي |
| Spiral | لولبى |
| Spiral path | مسار لولبى |
| Spring constant | ثابت المرونة |

| | |
|------------------------|----------------|
| Stability | استقرار، ثبات |
| Stable | مستقر |
| Stable orbit | مدار مستقر |
| Stand | حامل، منصب |
| Steady | مستقر ، ثابت |
| Steady current | تيار مستقر |
| Steady state | حالة مستقرة |
| Steam | بخار |
| Steam engine | آلة بخارية |
| Sum | مجموع |
| Surface | سطح |
| Surface tension | توتر سطحي |
| Switch | قاطعة |
| Symmetry | تناظر، تمايز |
| System | ملظومة، مجموعة |

-T-

| | |
|--------------------|--------------|
| Table | جدول، قائمة |
| Tangent | مماض |
| Tangential | مماسى |
| Technology | تقانة |
| Temperature | درجة الحرارة |
| Tensile | شد |

| | |
|----------------------|---------------|
| Tensile strain | الفعال الشد |
| Tensile strength | مقاومة الشد |
| Tensile stress | إجهاد الشد |
| Tension | توتر |
| Tesla | تسلا |
| Thermal | حراري |
| Thermal capacity | سعة حرارية |
| Thermal conduction | نقل حراري |
| Thermal conductivity | نافذية حرارية |
| Theoretical | نظري |
| Theory | نظرية |
| Thermometer | ميزان حرارة |
| Time | زمن |
| Time dilation | تعدد الزمن |
| Timer | موقت |
| Toroid | وشيعة حلبية |
| Torque | عزم الفعل |
| Torsion | فعل |
| Track | مسار، أثر |
| Trajectory | مسار |
| Transformation | تحويل، تحول |
| Transformer | محولة |
| Triangle | متلث |

| | |
|-----------------------|------------------|
| Tube | أنبوب |
| - U - | |
| Ultrasonic | فوق صوتي |
| Ultraviolet rays | أشعة فوق بنفسجية |
| Undetermined | غير محدد |
| Uniform | منتظم |
| Uniform acceleration | تسارع منتظم |
| Uniform velocity | سرعة منتظمة |
| Unit | وحدة |
| Universal | عام، شامل |
| - V - | |
| Vacancy | شاغر، ثغرة |
| Vacuum | فراغ، خلاء |
| Valve | صمام |
| Vapor | بخار |
| Variable | متتحول، متغير |
| Vector | شعاع، متجه |
| Velocity | سرعة |
| Vibration | اهتزاز |
| Viscosity | لزوجة |
| Viscosity coefficient | معامل اللزوجة |
| Volt | فولط |

| | |
|-----------|------------|
| Voltage | نوتر |
| Voltmeter | مقياس فولط |
| Volume | حجم |



المراجع

- 1- الفيزياء الحرارية (الترموديناميك) ، د. حسن إسماعيل ، د. رياض آل رشى، منشورات جامعة حلب، 1982
- 2- تجارب في الالكترونيات ، د. محمد فققع ، منشورات جامعة دمشق، 1984
- 3- عملى الترموديناميك ، د. فواز سيف ، د. كنج الشوفى، و آخرين ، منشورات جامعة دمشق، 2005
- 4- الفيزياء الحديثة للجامعات (جزء حرارة و كهرباء) ، د. عبد الرزاق قدورة، د. وجيه السماني، د. أحمد الحصري، منشورات جامعة دمشق 1982
- 5- الفيزياء العامة ، د. محمد سعيد محاسنة، د. زكريا ظلام ، منشورات جامعة البعث، 1983
- 6- الفيزياء العامة في الكهرباء و المغناطيسية لطلاب الجامعات، د. عبدالله راشد السماني ، د. محمد القرعاوى، د. محمد آل عيسى، جامعة الملك سعود - كلية العلوم - دار الخريجي للنشر ، 2002
- 7- الفيزياء المتقدمة، ترجمة د. توفيق قسام ، د. محمد فققع، د. توفيق ياسين، المركز العربي للتعریف و الترجمة و التأليف و النشر، دمشق، 1996
- 8- Heat and Thermodynamics ,M,W.Zemansky,
McGraw-Hill, 1957
- 9- Introductory college physics , Atamp. Arya.
Collier , Maemillan, International Editions



لجنة الطعنة:

- الأستاذ الدكتور محمد سعيد محسنة
- الأستاذ الدكتور فوزي عوض
- الأستاذ الدكتور محمد الكوسا

المدقق اللغوي:

- الأستاذ الدكتور أسامة اختيار

حق الطبع و الترجمة و النشر محفوظة لمديرية الكتب و المطبوعات

